

**66448**

**İSTANBUL TEKNİK ÜNİVERSİTESİ ★ FEN BİLİMLERİ ENSTİTÜSÜ**

**BETONARME ENDÜSTRİ YAPILARINDA  
BETON KALİTESİNİN BOYUTLARA  
VE MALİYETLERE ETKİSİ**

**YÜKSEK LİSANS TEZİ**

**İnş. Müh. Cumhur Korkmaz**

**Tezin Enstitüye Verildiği Tarih : 9 Haziran 1997**

**Tezin Savunulduğu Tarih : 25 Haziran 1997**

**Tez Danışmanı : Prof. Dr. İlhan EREN**

**Diğer Jüri Üyeleri : Prof. Dr. Zekai CELEP**

**Prof. Dr. Mehmet UYAN**

**HAZİRAN 1997**

## ÖNSÖZ

İnşaat mühendisliğinde bir yapının ekonomik olarak boyutlandırılabilmesi için hesaplarda etkili olan parametrelerin uygun seçilmesinin gerekliliği her zaman önemli bir konu olarak inşaat mühendislerinin ve mimarların karşısına çıkmaktadır. Bu parametrelerden biri olan malzeme kalitesi ve malzemenin uygun kullanılması, ekonomik boyutlandırma için önemli bir faktör olarak yer tutmaktadır. Zira uygun malzemelerin kullanılmaması, yapılan yapının toplam maliyetinin tahmin edilenden fazla çıkmasına sebep olmakta ve ekonomik sonuçlardan uzaklaşmaktadır. Uygun malzemelerin seçimi, yapının davranış biçimini gözönünde tutularak yapılmalıdır. Çünkü bir tip malzeme herhangi bir yapı tipi için uygun olabilirken başka bir yapı için uygun olmayabilir.

Bu çalışmada iki açıklıklı betonarme endüstri yapısının toplam maliyetini bulmak amacıyla beton kalitesindeki değişimin toplam maliyetlere ve kesit boyutlarına etkisi araştırılmış, çıkan sonuçlar değerlendirilmiştir. Yapılan çalışmanın bu tür endüstri yapılarının tasarımları sırasında kullanılacak olan malzemenin veya malzemelerin seçimi açısından mimar ve inşaat mühendisi arkadaşlara bir fikir vereceği, onlara yol göstereceği inancındayım.

Bu çalışmayı yürütürken benden yardımlarını esirgemeyen tez danışmanım Prof. Dr. İlhan EREN'e, aileme, iş yaşamında bana gösterdikleri tolerans ve hoşgörü için USKON A.Ş.'ye ve çizimlerde bana yardımcı olan arkadaşım Mimar Ferhun KARADAĞ'a sonsuz teşekkürlerimi sunmayı bir borç bilirim.

Cumhur KORKMAZ

İstanbul, Haziran 1997

## İÇİNDEKİLER

|   | Sayfa No  |
|---|-----------|
| ÖNSÖZ   | ii        |
| SEMBOL LİSTESİ  | vi        |
| ŞEKİL LİSTESİ   | ix        |
| TABLO LİSTESİ   | xii       |
| ÖZET  | xvii      |
| SUMMARY   | xviii     |
| <b>BÖLÜM 1 GİRİŞ</b>  | <b>1</b>  |
| 1.1 Konu Kapsam   |           |
| <b>BÖLÜM 2 DÜZLEM ÇERÇEVELERİN ÇÖZÜMÜNDE KULLANILAN<br/>BİLGİSAYAR PROGRAMININ TANITIMI VE GELİŞTİRİLMESİ</b> | <b>6</b>  |
| 2.1 Rijitlik Matrisi Yöntemi  | 6         |
| 2.1.2 Eksenlerin Döndürülmesi   | 8         |
| 2.1.3 Sistem Rijitlik Matrisinin Çıkarılması  | 8         |
| 2.1.4 Düğüm Noktalarındaki Dış Kuvvetler Matrisi  | 11        |
| 2.1.5 Taşıyıcı Sistemim Rijitlik Denklemi   | 12        |
| 2.1.6 Çubuk Uç Kuvvetleri   | 12        |
| 2.2 Bilgisayar Programı   | 13        |
| 2.2.1 Bilgisayar Programında Yapılan Değişiklikler  | 15        |
| <b>BÖLÜM 3 ÇATI DÖŞEMESİ HESABI</b>   | <b>17</b> |
| 3.1 Döşeme Kalınlığının Tayini  | 17        |
| 3.2 Yük Analizi   | 19        |
| 3.3 Dösemelerin Statik Hesabı   | 21        |
| 3.4 Dösemelerin Betonarme Hesabı  | 21        |
| 3.5 Dösemelerin Fiyatlandırılması   | 26        |
| 3.5.1 Döşeme İmalat Çeşitleri   | 26        |
| 3.5.1.1 Demir İmalatı   | 26        |
| 3.5.1.2 Kalıp İmalatı   | 27        |
| 3.5.1.3 Beton İmalatı   | 27        |
| 3.5.1.4 Sıva İmalatı  | 28        |
| 3.5.1.5 Şap İmalatı   | 28        |
| 3.5.1.6 Eternit Yerleştirilmesi   | 28        |

|  |            |
|--|------------|
| <b>BÖLÜM 4 AŞIKLARIN HESABI</b>                                      | <b>30</b>  |
| 4.1 Kirişlere Yük Aktarılması  | 30         |
| 4.1.1 Yük Analizi  | 30         |
| 4.2 Kiriş Genişlikleri   | 32         |
| 4.3 Aşık Kirişlerinin Statik Hesabı                                  | 33         |
| 4.4 Aşık Kirişlerinin Betonarme Hesabı                               | 35         |
| 4.4.1 Eğilme Hesabı  | 35         |
| 4.4.2 Kayma Hesabı   | 35         |
| 4.5 Aşık Kirişlerinin Fiyatlandırılması                              | 53         |
| 4.5.1 Aşık Kiriş İmalat Çeşitleri                                    | 53         |
| 4.5.1.1 Demir İmalatı  | 53         |
| 4.5.1.2 Kalıp İmalatı  | 54         |
| 4.5.1.3 Beton İmalatı  | 54         |
| 4.5.1.4 Sıva İmalatı   | 54         |
| 4.5.1.5 Parapet Duvar İmalatı  | 54         |
| <b>BÖLÜM 5 KREN HESABI</b>   | <b>64</b>  |
| 5.1 Kren Kirişi Statik Hesabı  | 65         |
| 5.2 Kren Kirişinin Betonarme Hesabı                                  | 72         |
| 5.2.1 Eğilme Hesabı  | 72         |
| 5.2.2 Kayma Hesabı   | 72         |
| 5.3 Kren Kirişinin Fiyatlandırılması                                 | 81         |
| 5.3.1 Kren Kiriş İmalat Çeşitleri                                    | 81         |
| 5.3.1.1 Demir İmalatı  | 81         |
| 5.3.1.2 Kalıp İmalatı  | 81         |
| 5.3.1.3 Beton İmalatı  | 82         |
| 5.3.1.4 Sıva İmalatı   | 82         |
| 5.4 Kren Konsolu Hesabı  | 82         |
| 5.4.1 Yük Analizi  | 83         |
| 5.4.2 Kren Konsolunun Betonarme Hesabı                               | 85         |
| 5.5 Kren Konsolunun Fiyatlandırılması                                | 89         |
| 5.5.1 Kren Konsolu İmalat Çeşitleri                                  | 89         |
| 5.5.1.1 Demir İmalatı  | 89         |
| 5.5.1.2 Kalıp İmalatı  | 89         |
| 5.5.1.3 Beton İmalatı  | 89         |
| 5.5.1.4 Sıva İmalatı   | 90         |
| <b>BÖLÜM 6 İKİ AÇIKLIKLI ÇERÇEVENİN KOLON VE KİRİŞLERİNİN HESABI</b> | <b>109</b> |
| 6.1 Yük Analizi  | 109        |
| 6.2 Çerçevenin Statik Hesabı   | 124        |
| 6.2.1 Bilgisayar Verileri  | 124        |
| 6.3 Çerçevenin Betonarme Hesabı                                      | 149        |
| 6.3.1 Kolonların Hesabı  | 149        |
| 6.3.2 Çerçeve Kirişlerinin Betonarme Hesabı                          | 153        |
| 6.4 Çerçeve Kiriş ve Kolonlarının Fiyatlandırılması                  | 184        |

|   |            |
|---|------------|
| 6.4.1 Çerçeve İmalat Çeşitleri                | 184        |
| 6.4.1.1 Demir İmalatı                         | 184        |
| 6.4.1.2 Kalıp İmalatı                         | 185        |
| 6.4.1.3 Beton İmalatı                         | 186        |
| 6.4.1.4 Sıva İmalatı                          | 186        |
| <b>BÖLÜM 7 TEMEL HESABI</b>                   | <b>197</b> |
| 7.1 Temelin Statik Hesabı                     | 198        |
| 7.2 Temellerin Betonarme Hesabı               | 198        |
| 7.2.1 Eğilme Hesabı                           | 198        |
| 7.2.2 Kayma Hesabı                            | 201        |
| 7.3 Temellerin Fiyatlandırılması              | 220        |
| 7.3.1 Temel İmalat Çeşitleri                  | 220        |
| 7.3.1.1 Demir İmalatı                         | 220        |
| 7.3.1.2 Kalıp İmalatı                         | 220        |
| 7.3.1.3 Beton İmalatı                         | 221        |
| 7.3.1.4 Kazı Yapılması                        | 221        |
| 7.3.1.5 Kum - Çakıl Serilmesi                 | 222        |
| 7.3.1.6 Grobeton İmalatı                      | 222        |
| <b>BÖLÜM 8 SİSTEMİN GENEL MALİYET ANALİZİ</b> | <b>232</b> |
| 8.1 Sistem Toplam Maliyetlerinin Bulunması    | 232        |
| 8.2 Maliyetlerin Karşılaştırılması            | 232        |
| <b>SONUÇLAR VE ÖNERİLER</b>                   | <b>235</b> |
| <b>KAYNAKLAR</b>                              | <b>238</b> |
| <b>EKLER</b>                                  | <b>239</b> |
| <b>ÖZGEÇMİŞ</b>                               | <b>255</b> |

## SEMBOL LİSTESİ

|           |   |
|-----------|---|
| A         | : Alan  |
| $A_c$     | : Temellerde çember donatısı  |
| $A_g$     | : Gövde donatısı alanı  |
| $A_0$     | : Etriye enkesit alanı ; Etkin yer ivmesi katsayısı                                 |
| $A_s$     | : Çekme donatısı alanı  |
| $A_{sb}$  | : Pilye kesit alanı   |
| $A_{st}$  | : Kren konsolunda toplam çekme donatısı alanı                                       |
| $A_{sv}$  | : Kren konsolunda konsol eksenine paralel yerleştirilen kayma donatısı alanı        |
| $A_{sw}$  | : Enine donatı  |
| $A(T)$    | : Spektral ivme katsayısı   |
| a         | : Mesnet genişliği  |
| b         | : Tablalı kesitte etkili tabla genişliği ; Kren konsolu genişliği ; Temel genişliği |
| $b_d$     | : Bağ kirişinde kiriş genişlik ve yüksekliği  |
| $b_n$     | : Kren konsolu enine genişliği  |
| $b_w$     | : Tablalı kesitte gövde genişliği   |
| c         | : Krende yük etkime noktasının kolon yüzüne olan mesafesi                           |
| C         | : Deprem katsayısı  |
| $C_0$     | : Deprem bölge katsayısı  |
| d         | : Faydalı yükseklik   |
| $d'$      | : Beton örtüsü, paspayı   |
| E         | : Elastiklik modülü   |
| $E_c$     | : Betonun elastiklik modülü ( 28 günlük )   |
| $f_{cd}$  | : Beton basınç dayanımı   |
| $f_{ctd}$ | : Beton çekme dayanımı  |
| $f_{yd}$  | : Donatı hesap akma gerilmesi   |
| $f_{ywd}$ | : Etriye donatısının hesap akma gerilmesi   |
| g         | : Birim boy veya alana etkiyen toplam yük   |
| h         | : Kesit yüksekliği ; Kren köprüsünde kılavuz tekerlekler arası uzaklık              |

|          |   |
|----------|---|
| $H$      | : Yapı yüksekliği   |
| $h_c$    | : Kolon enkesit genişliği   |
| $h_f$    | : Tabla kalınlığı   |
| $H_k$    | : Kren hareketlerinden dolayı oluşan enine etki                         |
| $I$      | : Atalet momenti ; Yapı önem katsayısı                                  |
| $I_c$    | : Brüt beton kesitinin atalet momenti                                   |
| $i$      | : Atalet yarıçapı   |
| $K$      | : Yapı tipi katsayısı   |
| $k$      | : Kolon burkulma boyu katsayısı   |
| $K_0$    | : Zemin yatak katsayısı   |
| $L$      | : Kren köprüsü mesnet açıklığı  |
| $l$      | : Eleman uzunluğu   |
| $l_a$    | : Toplam temel uzunluğu   |
| $l_c$    | : Etriye sarılma bölgesinin uzunluğu                                    |
| $l_x$    | : Döşeme kısa kenar uzunluğu  |
| $l_y$    | : Döşeme uzun kenar uzunluğu  |
| $l_{yn}$ | : Döşemedede uzun kenar doğrultusundaki serbest açıklık                 |
| $M$      | : Moment  |
| $M_d$    | : Hesap eğilme momenti  |
| $m$      | : Döşemedede uzun kenarın kısa kenara oranı                             |
| $N$      | : Normal kuvvet   |
| $N_d$    | : Hesap normal kuvveti  |
| $N_k$    | : Burkulma yükü   |
| $P$      | : Toplam yük ; Kren köprüsünde artırılmış tekerlek basınç yükü          |
| $q_w$    | : Rüzgar yükü   |
| $R$      | : Kren köprüsü tekerlek basınçları ; Taşıyıcı sistem davranış katsayısı |
| $R_a$    | : Deprem yükü azaltma katsayısı   |
| $R_g$    | : Kren konsolunun kendi yükü  |
| $R_m$    | : Ortalama dayanım  |
| $S$      | : Yapı dinamik katsayısı  |
| $S(T)$   | : Spektrum katsayısı  |

|            |   |
|------------|---|
| $s$        | : Döşemedede maksimum donatı aralığı ; Etriye aralığı                     |
| $T$        | : Deprem hesabı yapılan doğrultudaki uzunluk                              |
| $T_A, T_B$ | : Spektrum karakteristik periyotları                                      |
| $V$        | : Kesme kuvveti ; Toplam deprem yükü                                      |
| $V_{cr}$   | : Eğik çatlamayı oluşturan kesme kuvveti                                  |
| $V_d$      | : Hesap kesme kuvveti   |
| $V_k$      | : Kren hareketlerinden dolayı oluşan boyuna etki                          |
| $V_r$      | : Kesitin kesme kuvveti taşıma gücü                                       |
| $V_{wb}$   | : Pilyeler tarafından karşılanan kesme kuvveti                            |
| $V_{ws}$   | : Etriyeler tarafından karşılanan kesme kuvveyi                           |
| $W$        | : Çerçeve toplam ağırlığı   |
| $x$        | : Tarafsız eksen derinliği  |
| $Y_g$      | : Tablalı kesitte ağırlık merkezinin mesafesi                             |
| $y$        | : Krende kedi arabası yüksekliği  |
| $\rho$     | : Çekme donatısı oranı  |
| $\rho_b$   | : Dengeli donatı oranı  |
| $\rho_w$   | : Etriye donatısı   |
| $\gamma$   | : Birim hacim ağırlığı  |
| $\alpha$   | : Çatı eğim açısı   |
| $\alpha_p$ | : Döşemedede sürekli olan kenar toplam uzunluğunun döşeme çevresine oranı |
| $\beta$    | : Moment büyütme katsayısı  |

## ŞEKİL LİSTESİ

|   | Sayfa No |
|---|----------|
| Şekil 1.1 İnceleme konusu tek katlı iki açıklıklı betonarme yapı taşıyıcı sisteminde çatı döşemesi, boylama kırısları, kren konsolu ve tipik çerçeve. | 4        |
| Şekil 2.1 Düzlem çerçeve çubuğunda serbestlik dereceleri  | 5        |
| Şekil 2.2 Düzlem çerçevelerde eleman numaraları ve serbestlik dereceleri  | 6        |
| Şekil 3.1 Döşeme sistemi  | 18       |
| Şekil 3.2 Döşeme tipleri ve tabla kalınlıkları  | 18,19    |
| Şekil 3.3 Döşeme enkesiti   | 19       |
| Şekil 3.4 Döşeme donatı şeması  | 22       |
| Şekil 4.1 Aşık kırısları ve etkili tabla genişlikleri   | 32       |
| Şekil 4.2 Kenar aşık kırıslarında moment ve kesme kuvveti diyagramları  | 33       |
| Şekil 4.3 İç ve mahya aşağı kırıslarında moment ve kesme kuvveti diyagramları   | 34       |
| Şekil 4.4 Aşık kırıslarındaki donatı düzeni   | 36       |
| Şekil 5.1 Kren köprüsü  | 64       |
| Şekil 5.2 Kren köprüsü tekerlek basınçları  | 65       |
| Şekil 5.3 Kren kırış  | 67       |
| Şekil 5.4 Kren yüklerinden dolayı oluşan moment ve kesme kuvveti değerleri  | 68       |
| Şekil 5.5 Kren kırış enkesiti   | 69       |
| Şekil 5.6 Kren kırışının kendi ağırlığından dolayı oluşan moment ve kesme kuvveti diyagramları  | 70       |
| Şekil 5.7 Kren kırış süperpoze moment ve kesme kuvveti diyagramları   | 71       |
| Şekil 5.8 Kren konsolu ölçütleri  | 83       |
| Şekil 5.9 Kren konsoluna etki eden kuvvetler  | 84       |
| Şekil 5.10 Kren konsolu donatı şeması   | 86       |
| Şekil 6.1 Çerçeve kırış enkesiti  | 109      |
| Şekil 6.2 Çerçeve üzerine gelen düşey yükler  | 110      |
| Şekil 6.3 Bir çerçeve için yük etki alanı   | 111      |

|   |     |
|---|-----|
| Şekil 6.4 Kren konsolu boyutları  | 112 |
| Şekil 6.5 Deprem yükleri  | 117 |
| Şekil 6.6 Rüzgar yükleri  | 118 |
| Şekil 6.7 Kren konsoluna etki eden kuvvetler                                      | 119 |
| Şekil 6.8 Kren sol açıklıkta solda, momentler ve yatay kuvvetler                  | 120 |
| Şekil 6.9 Kren sol açıklıkta sağda, momentler ve yatay kuvvetler                  | 121 |
| Şekil 6.10 Kren sağ açıklıkta solda, momentler ve yatay kuvvetler                 | 122 |
| Şekil 6.11 Kren sağ açıklıkta sağda, momentler ve yatay kuvvetler                 | 123 |
| Şekil 6.12 Sistem şeması  | 124 |
| Şekil 6.13 Düşey yükler altında M, V, N diyagramları                              | 130 |
| Şekil 6.14 Deprem yükleri altında M, V, N diyagramları                            | 131 |
| Şekil 6.15 Rüzgar yükleri altında M, V, N diyagramları                            | 132 |
| Şekil 6.16 Kren sağ açıklıkta sağda, momentler altında M, V, N diyagramları       | 133 |
| Şekil 6.17 Kren sağ açıklıkta sağda, yatay kuvvetler altında M, V, N diyagramları | 134 |
| Şekil 6.18 Kren sağ açıklıkta solda, momentler altında M, V, N diyagramları       | 135 |
| Şekil 6.19 Kren sağ açıklıkta solda, yatay kuvvetler altında M, V, N diyagramları | 136 |
| Şekil 6.20 Kren sol açıklıkta solda, momentler altında M, V, N diyagramları       | 137 |
| Şekil 6.21 Kren sol açıklıkta solda, yatay kuvvetler altında M, V, N diyagramları | 138 |
| Şekil 6.22 Kren sol açıklıkta sağda, momentler altında M, V, N diyagramları       | 139 |
| Şekil 6.23 Kren sol açıklıkta sağda, yatay kuvvetler altında M, V, N diyagramları | 140 |
| Şekil 6.24 Süperpoze M, V, N diyagramları   | 148 |
| Şekil 6.25 Kolon donatıları   | 149 |
| Şekil 6.26 Etriyelerde çiroz gösterimi  | 152 |
| Şekil 6.27 Çerçeve kırışı   | 153 |
| Şekil 6.28 Kesme kuvvetinin karşılanması  | 155 |
| Şekil 6.29 Çerçeve standart donatı şeması   | 156 |
| Şekil 6.30 Yeni kesitlere göre bulunan süperpoze M, V, N diyagramları             | 183 |
| Şekil 7.1 Temel boyutları ve yükler   | 197 |
| Şekil 7.2 Temeldeki moment ve kesme kuvveti diyagramları                          | 199 |
| Şekil 7.3 Temel altındaki gerilme yayılışı  | 200 |

|                                      |     |
|--------------------------------------|-----|
| Şekil 7.4 Temellerdeki donatı düzemi | 202 |
| Şekil 8.1 Maliyet Grafiği            | 234 |



## TABLO LİSTESİ

|  | Sayfa No |
|--|----------|
| Tablo 3.1 Döşeme stastik hesabı                                      | 23       |
| Tablo 3.2 Kısa doğrultuda döşeme hesabı                              | 24       |
| Tablo 3.3 Uzun doğrultuda döşeme hesabı                              | 25       |
| Tablo 3.4 Döşeme oturma şekline göre $\beta$ değerleri               | 27       |
| Tablo 3.5 BS16, BÇ I için döşeme maliyeti                            | 29       |
| Tablo 4.1 Kenar aşık kırışlarında mesnet momenti düzeltmeleri        | 34       |
| Tablo 4.2 İç ve mahya aşağı kırışlarında mesnet momenti düzeltmeleri | 35       |
| Tablo 4.3 BS16, BÇ III, BÇ I için kenar aşık hesabı                  | 37       |
| Tablo 4.4 BS20, BÇ III, BÇ I için kenar aşık hesabı                  | 38       |
| Tablo 4.5 BS25, BÇ III, BÇ I için kenar aşık hesabı                  | 39       |
| Tablo 4.6 BS30, BÇ III, BÇ I için kenar aşık hesabı                  | 40       |
| Tablo 4.7 BS35, BÇ III, BÇ I için kenar aşık hesabı                  | 41       |
| Tablo 4.8 BS40, BÇ III, BÇ I için kenar aşık hesabı                  | 42       |
| Tablo 4.9 BS45, BÇ III, BÇ I için kenar aşık hesabı                  | 43       |
| Tablo 4.10 BS50, BÇ III, BÇ I için kenar aşık hesabı                 | 44       |
| Tablo 4.11 BS16, BÇ III, BÇ I için iç veya mahya aşağı hesabı        | 45       |
| Tablo 4.12 BS20, BÇ III, BÇ I için iç veya mahya aşağı hesabı        | 46       |
| Tablo 4.13 BS25, BÇ III, BÇ I için iç veya mahya aşağı hesabı        | 47       |
| Tablo 4.14 BS30, BÇ III, BÇ I için iç veya mahya aşağı hesabı        | 48       |
| Tablo 4.15 BS35, BÇ III, BÇ I için iç veya mahya aşağı hesabı        | 49       |
| Tablo 4.16 BS40, BÇ III, BÇ I için iç veya mahya aşağı hesabı        | 50       |
| Tablo 4.17 BS45, BÇ III, BÇ I için iç veya mahya aşağı hesabı        | 51       |
| Tablo 4.18 BS50, BÇ III, BÇ I için iç veya mahya aşağı hesabı        | 52       |
| Tablo 4.19 BS16, BÇ III, BÇ I için aşık kırışları maliyeti           | 55       |
| Tablo 4.20 BS20, BÇ III, BÇ I için aşık kırışları maliyeti           | 56       |
| Tablo 4.21 BS25, BÇ III, BÇ I için aşık kırışları maliyeti           | 57       |
| Tablo 4.22 BS30, BÇ III, BÇ I için aşık kırışları maliyeti           | 58       |
| Tablo 4.23 BS35, BÇ III, BÇ I için aşık kırışları maliyeti           | 59       |

|  |     |
|--|-----|
| Tablo 4.24 BS40, BÇ III, BÇ I için aşık kirişleri maliyeti | 60  |
| Tablo 4.25 BS45, BÇ III, BÇ I için aşık kirişleri maliyeti | 61  |
| Tablo 4.26 BS50, BÇ III, BÇ I için aşık kirişleri maliyeti | 62  |
| Tablo 4.27 Aşık maliyetlerinin karşılaştırılması           | 63  |
| Tablo 5.1 Mesnet momenti düzeltmeleri                      | 71  |
| Tablo 5.2 BS16, BÇ III için kren kiriş hesabı              | 73  |
| Tablo 5.3 BS20, BÇ III için kren kiriş hesabı              | 74  |
| Tablo 5.4 BS25, BÇ III için kren kiriş hesabı              | 75  |
| Tablo 5.5 BS30, BÇ III için kren kiriş hesabı              | 76  |
| Tablo 5.6 BS35, BÇ III için kren kiriş hesabı              | 77  |
| Tablo 5.7 BS40, BÇ III için kren kiriş hesabı              | 78  |
| Tablo 5.8 BS45, BÇ III için kren kiriş hesabı              | 79  |
| Tablo 5.9 BS50, BÇ III için kren kiriş hesabı              | 80  |
| Tablo 5.10 BS16, BÇ III için kren konsolu hesabı           | 87  |
| Tablo 5.11 BS20, BÇ III için kren konsolu hesabı           | 87  |
| Tablo 5.12 BS25, BÇ III için kren konsolu hesabı           | 87  |
| Tablo 5.13 BS30, BÇ III için kren konsolu hesabı           | 87  |
| Tablo 5.14 BS35, BÇ III için kren konsolu hesabı           | 88  |
| Tablo 5.15 BS40, BÇ III için kren konsolu hesabı           | 88  |
| Tablo 5.16 BS45, BÇ III için kren konsolu hesabı           | 88  |
| Tablo 5.17 BS16, BÇ III için kren konsolu hesabı           | 88  |
| Tablo 5.18 BS16, BÇ III için kren kiriş maliyeti           | 91  |
| Tablo 5.19 BS20, BÇ III için kren kiriş maliyeti           | 92  |
| Tablo 5.20 BS25, BÇ III için kren kiriş maliyeti           | 93  |
| Tablo 5.21 BS30, BÇ III için kren kiriş maliyeti           | 94  |
| Tablo 5.22 BS35, BÇ III için kren kiriş maliyeti           | 95  |
| Tablo 5.23 BS40, BÇ III için kren kiriş maliyeti           | 96  |
| Tablo 5.24 BS45, BÇ III için kren kiriş maliyeti           | 97  |
| Tablo 5.25 BS50, BÇ III için kren kiriş maliyeti           | 98  |
| Tablo 5.26 Kren kiriş maliyetlerinin karşılaştırılması     | 99  |
| Tablo 5.27 BS16, BÇ III için kren konsolu maliyeti         | 100 |
| Tablo 5.28 BS20, BÇ III için kren konsolu maliyeti         | 101 |

|  |     |
|--|-----|
| Tablo 5.29 BS25, BÇ III için kren konsolu maliyeti                           | 102 |
| Tablo 5.30 BS30, BÇ III için kren konsolu maliyeti                           | 103 |
| Tablo 5.31 BS35, BÇ III için kren konsolu maliyeti                           | 104 |
| Tablo 5.32 BS40, BÇ III için kren konsolu maliyeti                           | 105 |
| Tablo 5.33 BS45, BÇ III için kren konsolu maliyeti                           | 106 |
| Tablo 5.34 BS50, BÇ III için kren konsolu maliyeti                           | 107 |
| Tablo 5.35 Kren konsolu maliyetlerinin karşılaştırılması                     | 108 |
| Tablo 6.1 Çubuk numaraları ve koordinatları                                  | 125 |
| Tablo 6.2 Nkot'ların gösterilmesi  | 125 |
| Tablo 6.3 Yaylı yüklerin gösterilmesi  | 126 |
| Tablo 6.4 Tekil yüklerin gösterilmesi  | 126 |
| Tablo 6.5 Tekil momentlerin gösterilmesi                                     | 127 |
| Tablo 6.6 Tekil momentlerin çubuk sol uçlarına olan mesafelerin gösterilmesi | 127 |
| Tablo 6.7 Tekil momentlerin çubuk sağ uçlarına olan mesafelerin gösterilmesi | 127 |
| Tablo 6.8 Çubukların Sbeta(m)'lerinin gösterilmesi                           | 128 |
| Tablo 6.9 Çubukların Cbeta(m)'lerinin gösterilmesi                           | 129 |
| Tablo 6.10 (1) nolu çubuk için süperpozisyon tablosu                         | 141 |
| Tablo 6.11 (2) nolu çubuk için süperpozisyon tablosu                         | 142 |
| Tablo 6.12 (3) nolu çubuk için süperpozisyon tablosu                         | 143 |
| Tablo 6.13 (4) nolu çubuk için süperpozisyon tablosu                         | 144 |
| Tablo 6.14 (5) nolu çubuk için süperpozisyon tablosu                         | 145 |
| Tablo 6.15 (6) nolu çubuk için süperpozisyon tablosu                         | 146 |
| Tablo 6.16 (7) nolu çubuk için süperpozisyon tablosu                         | 147 |
| Tablo 6.17 BS16, BÇ III için kolon hesabı                                    | 158 |
| Tablo 6.18 BS20, BÇ III için kolon hesabı                                    | 159 |
| Tablo 6.19 BS25, BÇ III için kolon hesabı                                    | 160 |
| Tablo 6.20 BS30, BÇ III için kolon hesabı                                    | 161 |
| Tablo 6.21 BS35, BÇ III için kolon hesabı                                    | 162 |
| Tablo 6.22 BS40, BÇ III için kolon hesabı                                    | 163 |
| Tablo 6.23 BS45, BÇ III için kolon hesabı                                    | 164 |
| Tablo 6.24 BS50, BÇ III için kolon hesabı                                    | 165 |

|  |     |
|--|-----|
| Tablo 6.25 BS16, BÇ III için K4 ve K7 kirişleri hesabı | 166 |
| Tablo 6.26 BS20, BÇ III için K4 ve K7 kirişleri hesabı | 167 |
| Tablo 6.27 BS25, BÇ III için K4 ve K7 kirişleri hesabı | 168 |
| Tablo 6.28 BS30, BÇ III için K4 ve K7 kirişleri hesabı | 169 |
| Tablo 6.29 BS35, BÇ III için K4 ve K7 kirişleri hesabı | 170 |
| Tablo 6.30 BS40, BÇ III için K4 ve K7 kirişleri hesabı | 171 |
| Tablo 6.31 BS45, BÇ III için K4 ve K7 kirişleri hesabı | 172 |
| Tablo 6.32 BS50, BÇ III için K4 ve K7 kirişleri hesabı | 173 |
| Tablo 6.33 BS16, BÇ III için K5 ve K6 kirişleri hesabı | 174 |
| Tablo 6.34 BS20, BÇ III için K5 ve K6 kirişleri hesabı | 175 |
| Tablo 6.35 BS25, BÇ III için K5 ve K6 kirişleri hesabı | 176 |
| Tablo 6.36 BS30, BÇ III için K5 ve K6 kirişleri hesabı | 177 |
| Tablo 6.37 BS35, BÇ III için K5 ve K6 kirişleri hesabı | 178 |
| Tablo 6.38 BS40, BÇ III için K5 ve K6 kirişleri hesabı | 179 |
| Tablo 6.39 BS45, BÇ III için K5 ve K6 kirişleri hesabı | 180 |
| Tablo 6.40 BS50, BÇ III için K5 ve K6 kirişleri hesabı | 181 |
| Tablo 6.41 Orta kolonlardaki kesit değişimi            | 182 |
| Tablo 6.42 BS16, BÇ III için çerçeve maliyeti          | 188 |
| Tablo 6.43 BS20, BÇ III için çerçeve maliyeti          | 189 |
| Tablo 6.44 BS25, BÇ III için çerçeve maliyeti          | 190 |
| Tablo 6.45 BS30, BÇ III için çerçeve maliyeti          | 191 |
| Tablo 6.46 BS35, BÇ III için çerçeve maliyeti          | 192 |
| Tablo 6.47 BS40, BÇ III için çerçeve maliyeti          | 193 |
| Tablo 6.48 BS45, BÇ III için çerçeve maliyeti          | 194 |
| Tablo 6.49 BS50, BÇ III için çerçeve maliyeti          | 195 |
| Tablo 6.50 Çerçeve maliyetlerinin karşılaştırılması    | 196 |
| Tablo 7.1 BS16, BÇ III için temel hesabı               | 204 |
| Tablo 7.2 BS20, BÇ III için temel hesabı               | 206 |
| Tablo 7.3 BS25, BÇ III için temel hesabı               | 208 |
| Tablo 7.4 BS30, BÇ III için temel hesabı               | 210 |
| Tablo 7.5 BS35, BÇ III için temel hesabı               | 212 |
| Tablo 7.6 BS40, BÇ III için temel hesabı               | 214 |

|            |  |     |
|------------|--|-----|
| Tablo 7.7  | BS45, BÇ III için temel hesabı         | 216 |
| Tablo 7.8  | BS50, BÇ III için temel hesabı         | 218 |
| Tablo 7.9  | BS16, BÇ III için temel maliyeti       | 223 |
| Tablo 7.10 | BS20, BÇ III için temel maliyeti       | 224 |
| Tablo 7.11 | BS25, BÇ III için temel maliyeti       | 225 |
| Tablo 7.12 | BS30, BÇ III için temel maliyeti       | 226 |
| Tablo 7.13 | BS35, BÇ III için temel maliyeti       | 227 |
| Tablo 7.14 | BS40, BÇ III için temel maliyeti       | 228 |
| Tablo 7.15 | BS45, BÇ III için temel maliyeti       | 229 |
| Tablo 7.16 | BS50, BÇ III için temel maliyeti       | 230 |
| Tablo 7.17 | Temel maliyetlerinin karşılaştırılması | 231 |
| Tablo 8.1  | Toplam maliyetlerin karşılaştırılması  | 233 |

## ÖZET

Bu çalışmada, tek katlı iki açıklıklı bir endüstri yapı sisteminin beton kalitesindeki değişime göre optimum çözümü aranmıştır. Bu amaçla boylama kırışları, kren kırışları, kren konsolu, çerçeve sistemi ve temeller ayrı ayrı gözönünde alınarak bir inceleme yapılmıştır. Döşeme sisteminde böyle bir irdelemeye gerek duyulmamış, daha önce yayımlanmış olan birtakım literatürler gözönünde tutulduğunda malzeme olarak BS16, BÇ I kullanılmasının uygun olduğu düşünülmüştür.

Boylama ve kren kırışları, şartnamelerde verilen sınır değerler de gözönünde tutularak değişik beton sınıfları için ayrı ayrı incelenmiş, bu elemanların boyut, donatı ve metrajları çıkarılmıştır. Kren konsolu için bir inceleme yapılırken yine değişik beton sınıfları için ayrı ayrı konsol hesapları yapılmış ve konsolların boyut, donatı ve metrajları çıkarılmıştır. Çerçeve sisteminde çerçeveyi oluşturan kolon ve kırışlar değişik beton sınıfları için şartnamelerde verilen sınır değerler gözönünde tutularak ayrı ayrı incelenmiş, bu elemanların boyut, donatı ve metrajları çıkarılmıştır. Temeller, üzerlerine gelen yükler esas alınarak sürekli temel olarak düşünülmüş, şartnamelerde verilen sınır değerler gözönünde tutularak değişik beton sınıfları için ayrı ayrı incelenmiş, boyut, donatı ve metrajları çıkarılmıştır.

Yapılan analizler sonucunda, beton sınıflarındaki değişim esas alınarak yapının her beton sınıfı için toplam maliyeti bulunmuş ve böyle bir yapı sisteminde optimum çözüm için gerekli beton sınıfının saptanmasına çalışılmıştır.

## SUMMARY

### THE EFFECTS OF CONCRETE QUALITIES ON DIMENSIONS AND COSTS OF REINFORCED CONCRETE MEMBERS OF INDUSTRIAL STRUCTURES

Economic design of structural reinforced concrete systems is still most important problem in design and civil engineering. The experience of the engineers has been mostly used such designing problems but, design problems have become more sensitive and more important subject to be studied for calculating total cost of the system. Alternative solutions can be obtained for a structural system. On the other hand, costs which belong to these solutions can be quite different. That is why the system costs which are the vital component of designing have to be dealt with carefully by designers and civil engineers.

The main purpose in the optimization of a structural system is to get appropriate values for optimum solution of the cost function which is defined for certain load conditions. The cost function needs some boundary conditions to obtain optimum solution. These boundary conditions can be defined as limit values or restrictions which are determined for system basic parameters, system behaviour and system geometry.

Limit values for system behaviour and system geometry are given in specifications for civil engineering. System basic parameters which can be defined as element dimensions, system form and material characteristics have to be determined appropriately and cost function has to be minimized. Restrictions about basic parameters are given in specifications and basic parameters have to be determined according to these restrictions.

Basic parameters can be taken into consideration together while finding out solution of the cost function in the optimization of the structural system. On the other hand, it will be better to take this parameters into consideration separately in the optimization. In this way the effects of each basic parameter can be seen easily.

In this study, optimum solution of a single-store and double-spanned reinforced concrete industrial structural system shown in Figure 1 is investigated according to the variance of concrete qualities. Sub-systems which are the components of the structural system are studied separately by using different concrete qualities. For this purpose, purlin-crane beam system, crane bracket, frame system and foundations are studied separately and costs for these sub-systems are tried to be obtained.

In the investigation of slab system; it is thought that there is no need to make an investigation as made for other sub-systems. This is a convenient approach to use poor concrete and steel when some researches about slab system are taken into consideration.

Concrete qualities which are used while optimizing the structural system are considered BS16, BS20, BS25, BS30, BS35, BS40, BS45, BS50 and sub-systems of the structural system are studied separately by using these concrete qualities. Quality of the steel is not investigated like concrete qualities in the optimization of the system. but, it is thought that using BC III as reinforcement is an appropriate approach for this kind of structural systems (excluding slab system) when some researches about optimization of industrial systems are taken into consideration.

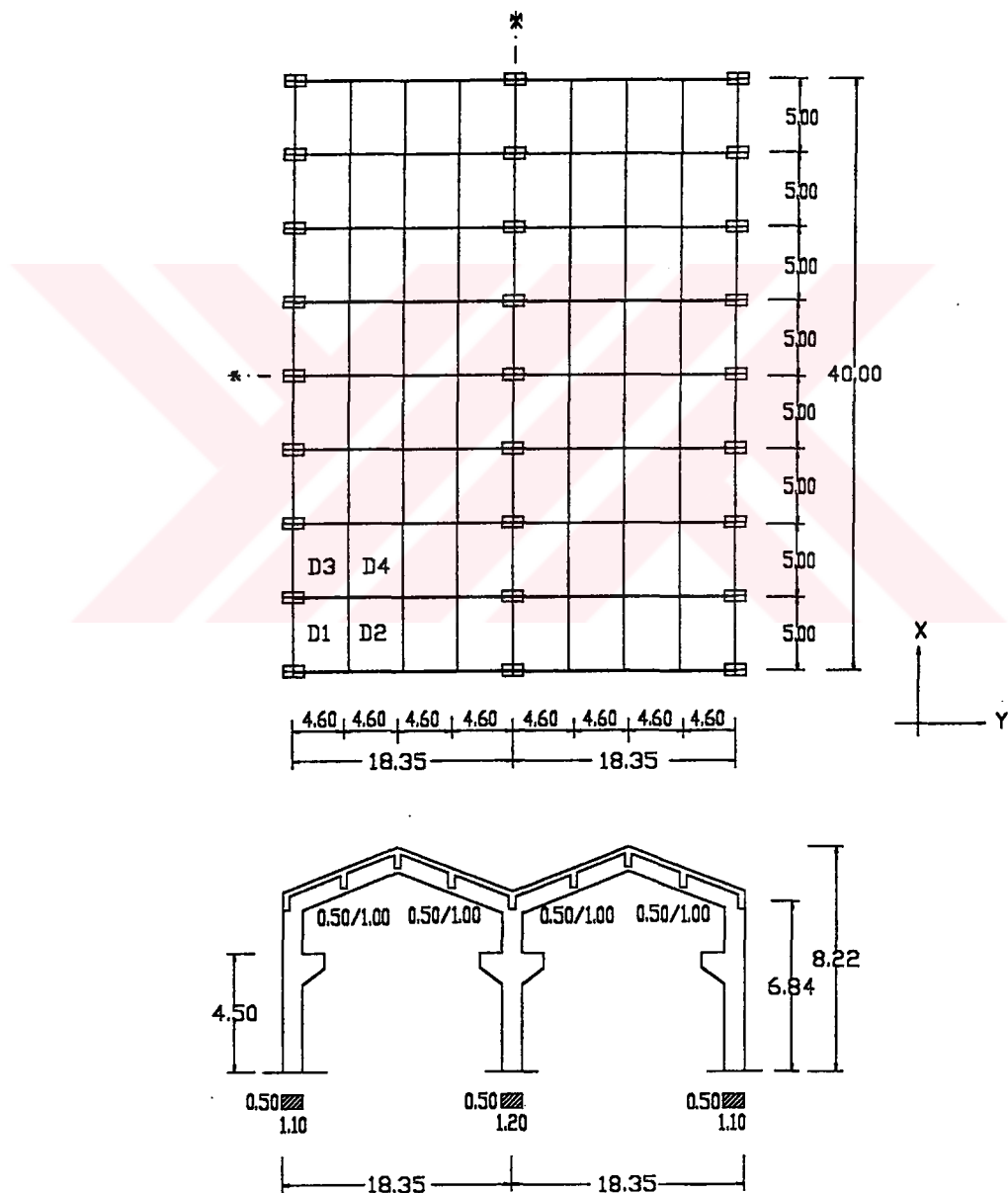


Figure 1 . Industrial structural system

In the investigation of the slab system of the roof ; BS 16, BC I are considered as appropriate materials. There are four kind of slabs in structural system according to support conditions. These slabs are shown in Figure 2 below.

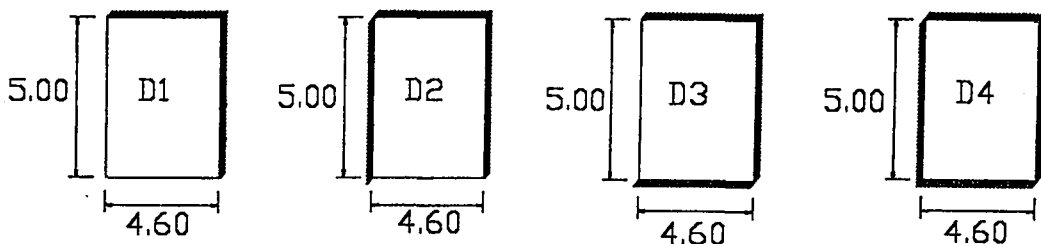
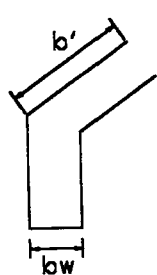


Figure 2 . Different slabs

Slab thicknesses are calculated for each slab and reinforcements are also calculated in x and y direction separately. In addition to this, corner reinforcements which prevent torsion effects are placed at slab corners. Restrictions about reinforcement and slab thickness are taken into consideration while calculating slabs. Slab costs are considered as total of reinforcement, concrete, mould, coating, roof covering and browning coat costs. These costs are calculated separately and whole slab system cost is obtained.

In the investigation of purlin beam system; dimensions, reinforcements and costs of beam system are obtained for different concrete qualities by using restrictions given in specifications. Minimum beam section is selected as  $b/h = 20 \text{ cm}/30\text{cm}$ . There are two different purlin types according to load conditions and geometry. One type purlin which exist at the edge of the system. These purlin types are nonsymmetrical T-beam geometry and have half load area in comparison to other purlins. In addition to this, there is breastwork load on edge purlins. Other type purlins are ridge purlin and the rest of purlins which does not exist at the edge of the system. These purlin types have symmetrical T-beam geometry and their load area is twice as big as edge purlins. These purlin types are shown in Figure 3. Since there are symmetry axis in x and y directions, structural design calculations can be made for half of the system. In this case moment diagram will be symmetric and shear diagram will be antimetric.

Edge purlins



Ridge and other purlin

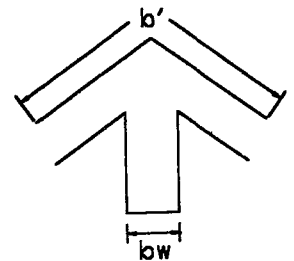
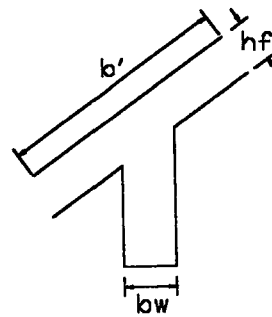


Figure 3 . Purlin beam types

After getting moment and shear values, reinforcement calculations and beam dimensions are obtained according to these values. No bent-up bars as bending reinforcement are used at purlin beams. Additional reinforcements are used at support sections to take negative bending moment. Shear forces are taken by only shear reinforcements. Purlin beam system costs are considered as reinforcement cost, concrete cost, mould cost, coating cost and breastwork wall cost. These costs are calculated separately and whole purlin beam system cost is obtained for every concrete quality.

In the investigation of crane beam system; dimensions, reinforcements and costs of beam system are obtained for different concrete qualities by using restrictions given in specifications. Crane beam sections are selected in rectangular shape. Crane type is selected as commanded from module and crane capacity is selected 10 t. According to crane type values, structural design calculations are made for crane beams. Since there are symmetry axis in x and y directions, structural design calculations can be made for half of the system. In this case moment diagram will be symmetric and shear diagram will be antimetric. After getting moment and shear values, reinforcement calculations and beam dimensions are obtained according to these values. No bent-up bars as bending reinforcement are used at crane beams. Additional reinforcements are used at support sections to take negative bending moment. Shear forces are taken by only shear reinforcements. Crane beam system costs are considered as reinforcement cost, concrete cost, mould cost, coating cost. These costs are calculated separately and whole crane beam system cost is tried to be obtained for every concrete quality.

In the investigation of crane bracket; dimensions, reinforcements and costs of bracket are obtained for different concrete qualities by using restrictions given in specifications. The type of crane bracket is shown in Figure 4.

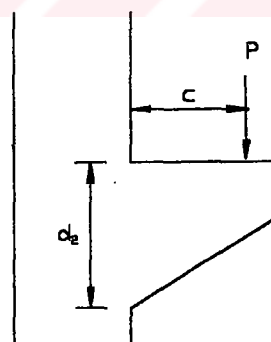


Figure 4 . Crane bracket

Since  $c/d_2 < 1$ , the crane bracket shown in Figure 4 has to be calculated as short bracket. According to crane type values, structural design calculations are made for crane brackets. After getting moment and shear force values, reinforcement calculations and bracket dimensions are obtained according to these values. Crane bracket costs are considered as reinforcement cost, concrete cost, mould cost, coating

cost. These costs are calculated separately and whole crane bracket cost is obtained for every concrete quality.

In the investigation of frame system; beams and columns which make the frame system as a whole are separately studied. Dimensions, reinforcement and cost of beams and columns are obtained separately for different concrete qualities by using restrictions given in specifications. Frame system is taken as a middle frame system and solved for different load cases to get structural design values. These values are added to get combined values of moment, shear force and axial forces. Reinforcement calculations and dimensions are found out separately for columns and beams. Frame system is shown in Figure 5 below.

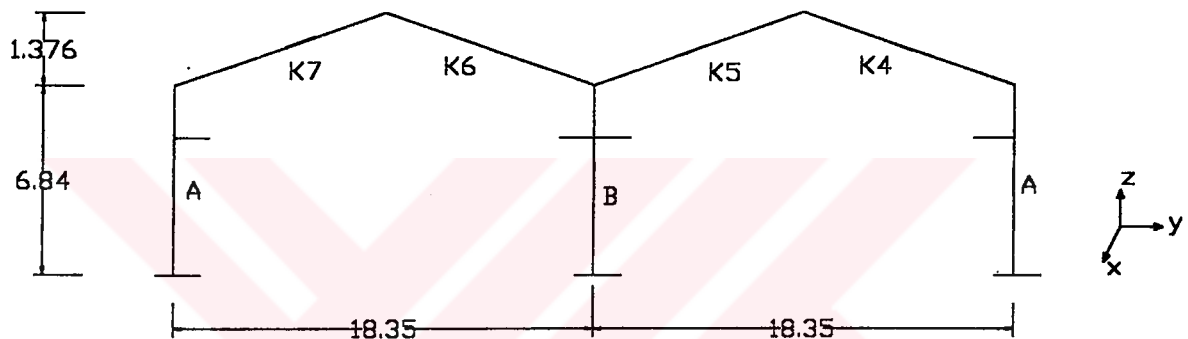


Figure 5 . Frame system

Due to symmetry of the system there are two different columns to be taken into consideration. Column A and Column B are investigated according to their structural design values. Reinforcement calculations and dimensions are obtained by using moment and axial forces for each column type. The check of slenderness is made for each column according to specifications and slenderness is taken into consideration in column calculations. Since there is symmetry axis in z direction there are two different beam types to be taken into consideration. Beam K4 and K7 are the same beams and beam K5 and K6 have the same geometry. All beams have symmetrical T-beam geometry. Reinforcement calculations and dimensions are obtained by using moment, shear force and axial forces for each beam type. Reinforcing bars are designed for both straight bar and bend-up bar. Additional reinforcements are used at support sections to accommodate negative bending moment. Shear forces are taken by bent-up bars and shear reinforcements. Frame system costs are considered as reinforcement cost, concrete cost, mould cost, coating cost. These costs are calculated separately and whole frame system cost is tried to be obtained for every concrete quality. In addition to this, front wall cost and scaffolding cost of the whole structural system are taken into consideration in this part.

The foundation system of the structure is considered as continuous footing when thinking of load cases and values. Dimensions, reinforcement and cost of continuous

footing are obtained for different concrete qualities by using restrictions given in specifications. Continuous footing is considered as inverted T-beam and calculated as elastically supported continuous beam when soil strength is taken into consideration. For this purpose, some nodes are determined under beam and spring constants are defined at this nodes. Spring constants are stated depending on bed constant and load area of the node. Depending on combined load values, structural design calculations are found out and moment, shear force values are obtained. Continuous footing and nodes are shown in Figure 6 below.

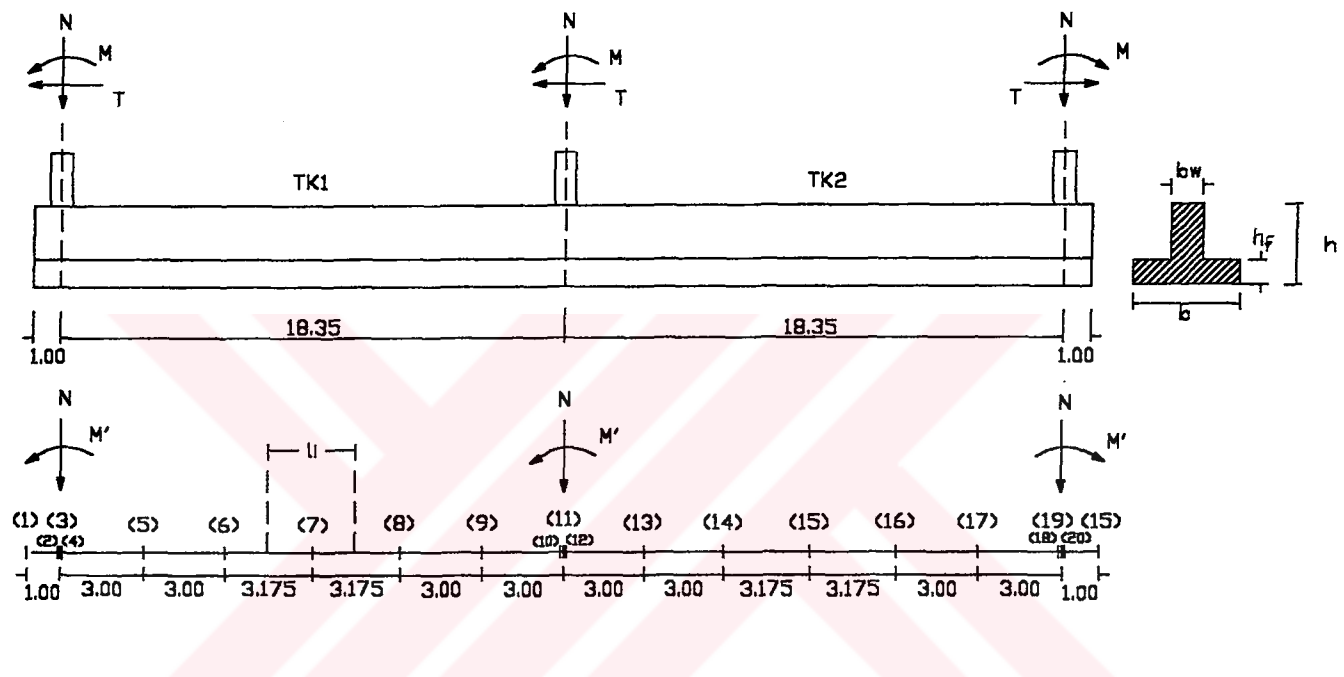


Figure 6 . Continuous footing and nodes

Continuous footings are connected with beams which are placed between two footings to prevent different horizontal displacements. These beams are considered as 30cm × 30cm rectangular beams. Reinforcements and dimensions are obtained separately for TK1 and TK2. Reinforcing bars are designed both straight bar and bend-up bar. Additional reinforcements are used at support sections to take negative bending moment. Shear forces are accommodated by bent-up bars and shear reinforcements. Continuous footing costs are considered as reinforcement cost, concrete cost, mould cost. These costs are calculated separately and foundation system cost is tried to be obtained for every concrete quality. In addition to this, excavation cost, gravel-sand mixture cost and plain concrete cost are taken into consideration to calculate the total cost of foundations.

As a result of these analyses, total cost of the structure is obtained separately for different concrete qualities and optimum concrete quality is found for the selected industrial structural system.

## BÖLÜM 1

### GİRİŞ

Betonarmenin yapı malzemesi olarak kullanılmaya başlanılmadan beri, betonarme yapılarının ekonomik bir biçimde düzenlenmesi ve boyutlandırılmasında genellikle yapı mühendisinin tecrübesine dayanan sezgisel bir yaklaşım kullanılmıştır. Son yıllarda yapı sistemlerinin hesaplanması ve boyutlandırılması konusunda bilgisayarlardan yararlanması ve birçok alternatif çözümün kolaylıkla elde edilmesi, sonuçların değerlendirilmesi konusunda sezgisel yaklaşımların yanında teknolojik gelişmelerin de önemli olduğunu göstermektedir.

Bir yapı sisteminin optimizasyonuda amaç, sistemin esas değişkenlerinin, sistemin davranışı, geometrisi gibi faktörler için getirilen sınırlamalar içinde kalmak şartıyla, belirli yükleme ya da işletme durumları için tanımlanan maliyet fonksiyonunun optimum çözümünü veren değerlerini bulmaktır.

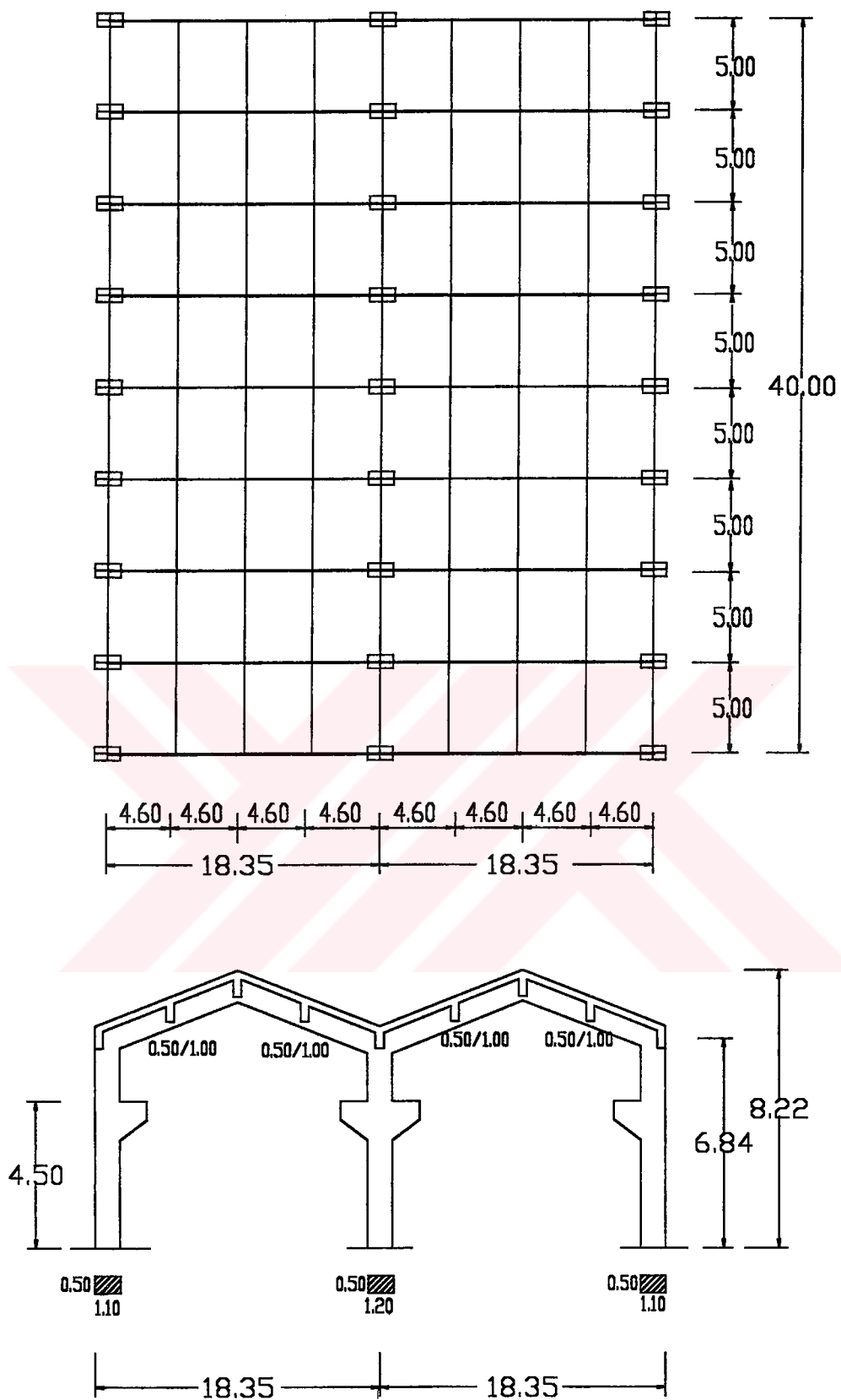
Sistemin davranışı ve geometrisi ile ilgili sınırlamalar şartnamelerde verilen değerler veya denklemlere uyularak sağlanmalıdır. Sistemin esas değişkenleri ise eleman boyutları, sistemin biçimini tanımlayan parametreler ve malzeme mekanik özellikleridir. Bu değişkenler şartnamelerin elverdiği esneklikte kullanılarak yukarıda bahsi geçen maliyet fonksiyonunun minimum olmasına çalışılmalıdır.

Sistemin esas değişkenleri hep birlikte veya teker teker ele alınarak bir optimizasyona gidilebilir. Esas değişkenlerin ayrı ayrı ele alınarak birtakım çözümlerin elde edilmesi, kullanılan değişkenin maliyet fonksiyonundaki ağırlığını veya yerini tespit edebilme açısından önemlidir.

Bu amaçla taşıyıcı sistemin yapımında, gerek mukavemet gerekse maliyet yönünden sonuç maliyete etkenliği farklı olabilecek beton türleri kullanılarak toplam maliyetlerin

analizine yönelik bir çalışma yapılmıştır. Yapının değişik yerlerinde farklı beton türlerinin kulanılabileceği düşünülerek yapıyı meydana getiren aşık kırışları, kren kırışları, çerçeveler ve temeller gibi alt sistemler ayrı ayrı incelenerek optimum maliyetin hesaplanmasına çalışılmıştır.

Endüstri yapıları çoğunlukla tek katlı betonarme yapılar biçiminde gerçekleştirilmektedir. Bu tip yapıların giderek çoğaldığı ülkemizde ekonomik çözümlerin bulunması yatırımların uygun kullanılması bakımından oldukça önemlidir. Bu nedenle optimum çözümün bulunması, ülkemiz gibi gelişmekte olan ülkeler için minimum maliyetle maksimum faydayı yakalama yolunda önemli bir aşama olmalıdır.



Sekil 1.1 Inceleme konusu tek katlı iki açılıklı betonarme yapı taşıyıcı sisteminde çatı dosemesi, boylama kırısları, kren konsolu ve tipik cerceve

## 1.1 KONU VE KAPSAM

Bu araştırmada Şekil 1.1'de boyutları ve biçimini verilen tek katlı, iki açıklıklı bir endüstri yapısının beton kalitesindeki değişim esas alınarak optimum çözümü aranmış ve yürürlükte olan şartnameler ışığında ekonomik projelendirme için birtakım esasların saptanmasına çalışılmıştır. Yapı sistemini meydana getiren alt sistemler ayrı ayrı ele alınmış daha sonra bu alt sistemlerin birleştirilmesi ile oluşan taşıyıcı sistemin optimizasyonu yapılmıştır. Yapı sistemini meydana getiren alt sistemler, dösemeler, boylama aşık kırışları, kren kırışları, kren konsolu, ana çerçeve ve temeller olarak sınıflandırılarak herbiri için beton kalitesindeki değişim esas alınarak optimum çözüm aranmıştır. Fakat dösemeler için böyle bir optimizasyon yapılması gereksiz olduğu düşünülerek literatürler de gözönünde bulundurulduğunda BS 16 ve BÇ I malzemelerini kullanmanın yeterli olduğu düşünülmüştür. Optimum çözüm aranırken, örneğin aşık kırışlarında değişik beton kaliteleri kullanılarak kırışlar boyutlandırılmış ve her kullanılan beton sınıfı için bir aşık kırış maliyeti hesaplanmıştır. Bu şekilde diğer alt sistemler de her beton sınıfı için boyutlandırılıp fiyatlandırılarak toplam yapı maliyetinin bulunmasına çalışılmıştır.

Yapı sisteminin optimizasyonu yapılırken kullanılan beton kaliteleri BS16, BS20, BS25, BS30, BS35, BS40, BS45, BS50 olarak seçilmiştir.

Çalışmaya konu olan betonarme yapı sisteminin optimizasyonunda kullanılacak demir kalitesi için beton kalitesinde yapılan türde bir analiz yapılmamış, fakat bu konuda yayımlanmış literatürler gözönünde bulundurulduğunda donatı olarak BÇ III kullanılması ve sadece aşık kırışlarında yardımcı donatı olarak BÇ I kullanılmasının uygun olacağı görülmüştür.

Yapı sisteminin statik ve betonarme hesapları yapılırken yapının I. Deprem bölgesinde olduğu ve zemin emniyet gerilmesinin  $\sigma_{zem} = 30 \text{ t} / \text{m}^2$  olduğu düşünülmüştür. Ayrıca kren tipi olarak motorlu sepetten kumandalı kren seçilmiş ve kren kaldırma kapasitesi 10 t. olarak alınmıştır.

Betonarme yapı sisteminin optimizasyonunda taşıma gücü ilkeleri kullanılarak hesaplar yapılmıştır. Yapı sisteminin maliyetinin bulunmasında gerekli olan birim fiyatlar, Bayındırlık Bakanlığı'nın 1997 yılı için yayımladığı birim fiyatlarından alınmıştır.



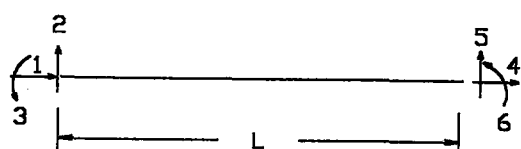
## BÖLÜM 2

### DÜZLEM ÇERÇEVELERİN ÇÖZÜMÜNDE KULLANILAN BİLGİSAYAR PROGRAMININ TANITIM VE GELİŞTİRİLMESİ

#### 2.1 RİJİTLİK MATRİSİ YÖNTEMİ

Taşıyıcı sistemlerin güvenlikle boyutlandırılması için, taşıyıcı sisteme ait moment, kesme kuvveti ve normal kuvvet gibi kesit zorlarının saptanması gereklidir. İnşaat mühendisliğinde karşılaşılan sistemlerin birçoğu hiperstatik sistemdir, yani kesit zorları mekanığın denge denklemleri ile bulunamaz. Hiperstatik sistemlerin çözümünde genel olarak deformasyon teoremleri ana rol oynar. Bilinmeyen sayısı ile denge denklemleri sayısı arasındaki fark kadar denklem, şekil değiştirme teoremlerinden yararlanılarak yazılabilir ve böylece bilinmeyen kuvvet sayısına eşit sayıda denklem takımı elde edilerek problemin çözümü sağlanır. Bu tür sistemlerin çözümünde kullanılan birtakım genel ve özel çözüm yöntemleri vardır. Çözümler yapılırken hesaplamaların yoğun olması sebebiyle bilgisayar kullanılması yoluna gitmek daha kolay ve zaman açısından daha ekonomik bir çözüm yolu olmaktadır. Bu çalışmada kullanılan bilgisayar programının dayandığı çözüm yöntemi *rijitlik matrisi yöntemi*dir. Bu yöntemde, sistemi oluşturan elemanların her biri için ayrı bir eleman rijitlik matrisi oluşturulup daha sonra bu rijitlik matrislerinin ortak eksen takımına indirgenerek süperpoze edilmesiyle sistem rijitlik matrisi bulunur ve çözüm elde edilir.

##### 2.1.1 Düzlem çerçeve çubuğu rijitlik matrisi katsayıları



Şekil 2.1 Düzlem çerçeve çubuğunda serbestlik dereceleri

Düzlem çerçeveye çubuğunda altı tane serbestlik derecesi tanımlanır. Sıra ile 1, 2, 3, 4, 5, 6. serbestlik dereceleri doğrultusunda birim yerdeğiştirme verilir, çubuğun uç kuvvetleri hesaplanır. Bulunan bu üç kuvvetleri, çubuğun  $6 \times 6$  boyutundaki eleman rijitlik matrisini oluşturan birim kuvvetlerdir.  $[k]$  rijitlik matrisi,

$$[k] = \begin{vmatrix} k_{11} & k_{12} & k_{13} & k_{14} & k_{15} & k_{16} \\ k_{21} & k_{22} & k_{23} & k_{24} & k_{25} & k_{26} \\ k_{31} & k_{32} & k_{33} & k_{34} & k_{35} & k_{36} \\ k_{41} & k_{42} & k_{43} & k_{44} & k_{45} & k_{46} \\ k_{51} & k_{52} & k_{53} & k_{54} & k_{55} & k_{56} \\ k_{61} & k_{62} & k_{63} & k_{64} & k_{65} & k_{66} \end{vmatrix}$$

şeklinde yazılır.

Örnek olarak,

$k_{13}$  : (1) nolu serbestlik derecesi yönünde birim yer değiştirme verildiğinde (3) nolu serbestlik derecesi yönünde oluşan birim üç kuvvet.

$k_{25}$  : (2) nolu serbestlik derecesi yönünde birim yer değiştirme verildiğinde (5) nolu serbestlik derecesi yönünde oluşan birim üç kuvvet.

Bu şekilde hesaplanan birim üç kuvvetlerinin oluşturduğu çerçeve çubuğu rijitlik matrisi aşağıda gösterilmiştir.

$$[k] = \begin{vmatrix} (EF/L) & 0 & 0 & (-EF/L) & 0 & 0 \\ 0 & (12EI/L) & (6EI/L^2) & 0 & (-12EI/L) & (6EI/L^2) \\ 0 & (6EI/L^2) & (4EI/L) & 0 & (-6EI/L^2) & (2EI/L) \\ (-EF/L) & 0 & 0 & (EF/L) & 0 & 0 \\ 0 & (-12EI/L) & (-6EI/L^2) & 0 & (12EI/L) & (-6EI/L^2) \\ 0 & (6EI/L^2) & (2EI/L) & 0 & (-6EI/L^2) & (4EI/L) \end{vmatrix}$$

### 2.1.2 Eksenlerin Döndürülmesi

Yukarıda bulunan rijitlik matrisi, çubuk eksenlerine göre çıkarılmış rijitlik matrisidir. Daha önce açıklandığı üzere, sistemi oluşturan çubukların eksenleri birbirinden farklı olduğundan, her bir çubuk için bulunan çubuk rijitlik matrisleri ortak bir eksende tarif edilmelidirler. Bu amaçla, çubuk eksenlerine göre çıkarılmış çubuk rijitlik matrisleri, her çubuk için ayrı ayrı tanımlanan dönüştürme matrisleri kullanılarak, bütün sistem için tanımlanan ortak eksenlere indirgenir. Sözü geçen dönüştürme matrisi, çubuk eksenleri ile ortak eksenler arasındaki açılarla bağlı olarak hesaplanan doğrultu cosinüsleri matrisidir.

$[k]_{xyz}$ : Çubuk eksenlerine göre bulunan rijitlik matrisi,

$[t]$ : Dönüştürme matrisi,

$[K]_{XYZ}$ : Ortak eksenlere göre bulunan rijitlik matrisi,

olarak tanımlandığında,  $[k]_{xyz} = [t] \times [K]_{XYZ}$  bağıntısı yardımı ile ortak eksenlere göre tanımlanan rijitlik matrisi  $[K]_{XYZ}$  bulunur. Bu işlem her çubuk için yapıldığında sisteme ait bütün çubukların ortak eksenlere göre rijitlik matrisleri bulunmuş olur.

### 2.1.3 Sistem Rijitlik Matrisinin Çıkarılması

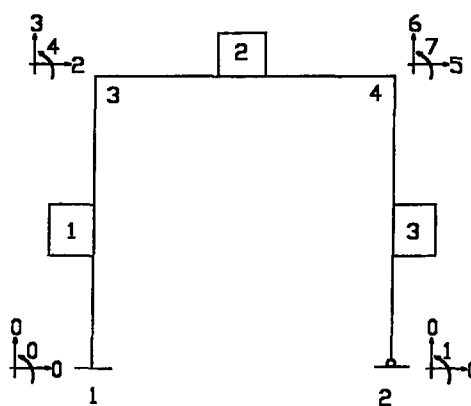
Taşıyıcı sistemin rijitlik matrisini bulmak için kod numaraları yöntemi uygulanır. Bir çubuğun baş ve son düğüm noktalarının numaraları o çubuğun taşıyıcı sistem içinde konumunu gösterir. Her düğüm noktasında belli bir sayıda serbestlik derecesi vardır. Bir mesnette en fazla üç çeşit yer değiştirme olabilir.

- Yatay öteleme
- Düşey öteleme
- Dönme

Bir mesnette hangi çeşit yer değiştirme serbest değilse 0 (sıfır) numara verilir. Serbest olan yer değiştirmeler sıra ile numarandırılır. Her düğüm noktasında serbestlik derecesi kadar bilinmeyen mevcuttur. [1]

Kod numaraları yöntemine örnek olarak Şekil 2.2 deki sistem gözüne alının. Düğüm noktalarına numara verilir. (1) mesnetinde üç çeşit yer değiştirme de serbest

değildir, sıfır değerlerini alır. (4) mesnetinde ise, yalnız dönme serbesttir. (2) ve (3) düğüm noktalarında üç serbestlik te vardır.



Şekil 2.2

| ÇUBUK | DÜĞÜM | KOD NO      |
|-------|-------|-------------|
| 1     | (1-3) | 0 0 0 2 3 4 |
| 2     | (3-4) | 2 3 4 5 6 7 |
| 3     | (2-4) | 0 0 1 5 6 7 |

(1) nolu çubuğun rijitlik matrisi,

$$[k]_1 = \begin{vmatrix} 0 & 0 & 0 & 2 & 3 & 4 \\ k_{11} & k_{12} & k_{13} & k_{14} & k_{15} & k_{16} \\ k_{21} & k_{22} & k_{23} & k_{24} & k_{25} & k_{26} \\ k_{31} & k_{32} & k_{33} & k_{34} & k_{35} & k_{36} \\ k_{41} & k_{42} & k_{43} & k_{44} & k_{45} & k_{46} \\ k_{51} & k_{52} & k_{53} & k_{54} & k_{55} & k_{56} \\ k_{61} & k_{62} & k_{63} & k_{64} & k_{65} & k_{66} \end{vmatrix} \begin{matrix} 0 \\ 0 \\ 0 \\ 2 \\ 3 \\ 4 \end{matrix}$$

(2) nolu çubuğun rijitlik matrisi,

|       | 2<br>k <sub>11</sub> | 3<br>k <sub>12</sub> | 4<br>k <sub>13</sub> | 5<br>k <sub>14</sub> | 6<br>k <sub>15</sub> | 7<br>k <sub>16</sub> | 2 |
|-------|----------------------|----------------------|----------------------|----------------------|----------------------|----------------------|---|
|       | k <sub>21</sub>      | k <sub>22</sub>      | k <sub>23</sub>      | k <sub>24</sub>      | k <sub>25</sub>      | k <sub>26</sub>      | 3 |
| [k]2= | k <sub>31</sub>      | k <sub>32</sub>      | k <sub>33</sub>      | k <sub>34</sub>      | k <sub>35</sub>      | k <sub>36</sub>      | 4 |
|       | k <sub>41</sub>      | k <sub>42</sub>      | k <sub>43</sub>      | k <sub>44</sub>      | k <sub>45</sub>      | k <sub>46</sub>      | 5 |
|       | k <sub>51</sub>      | k <sub>52</sub>      | k <sub>53</sub>      | k <sub>54</sub>      | k <sub>55</sub>      | k <sub>56</sub>      | 6 |
|       | k <sub>61</sub>      | k <sub>62</sub>      | k <sub>63</sub>      | k <sub>64</sub>      | k <sub>65</sub>      | k <sub>66</sub>      | 4 |

(3) nolu çubuğun rijitlik matrisi,

|       | 0<br>k <sub>11</sub> | 0<br>k <sub>12</sub> | 1<br>k <sub>13</sub> | 5<br>k <sub>14</sub> | 6<br>k <sub>15</sub> | 7<br>k <sub>16</sub> | 0 |
|-------|----------------------|----------------------|----------------------|----------------------|----------------------|----------------------|---|
|       | k <sub>21</sub>      | k <sub>22</sub>      | k <sub>23</sub>      | k <sub>24</sub>      | k <sub>25</sub>      | k <sub>26</sub>      | 0 |
| [k]3= | k <sub>31</sub>      | k <sub>32</sub>      | k <sub>33</sub>      | k <sub>34</sub>      | k <sub>35</sub>      | k <sub>36</sub>      | 1 |
|       | k <sub>41</sub>      | k <sub>42</sub>      | k <sub>43</sub>      | k <sub>44</sub>      | k <sub>45</sub>      | k <sub>46</sub>      | 5 |
|       | k <sub>51</sub>      | k <sub>52</sub>      | k <sub>53</sub>      | k <sub>54</sub>      | k <sub>55</sub>      | k <sub>56</sub>      | 6 |
|       | k <sub>61</sub>      | k <sub>62</sub>      | k <sub>63</sub>      | k <sub>64</sub>      | k <sub>65</sub>      | k <sub>66</sub>      | 7 |

olarak kod no'ları rijitlik matrislerinin üst satır ve yan sütunlarına gelecek şekilde yazılır.

Taşıyıcı sistemin rijitlik matrisinin elemanları bu kod no'lara göre bulunur. Örneğin K<sub>11</sub>, K<sub>14</sub>, K<sub>23</sub> değerleri,

$$K_{11} = (k_{33})_3 \quad (2.1)$$

$$K_{14} = 0 \quad (2.2)$$

$$K_{23} = (k_{54})_1 + (k_{21})_2 \quad (2.3)$$

olarak bulunur.

Sistem rijitlik matrisinin boyutu Şekil 2.2 'deki sistemde  $7 \times 7$ 'dir. Yani bilinmeyen sayısı şayet  $n$  ise, sistem rijitlik matrisinin boyutu  $n \times n$  olacaktır.

#### 2.1.4 Düğüm Noktalarındaki Dış Kuvvetler Matrisi

Bir taşıyıcı sisteme etki eden dış yükler,

- sistemin düğüm noktalarında,
- çubuklar üzerinde

etki ederler.

Sistemin düğüm noktasına etki eden dış yükler, yer değiştirme yönleri ile aynı yönde ise pozitif, aksi yönde ise negatif alınırlar. Çubuklar üzerine etki eden tekil veya yayılı yüklerdir. Çubuklar uçlarda ankastre kabul edilerek uç noktalarında ankastrelilik reaksiyonları hesaplanır. Uç noktalarındaki bu uç ankastrelilik reaksiyonları ‘etki=tepki’ prensibine göre ters işaretle düğüm noktalarına etki ederler.

Bu açıklamalar ışığında,

[p]: Düğüm noktalarındaki dış kuvvet sütun matrisi,

[N]: Düğüm noktalarındaki dış yük sütun matrisi,

[f]: Çubuk uçlarındaki uç ankastrelilik sütun matrisi

olmak üzere  $[p] = [N] - [f]$  olarak yani, düğüm noktalarına etki eden dış yüklerden oluşan dış yük sütun matrisinden, çubuk ekseni üzerine etki eden düzgün yayılı ve/veya tekil yüklerden dolayı çubuk uçlarında meydana gelen uç ankastrelilik sütun matrisinin çıkarılması ile elde edilir.

Çubuk uçlarındaki üç ankasrelik sütun matrisi, her çubuk için çubuk eksenlerine bağlı olarak ayrı ayrı bulunur. Daha sonra bulunan bu sütun matrisleri, ortak eksenlere göre yazılırlar. Her çubuk için  $[p]$  dış kuvvet sütun matrisi bulunduktan sonra kod numaraları yöntemi uygulanarak sisteme ait dış kuvvet sütun matrisi  $[P]$  bulunur.

#### 2.1.5 Taşıyıcı sistemin rijitlik denklemi

Sistemin  $[K]$  rijitlik matrisi ve  $[P]$  dış kuvvetler matrisi bilindiğine göre, sistemin düğüm noktalarındaki yer değiştirmeler  $[D]$  ile gösterilirse, N bilinmeyenli taşıyıcı sistemin rijitlik denklemi,

$$P_1 = K_{11}D_1 + K_{12}D_2 + \dots + K_{1N}D_N \quad (2.4)$$

$$P_2 = K_{21}D_1 + K_{22}D_2 + \dots + K_{2N}D_N \quad (2.5)$$

•  
•  
•  
•

$$P_N = K_{N1}D_1 + K_{N2}D_2 + \dots + K_{NN}D_N \quad (2.6)$$

şeklinde yazılabilir. Bu denklemden düğüm noktaları yer değiştirme sütun matrisi  $[D]$  hesaplanabilir.

#### 2.1.6. Çubuk uç kuvvetleri

Bulunan yer değiştirme sütun matrisi  $[D]$  ortak eksenlere göre bulunan sistem yer değiştirme matrisidir. Kod numaraları yöntemi uygulanarak her çubuğun ortak eksenlere göre yer değiştirme matrisi bulunabilir. Bu durumda çubuk uç kuvvetleri,

$$[p] = [k] \times [d] + [f] \quad (2.7)$$

olarak yazılır. Bu denklemde,

- $[k]$  : Ortak eksenlere göre her bir çubuğun rijitlik matrisi,
- $[d]$  : Ortak eksenlere göre her bir çubuğun yer değiştirme matrisi,

- $[f]$  : Ortak eksenlere göre her bir çubuğun üç ankastrelik reaksiyonları matrisi olarak yazılır.

## 2.2 BİLGİSAYAR PROGRAMI

Açıklanan rijitlik matrisi yöntemiyle düzlem çerçevelerin çözümü için kullanılan bir bilgisayar programıdır. [1]

Bilgisayara giriş yapmadan önce aşağıda belirtilen işlemler sıra ile yapılır.

1. Düzlem çerçevenin çubuk eksenlerini, düğüm noktalarını ve mesnet koşullarını gösteren bir şekil çizilir.
2. Düğüm noktaları belli bir kurala göre numaralandırılır.
3. Çubuklar bir kurala bağlı olmaksızın numaralandırılır.
4. Mesnetlerde ve düğüm noktalarında yer değiştirme yönleri işaretlenir. Serbest olmayan yer değiştirme doğrultuları sıfır alainır. Diğerleri numaralandırılır.
5. Çubuk düğüm noktası yükleri işaretlenir.
6. Çubukların alanı, atalet momenti ve koordinatları bir tabloda belirtilir. Çubuk sayısı, bilinmeyen sayısı, yükleme sayısı, rijitlik matrisi satır ve sütun sayısı tespit edilir.
7. Her çubuk için kod numaraları belirlenir.
8. Her çubuğun ankastrelik üç reaksiyonları hesaplanır.

Bilgisayar programında:

1. ME : Çubuk sayısı  
 $N=IS$  : Bilinmeyen sayısı  
 LS : Yükleme sayısı  
 NS : Rijitlik matrisi satır ve sütun sayısı  
 ME, N, LS, NS bilgisayara verilir.

2. AL : Çubuk alanı

**XI** : Çubuk atalet momenti

**XYI** : Seçilen koordinat ekseninde çubuk i ucu apsisı

**XYJ** : Seçilen koordinat ekseninde çubuk j ucu apsisı

**XZI** : Seçilen koordinat ekseninde çubuk i ucu ordinatı

**XZJ** : Seçilen koordinat ekseninde çubuk j ucu ordinatı

**AL, XI, XYI, XYJ, XZI, XZJ** bilgisayara her çubuk için sıra ile sütun esasına göre verilir.

**3. NKOT** : Çubuk uç kod numaraları

NKOT, bilgisayara her çubuk için sıra ile sütun esasına göre verilir.

**4. FIXX** : Çubuk ankastrelık reaksiyonları

FIXX, bilgisayara her çubuk için sıra ile sütun esasına göre verilir.

**5. CP** : Düğümlerdeki dış yükler

CP, bilgisayara her çubuk için sıra ile sütun esasına göre verilir.

Bilgisayar programında yapılan işlemler:

1. Her çubuğun, boyu, eksenel rıjitliği, eğilme rıjitlikleri ve rıjilik matrisi hesaplanır.
2. Her çubuğun doğrultu cosinüsleri matrisi hesaplanır.
3. Her çubuğun ortak eksenlere göre rıjilik matrisi bulunur.
4. Çubuk eksenlerine göre verilen uç ankastrelık reaksiyonları ortak eksenlere çevrilir.
5. Kod numaraları yöntemine göre taşıyıcı sistemin rıjilik matrisi teşkil edilir.
6. Düğüm noktalarındaki dış kuvvetlerin sütun matrisi bulunur.
7. Her doğrultudaki yer değiştirmeler N bilinmeyenli taşıyıcı sistem rıjilik denklemi çözülerek bulunur.
8. Her bir çubuğun ortak eksenlere göre, yer değiştirme sütun matrisi hesaplanır.
9. Ortak eksenlere göre çubuk uç kuvvetleri bulunur.
10. Çubuk eksenlerine göre çubuk uç kuvvetleri hesaplanır.

Göründüğü gibi bu programda, sistemdeki çubukların her birinin, değişik yüklemeler altında ankastrelik uç reaksiyonları ayrı ayrı hesaplanması gerekmektedir. Özellikle çok çubuklu sistemlerde ve yükleme sayısının çok olduğu sistemlerde bu reaksiyonların el ile hesaplanması ve elde edilen değerlerin çokluğu nedeniyle data olarak bilgisayara girilmesi oldukça zahmetli olmaktadır. Bu amaçla bilgisayar programına bir takım eklemeler yapılarak bu zahmetin ortadan kaldırılmasına çalışılmıştır.

#### 2.2.1 Bilgisayar programında yapılan değişiklikler

Çubuk ankastrelik reaksiyonlarının el ile hesaplanması oldukça zahmetli olduğundan bu işlemin uygun data girişiyle bilgisayara yaptırılması yoluna gidilmiştir. Ayrıca değişik kesitlerle hesap yapılmasının kolaylaşması bakımından çubuk alanları ve atalet momentleri değerlerinin hesabı da bilgisayara yaptırılmıştır. Böylece hem el ile yapılan hesaplar minimuma indirilerek hata yapılması riski azaltılacak hem de bilgisayar data girişi daha basit olacaktır.

Çubuk ankastrelik reaksiyonlarının, çubuk alanlarının ve çubuk atalet momentlerinin bilgisayar tarafından hesaplanabilmesi için bilgisayara data olarak bazı verilerin ek olarak girilmesi gerekmektedir. Bu veriler;

B: Çubuk elemanın genişliği (m),

Y: Çubuk elemanın yüksekliği (m),

XP: Çubuk eleman üzerindeki yayılı yükler ( $t/m$ ),

YK: Çubuk eleman üzerindeki tekil yükler (t),

XMO: Çubuk eleman üzerindeki tekil momentler (tm),

AL<sub>1</sub>: Çubuk eleman üzerindeki tekil momentin çubuk sol ucuna mesafesi (m),

AL<sub>2</sub>: Çubuk eleman üzerindeki tekil momentin çubuk sağ ucuna mesafesi (m),

SBETA: Çubuk eleman üzerinde bulunan yayılı yükün çubuk eleman ile, saat akrebi yönünde yaptığı açının sinüsü,

CBETA: Çubuk eleman üzerinde bulunan yayılı yükün çubuk eleman ile, saat akrebi yönünde yaptığı açının cosinüsü,

Burada XP, YK, XMO, AL<sub>1</sub>, AL<sub>2</sub>, SBETA, CBETA her yük durumu gözönüne alınarak her çubuk ayrı ayrı yazılırlar. Sistemdeki çubuk sayısı ME ve sistemdeki yükleme sayısı LS ise bu ifadeler, örneğin yayılı yük XP(LS,ME) şeklindedir. Örnek olarak,

XP(4,8): 8 no'lu çubuk üzerine 4 no'lu yüklemeden gelen yayılı yük,

XMO(2,6): 6 no'lu çubuk üzerine 2 no'lu yüklemeden gelen tekil moment,

AL2(3,4): 4 no'lu çubuk üzerine 3 no'lu yüklemeden gelen tekil momentin 4 no'lu çubuğun sağ ucuna olan mesafesi,

CBETA(1,5): 5 no'lu çubuk üzerine 1 no'lu yüklemeden gelen yayılı yükün, 5 no'lu çubuk ile saat akrebi yönünde yaptığı açının cosinüsü,

yazılabilir. Bu ifadeler her çubuk için yazıldıktan sonra gerekli olan çubuk ankastrelik reaksiyonları, yazılmış olan bu ifadelere bağlı olarak elde edilirler. Örneğin N tane yükleme olan bir sistemde herhangi bir çubukta her yüklemeden dolayı oluşan çubuk ankastrelik reaksiyonları formül olarak programda FIXX data bloğu kısmına yazılsa program otomatik olarak her yükleme için her çubukta oluşan çubuk ankastrelik reaksiyonları matrisini oluşturacaktır. Böylelikle sistem üzerindeki yüklerin tanımlanması ile çubuk ankastrelik üç reaksiyonları kendiliğinden bulunmuş olur. Sistemdeki yük değerlerinin değişmesi halinde de çubuk üç reaksiyonları matrisi otomatikman değişecek ve fazladan işlem yapılmasına gerek duyulmayacaktır.

Bilgisayara giriş yapılırken Bölüm 2.2'de yapılan işlemler aynen yapılır. Fakat çubuk ankastrelik raksiyonları hesaplanmaz. Bunun yerine çubukların koordinatları, eleman genişlik ve yüksekliği, kod numaraları, tekil yükler, yayılı yükler, tekil momentler, tekil momentlerin yerini gösteren AL<sub>1</sub> ve AL<sub>2</sub> sayıları ve yayılı yük ile çubuk arasındaki açıyı gösteren SBETA ve CBETA sayıları her çubuk için sıra ile sütun esasına göre verilir. Bu şekilde girilen datalar kullanılarak çubuk ankastrelik reaksiyonları ve çubuk üç kuvvetleri bilgisayar tarafından hesaplanır. Bölüm 6'da iki açıklıklı ana çerçeveyin çözümü yapılırken yukarıda yazılı olan datalar hazırlanıp tablolar halinde verilmiştir. Çerçevenin çözümü bu program ile yapılmış ve sonuçlar elde edilmiştir. Kullanılan bilgisayar programı Ek A'da verilmiştir.

## BÖLÜM 3

### ÇATI DÖŞEMESİ HESABI

Çatı döşeme sisteminde yapılabildiği durumlarda BS16 / BC I malzemelerini kullanmanın daha uygun çözüm vereceği görülmüştür [2]. Bu bağlamda çalışmaya konu olan endüstri yapısının çatı döşeme sistemi BS16 / BCI kullanılarak çözülecek ve çatı sistemi maliyeti hesaplanacaktır.

#### 3.1 DÖŞEME KALINLIĞININ TAYİNİ

Şartnamede döşeme kalınlığı için verilen formül kullanılmıştır. [4]

$$h_f \geq l_{yn} \times (800 + \beta \times f_{yd}) / (36000 + 5000 \times m \times (1 + \alpha_p)) \quad (3.1)$$

$l_{yn}$ : Uzun kenar doğrultusundaki serbest açıklık,

$f_{yd}$ : Çelik akma dayanımı,

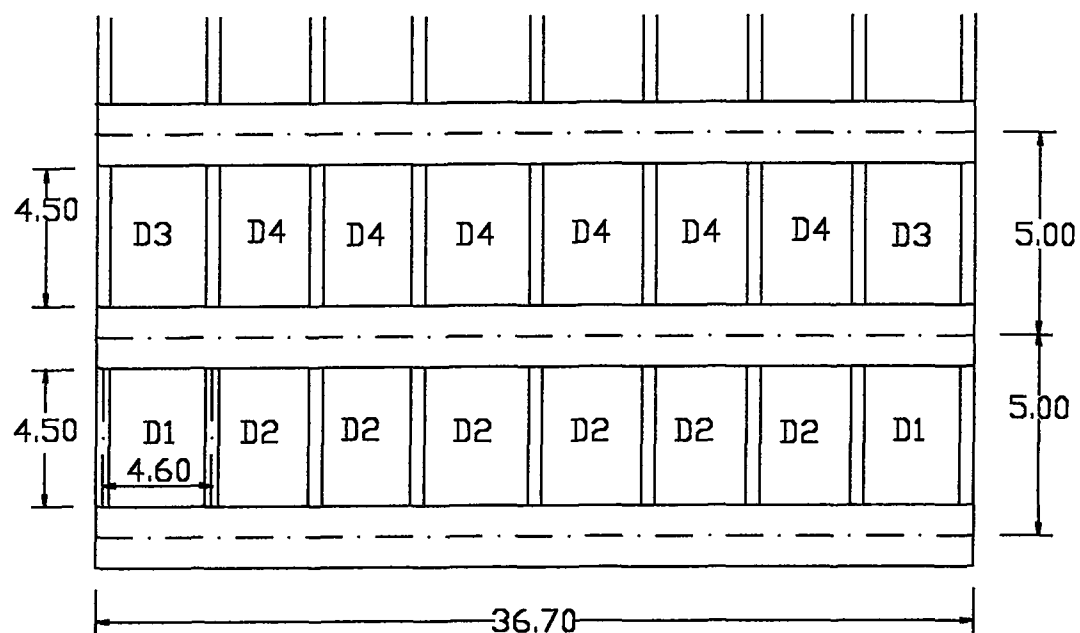
$m$ : Uzun kenarın kısa kenara oranı,

$\alpha_p$ : Sürekli olan kenar toplam uzunluğunun döşeme çevresine oranı,

$\beta$ : 0.07

olarak tanımlanmıştır. Ayrıca şartnamede deprem bölgelerinde yapılan yapılar için minimum döşeme kalınlığı 8 cm. verilmiştir.

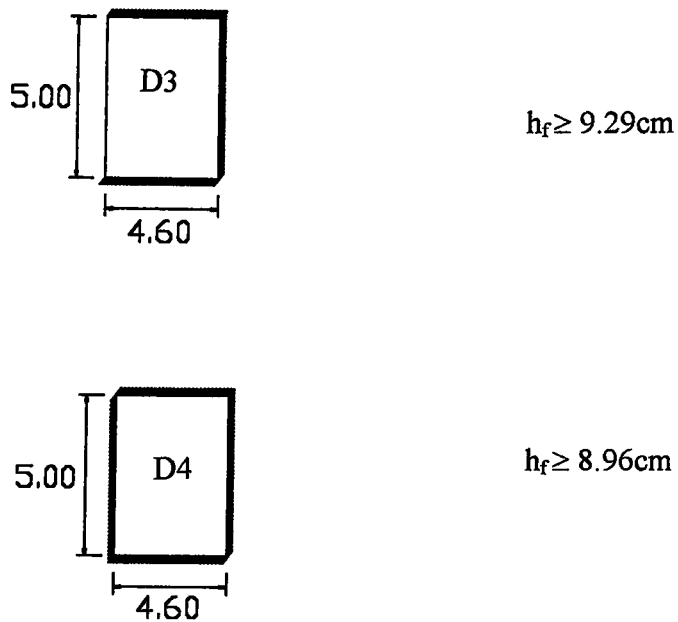
Çalışmaya konu olan endüstri yapısındaki döşeme sistemi aşağıdaki şekilde gösterilmiştir.



Sekil 3.1 Doseme sistemi

Gösterilen döseme tiplerinin formül (3.1) yardımıyla  $h_f$  kalınlıkları,

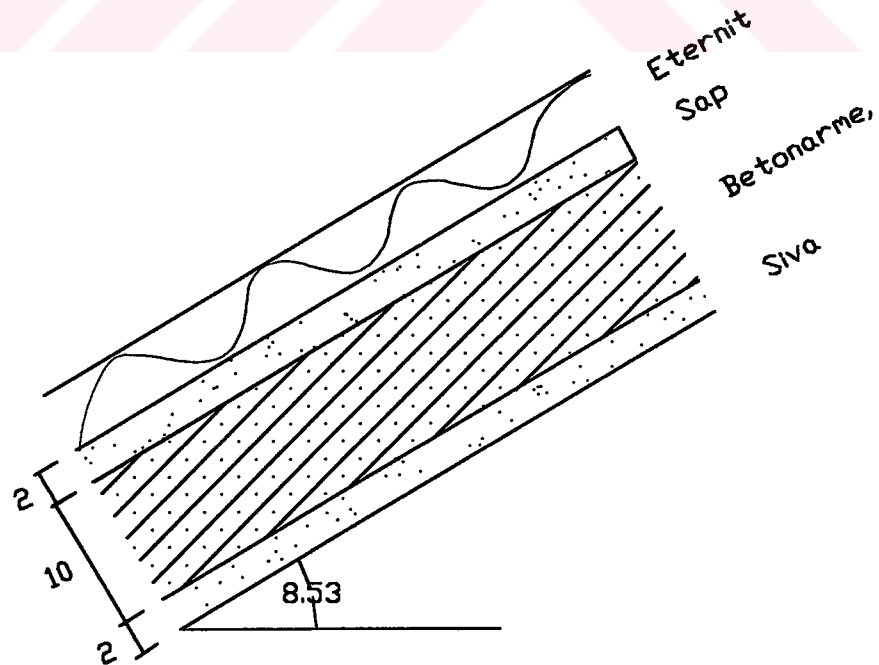




Şekil 3.2 Döşeme tipleri ve tabla kalınlıkları

olarak bulunmuştur.  $h_f$  kalınlığı 10 cm. olarak seçilmiştir.

### 3.2 YÜK ANALİZİ



Şekil 3.3 Döşeme enkesiti

**1. Döşeme Yükü ;**

$$g_{d\theta s} = h_f \times 2.5 = 0.10 \times 2.5 = 0.25 \text{ t/m}^2 \quad (3.2)$$

olarak alınmıştır.

**2. Dalgalı Eternit Yükü ;**

$$\text{Şartnameden } g_e = 0.020 \text{ t/m}^2$$

olarak alınmıştır. [5]

**3. Şap (2cm kalınlığında) ;**

Şartnamede şap ağırlığı için  $g=0.022 \text{ t/m}^2$  verilmiştir. [5]

$$g_s = 2 \times 0.022 = 0.044 \text{ t/m}^2 \quad (3.3)$$

olarak alınmıştır.

**4. Sıva Ağırlığı (2cm kalınlığında) ;**

Şartnamede sıva ağırlığı için  $g=0.020 \text{ t/m}^2$  verilmiştir.

$$g_s = 2 \times 0.020 = 0.040 \text{ t/m}^2 \quad (3.4)$$

olarak alınmıştır.

**5. Kar Yükü ;**

Kar yükü olarak  $g=0.075 \text{ t/m}^2$  olarak alınmıştır. [5] Çatı eğimi %15 olduğundan

$$g_k = 0.075 \times \cos 8.53 = 0.074 \text{ t/m}^2 \quad (3.5)$$

olarak alınmıştır.

Toplam Yaylı Yük ;

$$P = 1.5 \times \Sigma g = (0.250 + 0.020 + 0.044 + 0.040 + 0.074) \times 1.5 / \cos 8.53 = 0.649 \text{ t/m}^2 \quad (3.6)$$

olarak bulunur.

### 3.3 DÖŞEMELERİN STATİK HESABI

Dösemelerin statik hesabı yapılırken şartnamede yer alan tablolardan faydalanyılmıştır. Her döseme tipi için kenar şartları ve döseme boyutlarına göre gerekli katsayılar tablolardan okunarak açıklık ve mesnet momentleri Tablo 3.1 'de hesaplanmıştır. İki farklı döseme tipinin ortak kenarının iki yanında bulunan mesnet momentlerinde  $M_{\min} / M_{\max} > 0.8$  olduğundan komşu iki dösemenin etkileşimi gözönüne alınmayıp mesnet momenti olarak  $M_{\max}$  alınmıştır. [4]

### 3.4 DÖŞEMELERİN BETONARME HESABI

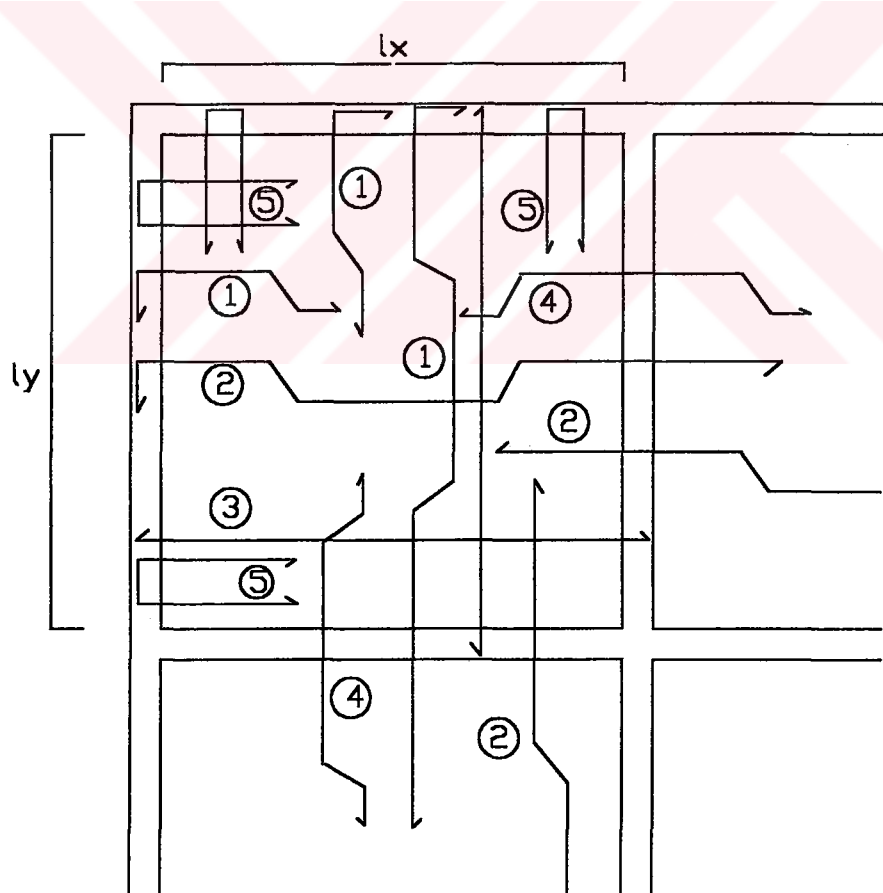
Tablo 3.1'de hesaplanan açıklık ve mesnet momentleri göz önünde tutularak, betonarme hesaplar kısa ve uzun doğrultularda yapılarak donatılar sırası ile Tablo 3.2 ve Tablo 3.3 'de hesaplanmıştır. Donatıların hesaplanması sırasında BÇ I kullanılmış ve min donatı çapı olarak  $\phi 8$  seçilmiştir. Ayrıca her döseme için kısa ve uzun doğrultularda hesaplanan donatı yüzdeleri toplamının 0.004 oranından az olmamasına dikkat edilmiştir. Maksimum donatı aralığı ise,

$$s < 1.5 \times hf = 1.5 \times 10 = 15 \text{ cm.} \quad (3.5)$$

almıştır.

Şartnamede döşeme köşelerinde köşeyi meydana getiren kenarlar üzerinde döşeme sürekli değilse burulma donatısı koyulması gereği belirtilmiştir. Bu donatı, köşeyi içine alan kenarların hiçbirinin sürekli olmaması halinde kenarlara paralel iki kat üstte ve iki kat alta, uzunlukları küçük açılığın  $1/5$  ‘i kadar ve her kat donatısının alanı maksimum açıklık donatısının  $3 / 4$  ‘ü olacak şekilde düzenlenir. Köşeyi içine alan kenarlardan biri üzerinde döşemenin sürekli olması halinde koyulacak olan bu donatı yarıya indirilebilir. [4] Bu anlamda çalışmaya konu olan endüstri yapısının döşeme sisteminde D1, D2, D3 döşemelerinde açıklık donatılarına bağlı olarak kenarlara burulma donatıları koyulmuştur. Bu donatıların boyları küçük açıklık olan  $l_x$  ‘in beşte biri alınmıştır.

Döşemeler için kullanılan donatı şeması aşağıda gösterilmiştir.



Şekil 3.4 Döşeme donatı şeması

Tablo 3.1 Döşeme statik hesabı

| Plak | $I_x$ | $I_y$ | $m$   | $\alpha_{x1}$ | $\alpha_{x2}$ | $M_{x1}$ | $M_{x2}$ | $M_{x3}$ | $\alpha_{y1}$ | $\alpha_{y2}$ | $\alpha_{y3}$ | $M_{y1}$ | $M_{y2}$ | $M_{y3}$ |        |
|------|-------|-------|-------|---------------|---------------|----------|----------|----------|---------------|---------------|---------------|----------|----------|----------|--------|
| D1   | 4,60  | 5,00  | 1,087 | 0,028         | 0,041         | 0,055    | 0,738    | 0,5500   | 0,3756        | 0,025         | 0,037         | 0,049    | 0,6574   | 0,4964   | 0,3354 |
| D2   | 4,60  | 5,00  | 1,087 | 0,046         | 0,034         | 0,046    | 0,617    | 0,4561   | 0,6171        | 0,021         | 0,031         | 0,041    | 0,5500   | 0,4159   | 0,2817 |
| D3   | 4,60  | 5,00  | 1,087 | 0,023         | 0,034         | 0,046    | 0,617    | 0,4561   | 0,3086        | 0,041         | 0,031         | 0,041    | 0,5500   | 0,4159   | 0,5500 |
| D4   | 4,60  | 5,00  | 1,087 | 0,039         | 0,029         | 0,039    | 0,523    | 0,3890   | 0,5232        | 0,033         | 0,025         | 0,033    | 0,4427   | 0,3354   | 0,4427 |

$$M = \alpha p I x^2$$

$$m=ly / Ix$$

$M_1$  : Sürekli kenarda negatif moment (tm)

$M_2$  : Açıkkılık ortasında pozitif moment (tm)

$M_3$  : Süreksiz kenarda negatif moment (tm)

D1 / D2 arası mesnet momenti

$M_{hesap}=0,7478$  tm

D1 / D3 arası mesnet momenti

$M_{hesap}=0,6474$  tm

D3 / D4 arası mesnet momenti

$M_{hesap}=0,6171$  tm

D2 / D4 arası mesnet momenti

$M_{hesap}=0,5500$  tm

Tablo 3.2 Kısa doğrultuda döşeme hessabi

| Momentin yeri<br>(x-doğrultusu) | $M_d$<br>(tm/m) | $d$<br>(cm) | $k_d$   | $k_s$ | $A_s$<br>(cm <sup>2</sup> /m) | Seçilen<br>(cm <sup>2</sup> /m) | Mevcut<br>(cm <sup>2</sup> /m)        | $E_k$<br>(cm <sup>2</sup> /m) |
|---------------------------------|-----------------|-------------|---------|-------|-------------------------------|---------------------------------|---------------------------------------|-------------------------------|
| D1                              | 0,3756          | 8,5         | 4,38587 | 5,466 | 2,4153                        |                                 | $\phi 8/24\text{cm}$ (2,09)           |                               |
| D1/D2                           | 0,5500          | 7,5         | 3,19801 | 5,590 | 4,0993                        | $\phi 8/12\text{cm}$ (4,19)     |                                       | $\phi 8/33\text{cm}$ (1,51)   |
| D2                              | 0,7378          | 8,5         | 3,12932 | 5,600 | 4,8608                        |                                 | $\phi 8/24+\phi 8/29\text{cm}$ (3,83) | $\phi 8/33\text{cm}$ (1,51)   |
| D2/D2                           | 0,4561          | 7,5         | 3,51181 | 5,545 | 3,3721                        | $\phi 8/14,5\text{cm}$ (3,47)   |                                       |                               |
| D3                              | 0,6171          | 8,5         | 3,42169 | 5,558 | 4,0351                        |                                 | $\phi 8/29+\phi 8/29\text{cm}$ (3,47) | $\phi 8/33\text{cm}$ (1,51)   |
| D3                              | 0,3086          | 8,5         | 4,83861 | 5,439 | 1,9747                        |                                 | $\phi 8/29\text{cm}$ (1,73)           |                               |
| D3/D4                           | 0,4561          | 7,5         | 3,51181 | 5,545 | 3,3721                        | $\phi 8/14,5\text{cm}$ (3,47)   |                                       | $\phi 8/33\text{cm}$ (1,51)   |
| D4                              | 0,6171          | 8,5         | 3,42169 | 5,558 | 4,0351                        |                                 | $\phi 8/29+\phi 8/30\text{cm}$ (3,41) | $\phi 8/33\text{cm}$ (1,51)   |
| D4/D4                           | 0,3890          | 7,5         | 3,80265 | 5,503 | 2,8542                        | $\phi 8/15\text{cm}$ (3,35)     |                                       |                               |
|                                 | 0,5232          | 8,5         | 3,71608 | 5,515 | 3,3946                        |                                 | $\phi 8/30+\phi 8/30\text{cm}$ (3,35) | $\phi 8/33\text{cm}$ (1,51)   |

Tablo 3.3 Uzun doğrultuda döşeme hesabi

| Momentin yeri<br>(y-doğrultusu) | $M_d$<br>(tm/m) | $d$<br>(cm) | $k_d$   | $k_s$ | $A_s$<br>( $\text{cm}^2/\text{m}$ ) | Seçilen<br>( $\text{cm}^2/\text{m}$ ) | Mevcut<br>( $\text{cm}^2/\text{m}$ ) | $E_k$<br>( $\text{cm}^2/\text{m}$ ) |
|---------------------------------|-----------------|-------------|---------|-------|-------------------------------------|---------------------------------------|--------------------------------------|-------------------------------------|
| D1                              | 0,3354          | 8,5         | 4,64128 | 5,451 | 2,1509                              | $\phi 8/30\text{cm}$ (1,67)           | $\phi 8/33\text{cm}$ (1,51)          |                                     |
| D1/D3                           | 0,4964          | 8,5         | 3,81507 | 5,501 | 3,2126                              | $\phi 8/15\text{cm}$ (3,35)           |                                      |                                     |
| D3                              | 0,6574          | 8,5         | 3,31516 | 5,573 | 4,3102                              | $\phi 8/30+\phi 8/30\text{cm}$ (3,35) | $\phi 8/33\text{cm}$ (1,51)          |                                     |
| D3/D3                           | 0,4159          | 8,5         | 4,16797 | 5,479 | 2,6808                              | $\phi 8/15\text{cm}(3,35)$            |                                      |                                     |
| D2                              | 0,5500          | 8,5         | 3,62441 | 5,528 | 3,5769                              | $\phi 8/30+\phi 8/30\text{cm}$ (3,35) | $\phi 8/33\text{cm}$ (1,51)          |                                     |
| D2/D4                           | 0,3354          | 8,5         | 4,64128 | 5,466 | 2,1568                              | $\phi 8/26\text{cm}$ (1,86)           | $\phi 8/33\text{cm}$ (1,51)          |                                     |
| D4                              | 0,4964          | 7,5         | 3,36624 | 5,590 | 3,6998                              | $\phi 8/13,5\text{cm}(3,72)$          |                                      |                                     |
| D4/D4                           | 0,6574          | 8,5         | 3,31516 | 5,600 | 4,3311                              | $\phi 8/26+\phi 8/30\text{cm}$ (3,53) | $\phi 8/33\text{cm}$ (1,51)          |                                     |
|                                 | 0,4159          | 7,5         | 3,67762 | 5,545 | 3,0749                              | $\phi 8/15\text{cm}(3,35)$            |                                      |                                     |
|                                 | 0,5500          | 8,5         | 3,62441 | 5,558 | 3,5964                              | $\phi 8/30+\phi 8/30\text{cm}$ (3,35) | $\phi 8/33\text{cm}$ (1,51)          |                                     |

### **3.5 DÖŞEMELERİN FİYATLANDIRILMASI**

Çalışmaya konu olan endüstri yapısında,

D1 Tipi döşemeden 4 Adet,

D2 Tipi döşemeden 12 Adet

D3 Tipi döşemeden 12 Adet

D4 Tipi döşemeden 36 Adet

bulunmaktadır. Yapılan döşeme hesapları her tip için bir sefer yapıldığından bir döşeme tipi için bulunan maliyet o tipin adedi ile çarpılarak toplam döşeme maliyeti bulunmuştur.

#### **3.5.1 DÖŞEME İMALAT ÇEŞİTLERİ**

##### **3.5.1.1 DEMİR İMALATI**

Döşemeler için kısa ve uzun doğrultularda hesaplanan açıklık donatıları sırası ile  $A_{sx}$  ve  $A_{sy}$  olmak üzere toplam donatı ortalama değeri

$$A_s = \beta \times (A_{sx} + A_{sy}) \quad (3.6)$$

olarak  $\text{kg/m}^2$  cinsinden hesaplanmıştır. Döşeme oturma şartlarına bağlı olan  $\beta$  değerleri aşağıda verilmiştir.  $A_{sx}$  ve  $A_{sy}$   $\text{cm}^2$  olarak kısa ve uzun doğrultularda hesap yoluyla bulunan açıklık donatılarını göstermektedir [2].

**Tablo 3.4 Döşeme oturma şekline göre  $\beta$  değerleri**

| Döşeme oturma şekli               | $\beta$ değeri |
|-----------------------------------|----------------|
| İki komşu kenarı ankastre         | 1,10           |
| İki kısa bir uzun kenarı ankastre | 1,28           |
| İki uzun bir kısa kenarı ankastre | 1,31           |
| Dört kenarı ankastre              | 1,37           |

### 3.5.1.2 KALIP İMALATI

Bir döşemenin yapımı için kullanılacak olan kalip alanı yapıdaki döşeme sayısı olan 64 ile çarpılarak  $m^2$  cinsinden,

$$TKA(m^2) = 64 \times (((l_x - b_{w1}) / \cos\alpha) \times (l_y - b_{w2})) \quad (3.7)$$

olarak hesaplanmıştır. Burada

$b_{w1}$  : Aşık kırıcı genişliği

$b_{w2}$  : Çerçeve kırıcı genişliği

olarak alınmıştır.

### 3.5.1.3 BETON İMALATI

Döşemelerin yapımı için gerekli beton miktarı yapı sisteminin döşeme alanı ile döşeme kalınlığının çarpılması ile  $m^3$  cinsinden,

$$\text{TBM}(\text{m}^3) = 36.7 \times 40 \times hf / \cos\alpha \quad (3.8)$$

olarak hesaplanmıştır.

#### 3.5.1.4 SIVA İMALATI

Bir döşemenin yapımı için kullanılan 2cm kalınlığındaki siva alanı, döşeme sayısı olan 64 ile çarpılarak  $\text{m}^2$  olarak,

$$\text{TSA}(\text{m}^2) = 64 \times ((l_y - b_{w2}) \times ((l_x - b_{w1}) / \cos\alpha)) \quad (3.9)$$

olarak hesaplanmıştır.

#### 3.5.1.5 ŞAP İMALATI

Döşemelerin yapımı için kullanılan 2cm kalınlığındaki şap alanı, yapı sisteminin döşeme alanı kadardır. Bu miktar  $\text{m}^2$  olarak,

$$\text{TSA}(\text{m}^2) = 36.7 \times 40 / \cos\alpha \quad (3.10)$$

olarak hesaplanmıştır.

#### 3.5.1.6 ETERNİT YERLEŞTİRİLMESİ

Döşeme sisteminin üzerine yerleştirilecek olan eternit alanı, yapı sisteminin döşeme alanı kadardır. Bu miktar  $\text{m}^2$  olarak,

$$\text{TEA}(\text{m}^2) = 36.7 \times 40 / \cos\alpha \quad (3.11)$$

olarak hesaplanmıştır.

**Tablo 3.5 BS 16 , BCI için döşeme maliyeti**

| SIRA NO | POZ NO   | MALATİN CİNSİ               | MİKTARI | ÖLÇÜ BİRİMİ    | 1997 YILI BİRİM FİYATI (TL) | TUTARI (TL)          |
|---------|----------|-----------------------------|---------|----------------|-----------------------------|----------------------|
| 1       | 16.057/1 | BS 16 HAZIR BETONU          | 148.85  | M <sup>3</sup> | 6.738.123                   | 1.002.969.609        |
| 2       | 21.011   | DÜZ YÜZEYLİ BETONARME KALIP | 1281.4  | M <sup>2</sup> | 804.400                     | 1.030.758.160        |
| 3       | 23.001/1 | O8-O12 MM BETONARME DEMİRİ  | 13.38   | T              | 54.207.500                  | 725.296.350          |
| 4       | 23.002   | O14-O50 MM BETONARME DEMİRİ | -       | T              | 48.523.100                  | -                    |
| 5       | 27.501   | SIVA YAPILMASI              | 1281.4  | M <sup>2</sup> | 427.702                     | 548.057.343          |
| 6       | 27.582   | ŞAP YAPILMASI               | 1488.5  | M <sup>2</sup> | 167.843                     | 249.834.306          |
| 7       | 18.258   | ETERNİT DÖŞENMESİ           | 1488.5  | M <sup>2</sup> | 763.700                     | 1.136.767.450        |
|         |          |                             |         |                |                             | <b>4.693.683.218</b> |

## BÖLÜM 4

### AŞIKLARIN HESABI

#### 4.1 KİRİSLERE YÜK AKTARILMASI

##### 4.1.1. YÜK ANALİZİ

Döşemeden gelen yükler; şartnamede plak kenarlarındaki mesnet kırışlarının eğilme momentinin hesabında yük dağılışına eşdeğer olarak aşağıdaki gibi eşit yayılı yük alınır [4].

$l_x$ : Döşeme kısa kenarı,

$l_y$ : Döşeme uzun kenarı,

$p$ : Döşemeden gelen yayılı yük,

$m$ :  $l_y / l_x$

olmak üzere

$$\text{Kısa açıklık için} ; \quad l_x \times p / 3 \quad (4.1)$$

$$\text{Uzun açıklık için} ; \quad l_x \times p \times (1.5 - (1/2 \times m^2)) / 3 \quad (4.2)$$

yazılır.

2. Kiriş öz ağırlığı ;

$$W = b_w \times (h - h_f) \times 2.5 \quad (4.3)$$

olarak yazılır.

3. Sıva ağırlığı ( 2cm kalınlığında );

$$W = (2 \times (h - h_f) + b_w) \times 0.02 \times \gamma_{\text{sıva}} \quad (4.4)$$

olarak yazılır. Şartnamede  $\gamma_{\text{sıva}} = 2 \text{ t/m}^3$  [5]

4. Parapet duvar ağırlığı ;

Şartnamede delikli tuğlanın birim ağırlığı  $\gamma_{\text{tuğ}} = 0.42 \text{ t/m}^2$  olarak verilmiştir [5].

Kenar kirişte ;

$$p = 0.433 \text{ t/m}, \quad b_w = 20 \text{ cm}$$

$$l_x = 4.6 \text{ m} \quad h = 30 \text{ cm}$$

$$l_y = 5.0 \text{ m} \quad \text{Parapet duvar yüksekliği} = 40 \text{ cm}$$

$$\text{Döşemeden gelen yük} ; \dots \dots \dots 0.433 \times 4.6 \times (1.5 - (1/(2 \times (1.087^2)))) / (3 \times \cos 8.53) = 0.716 \text{ t/m}$$

$$\text{Kiriş öz ağırlığı} ; \dots \dots \dots 0.20 \times (0.30 - 0.10) \times 2.5 = 0.100 \text{ t/m}$$

$$\text{Sıva ağırlığı} ; \dots \dots \dots (2 \times 0.2 + 0.2) \times 0.02 \times 2 = 0.024 \text{ t/m}$$

$$\text{Parapet duvar ağırlığı} ; \dots \dots \dots 0.40 \times 0.42 = 0.168 \text{ t/m}$$

$$\text{Toplam ağırlık} ; \dots \dots \dots 1.00 \text{ t/m}, \quad P = 1.00 \times 1.5 = 1.50 \text{ t/m}$$

İç kiriş ve mahya kirişi;

$$p = 0.866 \text{ t/m}, \quad b_w = 20 \text{ cm}$$

$$l_x = 4.6 \text{ m} \quad h = 30 \text{ cm}$$

$$l_y = 5.0 \text{ m}$$

$$\text{Döşemeden gelen yük} ; \dots \dots \dots 0.866 \times 4.6 \times (1.5 - (1/(2 \times (1.087^2)))) / (3 \times \cos 8.53) = 1.431 \text{ t/m}$$

$$\text{Kiriş öz ağırlığı} ; \dots \dots \dots 0.20 \times (0.30 - 0.10) \times 2.5 = 0.100 \text{ t/m}$$

$$\text{Sıva ağırlığı} ; \dots \dots \dots (2 \times 0.2 + 0.2) \times 0.02 \times 2 = 0.024 \text{ t/m}$$

$$\text{Toplam ağırlık} ; \dots \dots \dots 1.555 \text{ t/m}, \quad P = 1.555 \times 1.5 = 2.33 \text{ t/m}$$

## 4.2 KİRİŞ GENİŞLİKLERİ

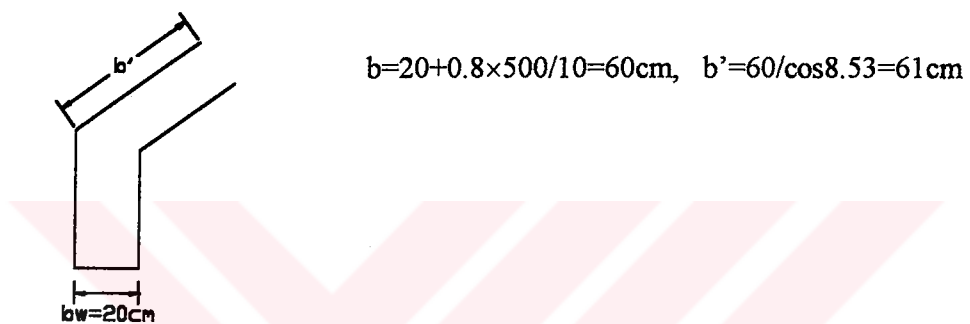
Şartnamede,

$$\text{Orta açıklık için ; } b = b_w + \alpha \times l_y / 5 \text{ (simetrik)}, \quad \alpha = 0.6 \quad (4.5)$$

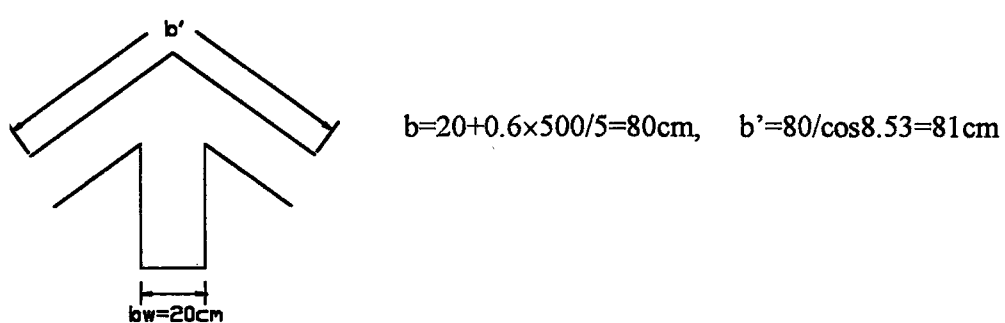
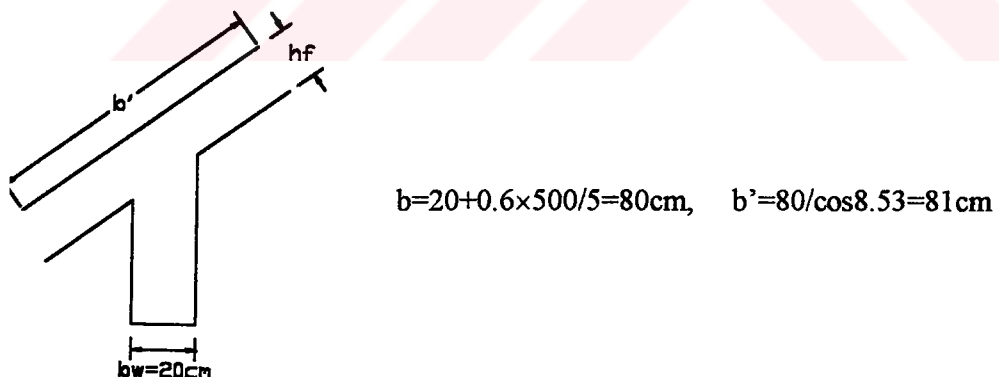
$$\text{Kenar açıklık için ; } b = b_w + \alpha \times l_y / 10 \text{ (simetrik olmayan)}, \quad \alpha = 0.8 \quad (4.6)$$

olarak verilmektedir [4]. Bu formüller ışığında,

Kenar kirişte;



İç kirişte ve mahya kirişinde ;

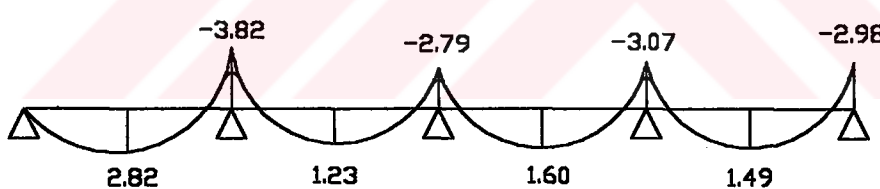
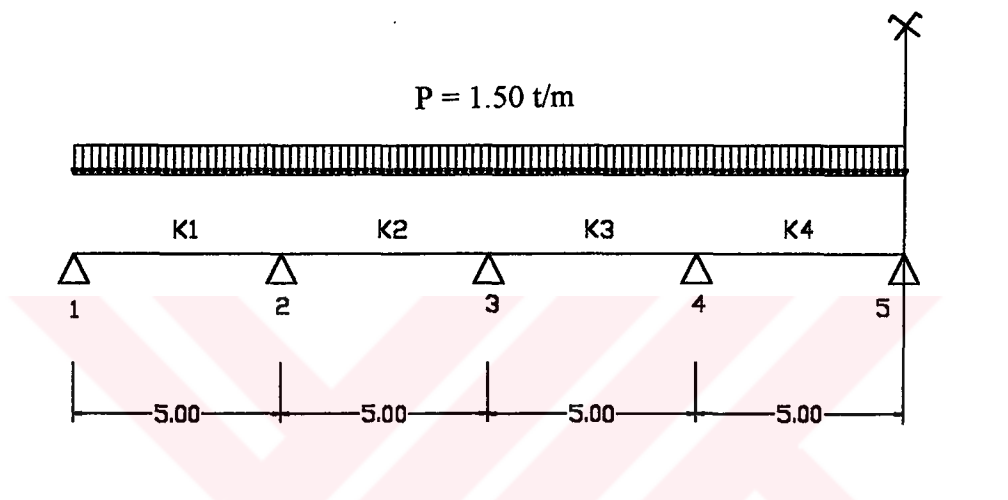


Şekil 4.1 Aşık kirişleri ve etkili tabla genişlikleri

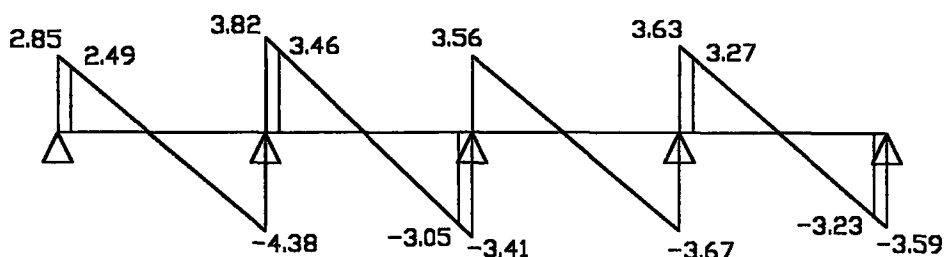
#### 4.3 AŞIK KİRİŞLERİNİN STATİK HESABI

Elde edilen yayılı yük değerleri kullanılarak aşık kirişlerinin hesabı yapılmıştır. Yapıda boyuna doğrultuda simetri ekseni olması dolayısıyla sistemin yarısı ile hesap yapılması yoluna gidilmiştir.

Kenar kirişte;



$M (tm)$  Simetrik



$V (t)$  Antimetrik

Şekil 4.2 Kenar aşık kirişlerinde moment ve kesme kuvveti diyagramları

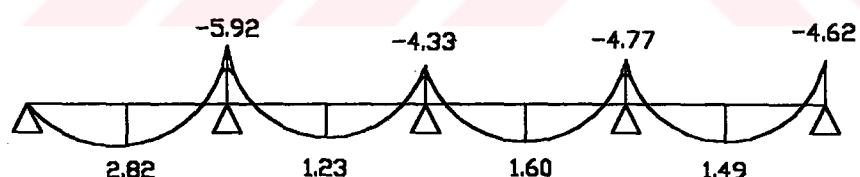
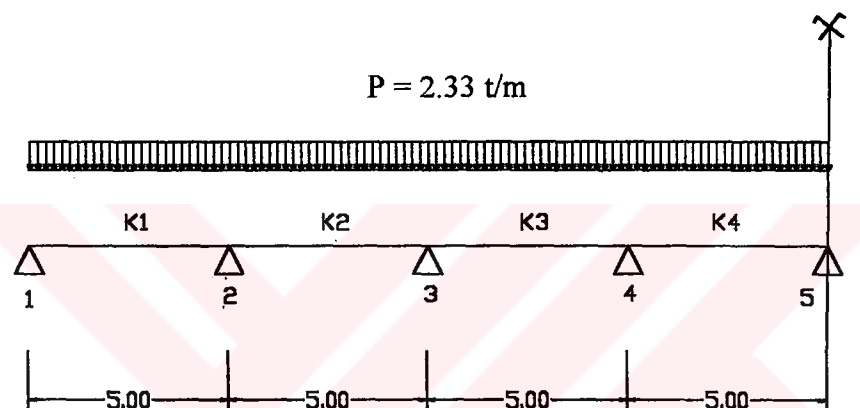
Tablo 4.1 Kenar aşık kirişlerinde mesnet momenti düzeltmeleri

$$M = V \times a / 3$$

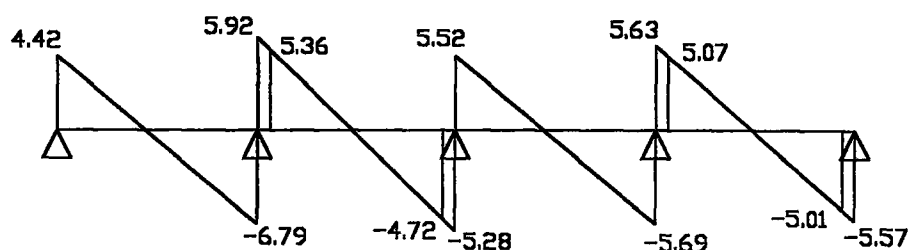
(4.7)

|    | M(tm) | V(t) | a(m) | Md(tm) |
|----|-------|------|------|--------|
| M2 | -3,82 | 3,46 | 0,50 | -3,240 |
| M3 | -2,79 | 3,05 | 0,50 | -2,280 |
| M4 | -3,07 | 3,27 | 0,50 | -2,520 |
| M5 | -2,98 | 3,23 | 0,50 | -2,440 |

İç kirişlerde ve mahya kirişinde,



M (tm) Simetrik



V (t) Antimetrik

Şekil 4.3 İç ve mahya aşığı kirişlerinde moment ve kesme kuvveti diyagramları

**Tablo 4.2 İç ve mahya aşağı kırışlerinde mesnet momenti düzeltmeleri**

|    | M(tm) | V(t) | a(m) | Md(tm) |
|----|-------|------|------|--------|
| M2 | -5,92 | 5,36 | 0,50 | -5,030 |
| M3 | -4,33 | 4,72 | 0,50 | -3,550 |
| M4 | -4,77 | 5,07 | 0,50 | -3,930 |
| M5 | -1,62 | 5,01 | 0,50 | -3,790 |

sonuçları elde edilir. Bu sonuç değerler gözönüne alınarak betonarme hesap yapılması yoluna gidilmiştir.

#### **4.4 AŞIK KIRIŞLERİNİN BETONARME HESABI**

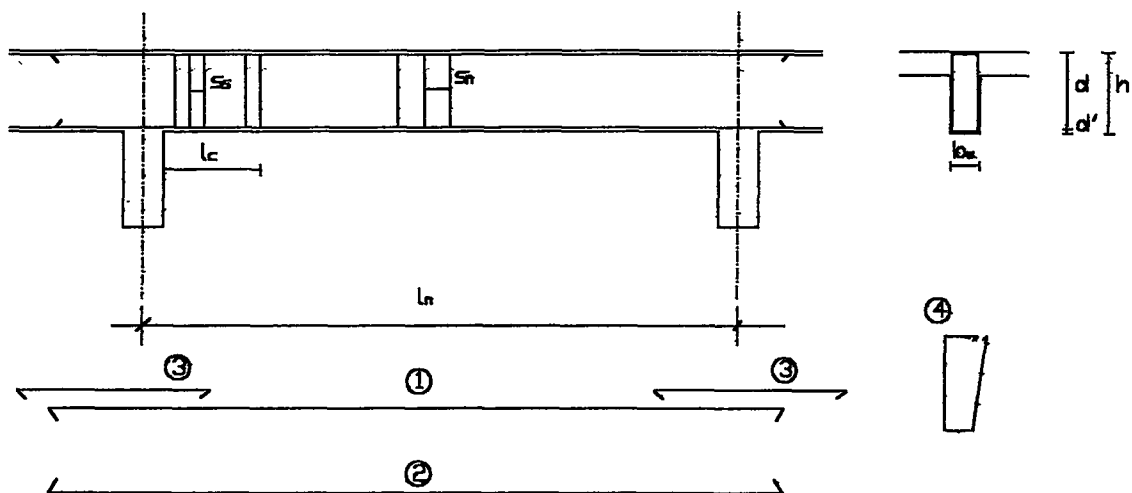
##### **4.4.1 Eğilme Hesabı**

Kenar aşıkların ve iç aşıkların eğilme hesabı her açıklık için yapılarak kırışerdeki açıklık donatıları bulunmuştur. Bulunan açıklık donatıları pilye yapılmadan düz olarak yerleştirilmiştir. Montaj donatısı olarak ta  $2\phi 10$  seçilmiştir. Mesnet kesitlerinde negatif momenti karşılamak üzere mesnet ek donatıları yerleştirilmiştir. Aşık kırışları için en küçük boyut olarak  $b/h=20\text{cm} / 30\text{cm}$  alınmıştır.

##### **3.4.2 Kayma Hesabı**

Aşıkların kayma hesabı yapılırken kesme kuvveti değerlerinin küçük olması sebebiyle kesitlere minimum etriye koyularak gerekli güvenliğin sağlandığı görülmüştür. Deprem bölgelerindeki yapılarda minimum etriye çapının 8mm olduğu gözönünde bulundurularak etriyeler  $\phi 10$  olarak seçilmiştir. Beton kesitin kesme kuvveti olmadığı ve kesme kuvvetinin tamamen etriyeler tarafından karşılandığı düşünülmüştür. Etriyeler mesnet bölgelerinde sıklaştırılmışlardır. Etriye malzemesi olarak BCI kullanılması uygun görülmüştür.

Kirişlerdeki donatı düzenei ve hesaplarda yapılacak kontroller aşağıda özetlenmiştir.



Şekil 4.4 Aşık kirişlerindeki donatı düzenei

$$\min \rho = 12 / f_{yld} < \rho = A_s / (b_w \times d) \quad (4.8)$$

$$\min \rho_w = 0.30 \times f_{ctd} / f_{ywd} < \rho_w = A_{sw} / (b_w \times s) \quad (4.9)$$

$$V_{cr} = 0.65 \times f_{ctd} \times b_w \times d > V_d \text{ ise minimum etriye koyulur.} \quad (4.10)$$

$$V_{cr} = 0.65 \times f_{ctd} \times b_w \times d \leq V_d \text{ ise kayma hesabı yapılır.} \quad (4.11)$$

$$V_{ws} = A_{sw} \times d \times f_{ywd} / s > V_d \text{ olmalı.} \quad (4.12)$$

$$V_d < V_r = 0.25 \times f_{cd} \times b_w \times d \text{ olmalı.} \quad (4.13)$$

$$\begin{aligned} & \frac{d}{2} \\ & s_n < b_w \\ & 30\text{cm} \end{aligned} \quad (4.14)$$

$$\begin{aligned} & s_s < \frac{h}{4} \\ & 15\text{cm} \end{aligned} \quad (4.15)$$

$$\text{Sargı bölgesi } l_c = 2 \times h \quad (4.16)$$

KENAR ASIKLAR

Tablo 4.3 BS16,BÇ III,BÇI

$f_{cd}=110 \text{ Kg/cm}^2$   
 $f_{yd}=3650 \text{ Kg/cm}^2$   
 $f_{ywd}=1910 \text{ Kg/cm}^2$

## Açıklıkta hesap

| KIRIŞ NO | $b_w(\text{cm})$ | $d(\text{cm})$ | $b'(\text{cm})$ | $M_d(\text{cm})$ | $K_d$   | $k_s$ | $x(\text{cm})$ | $A_s(\text{cm}^2)$ | $\rho$ | $\rho_{\min}$ | DONATI( $\text{cm}^2$ ) |
|----------|------------------|----------------|-----------------|------------------|---------|-------|----------------|--------------------|--------|---------------|-------------------------|
| K1       | 20               | 27             | 61              | 282              | 3,97104 | 2,889 | 3,780          | 3,02               | 0,0056 | 0,0033        | 3Φ 12(3,39)             |
| K2       | 20               | 27             | 61              | 123              | 6,01279 | 2,840 | 2,592          | 1,29               | 0,0024 | 0,0033        | 2 Φ 12(2,26)            |
| K3       | 20               | 27             | 61              | 160              | 5,27192 | 2,858 | 3,024          | 1,69               | 0,0031 | 0,0033        | 2 Φ 12(2,26)            |
| K4       | 20               | 27             | 61              | 149              | 5,46305 | 2,853 | 2,916          | 1,57               | 0,0029 | 0,0033        | 2 Φ 12(2,26)            |

## Mesnette hesap

| MESNET NO | $b_w(\text{cm})$ | $d(\text{cm})$ | $b'(\text{cm})$ | $M_d(\text{cm})$ | $K_d$   | $k_s$ | $x(\text{cm})$ | $A_s(\text{cm}^2)$ | $M_{EV/CUT}(\text{cm}^2)$ | $EK(\text{cm}^2)$ |
|-----------|------------------|----------------|-----------------|------------------|---------|-------|----------------|--------------------|---------------------------|-------------------|
| M2        | 20               | 27             | 61              | 324              | 2,12132 | 3,228 | 10,206         | 3,87               | 2 Φ 10 (1,58)             | 2 Φ 12(2,26)      |
| M3        | 20               | 27             | 61              | 228              | 2,52878 | 3,049 | 6,858          | 2,57               | 2 Φ 10 (1,58)             | 1 Φ 12(1,13)      |
| M4        | 20               | 27             | 61              | 253              | 2,40059 | 3,088 | 7,587          | 2,89               | 2 Φ 10 (1,58)             | 1 Φ 14(1,54)      |
| M5        | 20               | 27             | 61              | 244              | 2,44447 | 3,075 | 7,344          | 2,78               | 2 Φ 10 (1,58)             | 1 Φ 14(1,54)      |

## Kayma hesabı

| $V_{cr}(t)$ | $V_d(t)$ | $V_r(t)$ | $l(\text{cm})$ | $s_s(\text{cm})$ | $s_n(\text{cm})$ | Etriye    | $V_{ws}(t)$ | $\rho$ | $\rho_{\min}$ |
|-------------|----------|----------|----------------|------------------|------------------|-----------|-------------|--------|---------------|
| 3,16        | 3,46     | 14,85    | 60             | 7,5              | 13,5             | $\Phi 10$ | 6,00        | 0,0060 | 0,00140       |

KENAR ASIKLAR

Tablo 4.4 BS20, BC III, BC I

$f_{cd}=130 \text{ Kgf/cm}^2$   
 $f_{yd}=3650 \text{ Kgf/cm}^2$   
 $f_{yw d}=1910 \text{ Kgf/cm}^2$

## Açıklıkta hesap

| KIRIŞ NO | $b_w(\text{cm})$ | $d(\text{cm})$ | $b'(\text{cm})$ | $M_d(\text{cm})$ | $K_d$   | $k_s$ | $x(\text{cm})$ | $A_s(\text{cm}^2)$ | $\rho$ | $\rho_{min}$ | DONATI( $\text{cm}^2$ ) |
|----------|------------------|----------------|-----------------|------------------|---------|-------|----------------|--------------------|--------|--------------|-------------------------|
| K1       | 20               | 27             | 61              | 282              | 3,97104 | 2,878 | 3,510          | 3,01               | 0,0056 | 0,00328      | 3Φ 12(3,39)             |
| K2       | 20               | 27             | 61              | 123              | 6,01279 | 2,823 | 2,174          | 1,29               | 0,0024 | 0,00328      | 2 Φ 12(2,26)            |
| K3       | 20               | 27             | 61              | 160              | 5,27192 | 2,843 | 2,657          | 1,68               | 0,0031 | 0,00328      | 2 Φ 12(2,26)            |
| K4       | 20               | 27             | 61              | 149              | 5,46305 | 2,838 | 2,533          | 1,57               | 0,0029 | 0,00328      | 2 Φ 12(2,26)            |

## Mesnette hesap

| MESNET NO | $b_w(\text{cm})$ | $d(\text{cm})$ | $b'(\text{cm})$ | $M_d(\text{cm})$ | $K_d$   | $k_s$ | $x(\text{cm})$ | $A_s(\text{cm}^2)$ | MEVCUT( $\text{cm}^2$ ) | EK( $\text{cm}^2$ ) |
|-----------|------------------|----------------|-----------------|------------------|---------|-------|----------------|--------------------|-------------------------|---------------------|
| M2        | 20               | 27             | 61              | 324              | 2,12132 | 3,096 | 7,749          | 3,72               | 2 Φ 10 (1,58)           | 2 Φ 12(2,26)        |
| M3        | 20               | 27             | 61              | 228              | 2,52878 | 2,984 | 5,643          | 2,52               | 2 Φ 10 (1,58)           | 1 Φ 12(1,13)        |
| M4        | 20               | 27             | 61              | 253              | 2,40059 | 3,003 | 5,994          | 2,81               | 2 Φ 10 (1,58)           | 1 Φ 14(1,54)        |
| M5        | 20               | 27             | 61              | 244              | 2,44447 | 2,995 | 5,859          | 2,71               | 2 Φ 10 (1,58)           | 1 Φ 14(1,54)        |

## Kayma hesabı

| $Vcr(t)$ | $Vd(t)$ | $Vr(t)$ | $I(\text{cm})$ | $s_s(\text{cm})$ | $s_n(\text{cm})$ | Etriyə | $Vws(t)$ | $\rho$ | $\rho_{min}$ |
|----------|---------|---------|----------------|------------------|------------------|--------|----------|--------|--------------|
| 3,51     | 3,46    | 17,55   | 60             | 7,5              | 13,5             | Φ 10   | 6,00     | 0,0060 | 0,00160      |

**KENAR ASIKLAR****Tablo 4.5 BS25,BÇ III,BÇI**

$f_{cd}=170 \text{ Kgf/cm}^2$        $f_{yd}=3650 \text{ Kgf/cm}^2$   
 $f_{yw}d=1910 \text{ Kgf/cm}^2$

**Açıklıkta hesap**

| KIRIŞ NO | $bw(\text{cm})$ | $d(\text{cm})$ | $b'(\text{cm})$ | $M_d(\text{cm})$ | $K_d$   | $k_s$ | $x(\text{cm})$ | $A_s(\text{cm}^2)$ | $\rho$ | $\rho_{min}$ | DONAT!( $\text{cm}^2$ ) |
|----------|-----------------|----------------|-----------------|------------------|---------|-------|----------------|--------------------|--------|--------------|-------------------------|
| K1       | 20              | 27             | 61              | 282              | 3,97104 | 2,865 | 3,213          | 2,99               | 0,0055 | 0,00328      | 3Φ 12(3,39)             |
| K2       | 20              | 27             | 61              | 123              | 6,01279 | 2,804 | 1,701          | 1,28               | 0,0024 | 0,00328      | 2 Φ 12(2,26)            |
| K3       | 20              | 27             | 61              | 160              | 5,27192 | 2,826 | 2,241          | 1,67               | 0,0031 | 0,00328      | 2 Φ 12(2,26)            |
| K4       | 20              | 27             | 61              | 149              | 5,46305 | 2,820 | 2,106          | 1,56               | 0,0029 | 0,00328      | 2 Φ 12(2,26)            |

**Mesnette hesap**

| MESNET NO | $bw(\text{cm})$ | $d(\text{cm})$ | $b'(\text{cm})$ | $M_d(\text{cm})$ | $K_d$   | $k_s$ | $x(\text{cm})$ | $A_s(\text{cm}^2)$ | MEVCUT( $\text{cm}^2$ ) | EK( $\text{cm}^2$ ) |
|-----------|-----------------|----------------|-----------------|------------------|---------|-------|----------------|--------------------|-------------------------|---------------------|
| M2        | 20              | 27             | 61              | 324              | 2,12132 | 3,014 | 6,210          | 3,62               | 2 Φ 10 (1,58)           | 2 Φ 12(2,26)        |
| M3        | 20              | 27             | 61              | 228              | 2,52878 | 2,943 | 4,860          | 2,49               | 2 Φ 10 (1,58)           | 1 Φ 12(1,13)        |
| M4        | 20              | 27             | 61              | 253              | 2,40059 | 2,963 | 5,238          | 2,78               | 2 Φ 10 (1,58)           | 1 Φ 14(1,54)        |
| M5        | 20              | 27             | 61              | 244              | 2,44447 | 2,956 | 5,103          | 2,67               | 2 Φ 10 (1,58)           | 1 Φ 14(1,54)        |

**Kayma hesabı**

| $V_{cr}(t)$ | $V_d(t)$ | $V_r(t)$ | $l(\text{cm})$ | $s_s(\text{cm})$ | $s_n(\text{cm})$ | Etriye | $V_{ws}(t)$ | $\rho$ | $\rho_{min}$ |
|-------------|----------|----------|----------------|------------------|------------------|--------|-------------|--------|--------------|
| 4,04        | 3,46     | 22,95    | 60             | 7,5              | 13,5             | Φ 10   | 6,00        | 0,0060 | 0,00180      |

### KENAR ASIKLAR

Tablo 4.6 BS30, BC III, BC I

fcd=200 Kgf/cm<sup>2</sup>  
fyd=3650 Kgf/cm<sup>2</sup>

#### Açıklıkta hesap

| K R Ş NO | bw(cm) | d(cm) | b'(cm) | Md(t/cm) | Kd      | k <sub>s</sub> | x(cm) | As(cm <sup>2</sup> ) | ρ      | ρmin    | DONATI(cm <sup>2</sup> ) |
|----------|--------|-------|--------|----------|---------|----------------|-------|----------------------|--------|---------|--------------------------|
| K1       | 20     | 27    | 61     | 282      | 3,97104 | 2,854          | 2,916 | 2,98                 | 0,0055 | 0,00328 | 3Φ 12(3,39)              |
| K2       | 20     | 27    | 61     | 123      | 6,01279 | 2,800          | 1,620 | 1,28                 | 0,0024 | 0,00328 | 2Φ 12(2,26)              |
| K3       | 20     | 27    | 61     | 160      | 5,27192 | 2,811          | 1,836 | 1,67                 | 0,0031 | 0,00328 | 2Φ 12(2,26)              |
| K4       | 20     | 27    | 61     | 149      | 5,46305 | 2,805          | 1,728 | 1,55                 | 0,0029 | 0,00328 | 2Φ 12(2,26)              |

#### Mesnette hesap

| MESNET NO | bw(cm) | d(cm) | b'(cm) | Md(t/cm) | Kd      | k <sub>s</sub> | x(cm) | As(cm <sup>2</sup> ) | MEVCUT(cm <sup>2</sup> ) | EK(cm <sup>2</sup> ) |
|-----------|--------|-------|--------|----------|---------|----------------|-------|----------------------|--------------------------|----------------------|
| M2        | 20     | 27    | 61     | 324      | 2,12132 | 2,974          | 5,454 | 3,57                 | 2Φ 10 (1,58)             | 2Φ 12(2,26)          |
| M3        | 20     | 27    | 61     | 228      | 2,52878 | 2,905          | 4,158 | 2,45                 | 2Φ 10 (1,58)             | 1Φ 12(1,13)          |
| M4        | 20     | 27    | 61     | 253      | 2,40059 | 2,927          | 4,563 | 2,74                 | 2Φ 10 (1,58)             | 1Φ 14(1,54)          |
| M5        | 20     | 27    | 61     | 244      | 2,44447 | 2,920          | 4,428 | 2,64                 | 2Φ 10 (1,58)             | 1Φ 12(1,13)          |

#### Kayma hesabi

| Vcr(t) | Vd(t) | Vr(t) | l(cm) | s <sub>s</sub> (cm) | s <sub>n</sub> (cm) | Eriye | Vws(t) | ρ      | ρmin   |
|--------|-------|-------|-------|---------------------|---------------------|-------|--------|--------|--------|
| 4,39   | 3,46  | 27,00 | 60    | 7,5                 | 13,5                | Φ 10  | 5,997  | 0,0060 | 0,0020 |

### KENAR ASIKLAR

Tablo 4.7 BS35,BÇ III,BÇI

$f_{cd}=230 \text{ Kgf/cm}^2$   
 $f_{yd}=3650 \text{ Kgf/cm}^2$   
 $f_{ywd}=1910 \text{ Kgf/cm}^2$

#### Açıklıkta hesap

| KIRIŞ NO | $b_w(\text{cm})$ | $d(\text{cm})$ | $b'(\text{cm})$ | $M_d(\text{tcm})$ | $K_d$   | $k_s$ | $x(\text{cm})$ | $A_s(\text{cm}^2)$ | $\rho$ | $\rho_{\min}$ | DONATI( $\text{cm}^2$ ) |
|----------|------------------|----------------|-----------------|-------------------|---------|-------|----------------|--------------------|--------|---------------|-------------------------|
| K1       | 20               | 27             | 61              | 282               | 3,97104 | 2,843 | 2,673          | 2,97               | 0,0055 | 0,00328       | 3Φ 12(3,39)             |
| K2       | 20               | 27             | 61              | 123               | 6,01279 | 2,800 | 1,620          | 1,28               | 0,0024 | 0,00328       | 2 Φ 12(2,26)            |
| K3       | 20               | 27             | 61              | 160               | 5,27192 | 2,800 | 1,620          | 1,66               | 0,0031 | 0,00328       | 2 Φ 12(2,26)            |
| K4       | 20               | 27             | 61              | 149               | 5,46305 | 2,800 | 1,620          | 1,55               | 0,0029 | 0,00328       | 2 Φ 12(2,26)            |

#### Mesnette hesap

| MESNET NO | $b_w(\text{cm})$ | $d(\text{cm})$ | $b'(\text{cm})$ | $M_d(\text{tcm})$ | $K_d$   | $k_s$ | $x(\text{cm})$ | $A_s(\text{cm}^2)$ | $M_{EV CUT}(\text{cm}^2)$ | $E_K(\text{cm}^2)$ |
|-----------|------------------|----------------|-----------------|-------------------|---------|-------|----------------|--------------------|---------------------------|--------------------|
| M2        | 20               | 27             | 61              | 324               | 2,12132 | 2,945 | 4,914          | 3,53               | 2 Φ 10 (1,58)             | 2 Φ 12(2,26)       |
| M3        | 20               | 27             | 61              | 228               | 2,52878 | 2,894 | 3,915          | 2,44               | 2 Φ 10 (1,58)             | 1 Φ 12(1,13)       |
| M4        | 20               | 27             | 61              | 253               | 2,40059 | 2,899 | 4,023          | 2,72               | 2 Φ 10 (1,58)             | 1 Φ 14(1,54)       |
| M5        | 20               | 27             | 61              | 244               | 2,44447 | 2,897 | 3,996          | 2,62               | 2 Φ 10 (1,58)             | 1 Φ 12(1,13)       |

#### Kayma hesabı

| $V_{cr}(t)$ | $V_{d(t)}$ | $V_{r(t)}$ | $l(\text{cm})$ | $s_s(\text{cm})$ | $s_n(\text{cm})$ | $E_{triye}$ | $V_{ws}(t)$ | $\rho$ | $\rho_{\min}$ |
|-------------|------------|------------|----------------|------------------|------------------|-------------|-------------|--------|---------------|
| 4,74        | 3,46       | 31,05      | 60             | 7,5              | 13,5             | $\Phi 10$   | 6,00        | 0,0060 | 0,0021        |

KENAR ASIKLAR

Tablo 4.8 BS40, BC III, BC I

$f_{cd}=270 \text{ Kgf/cm}^2$   
 $f_{yd}=3650 \text{ Kgf/cm}^2$

## Açıklıkta hesap

| KİRİŞ NO | $b_w(\text{cm})$ | $d(\text{cm})$ | $b'(\text{cm})$ | $M_d(\text{cm})$ | $K_d$   | $k_s$ | $x(\text{cm})$ | $A_s(\text{cm}^2)$ | $\rho$ | $\rho_{\min}$ | DONATI( $\text{cm}^2$ ) |
|----------|------------------|----------------|-----------------|------------------|---------|-------|----------------|--------------------|--------|---------------|-------------------------|
| K1       | 20               | 27             | 61              | 282              | 3,97104 | 2,833 | 2,430          | 2,96               | 0,0055 | 0,00328       | 3Φ 12(3,39)             |
| K2       | 20               | 27             | 61              | 123              | 6,01279 | 2,800 | 1,620          | 1,28               | 0,0024 | 0,00328       | 2 Φ 12(2,26)            |
| K3       | 20               | 27             | 61              | 160              | 5,27192 | 2,800 | 1,620          | 1,66               | 0,0031 | 0,00328       | 2 Φ 12(2,26)            |
| K4       | 20               | 27             | 61              | 149              | 5,46305 | 2,800 | 1,620          | 1,55               | 0,0029 | 0,00328       | 2 Φ 12(2,26)            |

## Mesnette hesap

| MESNET NO | $b_w(\text{cm})$ | $d(\text{cm})$ | $b'(\text{cm})$ | $M_d(\text{cm})$ | $K_d$   | $k_s$ | $x(\text{cm})$ | $A_s(\text{cm}^2)$ | MEVCUT( $\text{cm}^2$ ) | EK( $\text{cm}^2$ ) |
|-----------|------------------|----------------|-----------------|------------------|---------|-------|----------------|--------------------|-------------------------|---------------------|
| M2        | 20               | 27             | 61              | 324              | 2,12132 | 2,919 | 4,401          | 3,50               | 2 Φ 10 (1,58)           | 2 Φ 12(2,26)        |
| M3        | 20               | 27             | 61              | 228              | 2,52878 | 2,888 | 3,753          | 2,44               | 2 Φ 10 (1,58)           | 1 Φ 12(1,13)        |
| M4        | 20               | 27             | 61              | 253              | 2,40059 | 2,893 | 3,888          | 2,71               | 2 Φ 10 (1,58)           | 1 Φ 14(1,54)        |
| M5        | 20               | 27             | 61              | 244              | 2,44447 | 2,892 | 3,834          | 2,61               | 2 Φ 10 (1,58)           | 1 Φ 12(1,13)        |

## Kayma hesabı

| $V_{cr(t)}$ | $Vd(t)$ | $Vr(t)$ | $I(\text{cm})$ | $s_s(\text{cm})$ | $s_h(\text{cm})$ | $E_{triy}\epsilon$ | $V_{ws(t)}$ | $\rho$ | $\rho_{\min}$ |
|-------------|---------|---------|----------------|------------------|------------------|--------------------|-------------|--------|---------------|
| 5,09        | 3,46    | 36,45   | 60             | 7,5              | 13,5             | $\Phi 10$          | 6,00        | 0,0060 | 0,0023        |

KENAR ASIKLAR

Tablo 4.9 BS45,BC III,BÇI

$f_{cd}=300 \text{ Kgf/cm}^2$        $f_{yd}=3650 \text{ Kgf/cm}^2$   
 $\rho_{min}$        $\rho$   
 $\alpha$

## Açıklıkta hesap

| KIRIŞ NO | $bw(\text{cm})$ | $d(\text{cm})$ | $b'(\text{cm})$ | $M_d(\text{cm})$ | $K_d$   | $k_s$ | $x(\text{cm})$ | $A_s(\text{cm}^2)$ | $\rho$ | $\rho_{min}$ | DONATI( $\text{cm}^2$ ) |
|----------|-----------------|----------------|-----------------|------------------|---------|-------|----------------|--------------------|--------|--------------|-------------------------|
| K1       | 20              | 27             | 61              | 282              | 3,97104 | 2,824 | 2,214          | 2,95               | 0,0055 | 0,00328      | 3Φ 12(3,39)             |
| K2       | 20              | 27             | 61              | 123              | 6,01279 | 2,800 | 1,620          | 1,28               | 0,0024 | 0,00328      | 2 Φ 12(2,26)            |
| K3       | 20              | 27             | 61              | 160              | 5,27192 | 2,800 | 1,620          | 1,66               | 0,0031 | 0,00328      | 2 Φ 12(2,26)            |
| K4       | 20              | 27             | 61              | 149              | 5,46305 | 2,800 | 1,620          | 1,55               | 0,0029 | 0,00328      | 2 Φ 12(2,26)            |

## Mesnette hesap

| MESNET NO | $bw(\text{cm})$ | $d(\text{cm})$ | $b'(\text{cm})$ | $M_d(\text{cm})$ | $K_d$   | $k_s$ | $x(\text{cm})$ | $A_s(\text{cm}^2)$ | $M_{EV CUT}(\text{cm}^2)$ | $E_K(\text{cm}^2)$ |
|-----------|-----------------|----------------|-----------------|------------------|---------|-------|----------------|--------------------|---------------------------|--------------------|
| M2        | 20              | 27             | 61              | 324              | 2,12132 | 2,899 | 4,023          | 3,48               | 2Φ 10 (1,58)              | 2Φ 12(2,26)        |
| M3        | 20              | 27             | 61              | 228              | 2,52878 | 2,882 | 3,618          | 2,43               | 2Φ 10 (1,58)              | 1Φ 12(1,13)        |
| M4        | 20              | 27             | 61              | 253              | 2,40059 | 2,887 | 3,753          | 2,71               | 2Φ 10 (1,58)              | 1Φ 14(1,54)        |
| M5        | 20              | 27             | 61              | 244              | 2,44447 | 2,886 | 3,699          | 2,61               | 2Φ 10 (1,58)              | 1Φ 12(1,13)        |

## Kayma hesabı

| $V_{cr}(t)$ | $V_{dt}(t)$ | $V_{rt}(t)$ | $I(\text{cm})$ | $s_s(\text{cm})$ | $s_n(\text{cm})$ | $E_{triy}$ | $V_{ws}(t)$ | $\rho$ | $\rho_{min}$ |
|-------------|-------------|-------------|----------------|------------------|------------------|------------|-------------|--------|--------------|
| 5,44        | 3,46        | 40,5        | 60             | 7,5              | 13,5             | Φ 10       | 6,00        | 0,0060 | 0,0024       |

**KENAR ASIKLAR**

Tablo 4.10 BS50, BC III, BC I

$f_{cd}=330 \text{ Kgf/cm}^2$   
 $f_{yd}=3650 \text{ Kgf/cm}^2$

**Açıklıkta hesap**

| KIRIŞ NO | bw(cm) | d(cm) | b'(cm) | Md(tcm) | Kd      | ks    | x(cm) | As(cm <sup>2</sup> ) | $\rho$ | $\rho_{min}$ | DONATI(cm <sup>2</sup> ) |
|----------|--------|-------|--------|---------|---------|-------|-------|----------------------|--------|--------------|--------------------------|
| K1       | 20     | 27    | 61     | 282     | 3,97104 | 2,816 | 1,998 | 2,94                 | 0,0054 | 0,00328      | 3Φ 12(3,39)              |
| K2       | 20     | 27    | 61     | 123     | 6,01279 | 2,800 | 1,620 | 1,28                 | 0,0024 | 0,00328      | 2Φ 12(2,26)              |
| K3       | 20     | 27    | 61     | 160     | 5,27192 | 2,800 | 1,620 | 1,66                 | 0,0031 | 0,00328      | 2Φ 12(2,26)              |
| K4       | 20     | 27    | 61     | 149     | 5,46305 | 2,800 | 1,620 | 1,55                 | 0,0029 | 0,00328      | 2Φ 12(2,26)              |

**Mesnette hesap**

| MESNET NO | bw(cm) | d(cm) | b'(cm) | Md(tcm) | Kd      | ks    | x(cm) | As(cm <sup>2</sup> ) | MEVCUT(cm <sup>2</sup> ) | EK(cm <sup>2</sup> ) |
|-----------|--------|-------|--------|---------|---------|-------|-------|----------------------|--------------------------|----------------------|
| M2        | 20     | 27    | 61     | 324     | 2,12132 | 2,894 | 3,915 | 3,47                 | 2Φ 10 (1,58)             | 2Φ 12(2,26)          |
| M3        | 20     | 27    | 61     | 228     | 2,52878 | 2,877 | 3,483 | 2,43                 | 2Φ 10 (1,58)             | 1Φ 12(1,13)          |
| M4        | 20     | 27    | 61     | 253     | 2,40059 | 2,883 | 3,618 | 2,70                 | 2Φ 10 (1,58)             | 1Φ 14(1,54)          |
| M5        | 20     | 27    | 61     | 244     | 2,44447 | 2,881 | 3,591 | 2,60                 | 2Φ 10 (1,58)             | 1Φ 12(1,13)          |

**Kayma hesabı**

| $V_{cr}(t)$ | $V_{d(t)}$ | $V_r(t)$ | $l(cm)$ | $s_s(cm)$ | $s_h(cm)$ | Etriye | $V_{ws}(t)$ | $\rho$ | $\rho_{min}$ |
|-------------|------------|----------|---------|-----------|-----------|--------|-------------|--------|--------------|
| 5,79        | 3,46       | 44,55    | 60      | 7,5       | 13,5      | Φ 10   | 6,00        | 0,0060 | 0,0026       |

### İC ASIKLAR VE MAHYA ASIĞI

Tablo 4.11 BS16, BC III, BC I

$f_{cd}=110 \text{ Kgf/cm}^2$   
 $f_{yd}=3650 \text{ Kgf/cm}^2$

$f_{yw}d=1910 \text{ Kgf/cm}^2$   
 $f_{yd}=3650 \text{ Kgf/cm}^2$

#### Açıklıkta hesap

| KIR Ş NO | $b_w(\text{cm})$ | $d(\text{cm})$ | $b'(\text{cm})$ | $M_d(\text{tcm})$ | $K_d$   | $k_s$ | $x(\text{cm})$ | $As(\text{cm}^2)$ | $\rho$ | $\rho_{min}$ | DONATI( $\text{cm}^2$ ) |
|----------|------------------|----------------|-----------------|-------------------|---------|-------|----------------|-------------------|--------|--------------|-------------------------|
| K1       | 20               | 32             | 81              | 436               | 4,36163 | 2,879 | 4,224          | 3,92              | 0,0061 | 0,00328      | 2 Φ 16(4,02)            |
| K2       | 20               | 32             | 81              | 190               | 6,60717 | 2,826 | 2,656          | 1,68              | 0,0026 | 0,00328      | 2 Φ 12(2,26)            |
| K3       | 20               | 32             | 81              | 247               | 5,79487 | 2,845 | 3,232          | 2,20              | 0,0034 | 0,00328      | 2 Φ 12(2,26)            |
| K4       | 20               | 32             | 81              | 230               | 6,00522 | 2,840 | 3,072          | 2,04              | 0,0032 | 0,00328      | 2 Φ 12(2,26)            |

#### Mesnette hesap

| MESNET NO | $b_w(\text{cm})$ | $d(\text{cm})$ | $b'(\text{cm})$ | $M_d(\text{tcm})$ | $K_d$   | $k_s$ | $x(\text{cm})$ | $As(\text{cm}^2)$ | MEVCUT( $\text{cm}^2$ ) | EK( $\text{cm}^2$ ) |
|-----------|------------------|----------------|-----------------|-------------------|---------|-------|----------------|-------------------|-------------------------|---------------------|
| M2        | 20               | 32             | 81              | 503               | 2,01781 | 3,302 | 13,472         | 5,19              | 2 Φ 10(1,58)            | 2 Φ 16(4,02)        |
| M3        | 20               | 32             | 81              | 355               | 2,40188 | 3,087 | 8,992          | 3,42              | 2 Φ 10(1,58)            | 2 Φ 12(2,26)        |
| M4        | 20               | 32             | 81              | 393               | 2,2828  | 3,139 | 10,144         | 3,86              | 2 Φ 10(1,58)            | 2 Φ 14(3,08)        |
| M5        | 20               | 32             | 81              | 379               | 2,32458 | 3,118 | 9,664          | 3,69              | 2 Φ 10(1,58)            | 2 Φ 12(2,26)        |

#### Kayma hesabı

| $V_{cr}(t)$ | $V_d(t)$ | $V_r(t)$ | $l(\text{cm})$ | $s_s(\text{cm})$ | $s_n(\text{cm})$ | Etriye    | $V_{ws}(t)$ | $\rho$ | $\rho_{min}$ |
|-------------|----------|----------|----------------|------------------|------------------|-----------|-------------|--------|--------------|
| 3,74        | 5,36     | 17,6     | 70             | 8,5              | 16               | $\Phi 10$ | 6,04        | 0,0050 | 0,00140      |

### İÇ ASİKLAR VE MAHYA ASİĞİ

Tablo 4.12 BS20,BÇ III, BC I

fcd=130 Kg/cm<sup>2</sup>  
fyd=3650 Kg/cm<sup>2</sup>

#### Açıklıkta hesap

| KIRİŞ NO | bw(cm) | d(cm) | b'(cm) | Md(cm) | Kd      | ks    | x(cm) | As(cm <sup>2</sup> ) | ρ      | ρmin    | DONATI(cm <sup>2</sup> ) |
|----------|--------|-------|--------|--------|---------|-------|-------|----------------------|--------|---------|--------------------------|
| K1       | 20     | 27    | 81     | 436    | 3,68013 | 2,885 | 3,669 | 4,66                 | 0,0086 | 0,00328 | 2 Φ 18(5,09)             |
| K2       | 20     | 27    | 81     | 190    | 5,5748  | 2,835 | 2,457 | 2,00                 | 0,0037 | 0,00328 | 2 Φ 12(2,26)             |
| K3       | 20     | 27    | 81     | 247    | 4,88943 | 2,853 | 2,916 | 2,61                 | 0,0048 | 0,00328 | 2 Φ 14(3,08)             |
| K4       | 20     | 27    | 81     | 230    | 5,0669  | 2,848 | 2,781 | 2,43                 | 0,0045 | 0,00328 | 2 Φ 14(3,08)             |

#### Mesnette hesap

| MESNET NO | bw(cm) | d(cm) | b'(cm) | Md(cm) | Kd      | ks    | x(cm)  | As(cm <sup>2</sup> ) | MEVCUT(cm <sup>2</sup> ) | EK(cm <sup>2</sup> ) |
|-----------|--------|-------|--------|--------|---------|-------|--------|----------------------|--------------------------|----------------------|
| M2        | 20     | 27    | 81     | 503    | 1,70253 | 3,302 | 14,391 | 6,1515               | 2 Φ 10(1,58)             | 3 Φ 14(4,62)         |
| M3        | 20     | 27    | 81     | 355    | 2,02658 | 3,087 | 8,694  | 4,05883              | 2 Φ 10(1,58)             | 2 Φ 14(3,08)         |
| M4        | 20     | 27    | 81     | 393    | 1,92612 | 3,139 | 9,774  | 4,56899              | 2 Φ 10(1,58)             | 2 Φ 14(3,08)         |
| M5        | 20     | 27    | 81     | 379    | 1,96137 | 3,118 | 9,396  | 4,37675              | 2 Φ 10(1,58)             | 2 Φ 14(3,08)         |

#### Kayma hesabı

| Vcr(t) | Vd(t) | Vr(t) | l(cm) | ss(cm) | sn(cm) | Eriye | Vws(t) | ρ      | ρmin    |
|--------|-------|-------|-------|--------|--------|-------|--------|--------|---------|
| 3,51   | 5,36  | 13,57 | 60    | 7,5    | 13,5   | Φ 10  | 6,04   | 0,0058 | 0,00160 |

**İÇ AŞIKLAR VE MAHYA AS/ĞI****Tablo 4.13 BS25,BÇ III, BC I**fcd=170 Kgf/cm<sup>2</sup>fyd=3650 Kgf/cm<sup>2</sup>**Açıklıkta hesap**

| KIRİŞ NO | bw(cm) | d(cm) | b(cm) | Md(cm) | Kd      | ks    | x(cm) | As(cm <sup>2</sup> ) | ρ      | ρmin    | DONAT(cm <sup>2</sup> ) |
|----------|--------|-------|-------|--------|---------|-------|-------|----------------------|--------|---------|-------------------------|
| K1       | 20     | 27    | 81    | 436    | 3,68013 | 2,874 | 3,402 | 4,64                 | 0,0086 | 0,00328 | 2 Φ 18(5,09)            |
| K2       | 20     | 27    | 81    | 190    | 5,57480 | 2,817 | 2,025 | 1,98                 | 0,0037 | 0,00328 | 2 Φ 12(2,26)            |
| K3       | 20     | 27    | 81    | 247    | 4,88943 | 2,837 | 2,538 | 2,60                 | 0,0048 | 0,00328 | 2 Φ 14(3,08)            |
| K4       | 20     | 27    | 81    | 230    | 5,06690 | 2,832 | 2,403 | 2,41                 | 0,0045 | 0,00328 | 2 Φ 14(3,08)            |

**Mesnette hesap**

| MESNET NO | bw(cm) | d(cm) | b'(cm) | Md(cm) | Kd      | ks    | x(cm) | As(cm <sup>2</sup> ) | MEVCUT(cm <sup>2</sup> ) | EK(cm <sup>2</sup> ) |
|-----------|--------|-------|--------|--------|---------|-------|-------|----------------------|--------------------------|----------------------|
| M2        | 20     | 27    | 81     | 503    | 1,70253 | 3,216 | 9,963 | 5,99                 | 2 Φ 10(1,58)             | 3 Φ 14(4,62)         |
| M3        | 20     | 27    | 81     | 355    | 2,02658 | 3,049 | 6,858 | 4,01                 | 2 Φ 10(1,58)             | 2 Φ 14(3,08)         |
| M4        | 20     | 27    | 81     | 393    | 1,92612 | 3,087 | 7,587 | 4,49                 | 2 Φ 10(1,58)             | 2 Φ 14(3,08)         |
| M5        | 20     | 27    | 81     | 379    | 1,96137 | 3,074 | 7,317 | 4,31                 | 2 Φ 10(1,58)             | 2 Φ 14(3,08)         |

**Kayma hesabı**

| Vcr(t) | Vd(t) | Vr(t) | l(cm) | ss(cm) | sn(cm) | Etriyə | Vws(t) | ρ      | ρmin    |
|--------|-------|-------|-------|--------|--------|--------|--------|--------|---------|
| 4,04   | 5,36  | 22,95 | 60    | 7,5    | 13,5   | Φ 10   | 6,04   | 0,0060 | 0,00180 |

**İÇ ASIKLAR VE MAHYA ASIĞI****Tablo 4.14 BS30, BC III, BC I**

fcd=200 Kgf/cm<sup>2</sup>  
fyd=3650 Kgf/cm<sup>2</sup>

**Açıklıkta hesap**

| KIRİŞ NO | bw(cm) | d(cm) | b'(cm) | Md(cm) | Kd      | ks    | x(cm) | As(cm <sup>2</sup> ) | ρ      | ρmin    | DONATI(cm <sup>2</sup> ) |
|----------|--------|-------|--------|--------|---------|-------|-------|----------------------|--------|---------|--------------------------|
| K1       | 20     | 27    | 81     | 436    | 3,68013 | 2,863 | 3,159 | 4,62                 | 0,0086 | 0,00328 | 2 ⌀ 18(5,09)             |
| K2       | 20     | 27    | 81     | 190    | 5,57480 | 2,801 | 1,647 | 1,97                 | 0,0037 | 0,00328 | 2 ⌀ 12(2,26)             |
| K3       | 20     | 27    | 81     | 247    | 4,88943 | 2,823 | 2,187 | 2,58                 | 0,0048 | 0,00328 | 2 ⌀ 14(3,08)             |
| K4       | 20     | 27    | 81     | 230    | 5,06690 | 2,817 | 2,052 | 2,40                 | 0,0044 | 0,00328 | 2 ⌀ 14(3,08)             |

**Mesnette hesap**

| MESNET NO | bw(cm) | d(cm) | b'(cm) | Md(cm) | Kd      | ks    | x(cm) | As(cm <sup>2</sup> ) | MEVCUT(cm <sup>2</sup> ) | EK(cm <sup>2</sup> ) |
|-----------|--------|-------|--------|--------|---------|-------|-------|----------------------|--------------------------|----------------------|
| M2        | 20     | 27    | 81     | 503    | 1,70253 | 3,112 | 8,046 | 5,80                 | 2 ⌀ 10(1,58)             | 3 ⌀ 14(4,62)         |
| M3        | 20     | 27    | 81     | 355    | 2,02658 | 2,990 | 5,751 | 3,93                 | 2 ⌀ 10(1,58)             | 2 ⌀ 14(3,08)         |
| M4        | 20     | 27    | 81     | 393    | 1,92612 | 3,017 | 6,264 | 4,39                 | 2 ⌀ 10(1,58)             | 2 ⌀ 14(3,08)         |
| M5        | 20     | 27    | 81     | 379    | 1,96137 | 3,003 | 5,994 | 4,22                 | 2 ⌀ 10(1,58)             | 2 ⌀ 14(3,08)         |

**Kayma hesabı**

| Vcr(t) | Vd(t) | Vr(t) | l(cm) | ss(cm) | sn(cm) | Etriye | Vws(t) | ρ      | ρmin    |
|--------|-------|-------|-------|--------|--------|--------|--------|--------|---------|
| 4,39   | 5,36  | 27,00 | 60    | 7,5    | 13,5   | Φ 10   | 6,04   | 0,0060 | 0,00200 |

**İÇ ASIKLAR VE MAHYA ASIĞI****Tablo 4.15 BS35,BÇ III, BC I**fcd=230 Kgf/cm<sup>2</sup>fywd=3650 Kgf/cm<sup>2</sup>**Açıklıkta hesap**

| KIRIŞ NO | bw(cm) | d(cm) | b(cm) | Md(cm) | Kd      | ks    | x(cm) | As(cm <sup>2</sup> ) | ρ      | ρmin    | DONAT!(cm <sup>2</sup> ) |
|----------|--------|-------|-------|--------|---------|-------|-------|----------------------|--------|---------|--------------------------|
| K1       | 20     | 27    | 81    | 436    | 3,68013 | 2,853 | 2,916 | 4,61                 | 0,0085 | 0,00328 | 3 ⌀ 14(4,62)             |
| K2       | 20     | 27    | 81    | 190    | 5,57480 | 2,800 | 1,620 | 1,97                 | 0,0036 | 0,00328 | 2 ⌀ 12(2,26)             |
| K3       | 20     | 27    | 81    | 247    | 4,88943 | 2,810 | 1,863 | 2,57                 | 0,0048 | 0,00328 | 2 ⌀ 14(3,08)             |
| K4       | 20     | 27    | 81    | 230    | 5,06690 | 2,804 | 1,701 | 2,39                 | 0,0044 | 0,00328 | 2 ⌀ 14(3,08)             |

**Mesnette hesap**

| MESNET NO | bw(cm) | d(cm) | b(cm) | Md(cm) | Kd      | ks    | x(cm) | As(cm <sup>2</sup> ) | MEVCUT(cm <sup>2</sup> ) | MEVCUT(cm <sup>2</sup> ) | EK(cm <sup>2</sup> ) |
|-----------|--------|-------|-------|--------|---------|-------|-------|----------------------|--------------------------|--------------------------|----------------------|
| M2        | 20     | 27    | 81    | 503    | 1,70253 | 3,053 | 6,939 | 5,69                 | 2 ⌀ 10(1,58)             | 2 ⌀ 10(1,58)             | 3 ⌀ 14(4,62)         |
| M3        | 20     | 27    | 81    | 355    | 2,02658 | 2,962 | 5,238 | 3,89                 | 2 ⌀ 10(1,58)             | 2 ⌀ 10(1,58)             | 2 ⌀ 14(3,08)         |
| M4        | 20     | 27    | 81    | 393    | 1,92612 | 2,981 | 5,562 | 4,34                 | 2 ⌀ 10(1,58)             | 2 ⌀ 10(1,58)             | 2 ⌀ 14(3,08)         |
| M5        | 20     | 27    | 81    | 379    | 1,96137 | 2,974 | 5,454 | 4,17                 | 2 ⌀ 10(1,58)             | 2 ⌀ 10(1,58)             | 2 ⌀ 14(3,08)         |

**Kayma hesabı**

| Vcr(t) | Vd(t) | Vr(t) | l(cm) | ss(cm) | sn(cm) | Etriyə | Vws(t) | ρ      | ρmin    |
|--------|-------|-------|-------|--------|--------|--------|--------|--------|---------|
| 4,74   | 5,36  | 31,05 | 60    | 7,5    | 13,5   | Φ 10   | 6,04   | 0,0060 | 0,00210 |

**İÇ ASIKLAR VE MAHYA ASIĞI****Tablo 4.16 BS40, BC III, BC I** **$f_{cd}=270 \text{ Kgf/cm}^2$**  **$f_{yd}=3650 \text{ Kgf/cm}^2$** **Açıklıkta hesap**

| KIRIŞ NO | $b_w(\text{cm})$ | $d(\text{cm})$ | $b'(\text{cm})$ | $M_d(\text{tcm})$ | $K_d$   | $k_s$ | $x(\text{cm})$ | $As(\text{cm}^2)$ | $\rho$ | $\rho_{\min}$ | $DONATI(\text{cm}^2)$ |
|----------|------------------|----------------|-----------------|-------------------|---------|-------|----------------|-------------------|--------|---------------|-----------------------|
| K1       | 20               | 27             | 81              | 436               | 3,68013 | 2,844 | 2,700          | 4,59              | 0,0085 | 0,00328       | 3 Φ 14(4,62)          |
| K2       | 20               | 27             | 81              | 190               | 5,57480 | 2,800 | 1,620          | 1,97              | 0,0036 | 0,00328       | 2 Φ 12(2,26)          |
| K3       | 20               | 27             | 81              | 247               | 4,88943 | 2,800 | 1,620          | 2,56              | 0,0047 | 0,00328       | 2 Φ 14(3,08)          |
| K4       | 20               | 27             | 81              | 230               | 5,06690 | 2,800 | 1,620          | 2,39              | 0,0044 | 0,00328       | 2 Φ 14(3,08)          |

**Mesnette hesap**

| MESNET NO | $b_w(\text{cm})$ | $d(\text{cm})$ | $b'(\text{cm})$ | $M_d(\text{tcm})$ | $K_d$   | $k_s$ | $x(\text{cm})$ | $As(\text{cm}^2)$ | $MEVCUT(\text{cm}^2)$ | $EK(\text{cm}^2)$ |
|-----------|------------------|----------------|-----------------|-------------------|---------|-------|----------------|-------------------|-----------------------|-------------------|
| M2        | 20               | 27             | 81              | 503               | 1,70253 | 3,000 | 5,940          | 5,59              | 2 Φ 10(1,58)          | 2 Φ 16(4,02)      |
| M3        | 20               | 27             | 81              | 355               | 2,02658 | 2,937 | 4,752          | 3,86              | 2 Φ 10(1,58)          | 2 Φ 14(3,08)      |
| M4        | 20               | 27             | 81              | 393               | 1,92612 | 2,957 | 5,130          | 4,30              | 2 Φ 10(1,58)          | 2 Φ 14(3,08)      |
| M5        | 20               | 27             | 81              | 379               | 1,96137 | 2,950 | 4,995          | 4,14              | 2 Φ 10(1,58)          | 2 Φ 14(3,08)      |

**Kayma hesabı**

| $V_{cr}(t)$ | $V_d(t)$ | $V_r(t)$ | $I(\text{cm})$ | $s_s(\text{cm})$ | $s_n(\text{cm})$ | $Etriyə$  | $V_{ws}(t)$ | $\rho$ | $\rho_{\min}$ |
|-------------|----------|----------|----------------|------------------|------------------|-----------|-------------|--------|---------------|
| 5,09        | 5,36     | 36,45    | 60             | 7,5              | 13,5             | $\Phi 10$ | 6,04        | 0,0060 | 0,00230       |

### İÇ ASIKLAR VE MAHYA ASIĞI

**Tablo 4.17 BS45, BC III, BC I**

$f_{cd}=300 \text{ Kgf/cm}^2$

$f_{yd}=3650 \text{ Kgf/cm}^2$

#### Açıklıkta hesap

| KİRİŞ NO | bw(cm) | d(cm) | b'(cm) | Md(cm) | Kd      | ks    | x(cm) | As(cm <sup>2</sup> ) | $\rho$ | $\rho_{min}$ | DONATI(cm <sup>2</sup> ) |
|----------|--------|-------|--------|--------|---------|-------|-------|----------------------|--------|--------------|--------------------------|
| K1       | 20     | 27    | 81     | 436    | 3,68013 | 2,836 | 2,484 | 4,58                 | 0,0085 | 0,00328      | 3 $\Phi$ 14(4,62)        |
| K2       | 20     | 27    | 81     | 190    | 5,57480 | 2,800 | 1,620 | 1,97                 | 0,0036 | 0,00328      | 2 $\Phi$ 12(2,26)        |
| K3       | 20     | 27    | 81     | 247    | 4,88943 | 2,800 | 1,620 | 2,56                 | 0,0047 | 0,00328      | 2 $\Phi$ 14(3,08)        |
| K4       | 20     | 27    | 81     | 230    | 5,06690 | 2,800 | 1,620 | 2,39                 | 0,0044 | 0,00328      | 2 $\Phi$ 14(3,08)        |

#### Mesnette hesap

| MESNET NO | bw(cm) | d(cm) | b'(cm) | Md(cm) | Kd      | ks    | x(cm) | As(cm <sup>2</sup> ) | MEVCUT(cm <sup>2</sup> ) | EK(cm <sup>2</sup> ) |
|-----------|--------|-------|--------|--------|---------|-------|-------|----------------------|--------------------------|----------------------|
| M2        | 20     | 27    | 81     | 503    | 1,70253 | 2,981 | 5,562 | 5,55349              | 2 $\Phi$ 10(1,58)        | 2 $\Phi$ 16(4,02)    |
| M3        | 20     | 27    | 81     | 355    | 2,02658 | 2,913 | 4,293 | 3,83006              | 2 $\Phi$ 10(1,58)        | 2 $\Phi$ 12(2,26)    |
| M4        | 20     | 27    | 81     | 393    | 1,92612 | 2,934 | 4,698 | 4,2706               | 2 $\Phi$ 10(1,58)        | 2 $\Phi$ 14(3,08)    |
| M5        | 20     | 27    | 81     | 379    | 1,96137 | 2,927 | 4,563 | 4,10864              | 2 $\Phi$ 10(1,58)        | 2 $\Phi$ 14(3,08)    |

#### Kayma hesabı

| $V_{cr}(t)$ | $V_d(t)$ | $V_r(t)$ | $l(cm)$ | $s_s(cm)$ | $s_n(cm)$ | Etriye    | $V_{ws}(t)$ | $\rho$ | $\rho_{min}$ |
|-------------|----------|----------|---------|-----------|-----------|-----------|-------------|--------|--------------|
| 5,44        | 5,36     | 40,50    | 60      | 7,5       | 13,5      | $\Phi$ 10 | 6,04        | 0,0060 | 0,00240      |

**İÇ AŞIKLAR VE MAHYA ASIĞI****Tablo 4.18 BS50, BC III, BC I**

fcd=330 Kgf/cm<sup>2</sup>  
fyd=3650 Kgf/cm<sup>2</sup>  
fwd=1910 Kgf/cm<sup>2</sup>

**Açıklıkta hesap**

| KIRIŞ NO | bw(cm) | d(cm) | b'(cm) | Md(cm) | Kd      | ks    | x(cm) | As(cm <sup>2</sup> ) | ρ      | ρmin    | DONAT(cm <sup>2</sup> ) |
|----------|--------|-------|--------|--------|---------|-------|-------|----------------------|--------|---------|-------------------------|
| K1       | 20     | 27    | 81     | 436    | 3,68013 | 2,828 | 2,303 | 4,57                 | 0,0085 | 0,00328 | 3 Φ 14(4,62)            |
| K2       | 20     | 27    | 81     | 190    | 5,57480 | 2,800 | 1,620 | 1,97                 | 0,0036 | 0,00328 | 2 Φ 12(2,26)            |
| K3       | 20     | 27    | 81     | 247    | 4,88943 | 2,800 | 1,620 | 2,56                 | 0,0047 | 0,00328 | 2 Φ 14(3,08)            |
| K4       | 20     | 27    | 81     | 230    | 5,06690 | 2,800 | 1,620 | 2,39                 | 0,0044 | 0,00328 | 2 Φ 14(3,08)            |

**Mesnette hesap**

| MESNET NO | bw(cm) | d(cm) | b'(cm) | Md(cm) | Kd      | ks    | x(cm) | As(cm <sup>2</sup> ) | MEVCUT(cm <sup>2</sup> ) | EK(cm <sup>2</sup> ) |
|-----------|--------|-------|--------|--------|---------|-------|-------|----------------------|--------------------------|----------------------|
| M2        | 20     | 27    | 81     | 503    | 1,70253 | 2,961 | 5,211 | 5,52                 | 2 Φ 10(1,58)             | 2 Φ 16(4,02)         |
| M3        | 20     | 27    | 81     | 355    | 2,02658 | 2,898 | 4,023 | 3,81                 | 2 Φ 10(1,58)             | 2 Φ 12(2,26)         |
| M4        | 20     | 27    | 81     | 393    | 1,92612 | 2,914 | 4,320 | 4,24                 | 2 Φ 10(1,58)             | 2 Φ 14(3,08)         |
| M5        | 20     | 27    | 81     | 379    | 1,96137 | 2,906 | 4,158 | 4,08                 | 2 Φ 10(1,58)             | 2 Φ 14(3,08)         |

**Kayma hesabı**

| Vcr(t) | Vd(t) | Vr(t) | l(cm) | ss(cm) | sn(cm) | Etriyə | Vws(t) | ρ      | ρmin    |
|--------|-------|-------|-------|--------|--------|--------|--------|--------|---------|
| 5,79   | 5,36  | 44,55 | 60    | 7,5    | 13,5   | Φ 10   | 6,04   | 0,0060 | 0,00260 |

#### 4.5 AŞIK KİRİSLERİNİN FİYATLANDIRILMASI

Çalışmaya konu olan endüstri yapısında yapı boyunca giden 2 adet kenar aşık kirişi, 6 adet iç aşık kirişi ve 1 adet mahya kirişi bulunmaktadır. Yapının boyuna doğrultusunda 8 açıklık bulunduğu gözönüğe alındığında 16 adet kenar aşık kirişi, 48 adet iç aşık kirişi ve 8 adet mahya kirişinin olduğu kolayca görülebilir. Yapılan betonarme hesaplarda, simetrik olması dolayısıyla sistemin yarısıyla hesap yapılmıştır. Yani bulunan donatılar 4 açıklıklı kiriş hesabı sonucunda bulunan donatılardır. Sistemdeki toplam aşık kirişi demir maliyetini bulmak için,

Kenar aşık kirişi demir maliyeti  $\times 4$ ,

İç aşık ve mahya kirişleri demir maliyeti  $\times 14$

yapılmalıdır.

Fiyatlandırma yapılırken 1997 Yılı Bayındırlık Bakanlığı Birim Fiyatları kullanılmıştır.

##### 4.5.1 AŞIK KİRİŞİ İMALAT ÇESİTLERİ

###### 4.5.1.1 DEMİR İMALATI

Aşık kirişlerindeki demir miktarını hesaplamak için yukarıda Şekil 4.3'de verilen donatı düzeni çerçevesinde kullanılan donatıların boyları saptanmalıdır. Aşık kirişlerinde pilye kullanılmadığı için yerleştirilecek donatılar düz çekme donatısı, montaj donatısı, mesnet ekleri ve etriyelerdir. Bu donatıların boyları,  $l_n$  kiriş açıklığı olmak üzere,

$$\text{Düz çekme donatısı} \dots \dots \dots l=1.15 l_n \quad (4.17)$$

$$\text{Montaj donatısı} \dots \dots \dots l=1.15 l_n \quad (4.18)$$

$$\text{Mesnet eki} \dots \dots \dots l=0.55 l_n \quad (4.19)$$

$$\text{Etriye} \dots \dots \dots l=2 \times (b_w+d-0.08)+0.05 \quad (4.20)$$

olarak seçilmiş ve metraj buna göre çıkarılmıştır [2].

#### 4.5.1.2 KALIP İMALATI

Aşık kirişlerinin yapımı için kullanılacak kalıp miktarı bir açıklık için  $m^2$  olarak,

$$TKA(m^2) = l_n \times (b_w + 2 \times (h - h_f)) \quad (4.21)$$

olarak hesaplanmıştır.

#### 4.5.1.3 BETON İMALATI

Aşık kirişlerinin yapımı için kullanılan beton miktarı bir açıklık için  $m^3$  olarak,

$$TBM(m^3) = l_n \times (b_w \times (h - h_f)) \quad (4.22)$$

olarak hesaplanmıştır.

#### 4.5.1.4 SIVA İMALATI

Aşık kirişlerinde yapılacak siva imalatı bir açıklık için  $m^2$  olarak,

$$TSA(m^2) = l_n \times (b_w \times (h - h_f)) \quad (4.23)$$

olarak hesaplanmıştır.

#### 4.5.1.5 PARAPET DUVAR İMALATI

Kenar aşık kirişlerinin üzerinde yapılacak olan 40 cm yüksekliğindedeki parapet duvar miktarı bir açıklık için  $m^3$  olarak,

$$TDH(m^3) = l_n \times 0.40 \times 0.19 \quad (4.24)$$

olarak hesaplanmıştır. Duvar kalınlığı 19 cm olarak alınmıştır.

BS 16 , BCIII , BC I

Tablo 4.19 Aşık karışları maliyeti

| SIRA NO | POZ NO   | MALATİN CİNSİ               | MİKTARI | ÖLÇÜ BİRİMİ    | 1997 YILI BİRİM FİYATI (TL) | TUTARI (TL) |
|---------|----------|-----------------------------|---------|----------------|-----------------------------|-------------|
| 1       | 16.057/1 | BS 16 HAZIR BETONU          | 17.2    | M <sup>3</sup> | 6.738.123                   | 115.895.716 |
| 2       | 21.011   | DÜZ YÜZEYLİ BETONARME KALIP | 158     | M <sup>2</sup> | 804.400                     | 127.095.200 |
| 3       | 23.001/1 | Φ8-Φ12 MM BETONARME DEMİRİ  | 1.68    | T              | 54.207.500                  | 91.068.600  |
| 4       | 23.002   | Φ14-Φ50 MM BETONARME DEMİRİ | 0.50    | T              | 48.523.100                  | 24.261.550  |
| 5       | 27.501   | SIVA YAPILMASI              | 190     | M <sup>2</sup> | 427.702                     | 81.263.380  |
| 6       | 18.071/2 | TUĞLA DUVAR YAPILMASI       | 6.08    | M <sup>3</sup> | 3.337.311                   | 20.290.851  |
|         |          |                             |         |                |                             | 459.875.297 |

**BS 20 , BCIII , BC I****Tablo 4.20 Aşık kirişleri maliyeti**

| SIRA NO | POZ NO   | İMALATIN CİNSİ              | MİKTARI | ÖLÇÜ BİRİMİ    | 1997 YILI BİRİM FİYATI (TL) | TUTARI (TL)        |
|---------|----------|-----------------------------|---------|----------------|-----------------------------|--------------------|
| 1       | 16.058/1 | BS 20 HAZIR BETONU          | 14.4    | M <sup>3</sup> | 6.975.523                   | 100.447.531        |
| 2       | 21.011   | DÜZ YÜZEYLİ BETONARME KALIP | 144     | M <sup>2</sup> | 804.400                     | 115.833.600        |
| 3       | 23.001/1 | Φ8-Φ12 MM BETONARME DEMİRİ  | 1.36    | T              | 54.207.500                  | 73.722.200         |
| 4       | 23.002   | Φ14-Φ50 MM BETONARME DEMİRİ | 1.16    | T              | 48.523.100                  | 56.286.796         |
| 5       | 27.501   | SIVA YAPILMASI              | 176     | M <sup>2</sup> | 427.702                     | 75.275.552         |
| 6       | 18.071/2 | TUĞLA DUVAR YAPILMASI       | 6.08    | M <sup>3</sup> | 3.337.311                   | 20.290.851         |
|         |          |                             |         |                |                             | <b>441.856.530</b> |

BS 25 , BCIII , BC I

**Tablo 4.21 Aşık kirişleri maliyeti**

| SIRA NO | POZ NO   | İMALATIN CİNSİ              | MİKTARI | ÖLÇÜ BİRİMİ    | 1997 YILI BİRİM FİYATI (TL) | TUTARI (TL)        |
|---------|----------|-----------------------------|---------|----------------|-----------------------------|--------------------|
| 1       | 16.059   | BS 25 HAZIR BETONU          | 14.4    | M <sup>3</sup> | 7.269.373                   | 104.678.971        |
| 2       | 21.011   | DÜZ YÜZEYLİ BETONARME KALIP | 144     | M <sup>2</sup> | 804.400                     | 115.833.600        |
| 3       | 23.001/1 | Φ8-Φ12 MM BETONARME DEMİRİ  | 1.37    | T              | 54.207.500                  | 74.264.275         |
| 4       | 23.002   | Φ14-Φ50 MM BETONARME DEMİRİ | 1.14    | T              | 48.523.100                  | 55.316.334         |
| 5       | 27.501   | SIVA YAPILMASI              | 176     | M <sup>2</sup> | 427.702                     | 75.275.552         |
| 6       | 18.071/2 | TUĞLA DUVAR YAPILMASI       | 6.08    | M <sup>3</sup> | 3.337.311                   | 20.290.851         |
|         |          |                             |         |                |                             | <b>445.659.583</b> |

**Tablo 4.22 Aşık kirişleri maliyeti**

| SIRA NO | POZ NO   | İMALATIN CİNSİ              | MİKTARI | ÖLÇÜ BİRİMİ    | 1997 YILI BİRİM FİYATI (TL) | TUTARI (TL)        |
|---------|----------|-----------------------------|---------|----------------|-----------------------------|--------------------|
| 1       | 16.059/1 | BS 30 HAZIR BETONU          | 14.4    | M <sup>3</sup> | 7.788.123                   | 112.148.971        |
| 2       | 21.011   | DÜZ YÜZEYLİ BETONARME KALIP | 144     | M <sup>2</sup> | 804.400                     | 115.833.600        |
| 3       | 23.001/1 | Φ8-Φ12 MM BETONARME DEMİRİ  | 1.37    | T              | 54.207.500                  | 74.264.275         |
| 4       | 23.002   | Φ14-Φ50 MM BETONARME DEMİRİ | 1.14    | T              | 48.523.100                  | 55.316.334         |
| 5       | 27.501   | SIVA YAPILMASI              | 176     | M <sup>2</sup> | 427.702                     | 75.275.552         |
| 6       | 18.071/2 | TUĞLA DUVAR YAPILMASI       | 6.08    | M <sup>3</sup> | 3.337.311                   | 20.290.851         |
|         |          |                             |         |                |                             | <b>453.129.583</b> |

**BS 35, BCIII, BC I****Tablo 4.23 Aşık kirişleri maliyeti**

| SIRA NO | POZ NO   | MALATİN CİNSİ                         | MİKTARI | ÖLÇÜ BİRİMİ | 1997 YILI BİRİM FİYATI (TL) | TUTARI (TL)        |
|---------|----------|---------------------------------------|---------|-------------|-----------------------------|--------------------|
| 1       | 16.059/2 | BS 35 HAZIR BETONU                    | 14.4    | $M^3$       | 8.100.623                   | 116.648.971        |
| 2       | 21.011   | DÜZ YÜZEYLİ BETONARME KALIP           | 144     | $M^2$       | 804.400                     | 115.833.600        |
| 3       | 23.001/1 | $\Phi 8-\Phi 12$ MM BETONARME DEMİRİ  | 1.37    | T           | 54.207.500                  | 74.264.275         |
| 4       | 23.002   | $\Phi 14-\Phi 50$ MM BETONARME DEMİRİ | 1.11    | T           | 48.523.100                  | 53.860.641         |
| 5       | 27.501   | SIVA YAPILMASI                        | 176     | $M^2$       | 427.702                     | 75.275.552         |
| 6       | 18.071/2 | TUĞLA DUVAR YAPILMASI                 | 6.08    | $M^3$       | 3.337.311                   | 20.290.851         |
|         |          |                                       |         |             |                             | <b>456.173.890</b> |

BS 40 , BCIII , BC I

**Tablo 4.24 Aşık kirişleri maliyeti**

| SIRA NO | POZ NO   | İMALATIN CİNSİ              | MİKTARI | ÖLÇÜ BİRİMİ    | 1997 YILI BİRİM FİYATI (TL) | TUTARI (TL) |
|---------|----------|-----------------------------|---------|----------------|-----------------------------|-------------|
| 1       | 16.059/3 | BS 40 HAZIR BETONU          | 14.4    | M <sup>3</sup> | 8.356.873                   | 120.338.971 |
| 2       | 21.011   | DÜZ YÜZEYLİ BETONARME KALIP | 144     | M <sup>2</sup> | 804.400                     | 115.833.600 |
| 3       | 23.001/1 | Φ8-Φ12 MM BETONARME DEMİRİ  | 1.37    | T              | 54.207.500                  | 74.264.275  |
| 4       | 23.002   | Φ14-Φ50 MM BETONARME DEMİRİ | 1.08    | T              | 48.523.100                  | 52.404.948  |
| 5       | 27.501   | SIVA YAPILMASI              | 176     | M <sup>2</sup> | 427.702                     | 75.275.552  |
| 6       | 18.071/2 | TUĞLA DUVAR YAPILMASI       | 6.08    | M <sup>3</sup> | 3.337.311                   | 20.290.851  |
|         |          |                             |         |                |                             | 458.408.197 |

**BS 45 , BCIII, BC I****Tablo 4.25 Aşık kirişleri maliyeti**

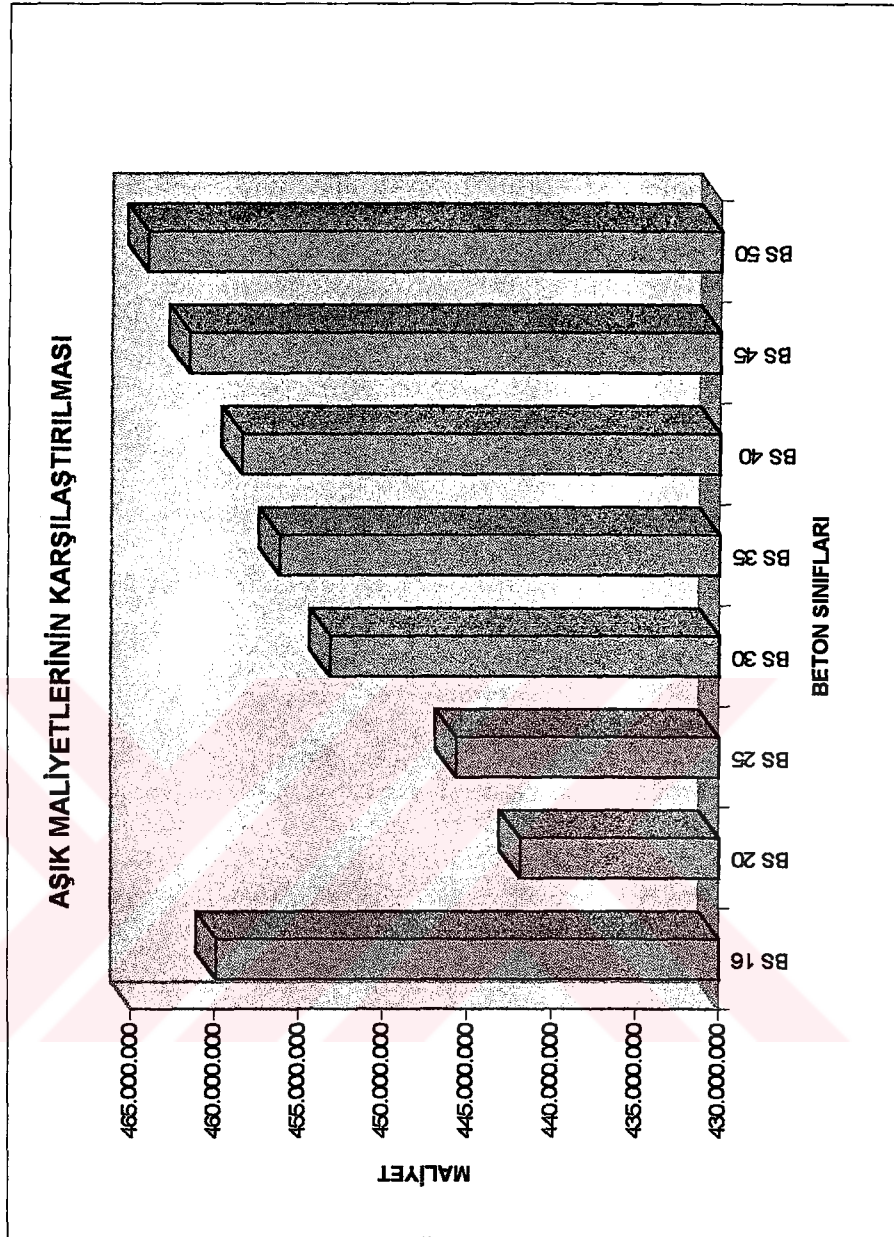
| SIRA NO | POZ NO   | İMALATIN CİNSİ              | MİKTARI | ÖLÇÜ BİRİMİ    | 1997 YILI BİRİM FİYATI (TL) | TUTARI (TL)        |
|---------|----------|-----------------------------|---------|----------------|-----------------------------|--------------------|
| 1       | 16.059/4 | BS 45 HAZIR BETONU          | 14.4    | M <sup>3</sup> | 8.581.873                   | 123.578.971        |
| 2       | 21.011   | DÜZ YÜZEYLİ BETONARME KALIP | 144     | M <sup>2</sup> | 804.400                     | 115.833.600        |
| 3       | 23.001/1 | Φ8-Φ12 MM BETONARME DEMİRİ  | 1.44    | T              | 54.207.500                  | 78.058.800         |
| 4       | 23.002   | Φ14-Φ50 MM BETONARME DEMİRİ | 1.00    | T              | 48.523.100                  | 48.523.100         |
| 5       | 27.501   | SIVA YAPILMASI              | 176     | M <sup>2</sup> | 427.702                     | 75.275.552         |
| 6       | 18.071/2 | TUĞLA DUVAR YAPILMASI       | 6.08    | M <sup>3</sup> | 3.337.311                   | 20.290.851         |
|         |          |                             |         |                |                             | <b>461.560.874</b> |

**Tablo 4.26 Aşık kirişleri maliyeti**

| SIRA NO | POZ NO   | İMALATIN CİNSİ              | MİKTARI | ÖLÇÜ BİRİMİ    | 1997 YILI BİRİM FİYATI (TL) | TUTARI (TL)        |
|---------|----------|-----------------------------|---------|----------------|-----------------------------|--------------------|
| 1       | 16.059/5 | BS 50 HAZIR BETONU          | 14.4    | M <sup>3</sup> | 8.756.873                   | 126.098.971        |
| 2       | 21.011   | DÜZ YÜZEYLİ BETONARME KALIP | 144     | M <sup>2</sup> | 804.400                     | 115.833.600        |
| 3       | 23.001/1 | Φ8-Φ12 MM BETONARME DEMİRİ  | 1.44    | T              | 54.207.500                  | 78.058.800         |
| 4       | 23.002   | Φ14-Φ50 MM BETONARME DEMİRİ | 1.00    | T              | 48.523.100                  | 48.523.100         |
| 5       | 27.501   | SIVA YAPILMASI              | 176     | M <sup>2</sup> | 427.702                     | 75.275.552         |
| 6       | 18.071/2 | TUĞLA DUVAR YAPILMASI       | 6.08    | M <sup>3</sup> | 3.337.311                   | 20.290.851         |
|         |          |                             |         |                |                             | <b>464.080.874</b> |

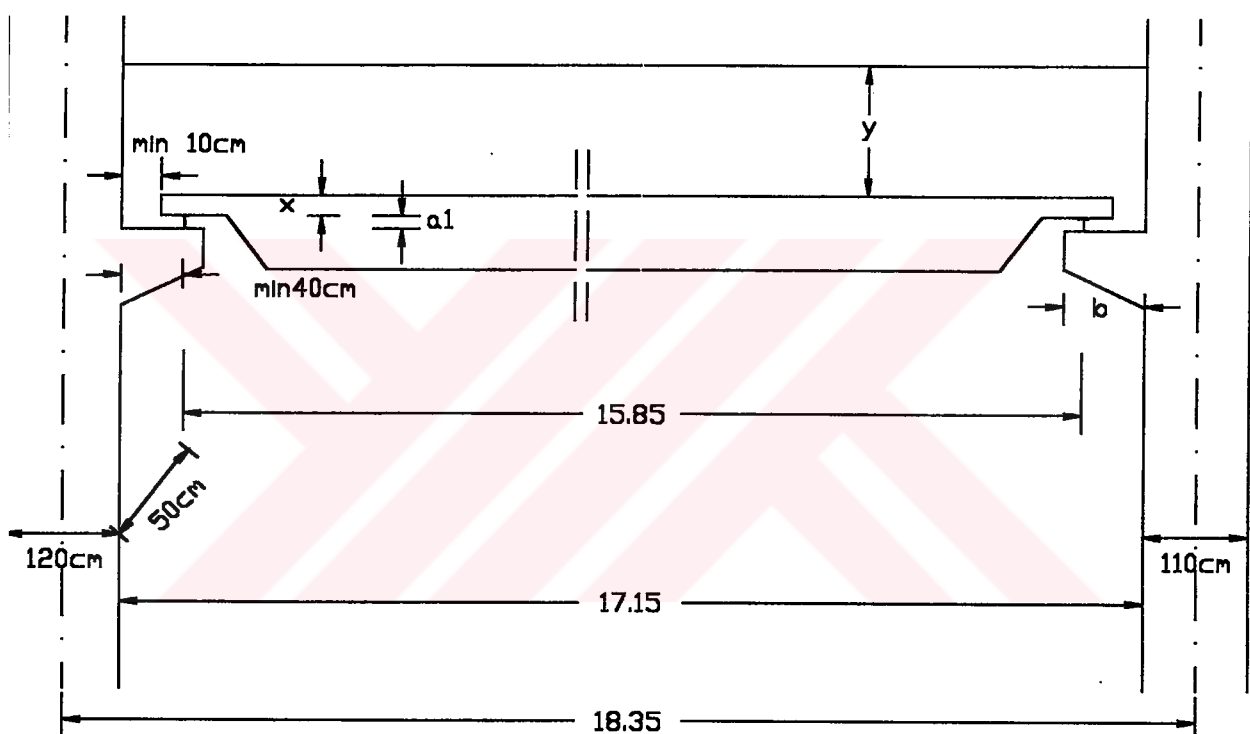
**Tablo 4.27 Aşık maliyetlerinin karşılaştırılması**

| BETON SINIFI | TOPLAM AŞIK MALIYETİ(TL) |
|--------------|--------------------------|
| BS 16        | 459.875.297              |
| BS 20        | 441.856.530              |
| BS 25        | 445.659.583              |
| BS 30        | 453.129.583              |
| BS 35        | 456.173.890              |
| BS 40        | 458.408.197              |
| BS 45        | 461.560.874              |
| BS 50        | 464.080.874              |



## BÖLÜM 5

### KREN KİRİŞİ HESABI



Şekil 5.1 Kren köprüsü

Kren köprüsü mesnet açıklığı

$L=15850\text{mm.}$

Kren köprüsü kılavuz tekerlek çapı

$\varnothing= 500\text{mm.}$

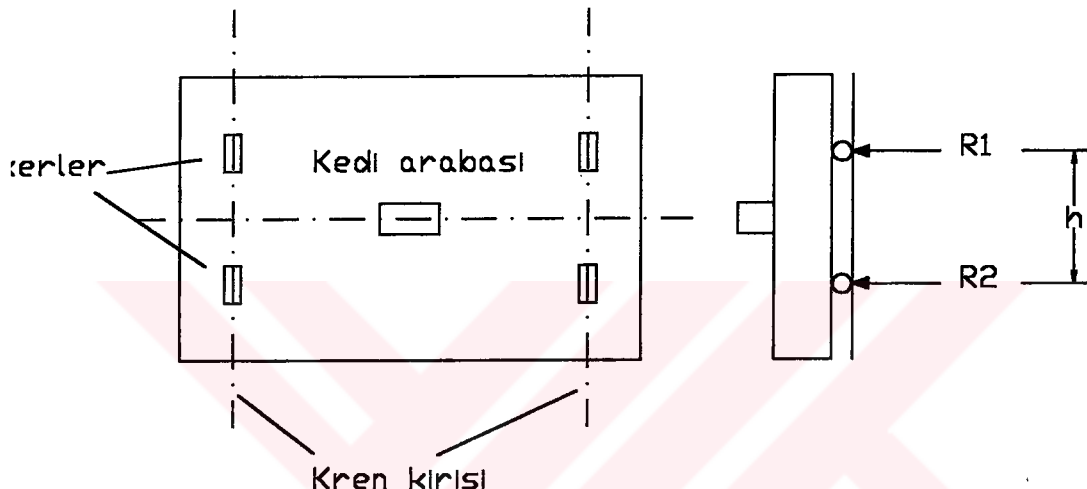
Kren köprüsü kılavuz tekerlek arası

$h= 3640\text{mm.}$

$x= 485\text{mm.}$

|                                       |                    |
|---------------------------------------|--------------------|
| Kedi arabası yüksekliği               | $y=1000\text{mm.}$ |
| Kedi arabası tekerlek açıklığı        | $=2240\text{mm.}$  |
| Kren raylarının kolon yüzüne mesafesi | $c= 650\text{mm.}$ |
| Kren konsolu genişliği                | $b= 850\text{mm.}$ |

Kren kaldırma kuvveti 10t olarak verildiğinden, sistemin boyutları da gözönünde bulundurularak kren köprüsü tekerlek basınçları,



Şekil 5.2 Kren köprüsü tekerlek basınçları

$$R_{1\max} = 9\text{t.}, R_{1\min} = 3.5\text{t.}, R_{2\max} = 7.3\text{t.}, R_{2\min} = 1.8\text{t.}$$

olarak tablolardan alınmıştır. Çalışmaya konu olan endüstri yapısında kren grubu olarak II.grup krenler seçilmiştir. [6]

### 5.1 KREN KİRİŞİ STATİK HESABI

Kren kirişinin hesabında, hareketli yükün tekrarlanması ve şiddetinin değişmesi, sabit yükün yüzeyle hareketinden dolayı oluşan vurma tesirlerinin oluşması gibi olaylar neticesinde çubuk kuvvetleri, eğilme momentleri ve kesme kuvvetleri bazı katsayılar yardımıyla arttırılır. Bu katsayılar aşağıda açıklanmıştır.

- $\Psi$  Denk Katsayısı

Yükün sık olarak tekrarlanması, şiddetinin değişmesini ve vuruş tesirini gözönünde tutmak üzere, hareketli yüklerden meydana gelen çubuk kuvvetleri, eğilme momentleri ve kesme kuvvetleri  $\Psi$  denk katsayısı ile çarpılmalıdır. Kren grubu II için  $\Psi=1.40$  alınır. [6]

- $\phi$  Vurma Katsayısı

Yürür krenlerde ve kren elemanında sabit yükten meydana gelen çubuk kuvvetleri, eğilme momentleri ve kesme kuvvetleri yürüme hareketinden doğan vuruşları gözönünde tutmak düşüncesiyle  $\phi$  vurma katsayısıyla çarpılır. Çalışmaya konu olan sistemdeki kren ray ekleri kaynaklı ve yürüme hızı  $v>1.5$  m/s olduğundan  $\phi=1.20$  alınır. [6]

Bu katsayılarla arttırlılmış kren köprüsü tekerlek basınçları,

$$P_{1\max} = \Psi \times \phi \times R_{1\max} \Rightarrow P_{1\max} = 1.4 \times 1.2 \times 9 = 15.12t \quad (5.1)$$

$$P_{1\min} = \Psi \times \phi \times R_{1\min} \Rightarrow P_{1\min} = 1.4 \times 1.2 \times 3.5 = 5.88t. \quad (5.2)$$

$$P_{2\max} = \Psi \times \phi \times R_{2\max} \Rightarrow P_{2\max} = 1.4 \times 1.2 \times 7.3 = 15.12t \quad (5.3)$$

$$P_{2\min} = \Psi \times \phi \times R_{2\min} \Rightarrow P_{2\min} = 1.4 \times 1.2 \times 1.8 = 5.88t. \quad (5.4)$$

olarak bulunur. Kren kirişinin statik hesabında kullanılacak  $P_{\max}$  ve  $P_{\min}$  değerleri,

$$P_{\max} = (2 \times P_{1\max} + P_{2\max}) / 3 \Rightarrow P_{\max} = (2 \times 15.12 + 12.27) / 3 = 14.17t. \quad (5.5)$$

$$P_{\min} = (2 \times P_{1\min} + P_{2\min}) / 3 \Rightarrow P_{\min} = (2 \times 5.88 + 3.03) / 3 = 4.93t. \quad (5.6)$$

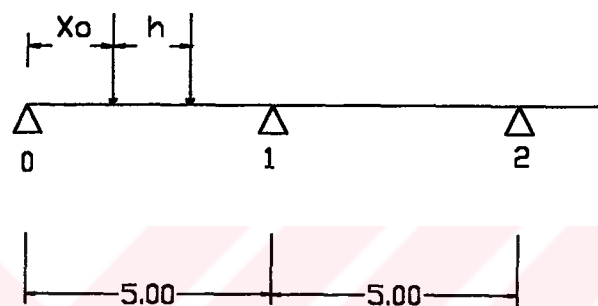
olarak hesaplanmıştır.

Çalışmaya konu olan endüstri yapısında,

Kren köprüsü kılavuz tekerlek arası  $h=3.64\text{m}$ .

Kren kırışı hesap açıklığı  $l=5.00\text{m}$ .

olduğundan  $h/l=0.728$  değeri gözönünde tutularak tablolara yardımıyla Şekil 5.3'de gösterilen sürekli kırış hesabı yapılır.



Şekil 5.3 Kren kırışı

$$\text{Mesnet momentleri; } \max M_1 = -k_1 \times P_{\max} \times l = -0.1808 \times 14.17 \times 5.00 = -12.75 \text{ tm.} \quad (5.7)$$

$$\max M_2 = -k_2 \times P_{\max} \times l = -0.171 \times 14.17 \times 5.00 = -12.12 \text{ tm.} \quad (5.8)$$

$$\text{Açıklık momentleri; } \max M_{a0,1} = k_{a1} \times P_{\max} \times l = 0.188 \times 14.17 \times 5.00 = 13.32 \text{ tm.} \quad (5.9)$$

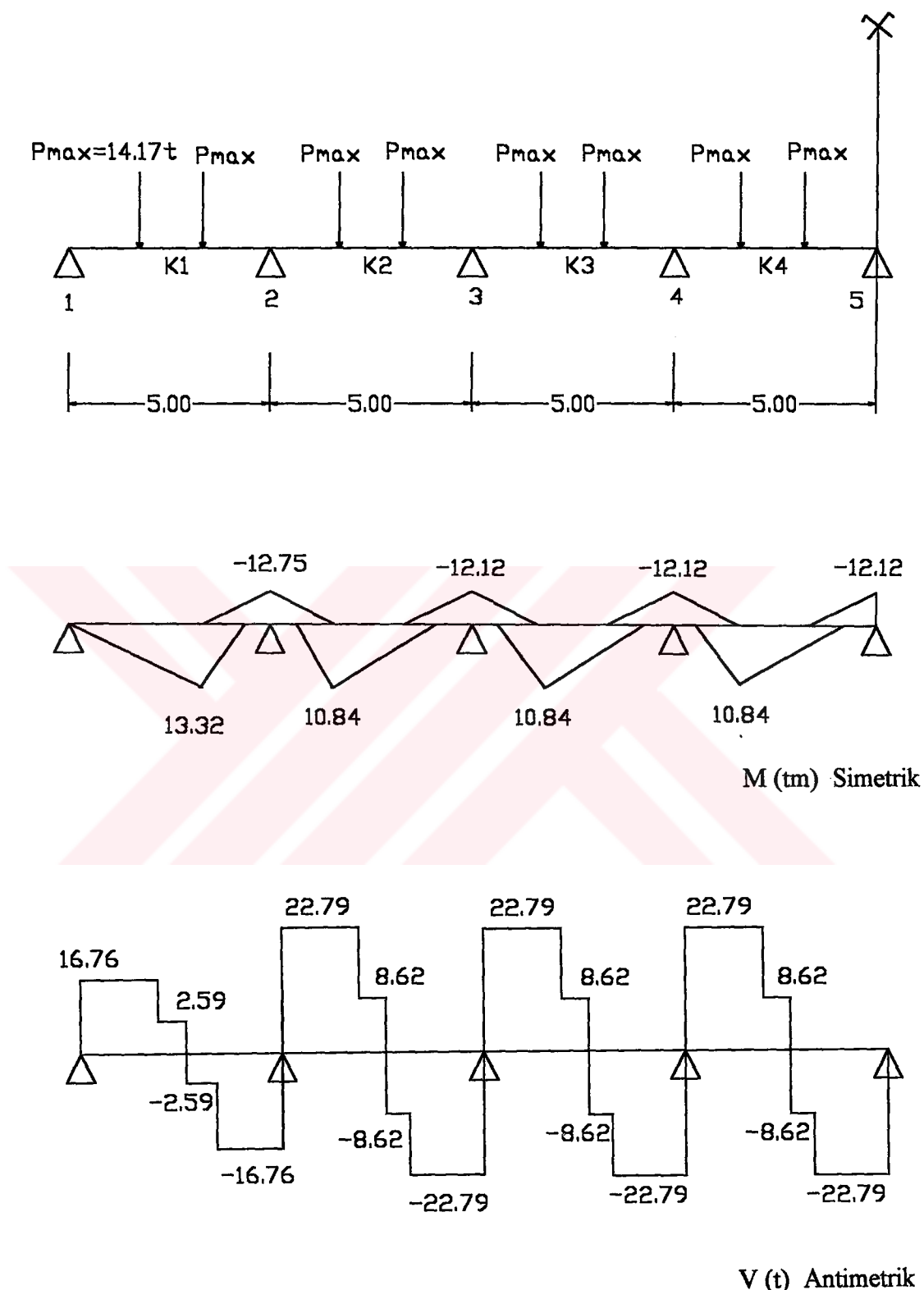
$$\max M_{a1,2} = k_{a2} \times P_{\max} \times l = 0.153 \times 14.17 \times 5.00 = 10.84 \text{ tm.} \quad (5.10)$$

$$\text{Kesme kuvvetleri; } \max V_0 = k_0 \times P_{\max} = 1.183 \times 14.17 = 16.76 \text{ t.} \quad (5.11)$$

$$\max V_1 = k_1 \times P_{\max} = 1.608 \times 14.17 = 22.79 \text{ t.} \quad (5.12)$$

$$\min V_0 = k_0 \times P_{\min} = 1.183 \times 4.93 = 5.83 \text{ t.} \quad (5.13)$$

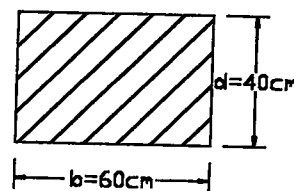
$$\min V_1 = k_1 \times P_{\min} = 1.608 \times 4.93 = 7.93 \text{ t.} \quad (5.14)$$



Şekil 5.4 Kren yüklerinden dolayı oluşan moment ve kesme kuvveti diyagramları

Elde edilen diyagramlar, yapıdaki krenden dolayı oluşan etkilerdir. Kren kirişinin betonarme hesabında gerekli olan statik değerler, bu etkiler ile kren kirişinin kendi ağırlığından dolayı oluşan etkilerin superpozesi yapılarak elde edilmelidir.

Kren kirişinde;



Şekil 5.5 Kren kiriş kesiti

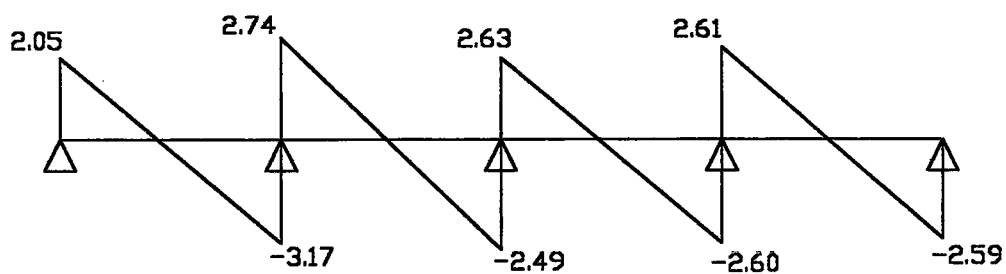
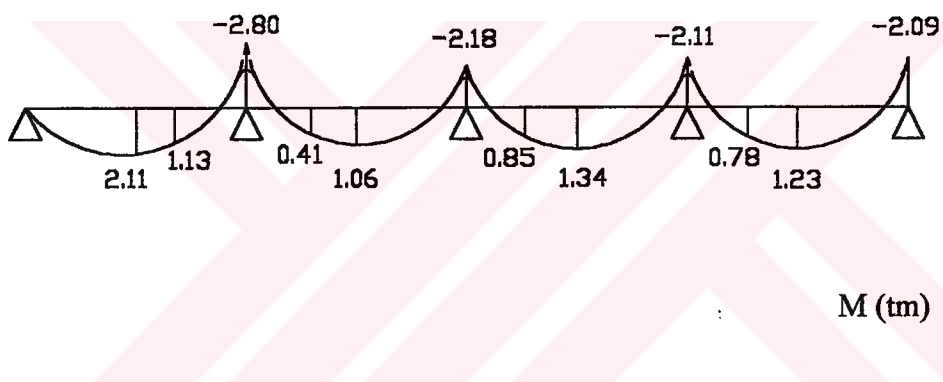
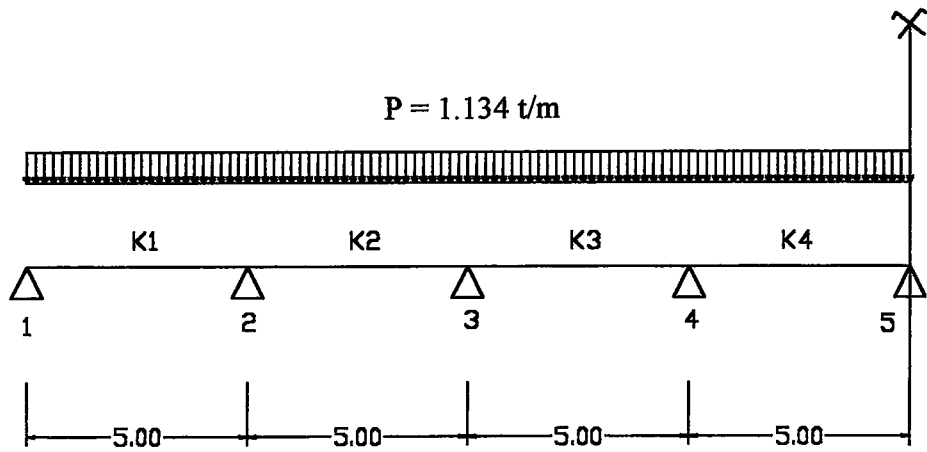
Kiriş öz ağırlığı..... $0.4 \times 0.6 \times 2.5 = 0.600 \text{t/m}$

Sıva ağırlığı (2cm)..... $2 \times 0.02 \times (2 \times 0.4 + 0.6) = 0.056 \text{t/m}$

Hareketli yük..... $0.100 \text{t/m}$

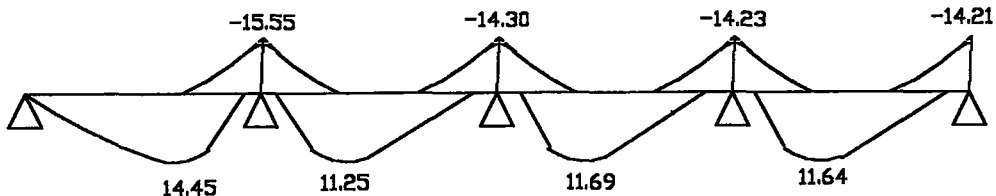
Toplam ağırlık..... $0.756 \text{t/m}$ ,  $P = 1.5 \times 0.756 = 1.134 \text{t/m}$

yükleri hesaplarda gözönüne alınmışlardır. Kren kirişinin kendi ağırlığından dolayı oluşan kesit tesirleri aşağıda gösterilmiştir.

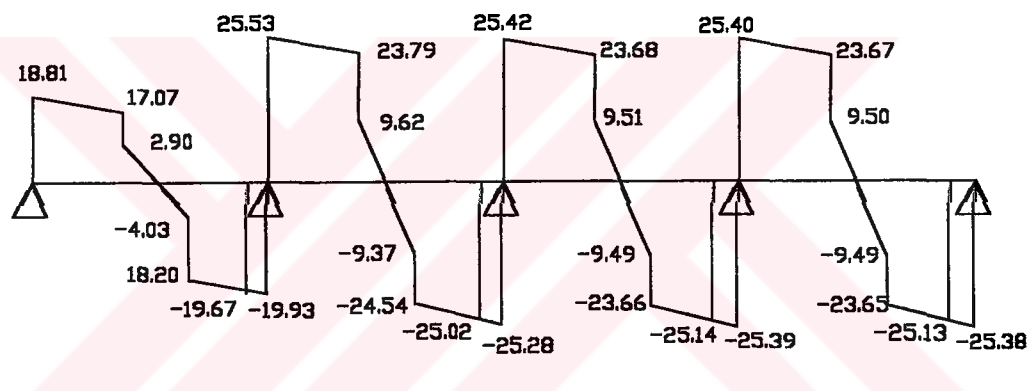


Şekil 5.6 Kren kirişinin kendi ağırlığından dolayı oluşan moment ve kesme kuvveti diyagramları

Kren yükü ve kren kirişinin kendi ağırlığından dolayı oluşan kesit tesirleri süperpoze edilerek sonuç diyagramlar aşağıdaki gibi elde edilir.



M (tm) Simetrik



V (tm) Antimetrik

Şekil 5.7 Kren kiriş süperpoze moment ve kesme kuvveti diyagramları

Tablo 5.1 Mesnet momenti düzeltmeleri

|    | M(tm)  | V(t)  | a(m) | Md(tm) |
|----|--------|-------|------|--------|
| M2 | -15,55 | 19,67 | 0,5  | -12,27 |
| M3 | -14,3  | 25,02 | 0,5  | -10,13 |
| M4 | -14,23 | 25,14 | 0,5  | -10,04 |
| M5 | -14,21 | 25,12 | 0,5  | -10,02 |

## 5.2 KREN KİRİŞİNİN BETONARME HESABI

### 5.2.1 Eğilme Hesabı

Kren kirişlerinin eğilme hesabı her açıklık için yapılarak kirişlerdeki açıklık donatıları bulunmuştur. Bulunan açıklık donatıları pilye yapılmadan düz olarak yerleştirilmiştir. Montaj donatısı olarak ta  $3\phi 12$  seçilmiştir. Mesnet kesitlerinde negatif momenti karşılamak üzere mesnet ek donatıları yerleştirilmiştir.

### 4.2.2 Kayma Hesabı

Kren kirişlerinin kayma hesabı yapılırken, kren kirişi üzerinde hareketli yüklerin etkili olması ve çalışmaya konu olan endüstri yapısının 1. Deprem bölgesinde bulunması nedeniyle kesme kuvvetinin yalnız etriyeler tarafından karşılandığı ve beton kesitin kesme kuvveti almadığı düşünülmüştür. Minimum etriye çapı olarak  $\phi 10$  seçilmiştir. Etriyeler mesnet bölgelerinde sıklaştırılmış, etriye malzemesi olarak BÇIII kullanılması uygun görülmüştür. BS 16 ve BS 20 beton sınıfları için yapılan hesaplarda kiriş genişlikleri 40 cm.'den büyük olduğu için etriyeler dört kollu yapılmıştır.

Kirişlerdeki donatı düzeni ve hesaplarda yapılacak kontroller daha önce Bölüm 4.4.'de açıklandığı gibidir. Ayrıca kirişlerde maksimum donatının belirlenmesi bakımından aşağıda her beton sınıfı için verilen donatı oranları dikkate alınmıştır. [8, s 127]

$\rho_b$  : Dengeli donatı oranı

$\rho_m$  : Sünek davranışın sağlanabilmesi için koyulan maksimum donatı oranı

$\rho_d$  : Deprem bölgelerinde gerekli süneklik için koyulan maksimum donatı oranı

$\rho_l$  : Sehim denetimi sınırı donatı oranı

**Tablo 5.2 BS16, BC III için Kren kırışı hesabi**fcd=110 Kg/cm<sup>2</sup>fyd=3650 Kgf/cm<sup>2</sup>fywd=3650 Kgf/cm<sup>2</sup>fcd=110 Kgf/cm<sup>2</sup>**Açılıklıkta hesap**

| KIRIŞ NO | b(cm) | d(cm) | Md(tcm) | Kd      | ks    | As(cm <sup>2</sup> ) | $\rho$  | pmin    | DONATI(cm <sup>2</sup> ) |
|----------|-------|-------|---------|---------|-------|----------------------|---------|---------|--------------------------|
| K1       | 50    | 37    | 1445    | 2,17647 | 3,192 | 12,47                | 0,00674 | 0,00328 | 5 Φ 18(12,72)            |
| K2       | 50    | 37    | 1125    | 2,46667 | 3,068 | 9,33                 | 0,00504 | 0,00328 | 4 Φ 18(10,18)            |
| K3       | 50    | 37    | 1169    | 2,41980 | 3,082 | 9,74                 | 0,00526 | 0,00328 | 4 Φ 18(10,18)            |
| K4       | 50    | 37    | 1162    | 2,42708 | 3,080 | 9,67                 | 0,00523 | 0,00328 | 4 Φ 18(10,18)            |

|  | $\rho_b$ | $\rho_m$ | $\rho_d$ | pI      |
|--|----------|----------|----------|---------|
|  | 0,01350  | 0,01150  | 0,00810  | 0,00710 |

**Mesnette hesap**

| MESNET NO | b(cm) | d(cm) | Md(tcm) | Kd      | ks    | As(cm <sup>2</sup> ) | MEVCUT(cm <sup>2</sup> ) | EK(cm <sup>2</sup> ) |
|-----------|-------|-------|---------|---------|-------|----------------------|--------------------------|----------------------|
| M2        | 50    | 37    | 1227    | 2,36192 | 3,099 | 10,28                | 4 Φ 12(4,52)             | 3 Φ 16(6,03)         |
| M3        | 50    | 37    | 1013    | 2,59945 | 3,027 | 8,29                 | 4 Φ 12(4,52)             | 2 Φ 16(4,02)         |
| M4        | 50    | 37    | 1004    | 2,61108 | 3,024 | 8,21                 | 4 Φ 12(4,52)             | 2 Φ 16(4,02)         |
| M5        | 50    | 37    | 992     | 2,62682 | 3,019 | 8,09                 | 4 Φ 12(4,52)             | 2 Φ 16(4,02)         |

**Kayma hesabı**

| Vcr(t) | Vd(t) | Vr(t) | lc(cm) | ss(cm) | s <sub>n</sub> (cm) | Etriyel | Vws(t) | $\rho$  | $\rho_{min}$ |
|--------|-------|-------|--------|--------|---------------------|---------|--------|---------|--------------|
| 10,82  | 25,27 | 50,88 | 80     | 10     | 16                  | Φ 10    | 26,67  | 0,00395 | 0,00074      |

Tablo 5.3 BS20, BC III İçin Kren kırışı hesabi

fcd=130 Kgf/cm<sup>2</sup>fyd=3650 Kgf/cm<sup>2</sup>fywd=3650 Kgf/cm<sup>2</sup>

## Açıklıkta hesap

| K R Ş NO | b(cm) | d(cm) | Md(tcm) | Kd      | ks    | As(cm <sup>2</sup> ) | $\rho$  | $\rho_{min}$ | DONATI(cm <sup>2</sup> ) |
|----------|-------|-------|---------|---------|-------|----------------------|---------|--------------|--------------------------|
| K1       | 45    | 37    | 1445    | 2,06478 | 3,125 | 12,20                | 0,00733 | 0,00328      | 5 Φ 18(12,72)            |
| K2       | 45    | 37    | 1125    | 2,34009 | 3,023 | 9,19                 | 0,00552 | 0,00328      | 4 Φ 18(10,18)            |
| K3       | 45    | 37    | 1169    | 2,29562 | 3,038 | 9,60                 | 0,00576 | 0,00328      | 4 Φ 18(10,18)            |
| K4       | 45    | 37    | 1162    | 2,30253 | 3,036 | 9,53                 | 0,00573 | 0,00328      | 4 Φ 18(10,18)            |

|  | $\rho_b$ | $\rho_m$ | $\rho_d$ | $\rho_l$ |
|--|----------|----------|----------|----------|
|  | 0,01600  | 0,01360  | 0,00960  | 0,00840  |

## Mesnette hesap

| MESNET NO | b(cm) | d(cm) | Md(tcm) | Kd      | ks    | As(cm <sup>2</sup> ) | MEVCUT(cm <sup>2</sup> ) | EK(cm <sup>2</sup> ) |
|-----------|-------|-------|---------|---------|-------|----------------------|--------------------------|----------------------|
| M2        | 45    | 37    | 1227    | 2,24071 | 3,056 | 10,13                | 4 Φ 12(4,52)             | 3 Φ 16(6,03)         |
| M3        | 45    | 37    | 1013    | 2,46606 | 2,992 | 8,19                 | 4 Φ 12(4,52)             | 2 Φ 16(4,02)         |
| M4        | 45    | 37    | 1004    | 2,47709 | 2,991 | 8,12                 | 4 Φ 12(4,52)             | 2 Φ 16(4,02)         |
| M5        | 45    | 37    | 992     | 2,49202 | 2,989 | 8,01                 | 4 Φ 12(4,52)             | 2 Φ 16(4,02)         |

## Kayma hesabi

| Vcr(t) | Vd(t) | Vr(t) | lc(cm) | ss(cm) | sn(cm) | Etriyə | Vws(t) | $\rho$  | pmin    |
|--------|-------|-------|--------|--------|--------|--------|--------|---------|---------|
| 10,82  | 25,27 | 54,11 | 80     | 10     | 16     | Φ 10   | 26,67  | 0,00440 | 0,00080 |

Tablo 5.4 BS25, BC III için Kren Hesabı

fcd=170 Kgf/cm<sup>2</sup>fyd=3650 Kgf/cm<sup>2</sup>

## Açıklıkta hesap

| KIRIŞ NO | b(cm) | d(cm) | Md(tcm) | Kd      | ks    | As(cm <sup>2</sup> ) | $\rho$  | ρmin    | DONATI(cm <sup>2</sup> ) |
|----------|-------|-------|---------|---------|-------|----------------------|---------|---------|--------------------------|
| K1       | 40    | 37    | 1445    | 1,94669 | 3,079 | 12,02                | 0,00812 | 0,00328 | 5 Φ 18(12,72)            |
| K2       | 40    | 37    | 1125    | 2,20625 | 2,993 | 9,10                 | 0,00615 | 0,00328 | 4 Φ 18(10,18)            |
| K3       | 40    | 37    | 1169    | 2,16433 | 2,999 | 9,48                 | 0,00640 | 0,00328 | 4 Φ 18(10,18)            |
| K4       | 40    | 37    | 1162    | 2,17084 | 2,998 | 9,42                 | 0,00636 | 0,00328 | 4 Φ 18(10,18)            |

| $\rho_b$ | $\rho_m$ | $\rho_d$ | $\rho_l$ |
|----------|----------|----------|----------|
| 0,02090  | 0,01780  | 0,01260  | 0,01090  |

## Mesnette hesap

| MESNET NO | b(cm) | d(cm) | Md(tcm) | Kd      | ks    | As(cm <sup>2</sup> ) | MEVCUT(cm <sup>2</sup> ) | EK(cm <sup>2</sup> ) |
|-----------|-------|-------|---------|---------|-------|----------------------|--------------------------|----------------------|
| M2        | 40    | 37    | 1227    | 2,11256 | 3,018 | 10,01                | 3 Φ 12(3,39)             | 3 Φ 18(7,63)         |
| M3        | 40    | 37    | 1013    | 2,32502 | 2,975 | 8,15                 | 3 Φ 12(3,39)             | 2 Φ 18(5,09)         |
| M4        | 40    | 37    | 1004    | 2,33542 | 2,973 | 8,07                 | 3 Φ 12(3,39)             | 2 Φ 18(5,09)         |
| M5        | 40    | 37    | 992     | 2,34950 | 2,971 | 7,97                 | 3 Φ 12(3,39)             | 2 Φ 18(5,09)         |

## Kayma hesabi

| Vcr(t) | Vd(t) | Vr(t) | lc(cm) | ss(cm) | sn(cm) | Etriyə | Vws(t) | $\rho$  | pmin    |
|--------|-------|-------|--------|--------|--------|--------|--------|---------|---------|
| 11,06  | 25,27 | 62,90 | 80     | 10     | 16     | Φ 14   | 26,00  | 0,00480 | 0,00095 |

Tablo 5.5 BS30, BC III için Kren Hesabı

fcd=200 Kg/cm<sup>2</sup>fyd=3650 Kg/cm<sup>2</sup>fwd=3650 Kg/cm<sup>2</sup>

**Açıklıkta hesap**

| KIRIŞ NO | b(cm) | d(cm) | Md(tcm) | Kd      | ks    | As(cm <sup>2</sup> ) | ρ       | ρmin    | DONATI(cm <sup>2</sup> ) |
|----------|-------|-------|---------|---------|-------|----------------------|---------|---------|--------------------------|
| K1       | 35    | 32    | 1445    | 1,57489 | 3,178 | 14,35                | 0,01281 | 0,00328 | 5 Φ 20(15,71)            |
| K2       | 35    | 32    | 1125    | 1,78487 | 3,074 | 10,81                | 0,00965 | 0,00328 | 3 Φ 22(11,40)            |
| K3       | 35    | 32    | 1169    | 1,75096 | 3,088 | 11,28                | 0,01007 | 0,00328 | 3 Φ 22(11,40)            |
| K4       | 35    | 32    | 1162    | 1,75623 | 3,086 | 11,21                | 0,01001 | 0,00328 | 3 Φ 22(11,40)            |

| ρb      | ρm      | ρd      | ρl      |
|---------|---------|---------|---------|
| 0,02370 | 0,02000 | 0,01420 | 0,01290 |

**Mesnette hesap**

| MESNET NO | b(cm) | d(cm) | Md(tcm) | Kd      | ks    | As(cm <sup>2</sup> ) | MEVCUT(cm <sup>2</sup> ) | EK(cm <sup>2</sup> ) |
|-----------|-------|-------|---------|---------|-------|----------------------|--------------------------|----------------------|
| M2        | 35    | 32    | 1227    | 1,70908 | 3,107 | 11,91                | 3 Φ 12(3,39)             | 3 Φ 20(9,42)         |
| M3        | 35    | 32    | 1013    | 1,88096 | 3,036 | 9,61                 | 3 Φ 12(3,39)             | 2 Φ 20(6,28)         |
| M4        | 35    | 32    | 1004    | 1,88937 | 3,032 | 9,51                 | 3 Φ 12(3,39)             | 2 Φ 20(6,28)         |
| M5        | 35    | 32    | 992     | 1,90076 | 3,028 | 9,39                 | 3 Φ 12(3,39)             | 2 Φ 20(6,28)         |

**Kayma hesabi**

| Vcr(t) | Vdt(t) | Vrt(t) | Ic(cm) | Ss(cm) | sn(cm) | Etriye | Vws(t) | P       | pmin    |
|--------|--------|--------|--------|--------|--------|--------|--------|---------|---------|
| 9,10   | 25,27  | 56,00  | 70     | 8,5    | 14     | Φ 14   | 25,70  | 0,00630 | 0,00100 |

Tablo 5.6 BS35, BC III için Kren Hesabı

$f_{cd}=230 \text{ Kgf/cm}^2$   
 $f_{yd}=3650 \text{ Kgf/cm}^2$

 $f_{ywcl}=3650 \text{ Kgf/cm}^2$ 

## Açıklıkta hesap

| KIRIŞ NO | b(cm) | d(cm) | Md(tcm) | Kd      | ks    | As(cm <sup>2</sup> ) | $\rho$  | $\rho_{min}$ | DONATI(cm <sup>2</sup> ) |
|----------|-------|-------|---------|---------|-------|----------------------|---------|--------------|--------------------------|
| K1       | 35    | 32    | 1445    | 1,57489 | 3,118 | 14,08                | 0,01257 | 0,00328      | 5 $\Phi$ 20(15.71)       |
| K2       | 35    | 32    | 1125    | 1,78487 | 3,016 | 10,60                | 0,00947 | 0,00328      | 3 $\Phi$ 22(11.40)       |
| K3       | 35    | 32    | 1169    | 1,75096 | 3,031 | 11,07                | 0,00989 | 0,00328      | 3 $\Phi$ 22(11.40)       |
| K4       | 35    | 32    | 1162    | 1,75623 | 3,029 | 11,00                | 0,00982 | 0,00328      | 3 $\Phi$ 22(11.40)       |

| pb      | $\rho_m$ | $\rho_d$ | $\rho_l$ |
|---------|----------|----------|----------|
| 0,02630 | 0,02220  | 0,01580  | 0,01480  |

## Mesnette hesap

| MESNET NO | b(cm) | d(cm) | Md(tcm) | Kd      | ks    | As(cm <sup>2</sup> ) | MEVCUT(cm <sup>2</sup> ) | EK(cm <sup>2</sup> ) |
|-----------|-------|-------|---------|---------|-------|----------------------|--------------------------|----------------------|
| M2        | 35    | 32    | 1227    | 1,70908 | 3,05  | 11,69                | 3 $\Phi$ 12(3,39)        | 3 $\Phi$ 20(9.42)    |
| M3        | 35    | 32    | 1013    | 1,88096 | 2,989 | 9,46                 | 3 $\Phi$ 12(3,39)        | 2 $\Phi$ 20(6.28)    |
| M4        | 35    | 32    | 1004    | 1,88937 | 2,987 | 9,37                 | 3 $\Phi$ 12(3,39)        | 2 $\Phi$ 20(6.28)    |
| M5        | 35    | 32    | 992     | 1,90076 | 2,985 | 9,25                 | 3 $\Phi$ 12(3,39)        | 2 $\Phi$ 20(6.28)    |

## Kayma hesabı

| $V_{cr}(t)$ | $Vd(t)$ | $Vr(t)$ | $l_c(cm)$ | $s_n(cm)$ | Etriye | $V_{ws}(t)$ | $\rho$ | $\rho_{min}$    |
|-------------|---------|---------|-----------|-----------|--------|-------------|--------|-----------------|
| 9,83        | 25,27   | 64,40   | 70        | 8,5       | 14     | $\Phi$ 14   | 25,70  | 0,00630 0,00110 |

**Tablo 5.7 BS40, BC III için Kren Hesabı** $f_{cd}=270 \text{ Kgf/cm}^2$  $f_{yd}=3650 \text{ Kgf/cm}^2$ **Açıklıkta hesap**

| KIRIŞ NO | b(cm) | d(cm) | Md(tcm) | Kd      | ks    | As(cm <sup>2</sup> ) | $\rho$  | $\rho_{min}$ | DONATI(cm <sup>2</sup> ) |
|----------|-------|-------|---------|---------|-------|----------------------|---------|--------------|--------------------------|
| K1       | 35    | 32    | 1445    | 1,57489 | 3,060 | 13,82                | 0,01234 | 0,00328      | 6 $\Phi$ 18(15.26)       |
| K2       | 35    | 32    | 1125    | 1,78487 | 2,984 | 10,49                | 0,00937 | 0,00328      | 3 $\Phi$ 22(11.40)       |
| K3       | 35    | 32    | 1169    | 1,75096 | 2,990 | 10,92                | 0,00975 | 0,00328      | 3 $\Phi$ 22(11.40)       |
| K4       | 35    | 32    | 1162    | 1,75623 | 2,989 | 10,85                | 0,00969 | 0,00328      | 3 $\Phi$ 22(11.40)       |

|  | $\rho_b$ | $\rho_m$ | $\rho_d$ | $\rho_l$ |
|--|----------|----------|----------|----------|
|  | 0,02970  | 0,02490  | 0,01780  | 0,01740  |

**Mesnette hesap**

| MESNET NO | b(cm) | d(cm) | Md(tcm) | Kd      | ks    | As(cm <sup>2</sup> ) | MEVCUT(cm <sup>2</sup> ) | EK(cm <sup>2</sup> ) |
|-----------|-------|-------|---------|---------|-------|----------------------|--------------------------|----------------------|
| M2        | 35    | 32    | 1227    | 1,70908 | 2,998 | 11,50                | 3 $\Phi$ 12(3,39)        | 3 $\Phi$ 20(9,42)    |
| M3        | 35    | 32    | 1013    | 1,88096 | 2,965 | 9,39                 | 3 $\Phi$ 12(3,39)        | 2 $\Phi$ 20(6,28)    |
| M4        | 35    | 32    | 1004    | 1,88937 | 2,964 | 9,30                 | 3 $\Phi$ 12(3,39)        | 2 $\Phi$ 20(6,28)    |
| M5        | 35    | 32    | 992     | 1,90076 | 2,961 | 9,18                 | 3 $\Phi$ 12(3,39)        | 2 $\Phi$ 20(6,28)    |

**Kayma hesabı**

| $V_{cr}(t)$ | $V_d(t)$ | $V_r(t)$ | $I_c(cm)$ | $s_s(cm)$ | $s_n(cm)$ | $Etriy\epsilon$ | $V_{ws}(t)$ | $\rho$  | $\rho_{min}$ |
|-------------|----------|----------|-----------|-----------|-----------|-----------------|-------------|---------|--------------|
| 10,56       | 25,27    | 75,60    | 70        | 8,5       | 14        | $\Phi$ 14       | 25,70       | 0,00630 | 0,00120      |

Tablo 5.8 BS45, BC III için Kren Hesabı

$f_{cd}=300 \text{ Kgf/cm}^2$   
 $f_{yd}=3650 \text{ Kgf/cm}^2$

## Açıklıkta hesap

| K R Ş NO | b(cm) | d(cm) | Md(cm) | Kd      | ks    | As(cm <sup>2</sup> ) | ρ       | ρmin    | DNATI(cm <sup>2</sup> ) |
|----------|-------|-------|--------|---------|-------|----------------------|---------|---------|-------------------------|
| K1       | 35    | 27    | 1445   | 1,32881 | 3,168 | 16,95                | 0,01794 | 0,00328 | 6 Φ 20(18.84)           |
| K2       | 35    | 27    | 1125   | 1,50599 | 3,052 | 12,72                | 0,01346 | 0,00328 | 5 Φ 18(12.72)           |
| K3       | 35    | 27    | 1169   | 1,47737 | 3,066 | 13,27                | 0,01405 | 0,00328 | 6 Φ 18(15.26)           |
| K4       | 35    | 27    | 1162   | 1,48182 | 3,064 | 13,19                | 0,01395 | 0,00328 | 6 Φ 18(15.26)           |

| ρb      | ρm      | ρd      | ρl      |
|---------|---------|---------|---------|
| 0,03170 | 0,02670 | 0,01900 | 0,01930 |

## Mesnette hesap

| MESNET NO | b(cm) | d(cm) | Md(cm) | Kd      | ks    | As(cm <sup>2</sup> ) | MEVCUT(cm <sup>2</sup> ) | EK(cm <sup>2</sup> ) |
|-----------|-------|-------|--------|---------|-------|----------------------|--------------------------|----------------------|
| M2        | 35    | 27    | 1227   | 1,44203 | 3,084 | 14,02                | 3 Φ 12(3,39)             | 3Φ22(11.40)          |
| M3        | 35    | 27    | 1013   | 1,58706 | 3,011 | 11,30                | 3 Φ 12(3,39)             | 3 Φ 20(9.42)         |
| M4        | 35    | 27    | 1004   | 1,59416 | 3,008 | 11,19                | 3 Φ 12(3,39)             | 3 Φ 20(9.42)         |
| M5        | 35    | 27    | 992    | 1,60377 | 3,006 | 11,04                | 3 Φ 12(3,39)             | 3 Φ 20(9.42)         |

## Kayma hesabı

| Vcr(t) | Vd(t) | Vr(t) | Ic(cm) | ss(cm) | s <sub>n</sub> (cm) | Etriyə | Vws(t) | ρ       | ρmin    |
|--------|-------|-------|--------|--------|---------------------|--------|--------|---------|---------|
| 9,521  | 25,27 | 70,88 | 60     | 7,5    | 12                  | Φ 14   | 25,30  | 0,00730 | 0,00127 |

**Tablo 5.9 BS50, BC III için Kren Hesabı**fcd=330 Kg/cm<sup>2</sup>fyd=3650 Kg/cm<sup>2</sup>fywd=3650 Kg/cm<sup>2</sup>**Açılıklıkta hesap**

| KIRIŞ NO | b(cm) | d(cm) | Md(tcm) | Kd      | ks    | As(cm <sup>2</sup> ) | $\rho$  | $\rho_{min}$ | DONATI(cm <sup>2</sup> ) |
|----------|-------|-------|---------|---------|-------|----------------------|---------|--------------|--------------------------|
| K1       | 35    | 27    | 1445    | 1,32881 | 3,101 | 16,60                | 0,01756 | 0,00328      | 6 Φ 20(18.84)            |
| K2       | 35    | 27    | 1125    | 1,50599 | 3,007 | 12,53                | 0,01326 | 0,00328      | 5 Φ 18(12.72)            |
| K3       | 35    | 27    | 1169    | 1,47737 | 3,022 | 13,08                | 0,01385 | 0,00328      | 6 Φ 18(15.26)            |
| K4       | 35    | 27    | 1162    | 1,48182 | 3,020 | 13,00                | 0,01375 | 0,00328      | 6 Φ 18(15.26)            |

|  | $\rho_b$ | $\rho_m$ | $\rho_d$ | $\rho_l$ |
|--|----------|----------|----------|----------|
|  | 0,03340  | 0,02830  | 0,02000  | 0,02120  |

**Mesnette hesap**

| MESNETT NO | b(cm) | d(cm) | Md(tcm) | Kd      | ks    | As(cm <sup>2</sup> ) | MEVCUT(cm <sup>2</sup> ) | EK(cm <sup>2</sup> ) |
|------------|-------|-------|---------|---------|-------|----------------------|--------------------------|----------------------|
| M2         | 35    | 27    | 1227    | 1,44203 | 3,041 | 13,82                | 3 Φ 12(3,39)             | 3Φ22(11.40)          |
| M3         | 35    | 27    | 1013    | 1,58706 | 2,986 | 11,20                | 3 Φ 12(3,39)             | 3 Φ 20(9.42)         |
| M4         | 35    | 27    | 1004    | 1,59416 | 2,984 | 11,10                | 3 Φ 12(3,39)             | 3 Φ 20(9.42)         |
| M5         | 35    | 27    | 992     | 1,60377 | 2,982 | 10,96                | 3 Φ 12(3,39)             | 2 Φ 22(7.60)         |

**Kayma hesabı**

| $V_{cr}(t)$ | $V_d(t)$ | $V_r(t)$ | $I_c(cm)$ | $s_s(cm)$ | $s_n(cm)$ | Etriye | $V_{ws}(t)$ | $\rho$  | $\rho_{min}$ |
|-------------|----------|----------|-----------|-----------|-----------|--------|-------------|---------|--------------|
| 10,14       | 25,27    | 77,96    | 60        | 7,5       | 12        | Φ 14   | 25,30       | 0,00730 | 0,00136      |

### 5.3 KREN KİRİŞİNİN FİYATLANDIRILMASI

Çalışmaya konu olan endüstri yapısında yapı boyunca giden 4 adet kren kirişi bulunmaktadır. Yapının boyuna doğrultusunda 8 açılık bulundurduğu gözönünde alındığında 32 adet kren kirişinin olduğu kolayca görülebilir. Yapılan statik ve betonarme hesaplarda, simetrik olması dolayısıyla sistemin yarısı ile hesap yapılmıştır. Yani bulunan donatılar 4 açılıklı kiriş hesabı sonucunda bulunan donatılardır. Sistemdeki toplam demir maliyetini bulmak için,

Kren kirişi demir maliyeti × 8

yapılmalıdır.

Fiyatlandırma yapılırken 1997 Yılı Bayındırlık Bakanlığı Birim Fiyatları kullanılmıştır.

#### 5.3.1 KREN KİRİŞİ İMALAT ÇEŞİTLERİ

##### 5.3.1.1 DEMİR İMALATI

Kren kirişlerindeki demir miktarını hesaplamak için Bölüm 4.4'de verilen donatı düzeni çerçevesinde kullanılan donatıların boyları hesaplanmalıdır. Kren kirişlerinde pilye kullanılmadığı için yerleştirilecek donatılar düz çekme donatısı, montaj donatısı, mesnet ekleri ve etriyelerdir. Bu donatıların boyları,  $l_n$  kiriş açılığı olmak üzere, Bölüm 4.5.1.1'de verilen bağıntılar yardımıyla hesaplanmış ve metraj buna göre çıkarılmıştır.

##### 5.3.1.2 KALIP İMALATI

Kren kirişlerinin yapımı için kullanılacak kalıp miktarı bir açılık için  $m^2$  olarak,

$$TKA(m^2) = (l_n - b_n) \times (2 \times (b+h)), \quad b_n = \text{Enine konsol genişliği (m)} \quad (5.15)$$

olarak hesaplanmıştır.

### 5.3.1.3 BETON İMALATI

Kren kirişlerinin yapımı için kullanılan beton miktarı bir açıklık için  $m^3$  olarak,

$$TBM(m^3) = (l_n - b_n) \times (b \times h), \quad b_n = \text{Enine konsol genişliği (m)} \quad (5.16)$$

olarak hesaplanmıştır.

### 5.3.1.4 SIVA İMALATI

Kren kirişlerinde yapılacak siva imalatı bir açıklık için  $m^2$  olarak,

$$TSA(m^2) = (l_n - b_n) \times (2 \times (b + h)), \quad b_n = \text{Enine konsol genişliği (m)} \quad (5.17)$$

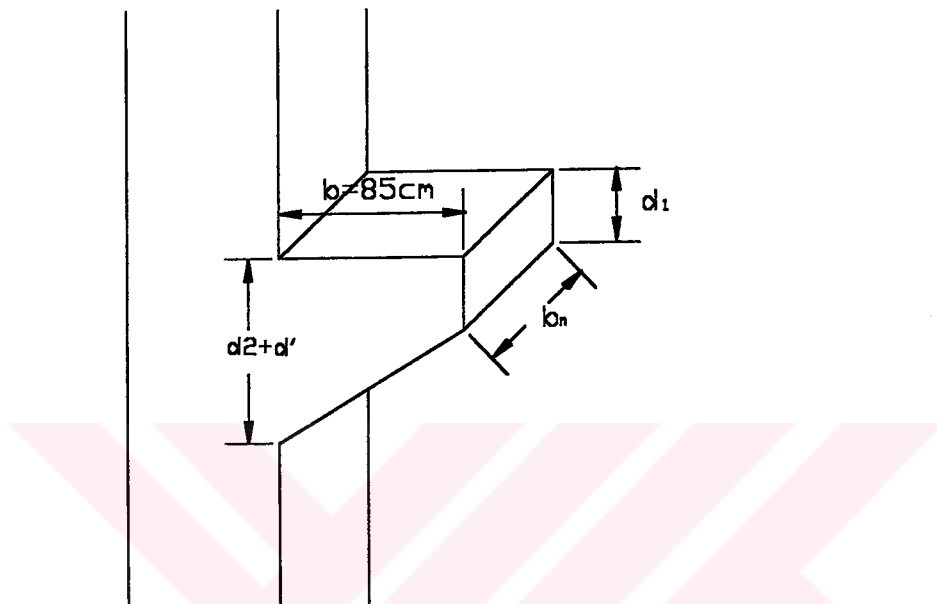
olarak hesaplanmıştır.

## 5.4 KREN KONSOLU HESABI

Kren kirişinin mesnetlendiği kren konsolunun hesabı aşağıda gösterilen yük durumlarına göre yapılmıştır.

#### 5.4.1 YÜK ANALİZİ

1. Kren konsoluun kendi yükü ;



Şekil 5.8 Kren konsolu ölçüler

$$R_g = (d_1 + d_2) \times b \times b_n \times 2.4 / 2 \quad (5.18)$$

2. Kren yükü ;

Kren etkilerinden dolayı kren kirişinde oluşan maksimum kesme kuvveti değeri kren konsoluna da kesme kuvveti olarak gelecektir. Bu kuvvet Bölüm 5.1.1'de Şekil 5.7'den alınan  $V_{max} = 25.53\text{t}$ 'dur.

3. Kren yüklerinin enine etkisi ;

Kren hareketlerinden dolayı oluşacak enine etkiler, krenin kren kiriş üzerindeki hareketinden dolayı oluşan kesme kuvveti değerlerinin 0.10'u olarak kabul edilirse,

$$H_{kmax} = V_{max} / 10 = 22.79 / 10 = 2.279t, \quad (5.19)$$

$$H_{kmin} = V_{min} / 10 = 7.93 / 10 = 0.793t. \quad (5.20)$$

olarak hesaba katılırlar. [6]

#### 4. Kren yüklerinin boyuna etkisi ;

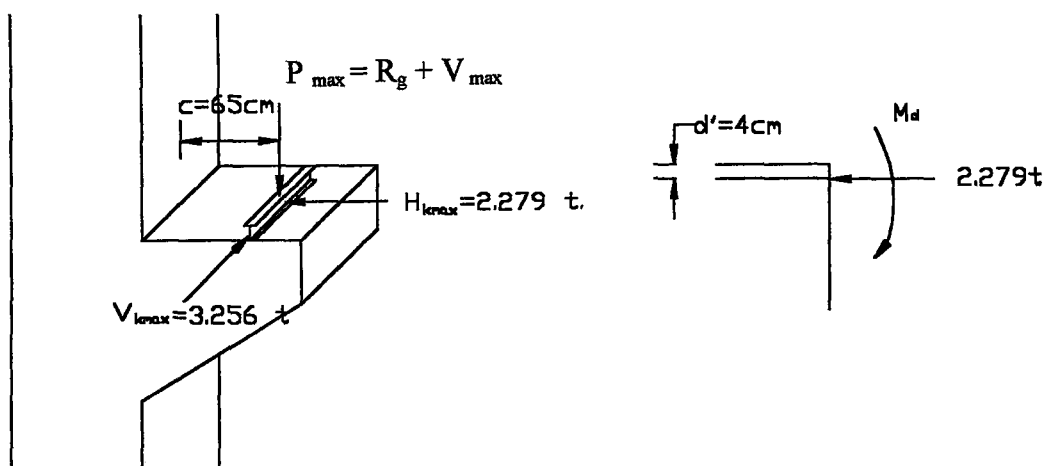
Kren hareketlerinin fren, çarpma vs. etkilerinden dolayı kren konsoluna etkiyen boyuna yükler, krenin kren kırışı üzerindeki hareketinden dolayı oluşan kesme kuvveti etkilerinin 0.07'si olarak kabul edilirse,

$$V_{kmax} = V_{max} / 7 = 22.79 / 7 = 3.256t. \quad (5.21)$$

$$V_{kmin} = V_{min} / 7 = 7.93 / 7 = 1.132t. \quad (5.22)$$

olarak hesaba katılırlar. [6]

Yukarıdaki açıklamalar ışığında kren konsolu üzerine gelen yükler aşağıda gösterilmiştir.



5.9 Kren konsoluna etki eden kuvvetler

#### 5.4.2 KREN KONSOLUNUN BETONARME HESABI

Şartnameye göre yükleme noktasının mesnet yüzeyine olan uzaklığının mesnet yüzeyindeki faydalı yüksekliğe oranı 1'den küçükse kısa konsol hesabı yapılması gereklidir. Hesabı yapılacak olan konsolda bu oran  $c / (d_2 + d') < 1$  olduğundan kısa konsol hesabı yapılması gereklidir. [4]

Konsol üzerinde bulunan yüklerin mesnet yüzüne göre momentleri alınırsa,

$$M_d = (R_g + V_{max}) \times 0.65 - H_{kmin} \times d' \quad (5.23)$$

momenti elde edilir. Bu moment değeri kısa konsolun betonarme hesabi için kullanılır.

Konsol üzerinde kren rayı doğrultusundaki yatay kuvveti de gözönünde tutarak kısa konsolun hesabı ve detaylandırılması şartnameye göre aşağıda özetlenmiştir. [4]

$$A_{st} = (M_d / f_{yd} \times (0.8 \times d_2)) + (N_d / f_{yd}) \quad (5.24)$$

$$V_r > V_d \quad (5.25)$$

$$V_d < V_{max} = 0.25 \times f_{cd} \times b_n \times d_2 \quad (5.26)$$

$$V_r = 0.12 \times f_{cd} \times b_n \times d_2 \times [(1 - 0.5(c/d_2)) \times (1 + 70 \times \rho)] \quad (5.27)$$

$$\rho = A_{st} / (b_n \times d_2) \quad (5.28)$$

$$\rho_{min} = 0.05 \times f_{cd} / f_{yd} \quad (5.29)$$

$$\rho_{max} = 0.17 \times f_{cd} / f_{yd} \quad (5.30)$$

$$0.5 \times A_{st} < A_{sv} < A_{st} \quad (5.31)$$

$A_{st}$  : Toplam çekme donatısı

$M_d$  : Konsol yüzündeki hesap moment

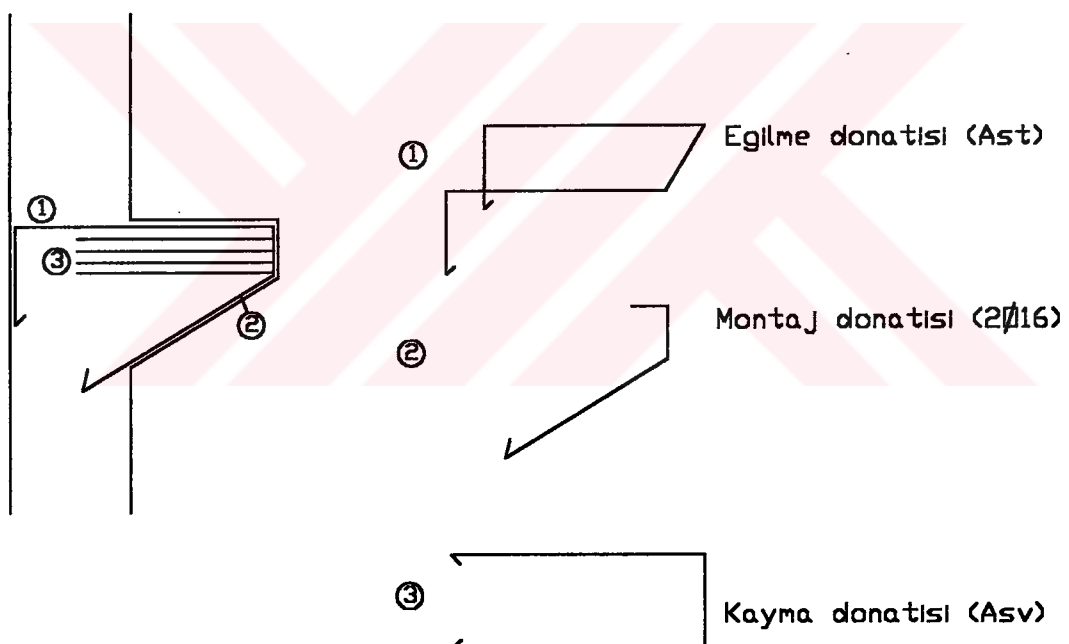
$d_2$  : Konsol yüzündeki faydalı yükseklik

$N_d$  : Konsola kren hareketinden dolayı gelen eksenel kuvvet

$V_r$  : Kayma dayanımı

$A_{sv}$  : Konsol eksenine paralel yerleştirilen kayma donatısı alanı

Kren konsolu için kullanılan donatı şeması Şekil 5.10'da gösterilmiştir.



Şekil 5.10 Kren konsolu donatı şeması

**Tablo 5.10 BS16, BC III için kren konsolu hesabı**

| $d_1(\text{cm})$ | $d_2+d'(\text{cm})$ | $b_n(\text{cm})$ | $M_d(\text{tm})$ | $A_{st}(\text{cm}^2)$ | $A_{sv}(\text{cm}^2)$ | $\rho$  | $\rho_{\min}$ | $P_{\max}(t)$ | $V_r(t)$    |
|------------------|---------------------|------------------|------------------|-----------------------|-----------------------|---------|---------------|---------------|-------------|
| 40               | 80                  | 40               | 16,82            | 8,47 (4Φ18)           | 8,47 (6Φ14)           | 0,00280 | 0,00151       | 0,00510       | 26,00 27,44 |

**Tablo 5.11 BS20, BC III için kren konsolu hesabı**

| $d_1(\text{cm})$ | $d_2+d'(\text{cm})$ | $b_n(\text{cm})$ | $M_d(\text{tm})$ | $A_{st}(\text{cm}^2)$ | $A_{sv}(\text{cm}^2)$ | $\rho$  | $\rho_{\min}$ | $P_{\max}(t)$ | $V_r(t)$    |
|------------------|---------------------|------------------|------------------|-----------------------|-----------------------|---------|---------------|---------------|-------------|
| 35               | 75                  | 40               | 16,78            | 8,99 (4Φ18)           | 8,99 (6Φ14)           | 0,00320 | 0,00178       | 0,00605       | 25,96 29,41 |

**Tablo 5.12 BS25, BC III için kren konsolu hesabı**

| $d_1(\text{cm})$ | $d_2+d'(\text{cm})$ | $b_n(\text{cm})$ | $M_d(\text{tm})$ | $A_{st}(\text{cm}^2)$ | $A_{sv}(\text{cm}^2)$ | $\rho$  | $\rho_{\min}$ | $P_{\max}(t)$ | $V_r(t)$    |
|------------------|---------------------|------------------|------------------|-----------------------|-----------------------|---------|---------------|---------------|-------------|
| 35               | 75                  | 30               | 16,71            | 8,95 (4Φ18)           | 8,95 (6Φ14)           | 0,00420 | 0,00233       | 0,00790       | 25,85 30,49 |

**Tablo 5.13 BS30, BC III için kren konsolu hesabı**

| $d_1(\text{cm})$ | $d_2+d'(\text{cm})$ | $b_n(\text{cm})$ | $M_d(\text{tm})$ | $A_{st}(\text{cm}^2)$ | $A_{sv}(\text{cm}^2)$ | $\rho$  | $\rho_{\min}$ | $P_{\max}(t)$ | $V_r(t)$     |
|------------------|---------------------|------------------|------------------|-----------------------|-----------------------|---------|---------------|---------------|--------------|
| 35               | 75                  | 25               | 16,68            | 8,94 (4Φ18)           | 8,94 (6Φ14)           | 0,00500 | 0,00274       | 0,00930       | 25,80 31,185 |

**Tablo 5.14 BS35, BC III için kren konsolu hesabı**

| $d_1(\text{cm})$ | $d_2+d'(\text{cm})$ | $b_n(\text{cm})$ | $M_d(\text{tm})$ | $A_{st}(\text{cm}^2)$ | $A_{sv}(\text{cm}^2)$ | $\rho$  | $\rho_{\min}$ | $\rho_{\max}$ | $P_{\max}(t)$ | $V_r(t)$ |
|------------------|---------------------|------------------|------------------|-----------------------|-----------------------|---------|---------------|---------------|---------------|----------|
| 30               | 70                  | 25               | 16,66            | 9,54 (4Φ18)           | 9,54 (6Φ16)           | 0,00580 | 0,00315       | 0,01070       | 25,77         | 32,50    |

**Tablo 5.15 BS40, BC III için kren konsolu hesabı**

| $d_1(\text{cm})$ | $d_2+d'(\text{cm})$ | $b_n(\text{cm})$ | $M_d(\text{tm})$ | $A_{st}(\text{cm}^2)$ | $A_{sv}(\text{cm}^2)$ | $\rho$  | $\rho_{\min}$ | $\rho_{\max}$ | $P_{\max}(t)$ | $V_r(t)$ |
|------------------|---------------------|------------------|------------------|-----------------------|-----------------------|---------|---------------|---------------|---------------|----------|
| 30               | 70                  | 25               | 16,66            | 9,54 (4Φ18)           | 9,54 (6Φ16)           | 0,00580 | 0,00370       | 0,01260       | 25,77         | 38,15    |

**Tablo 5.16 BS45, BC III için kren konsolu hesabı**

| $d_1(\text{cm})$ | $d_2+d'(\text{cm})$ | $b_n(\text{cm})$ | $M_d(\text{tm})$ | $A_{st}(\text{cm}^2)$ | $A_{sv}(\text{cm}^2)$ | $\rho$  | $\rho_{\min}$ | $\rho_{\max}$ | $P_{\max}(t)$ | $V_r(t)$ |
|------------------|---------------------|------------------|------------------|-----------------------|-----------------------|---------|---------------|---------------|---------------|----------|
| 30               | 70                  | 25               | 16,66            | 9,54 (4Φ18)           | 9,54 (6Φ16)           | 0,00580 | 0,00410       | 0,01400       | 25,77         | 42,39    |

**Tablo 5.17 BS50, BC III için kren konsolu hesabı**

| $d_1(\text{cm})$ | $d_2+d'(\text{cm})$ | $b_n(\text{cm})$ | $M_d(\text{tm})$ | $A_{st}(\text{cm}^2)$ | $A_{sv}(\text{cm}^2)$ | $\rho$  | $\rho_{\min}$ | $\rho_{\max}$ | $P_{\max}(t)$ | $V_r(t)$ |
|------------------|---------------------|------------------|------------------|-----------------------|-----------------------|---------|---------------|---------------|---------------|----------|
| 30               | 70                  | 25               | 16,66            | 9,54 (4Φ18)           | 9,54 (6Φ16)           | 0,00580 | 0,00452       | 0,01540       | 25,77         | 46,63    |

## 5.5 KREN KONSOLUNUN FİYATLANDIRILMASI

Çalışmaya konu olan endüstri yapısında bir çerçevede 4 adet konsol bulunmaktadır. Yapıda 9 adet çerçeve bulunduğuundan toplam konsol sayısı 36 'dır. Yapılan statik ve betonarme hesaplar bir konsol için yapıldığından toplam konsol maliyetini bulmak için bir konsol maliyeti 36 ile çarpılmalıdır.

### 5.5.1 KREN KONSOLU İMALAT ÇEŞİTLERİ

#### 5.5.1.1 DEMİR İMALATI

Kren konsollarında kullanılacak demir miktarı Şekil 5.10'da verilen donatı şeması çerçevesinde ölçekli çizimler ile elde edilmiştir. Kullanılacak toplam demir miktarı bu yolla hesaplanarak metraj çıkarılmıştır.

#### 5.5.1.2 KALIP İMALATI

Bir kren konsolu için gerekli olan kalip miktarı  $m^2$  olarak,

$$TKA(m^2) = b \times b_n + d_1 \times b_n + (d_1+d_2+d') \times b + b_n \times [(d_2+d'-d_1)^2+b^2]^{1/2} \quad (5.32)$$

olarak hesaplanmıştır. Bulunan değer konsol sayısı ile çarpıldığında konsol için toplam kalip maliyeti elde edilir.

#### 5.5.1.3 BETON İMALATI

Bir kren konsolu için gerekli olan beton miktarı  $m^3$  olarak,

$$TBH(m^3) = (d_1+d_2+d') \times b \times b_n / 2 \quad (5.33)$$

olarak hesaplanmıştır. Bulunan değer konsol sayısı ile çarpıldığında konsol için toplam beton maliyeti elde edilir.

#### 5.5.1.4 SIVA İMALATI

Bir kren konsolu için gerekli olan sıva miktarı  $m^2$  olarak.

$$\text{TSA}(m^2) = b \times b_n + d_1 \times b_n + (d_1 + d_2 + d') \times b + b_n \times [(d_2 + d' - d_1)^2 + b^2]^{1/2} \quad (5.34)$$

olarak hesaplanmıştır. Bulunan değer konsol sayısı ile çarpıldığında konsol için toplam sıva maliyeti elde edilir.

**Tablo 5.18 BS16, BÇ III için kren kirişi maliyeti**

**Tablo 5.19 BS20, BC III için kren kirişi maliyeti**

| SIRA NO | POZ NO   | İMALATIN CİNSİ              | MİKTARI | ÖLÇÜ BİRİMİ    | 1997 YILI BİRİM FİYATI (TL) | TUTARI (TL)        |
|---------|----------|-----------------------------|---------|----------------|-----------------------------|--------------------|
| 1       | 16.058/1 | BS 20 HAZIR BETONU          | 26.50   | M <sup>3</sup> | 6.975.523                   | 184.851.360        |
| 2       | 21.011   | DÜZ YÜZEYLİ BETONARME KALIP | 250.24  | M <sup>2</sup> | 804.400                     | 201.293.056        |
| 3       | 23.001/1 | Φ8-Φ12 MM BETONARME DEMİRİ  | 2.86    | T              | 54.207.500                  | 155.033.450        |
| 4       | 23.002   | Φ14-Φ50 MM BETONARME DEMİRİ | 1.96    | T              | 48.523.100                  | 95.105.276         |
| 5       | 27.501   | SIVA YAPILMASI              | 250.24  | M <sup>2</sup> | 427.702                     | 107.028.149        |
|         |          |                             |         |                |                             | <b>743.311.291</b> |

**Tablo 5.20 BS25, BC III için kren kirişi maliyeti**

**Tablo 5.21 BS30, BC III için kren kirisi maliyeti**

Tablo 5.22 BS35, BC III İçin kren kırışı maliyeti

| SIRA NO | POZ NO   | İMALATIN CİNSİ              | MİKTARI | ÖLÇÜ BİRİMİ    | 1997 YILI BİRİM FİYATI (TL) | TUTARI (TL)        |
|---------|----------|-----------------------------|---------|----------------|-----------------------------|--------------------|
| 1       | 16.059/2 | BS 35 HAZIR BETONU          | 18.62   | M <sup>3</sup> | 8.100.623                   | 150.833.600        |
| 2       | 21.011   | DÜZ YÜZEYLİ BETONARME KALIP | 212.8   | M <sup>2</sup> | 804.400                     | 171.176.320        |
| 3       | 23.001/1 | Φ8-Φ12 MM BETONARME DEMİRİ  | 0.50    | T              | 54.207.500                  | 27.103.750         |
| 4       | 23.002   | Φ14-Φ50 MM BETONARME DEMİRİ | 4.88    | T              | 48.523.100                  | 236.792.728        |
| 5       | 27.501   | SIVA YAPILMASI              | 212.8   | M <sup>2</sup> | 427.702                     | 91.014.986         |
|         |          |                             |         |                |                             | <b>676.921.384</b> |

Tablo 5.23 BS40, BC III için kren kirişi maliyeti

| SIRA NO | POZ NO   | İMALATIN CİNSİ              | MİKTARI | ÖLÇÜ BİRİMİ    | 1997 YILI BİRİM FİYATI (TL) | TUTARI (TL)        |
|---------|----------|-----------------------------|---------|----------------|-----------------------------|--------------------|
| 1       | 16.059/3 | BS 40 HAZIR BETONU          | 18.62   | M <sup>3</sup> | 8.356.873                   | 155.604.975        |
| 2       | 21.011   | DÜZ YÜZEYLİ BETONARME KALIP | 212.8   | M <sup>2</sup> | 804.400                     | 171.176.320        |
| 3       | 23.001/1 | Φ8-Φ12 MM BETONARME DEMİRİ  | 0.50    | T              | 54.207.500                  | 27.103.750         |
| 4       | 23.002   | Φ14-Φ50 MM BETONARME DEMİRİ | 4.86    | T              | 48.523.100                  | 235.822.266        |
| 5       | 27.501   | SIVA YAPILMASI              | 212.8   | M <sup>2</sup> | 427.702                     | 91.014.986         |
|         |          |                             |         |                |                             | <b>680.722.297</b> |

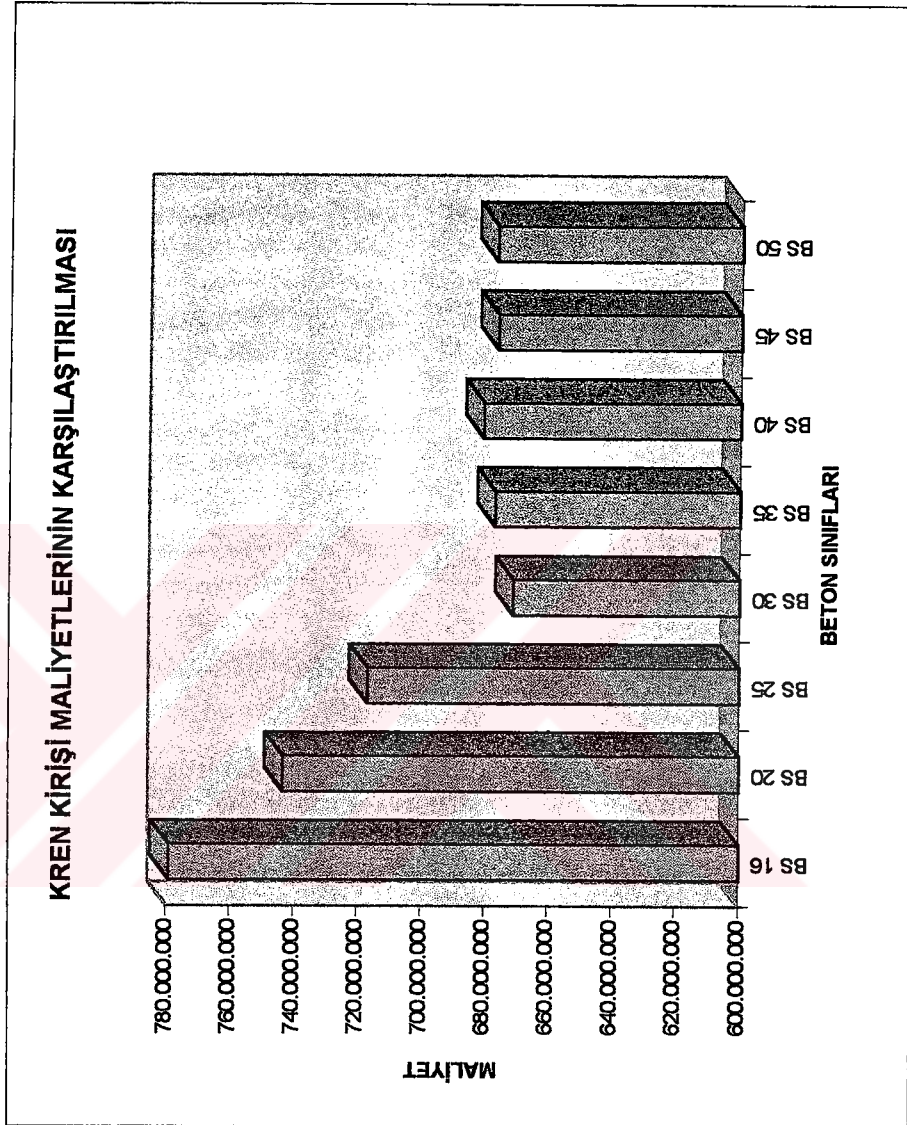
Tablo 5.24 BS45, BC III için kren kırışı maliyeti

| SIRA NO | POZ NO   | İMALATIN CİNSİ              | MİKTARI | ÖLÇÜ BİRİMİ    | 1997 YILI BİRİM FİYATI (TL) | TUTARI (TL)        |
|---------|----------|-----------------------------|---------|----------------|-----------------------------|--------------------|
| 1       | 16.059/4 | BS 45 HAZIR BETONU          | 15.96   | M <sup>3</sup> | 8.581.873                   | 136.966.693        |
| 2       | 21.011   | DÜZ YÜZEYLİ BETONARME KALIP | 197.6   | M <sup>2</sup> | 804.400                     | 158.949.440        |
| 3       | 23.001/1 | Φ8-Φ12 MM BETONARME DEMİRİ  | 0.50    | T              | 54.207.500                  | 27.103.750         |
| 4       | 23.002   | Φ14-Φ50 MM BETONARME DEMİRİ | 5.54    | T              | 48.523.100                  | 268.817.974        |
| 5       | 27.501   | SIVA YAPILMASI              | 197.6   | M <sup>2</sup> | 427.702                     | 84.513.915         |
|         |          |                             |         |                |                             | <b>676.351.772</b> |

Tablo 5.25 BS50, BC III İçin Kren Kirisi Maliyeti

| SIRA NO | POZ NO   | İMALATIN CİNSİ              | MİKTARI | ÖLÇÜ BİRİMİ    | 1997 YILI BİRİMİ | TUTARI<br>(TL)     |
|---------|----------|-----------------------------|---------|----------------|------------------|--------------------|
|         |          |                             |         | TL             | TL               |                    |
| 1       | 16.059/5 | BS 50 HAZIR BETONU          | 15.96   | M <sup>3</sup> | 8.756.873        | 139.759.693        |
| 2       | 21.011   | DÜZ YÜZEYLİ BETONARME KALIP | 197.6   | M <sup>2</sup> | 804.400          | 158.949.440        |
| 3       | 23.001/1 | Φ8-Φ12 MM BETONARME DEMİRİ  | 0.50    | T              | 54.207.500       | 27.103.750         |
| 4       | 23.002   | Φ14-Φ50 MM BETONARME DEMİRİ | 5.49    | T              | 48.523.100       | 266.391.819        |
| 5       | 27.501   | SIVA YAPILMASI              | 197.6   | M <sup>2</sup> | 427.702          | 84.513.915         |
|         |          |                             |         |                |                  | <b>676.718.617</b> |

**Ttablo 5.26 Kren kırışı maliyetlerinin karşılaştırılması**



| BETON SINIFI | TOPLAM KREN KIRIŞI MALİYETİ(TL) |
|--------------|---------------------------------|
| BS 16        | 779.303.413                     |
| BS 20        | 743.311.291                     |
| BS 25        | 716.851.839                     |
| BS 30        | 671.102.634                     |
| BS 35        | 676.921.384                     |
| BS 40        | 680.722.297                     |
| BS 45        | 676.351.772                     |
| BS 50        | 676.718.617                     |

Tablo 5.27 BS 16 , BCIII için kren konsolu maliyeti

| SIRA NO | POZ NO   | İMALATIN CİNSİ              | MİKTARI | ÖLÇÜ BİRİMİ    | 1997 YILI BİRİM FİYATI (TL) | TUTARI (TL) |
|---------|----------|-----------------------------|---------|----------------|-----------------------------|-------------|
| 1       | 16.057/1 | BS 16 HAZIR BETONU          | 7.35    | M <sup>3</sup> | 6.738.123                   | 49.525.204  |
| 2       | 21.011   | DÜZ YÜZEYLİ BETONARME KALIP | 68.25   | M <sup>2</sup> | 804.400                     | 54.900.300  |
| 3       | 23.001/1 | Φ8-Φ12 MM BETONARME DEMİRİ  | -       | T              | 54.207.500                  | -           |
| 4       | 23.002   | Φ14-Φ50 MM BETONARME DEMİRİ | 1.44    | T              | 48.523.100                  | 69.873.264  |
| 5       | 27.501   | SIVA YAPILMASI              | 68.25   | M <sup>2</sup> | 427.702                     | 29.190.662  |
|         |          |                             |         |                |                             | 203.489.430 |

**Tablo 5.28 BS 20 , BCIII için kren konsolu maliyeti**

| SIRA NO | POZ NO   | İMALATIN CİNSİ              | MİKTARI | ÖLÇÜ BİRİMİ    | 1997 YILI BİRİM FİYATI (TL) | TUTARI (TL)        |
|---------|----------|-----------------------------|---------|----------------|-----------------------------|--------------------|
| 1       | 16.058/1 | BS 20 HAZIR BETONU          | 6.73    | M <sup>3</sup> | 6.975.523                   | 46.945.270         |
| 2       | 21.011   | DÜZ YÜZEYLİ BETONARME KALIP | 64.47   | M <sup>2</sup> | 804.400                     | 51.859.668         |
| 3       | 23.001/1 | Φ8-Φ12 MM BETONARME DEMİRİ  | -       | T              | 54.207.500                  | -                  |
| 4       | 23.002   | Φ14-Φ50 MM BETONARME DEMİRİ | 1.37    | T              | 48.523.100                  | 66.476.647         |
| 5       | 27.501   | SIVA YAPILMASI              | 64.47   | M <sup>2</sup> | 427.702                     | 27.573.948         |
|         |          |                             |         |                |                             | <b>192.855.533</b> |

Tablo 5.29 BS 25 , BCIII için kren konsolu maliyeti

| SIRA NO | POZ NO   | İMALATIN CİNSİ              | MİKTARI | ÖLÇÜ BİRİMİ    | 1997 YILI BİRİM FİYATI (TL) | TUTARI (TL) |
|---------|----------|-----------------------------|---------|----------------|-----------------------------|-------------|
| 1       | 16.059   | BS 25 HAZIR BETONU          | 5.05    | M <sup>3</sup> | 7.269.373                   | 36.710.334  |
| 2       | 21.011   | DÜZ YÜZEYLİ BETONARME KALIP | 56.77   | M <sup>2</sup> | 804.400                     | 45.665.788  |
| 3       | 23.001/1 | Φ8-Φ12 MM BETONARME DEMİRİ  | -       | T              | 54.207.500                  | -           |
| 4       | 23.002   | Φ14-Φ50 MM BETONARME DEMİRİ | 1.32    | T              | 48.523.100                  | 64.050.492  |
| 5       | 27.501   | SIVA YAPILMASI              | 56.77   | M <sup>2</sup> | 427.702                     | 24.280.643  |
|         |          |                             |         |                |                             | 170.707.257 |

Tablo 5.30 BS 30 , Bçlî için kren konsolu maliyeti

| SIRA NO | POZ NO   | İMALATIN CİNSİ              | MİKTARI | ÖLÇÜ BİRİMİ    | 1997 YILI BİRİM FİYATI (TL) | TUTARI (TL)        |
|---------|----------|-----------------------------|---------|----------------|-----------------------------|--------------------|
| 1       | 16.059/1 | BS 30 HAZIR BETONU          | 4.95    | M <sup>3</sup> | 7.788.123                   | 38.551.209         |
| 2       | 21.011   | DÜZ YÜZEYLİ BETONARME KALIP | 52.92   | M <sup>2</sup> | 804.400                     | 42.568.848         |
| 3       | 23.001/1 | Φ8-Φ12 MM BETONARME DEMİRİ  | -       | T              | 54.207.500                  | -                  |
| 4       | 23.002   | Φ14-Φ50 MM BETONARME DEMİRİ | 1.29    | T              | 48.523.100                  | 62.594.799         |
| 5       | 27.501   | SIVA YAPILMASI              | 52.92   | M <sup>2</sup> | 427.702                     | 22.633.990         |
|         |          |                             |         |                |                             | <b>166.348.846</b> |

**Tablo 5.31 BS 35, BCIII için kren konsolu maliyeti**

**Tablo 5.32 BS 40 , BCİI için kren konsolu maliyeti**

| SIRA NO | POZ NO   | İMALATIN CİNSİ              | MİKTARI | ÖLÇÜ BİRİMİ    | 1997 YILI BİRİM FİYATI (TL) | TUTARI (TL)        |
|---------|----------|-----------------------------|---------|----------------|-----------------------------|--------------------|
| 1       | 16.059/3 | BS 40 HAZIR BETONU          | 3.83    | M <sup>3</sup> | 8.356.873                   | 32.006.824         |
| 2       | 21.011   | DÜZ YÜZEYLİ BETONARME KALIP | 49.41   | M <sup>2</sup> | 804.400                     | 39.745.404         |
| 3       | 23.001/1 | Φ8-Φ12 MM BETONARME DEMİRİ  | -       | T              | 54.207.500                  | -                  |
| 4       | 23.002   | Φ14-Φ50 MM BETONARME DEMİRİ | 1.33    | T              | 48.523.100                  | 64.535.723         |
| 5       | 27.501   | SIVA YAPILMASI              | 49.41   | M <sup>2</sup> | 427.702                     | 21.132.756         |
|         |          |                             |         |                |                             | <b>157.420.707</b> |

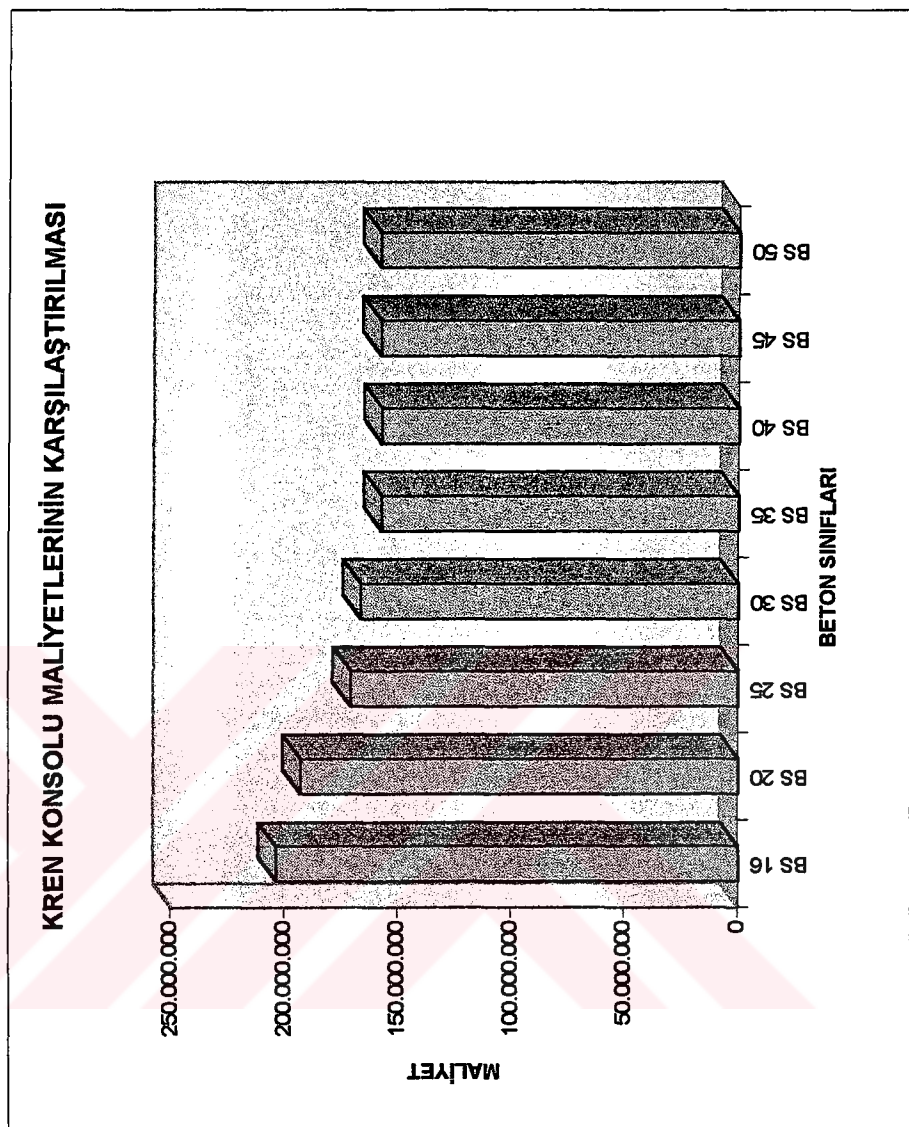
Tablo 5.33 BS 45 , Bçili için kren konsolu maliyeti

| SIRA NO | POZ NO   | İMALATIN CİNSİ              | MİKTARI | ÖLÇÜ BİRİMİ    | 1997 YILI BİRİM FİYATI (TL) | TUTARI (TL)        |
|---------|----------|-----------------------------|---------|----------------|-----------------------------|--------------------|
| 1       | 16.059/4 | BS 45 HAZIR BETONU          | 3.83    | M <sup>3</sup> | 8.581.873                   | 32.868.574         |
| 2       | 21.011   | DÜZ YÜZEYLİ BETONARME KALIP | 49.41   | M <sup>2</sup> | 804.400                     | 39.745.404         |
| 3       | 23.001/1 | Φ8-Φ12 MM BETONARME DEMİRİ  | -       | T              | 54.207.500                  | -                  |
| 4       | 23.002   | Φ14-Φ50 MM BETONARME DEMİRİ | 1.32    | T              | 48.523.100                  | 64.050.492         |
| 5       | 27.501   | SIVA YAPILMASI              | 49.41   | M <sup>2</sup> | 427.702                     | 21.132.756         |
|         |          |                             |         |                |                             | <b>157.797.226</b> |

**Tablo 5.34 BS 50 , BCIII için kren konsolu maliyeti**

Tablo 5.35 Kren konsolu maliyetlerinin karşılaştırılması

| BETON SINIFI | TOPLAM KREN KONSOLU MALIYETI(TL) |
|--------------|----------------------------------|
| BS 16        | 203.489.430                      |
| BS 20        | 192.855.533                      |
| BS 25        | 170.707.257                      |
| BS 30        | 166.348.846                      |
| BS 35        | 157.409.731                      |
| BS 40        | 157.420.707                      |
| BS 45        | 157.797.226                      |
| BS 50        | 157.982.245                      |



## BÖLÜM 6

### İKİ AÇIKLIKLI ANA ÇERÇEVENİN KOLON VE KİRİŞLERİNİN HESABI

#### 6.1 YÜK ANALİZİ

##### 1. DÜŞEY YÜKLER

Çerçeve üzerine gelen düşey yükler Şekil 6.2'de gösterilmiştir.

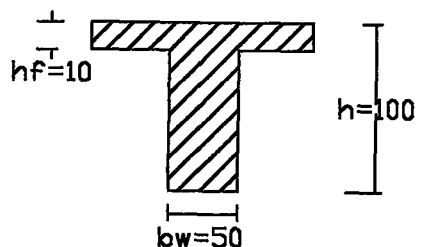
1.1 Döşemeden gelen yük ;

$$g_{d\ddot{o}s} = 2 \times q \times l_x / 3 = 2 \times 0.649 \times 4.60 / 3 = 1.99 \text{ t/m} \quad (6.1)$$

1.2 Boylama aşık kirişinden gelen yükler ;

$$g = \sum P / \sum l = (2 \times 8.20 + 7 \times 12.71) / (2 \times 18.35) = 2.87 \text{ t/m} \quad (6.2)$$

1.3 Çerçeve kirişinin kendi yükü ;



Şekil 6.1 Çerçeve kirişi enkesiti

$$g_{cer} = b_w \times (h - h_f) \times 2.5 \times 1.5 = 0.50 \times (1 - 0.10) \times 2.5 \times 1.5 = 1.69 \text{ t/m} \quad (6.3)$$

1.4 Sıva yükü (2cm kalınlığında) ;

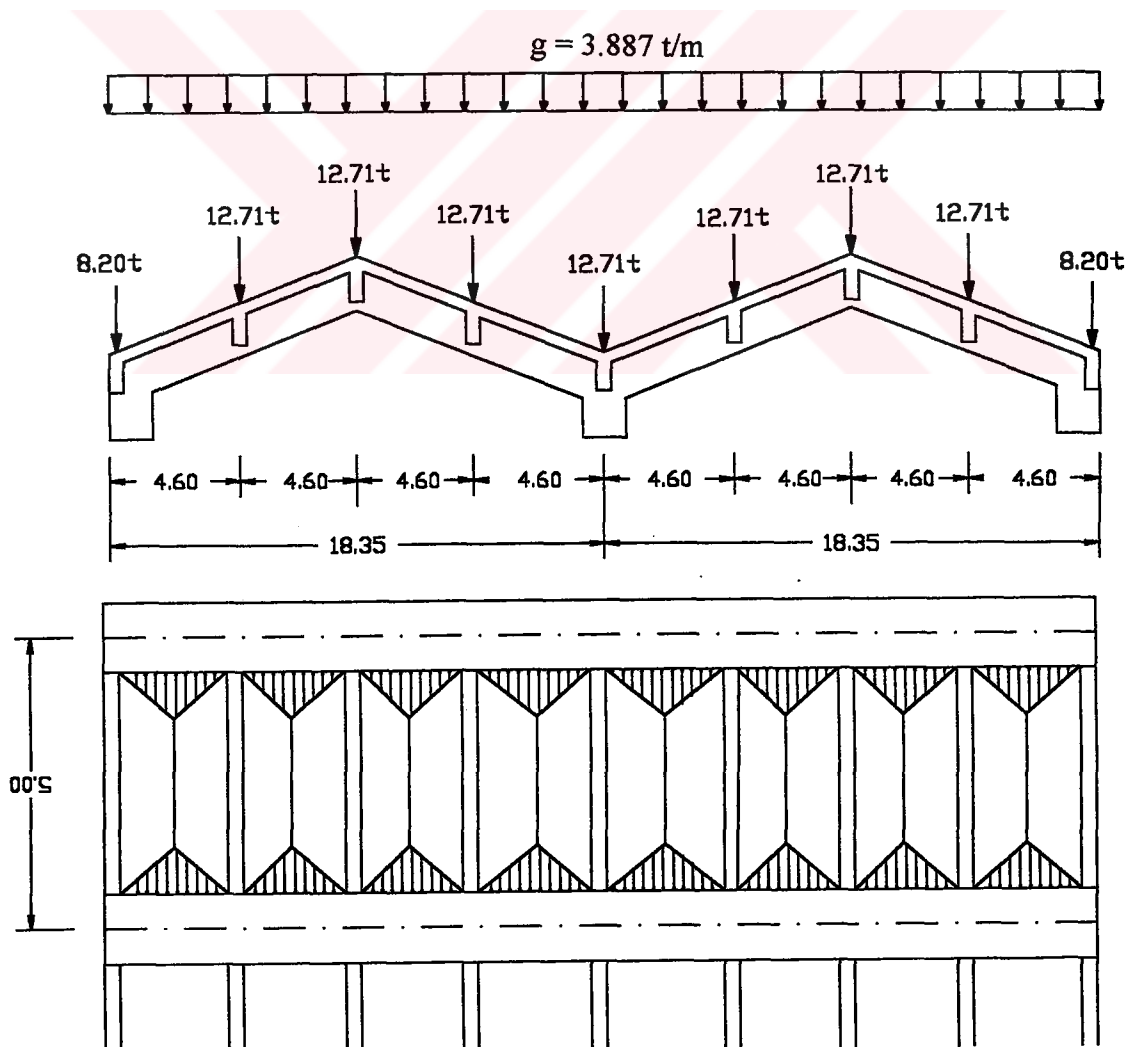
$$g_{siva} = (2 \times (h - h_f) + b_w) \times \gamma_{siva} \times 0.02 \times 1.5$$

$$= (2 \times (1.0 - 0.10) + 0.5) \times 2 \times 0.02 \times 1.5 = 0.207 \text{ t/m} \quad (6.4)$$

Çerçeve kırışine gelen toplam yük ;

$$P = \sum g = 1.99 + 2.87 + 1.69 + 0.207 = 6.638 \text{ t/m}$$

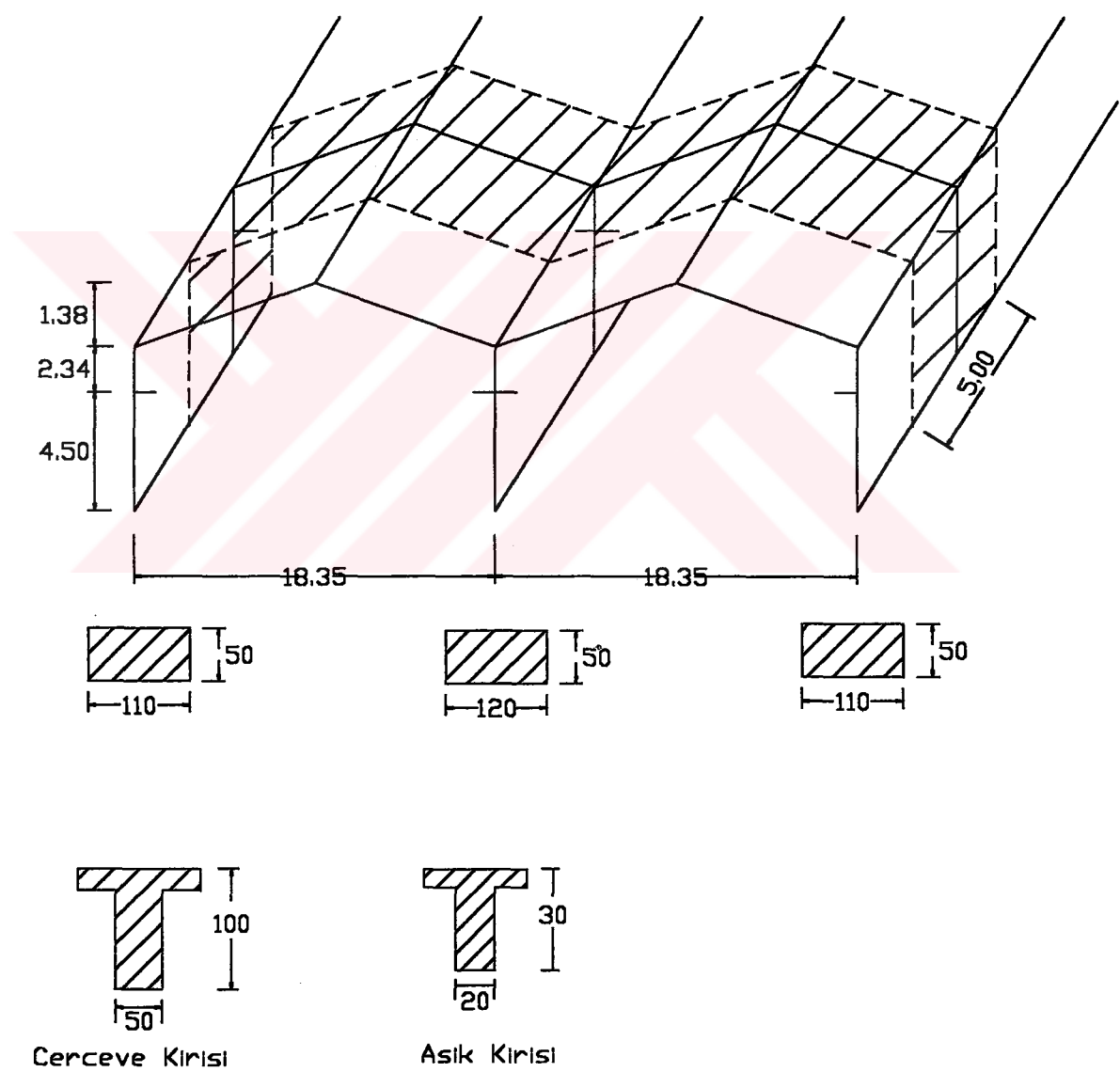
bulunur. Düşey yükler Şekil 6.2'de gösterilmiştir.



Şekil 6.2 Çerçeve üzerine gelen düşey yükler

## 2. DEPREM YÜKLERİ

Deprem yüklemesinin sağdan etkimesi haline göre hesap yapılmıştır. Yapının ve yüklerin simetrikliği nedeniyle deprem soldan yüklemesi yapılmamıştır. Bu etkiler süperpozisyon tablolarında simetrik yükleme olarak verilmiştir. Bir çerçeveye ait yük etki alanı ve çubuk kesitleri Şekil 6.3'de gösterilmiştir.



Şekil 6.3 Bir çerçeve için yük etki alanı

## 2.1 BİR ÇERÇEVE ÜZERİNDEKİ YÜKLER

2.1.1 Kolonların kendi ağırlıkları ;

- Kenar kolonlarda,

$$p_{kolon1} = b \times d \times l_{kolon} \times 2.5 = 0.50 \times 1.10 \times 6.84 \times 2.5 = 9.405 t \quad (6.5)$$

$$p_{srva\ 1} = (b+d) \times 2 \times 0.02 \times \gamma_{srva} \times l_{kolon} = (0.50+1.10) \times 2 \times 0.02 \times 2 \times 6.84 = 0.876 t \quad (6.6)$$

$$\lambda = p_{kolon1} + p_{srva1} = 9.405 + 0.876 = 10.281 t \quad (6.7)$$

- Orta kolonda,

$$p_{kolon2} = b \times d \times l_{kolon} \times 2.5 = 0.50 \times 1.20 \times 6.84 \times 2.5 = 10.26 t \quad (6.8)$$

$$p_{srva\ 2} = (b+d) \times 2 \times 0.02 \times \gamma_{srva} \times l_{kolon} = (0.50+1.20) \times 2 \times 0.02 \times 2 \times 6.84 = 0.93 t \quad (6.9)$$

$$\mu = p_{kolon2} + p_{srva2} = 10.26 + 0.93 = 11.19 t \quad (6.10)$$

2.1.2 Çerçeve kırışı ağırlıkları ;

$$p_{kiriş} = b_w \times (h-h_f) \times 18.35 \times 2.5 \times 2 / \cos 8.53 = 0.5 \times 0.9 \times 18.35 \times 2.5 \times 2 / \cos 8.53 = 41.75 t \quad (6.11)$$

$$p_{srva3} = (2 \times (h-h_f) + b_w) \times 18.35 \times \gamma_{srva} \times 0.02 \times 2 / \cos 8.53 \quad (6.12)$$

$$= (2 \times 0.9 + 0.5) \times 18.35 \times 2 \times 0.02 \times 2 / \cos 8.53 = 3.41 t$$

$$\eta = p_{kiriş} + p_{srva3} = 41.75 + 3.41 = 45.16 t \quad (6.13)$$

2.1.3 Boylama aşık kırışı ağırlıkları ;

$$p_{\text{akiriş}} = b_w \times (h - h_f) \times l_n \times 2.5 \times 9 = 0.2 \times 0.2 \times 5 \times 2.5 \times 9 = 4.50 \text{t} \quad (6.14)$$

$$p_{\text{sıva4}} = (2 \times (h - h_f) + b_w) \times l_n \times \gamma_{\text{sıva}} \times 0.02 \times 9 = (2 \times 0.2 + 0.2) \times 5 \times 2 \times 0.02 \times 9 = 1.08 \text{t} \quad (6.15)$$

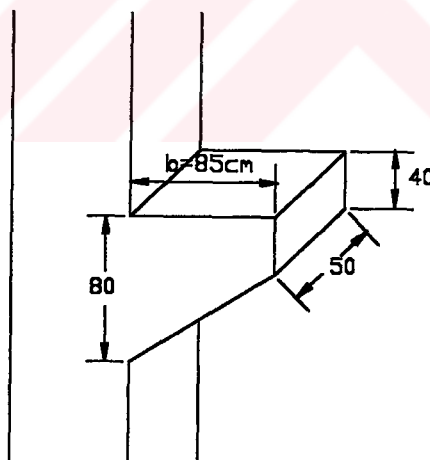
$$\delta = p_{\text{akiriş}} + p_{\text{sıva4}} = 4.50 + 1.08 = 5.58 \text{t} \quad (6.16)$$

2.1.4 Çatı döseme yükü ;

$$q_{\text{dos}} = 0.649 \times 5 \times 2 \times 18.35 / \cos 8.53 = 120.42 \text{t} \quad (\phi) \quad (6.17)$$

2.1.5 Kren yükü ;

$$P_{\text{max}} = t_{\text{max}} + R_g = 25.53 + 0.612 = 26.142 \text{t} \quad (6.18)$$



Şekil 6.4 Kren konsolu boyutları

## 2.2 DEPREM SABİTİ ( C ) KATSAYISININ BULUNMASI

W: Bir çerçevenin toplam ağırlığı,

$C_o$ : Deprem bölge katsayısı,

K: Yapı tipi katsayısı,

S : Yapı dinamik katsayısı,

I : Yapı önem katsayısı

olmak üzere çerçeveye etkiyen toplam deprem yükü ;

$$Q_{dep} = W \times C \quad (6.19)$$

olarak bulunup kolonlar üzerinde dağıtılmacaktır.

C deprem katsayıı

$$C = C_o \times K \times S \times I \quad (6.20)$$

yardımıyla hesaplanacaktır. Çalışmaya konu olan endüstri yapısında,

$C_o=0.1$  ( I. deprem bölgesi),

$K=1$  ( Düktil ve betonarme,

$S=1$  ( Bir veya iki katlı her tür yapıda ),

$I=1$  ( Endüstri yapılarında )

olduğu gözönünde bulundurularak deprem katsayısı  $C$ ,

$$C = 0.1 \times 1 \times 1 \times 1 = 0.10$$

olarak hesaplanmıştır.

Yapılmış olan deprem katsayısı hesabı çalışmanın yapıldığı tarihte yürüülükte olan ve 1975 yılından bu yana kullanılan “Afet Bölgelerinde Yapılacak Yapılar Hakkında Yönetmelik” esas alınarak yapılmıştır. 1997 yılının Mayıs ayında yürürlüğe girecek olan yeni yönetmeliğe göre deprem kuvvetini hesaplamak istenirse

$$V_{dep} = W \times A(T_1) / R_a \quad (6.21)$$

formülü kullanılmalıdır.

$A(T_1)$  : Birinci titreşim periyoduna ait spektral ivme katsayısı,

$R_a$  : Deprem yükü azaltma katsayısı,

$W$  : Bina toplam ağırlığı

$$A(T_1) = A_o \times I \times S(T_1) \quad (6.22)$$

formülü yardımıyla hesaplanacaktır.

$T_1$  için yaklaşık olarak

$$T = 0.09 \times H / (D) \quad (6.23)$$

$H$  : Yapı yüksekliği

$T$  : Deprem hesabı yapılan doğrultudaki uzunluk

olarak hesaplanırsa,

$$T = 0.09 \times 8.216 / (36.70) = 0.122\text{sn}.$$

bulunur.

Zemin sınıfı Z1 seçiliş şartnameden,

$$T_A = 0.10\text{sn}$$

$$T_B = 0.30\text{sn}$$

okunur. Bina doğal periyodu,  $T_A < T < T_B$  olduğundan spektrum katsayısı  $S(T)=2.5$  olarak alınır. Endüstri yapılarında  $I=1$ , 1. Deprem bölgelerinde  $A_o=0.40$  alınır. Bu açıklamalar ışığında,

$$A(T) = 0.40 \times 1 \times 2.5 = 1.0$$

olarak bulunur.

Taşıyıcı sistem davranış katsayısı R, deprem yüklerinin tamamının çerçeveler ile taşındığı sistemlerde 4 ile 8 arasında değişen değerler almaktadır. Bu endüstri yapısında bu katsayı  $R=6$  seçilmiştir.

Yeni şartnameye göre deprem katsayısı,

$$C = A(T) / R = 1/6 = 0.167 \quad (6.24)$$

olarak bulunmaktadır. Görüldüğü gibi yürürlüğe girecek olan şartnameye göre hesaplanan katsayı, eski şartnameye göre hesaplanan katsayıdan bir hayli fazla çıkmaktadır. Bu sebeple çalışmanın yapıldığı tarihte yeni şartname üzerinde hala bir

takım tartışmalarının olması ve birtakım değişikliklerin yapılması olasılığının bulunması sebebiyle halen yürüülükte olan eski şartname kullanılmıştır.

- Kenar kolonlarda deprem kuvvetleri ;

$$W_k = \lambda + (\phi + \eta + \delta)/4 = 10.281 + (120.42 + 45.16 + 5.58)/4 = 53.07t \quad (6.25)$$

$$Q_{dep1} = C \times W_k = 0.1 \times 53.07 = 5.307t \quad (6.26)$$

$$Q_{dep2} = C \times P_{max} = 0.1 \times 26.142 = 2.6142t \quad (6.27)$$

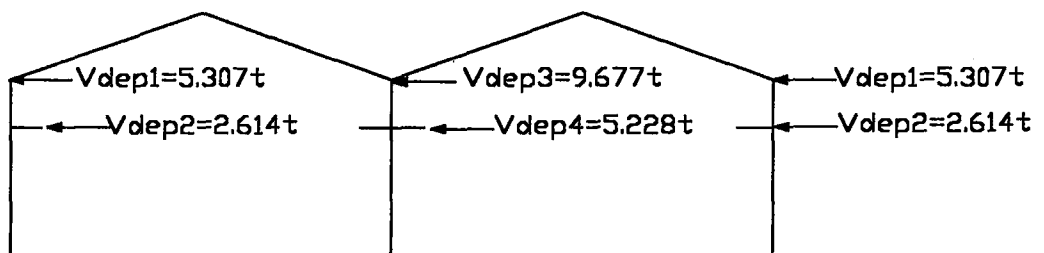
- Orta kolonda deprem kuvvetleri ;

$$W_o = \mu + (\phi + \eta + \delta)/2 = 11.19 + (120.42 + 45.16 + 5.58)/2 = 96.77t \quad (6.28)$$

$$Q_{dep3} = C \times W_o = 0.1 \times 96.77 = 9.677t \quad (6.29)$$

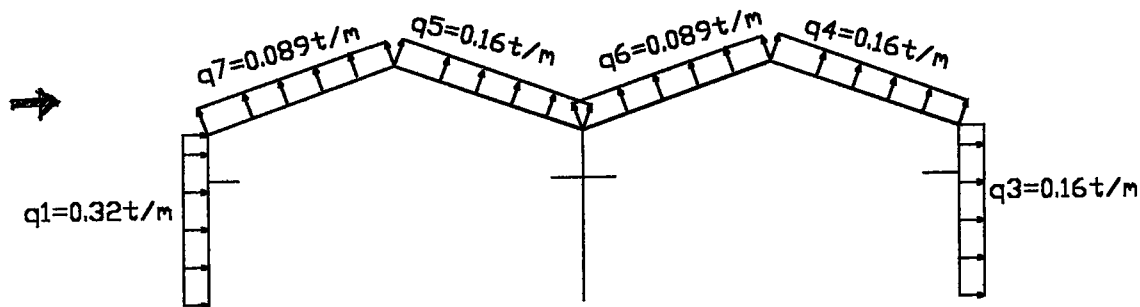
$$Q_{dep4} = C \times P_{max} \times 2 = 0.1 \times 26.142 \times 2 = 5.2284t \quad (6.30)$$

olarak bulunur. Bu yükler Şekil 6.5'de gösterilmiştir.



Şekil 6.5 Deprem yükleri

### 3. RÜZGAR YÜKLERİ



Şekil 6.6 Rüzgar yükleri

Çalışmaya konu olan endüstri yapısına etkiyen rüzgar yükleri şartnamede verilen katsayırlara göre etkililmiştir. Rüzgarın soldan esmesi hali gözönüne alınmış, sağdan esmesi hali soldan esmesi halinin simetriği olacağinden ayrı bir yükleme olarak ele alınmamıştır. Bu etkiler süperpozisyon tablolarında gözönüne alınmıştır. Bina üst kotu 8m.'den daha yukarıda olduğundan rüzgar yükü  $q_w = 80 \text{ Kg/m}^2$  alınmıştır. Şartnameye göre,

$$q_1 = 0.8 \times q_w \times l_n = 0.8 \times 0.08 \times 5 = 0.32 \text{ t/m} \quad (6.31)$$

$$q_3 = -0.4 \times q_w \times l_n = -0.4 \times 0.08 \times 5 = -0.16 \text{ t/m} \quad (6.32)$$

$$q_7 = (1.2 \times \sin\alpha - 0.4) \times q_w \times l_n = (1.2 \times \sin 8.53 - 0.4) \times 0.08 \times 5 = -0.089 \text{ t/m} \quad (6.33)$$

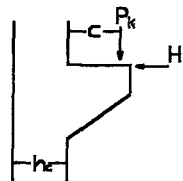
$$q_5 = -0.4 \times q_w = -0.4 \times 0.08 \times 5 = -0.16 \text{ t/m} \quad (6.34)$$

$$q_6 = (1.2 \times \sin\alpha - 0.4) \times q_w = (1.2 \times \sin 8.53 - 0.4) \times 0.08 \times 5 = -0.089 \text{ t/m} \quad (6.35)$$

$$q_4 = -0.4 \times q_w = -0.4 \times 0.08 \times 5 = -0.16 \text{ t/m} \quad (6.36)$$

olarak gözönüne alınmıştır. Bu yüklemeler Şekil 6.6'de gösterilmiştir.

#### 4. KREN YÜKÜ



Şekil 6.7 Kren konsoluna etki eden kuvvetler

$$M_{k\max} = P_{\max} \times (c + (h_e/2)) \quad (6.37)$$

$$M_{k\min} = P_{\min} \times (c + (h_e/2)) \quad (6.38)$$

olarak hesaplanırlar. Bölüm 5'ten

$$H_{k\max} = 2.279t, \quad H_{k\min} = 0.793t$$

$$P_{\min} = V_{\min} + R_g = 7.93 + 0.612 = 8.542t \quad (6.39)$$

olarak alınırlar.

- Kenar kolonlar için formül (6.37) ve (6.38) ile,

$$M_{k\max} = 26.142 \times (0.65 + (1.10/2)) = 31.37 \text{ tm}$$

$$M_{k\min} = 8.542 \times (0.65 + (1.10/2)) = 10.25 \text{ tm}$$

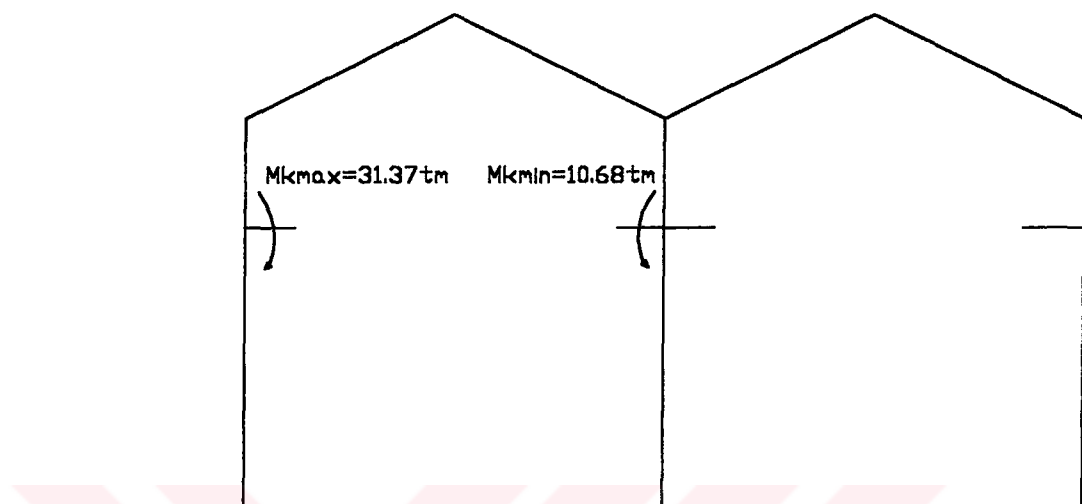
- Orta kolon için formül (6.37) ve (6.38) ile,

$$M_{k\max} = 26.142 \times (0.65 + (1.20/2)) = 32.68 \text{ tm}$$

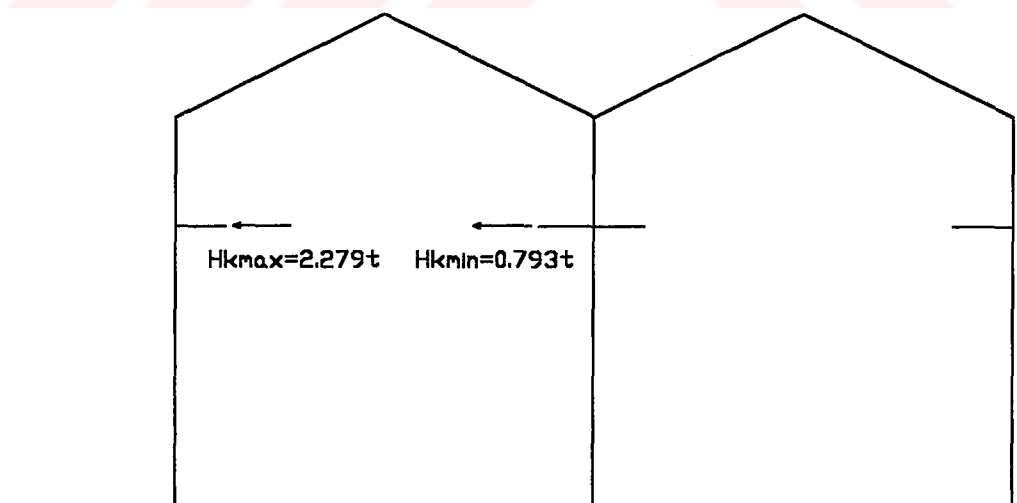
$$M_{k\min} = 8.542 \times (0.65 + (1.20/2)) = 10.68 \text{ tm}$$

olarak hesaplanırlar. Bu kuvvetler ve kren yükü için yükleme durumları aşağıda gösterilmiştir.

## KREN SOL AÇIKLIKTA SOLDA, MOMENTLER

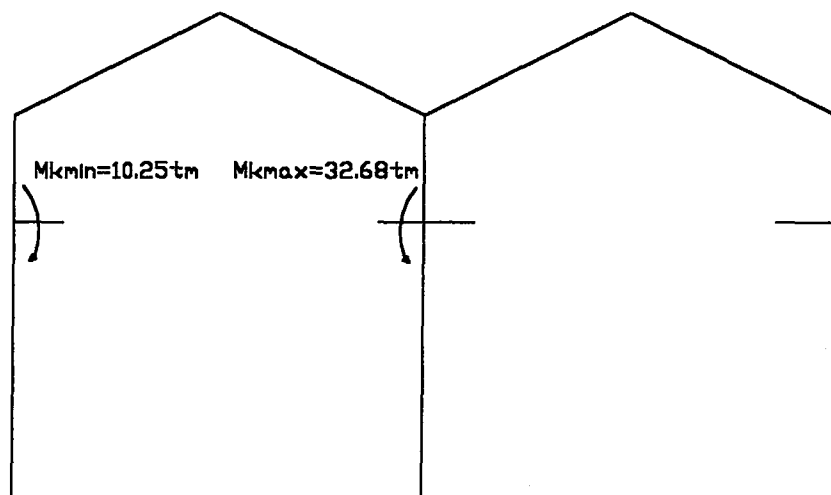


## KREN SOL AÇIKLIKTA SOLDA, YATAY KUVVETLER

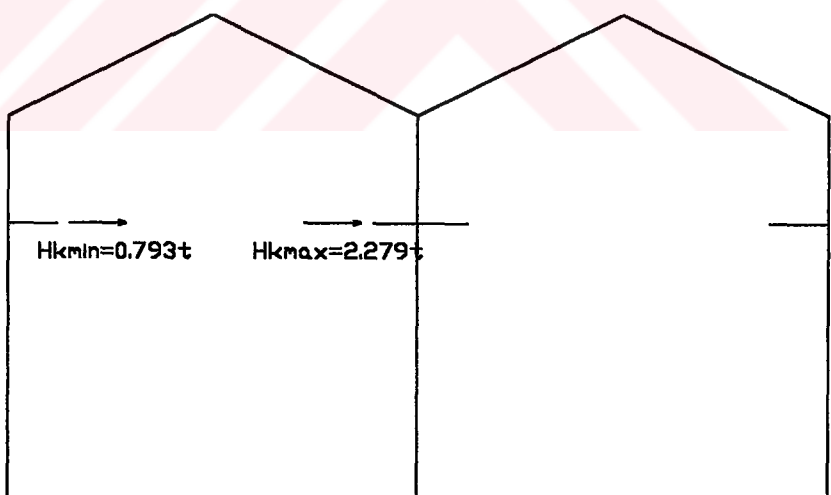


Şekil 6.8 Kren sol açılıkta solda, momentler ve yatay kuvvetler

## KREN SOL ACIKLIKTA SAGDA, MOMENTLER

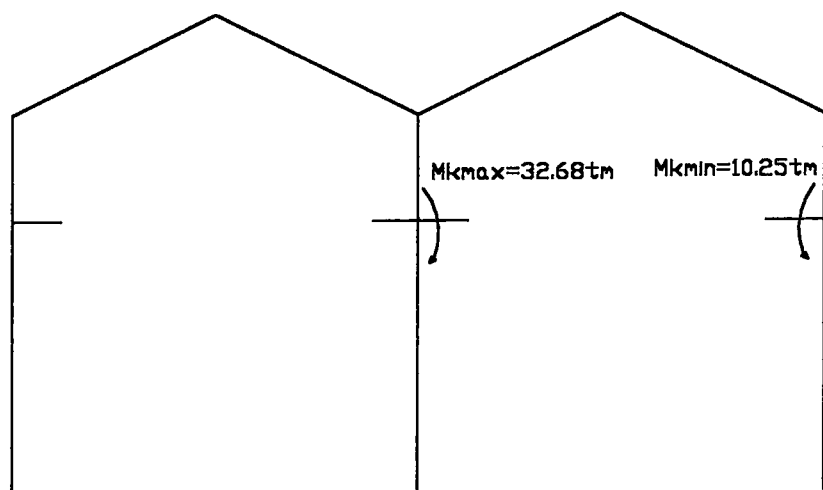


## KREN SOL ACIKLIKTA SAGDA, YATAY KUVVETLER

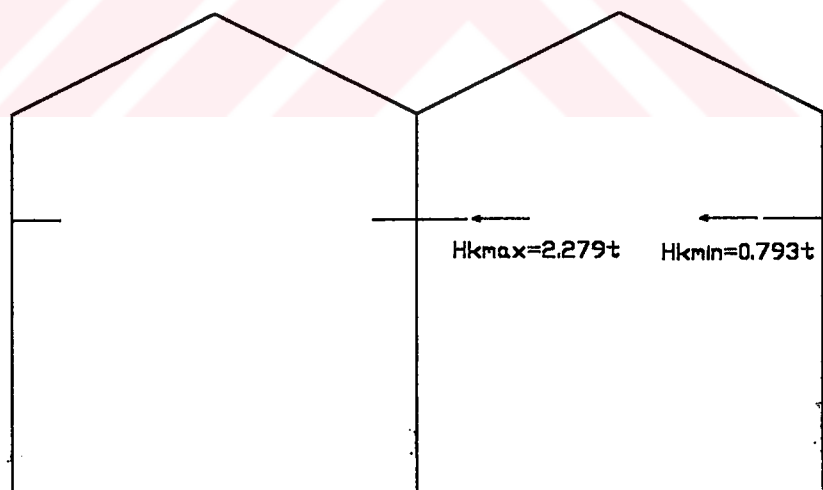


Şekil 6.8 Kren sol açıklıkta sağda, momentler ve yatay kuvvetler

## KREN SAG ACIKLIKTA SOLDA, MOMENTLER

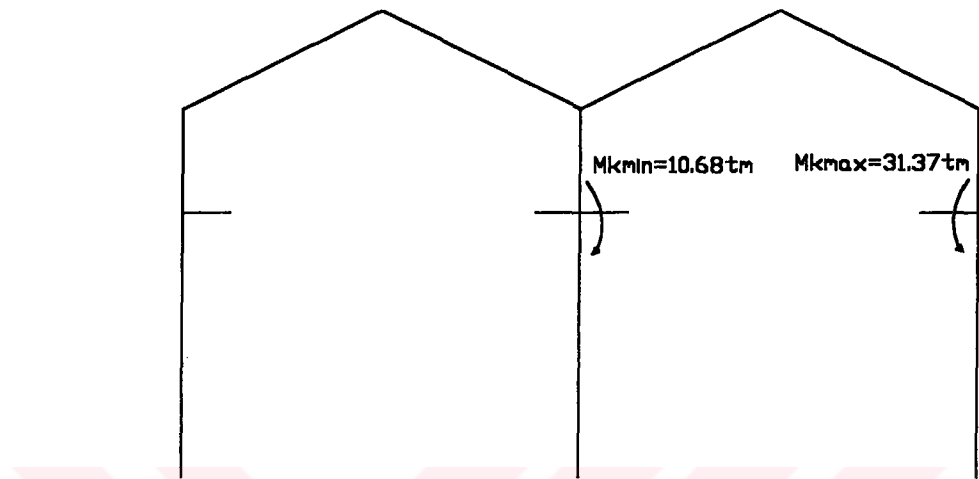


## KREN SAG ACIKLIKTA SOLDA, YATAY KUVVETLER

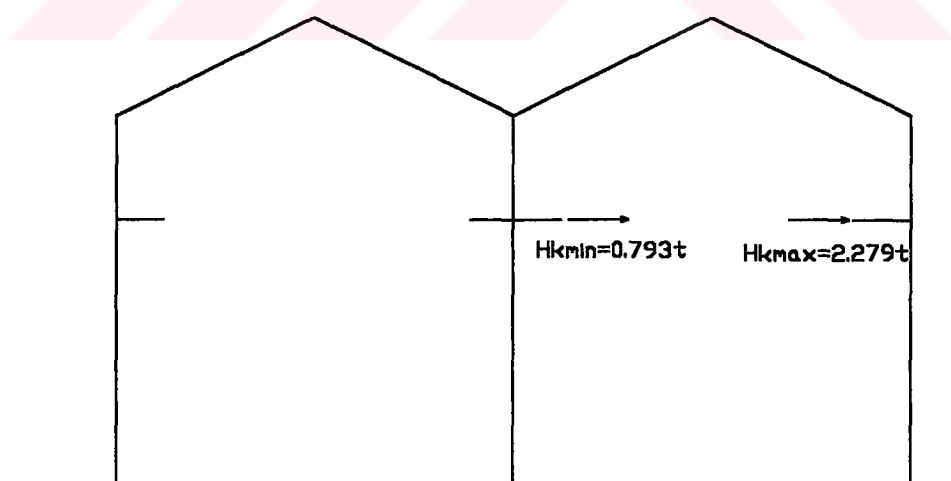


Şekil 6.8 Kren sağ açıklikta solda, momentler ve yatay kuvvetler

## KREN SAG ACIKLIKTA SAGDA, MOMENTLER



## KREN SAG ACIKLIKTA SAGDA, YATAY KUVVETLER



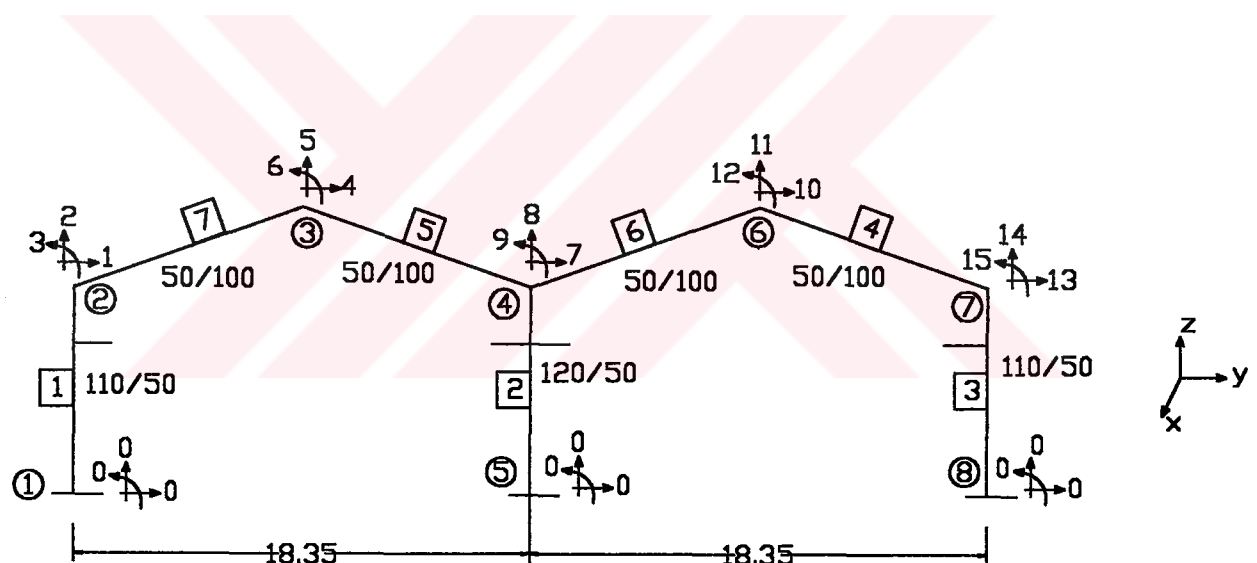
Şekil 6.8 Kren sağ açıklikta sağda, momentler ve yatay kuvvetler

## 6.2 ÇERÇEVENİN STATİK HESABI

Yukarıda verilen yükler altında ayrı ayrı çözüm yapılmak üzere Bölüm 2'de anlatılan bilgisayar programı kullanılacaktır. Her yük durumu için ortaya çıkan etkiler süperpoze edilerek çerçevelerin betonarme hesabı için kullanılacak olan süperpoze M, N, T diyagramları elde edilecektir. Bu çalışmada kenar çerçeveler için ayrı bir çözüm yapılmayıp orta çerçeveler için yapılan hesabın tüm çerçevelerde geçerli olduğu düşünülmüştür.

### 6.2.1 BİLGİSAYAR VERİLERİ

Bölüm 2'de anlatılan program çerçevesinde bilgisayara girilmesi gereken bilgiler aşağıda tablolar halinde verilmiştir.



**ME: Cubuk Sayısı=7**

**LS: Yukleme Sayısı=11**

**N: Bilinmeyen Sayısı=15**

**NS: Stiffness matrix (satır-sutun) sayısı=6**

Şekil 6.12 Sistem şeması

**Tablo 6.1 Çubuk numaraları ve koordinatları**

| ÇUBUK NO | DÜĞÜM NO | B(M) | Y ( M ) | XYI ( M ) | XYJ ( M ) | XZI ( M ) | XZJ ( M ) |
|----------|----------|------|---------|-----------|-----------|-----------|-----------|
| 1        | 1-2      | 0,50 | 1,10    | 0,000     | 0,000     | 0,000     | 6,840     |
| 2        | 5-4      | 0,50 | 1,20    | 18,350    | 18,350    | 0,000     | 6,840     |
| 3        | 8-7      | 0,50 | 1,10    | 36,700    | 36,700    | 0,000     | 6,840     |
| 4        | 6-7      | 0,50 | 1,00    | 27,525    | 36,700    | 8,216     | 6,840     |
| 5        | 4-6      | 0,50 | 1,00    | 18,350    | 27,525    | 6,840     | 8,216     |
| 6        | 3-4      | 0,50 | 1,00    | 9,175     | 18,350    | 8,216     | 6,840     |
| 7        | 2-3      | 0,50 | 1,00    | 0,000     | 9,175     | 6,840     | 8,216     |

**Tablo 6.2 Nkot'ların gösterilmesi**

| NKOT     |          | KOT NUMARALARI |    |    |       |    |    |  |
|----------|----------|----------------|----|----|-------|----|----|--|
| ÇUBUK NO | DÜĞÜM NO | i ucu          |    |    | j ucu |    |    |  |
| 1        | 1-2      | 0              | 0  | 0  | 1     | 2  | 3  |  |
| 2        | 5-4      | 0              | 0  | 0  | 7     | 8  | 9  |  |
| 3        | 8-7      | 0              | 0  | 0  | 13    | 14 | 15 |  |
| 4        | 6-7      | 10             | 11 | 12 | 13    | 14 | 15 |  |
| 5        | 4-6      | 7              | 8  | 9  | 10    | 11 | 12 |  |
| 6        | 3-4      | 4              | 5  | 6  | 7     | 8  | 9  |  |
| 7        | 2-3      | 1              | 2  | 3  | 4     | 5  | 6  |  |

**Tablo 6.3** Yayılı yüklerin gösterilmesi

**Tablo 6.4 Tekil yüklerin gösterilmesi**

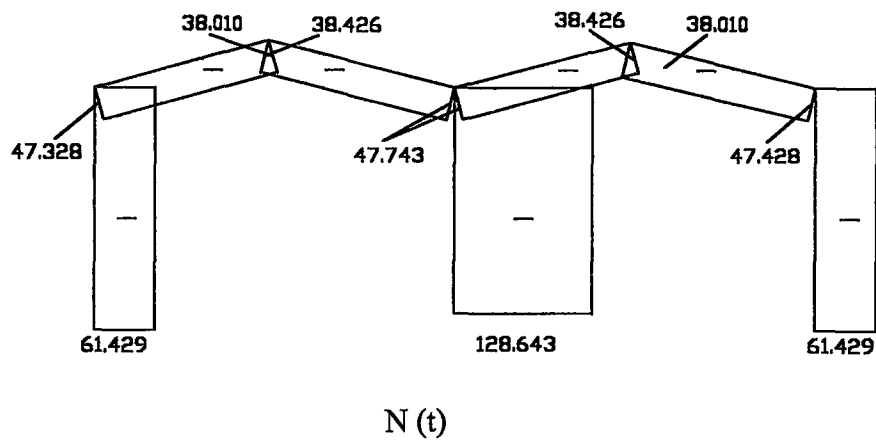
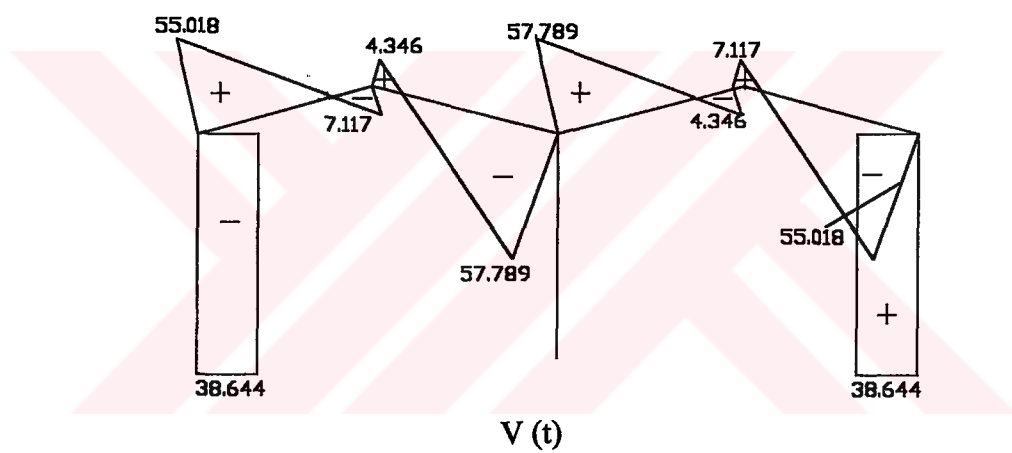
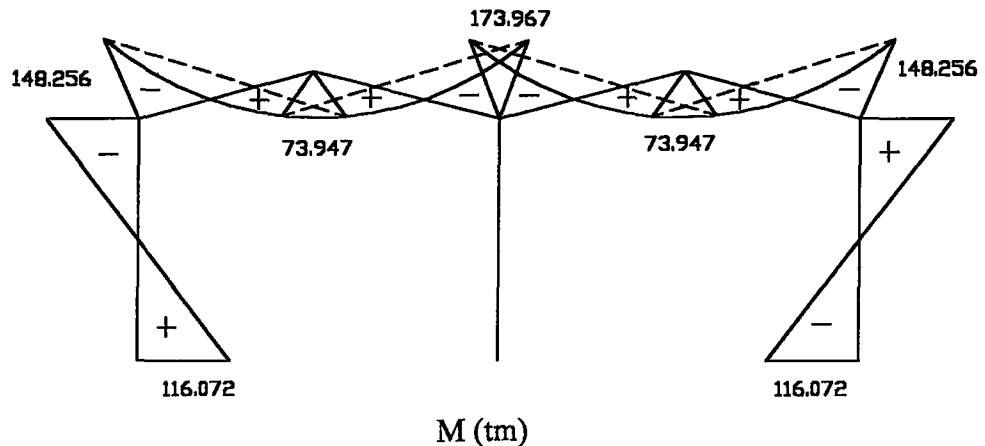
**Tablo 6.5 Tekil momentlerin gösterilmesi**

**Tablo 6.6** Tekil momentlerin çubuk sol uçlarına olan mesafelerinin gösterilmesi

**Tablo 6.7** Tekil momentlerin çubuk sağ uçlarına olan mesafelerinin gösterilmesi

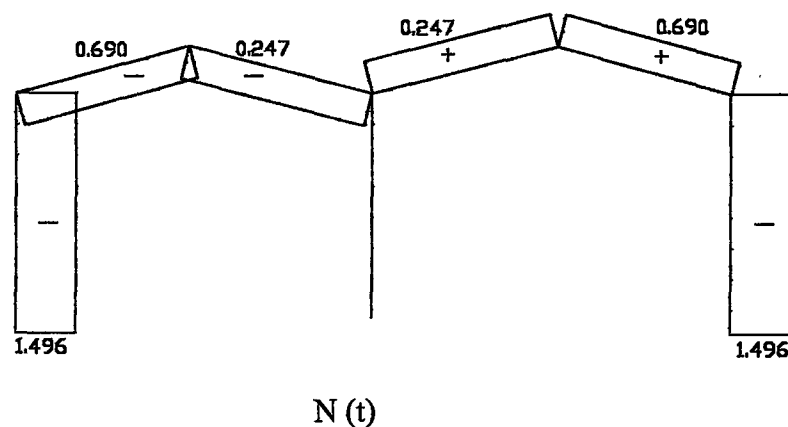
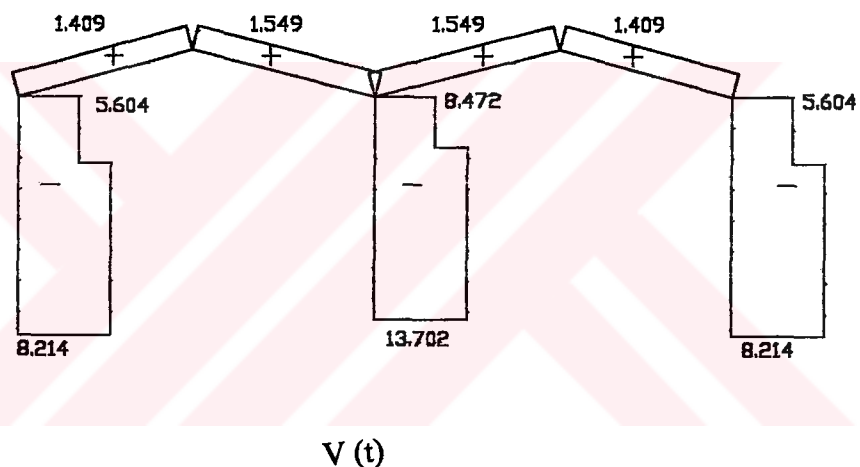
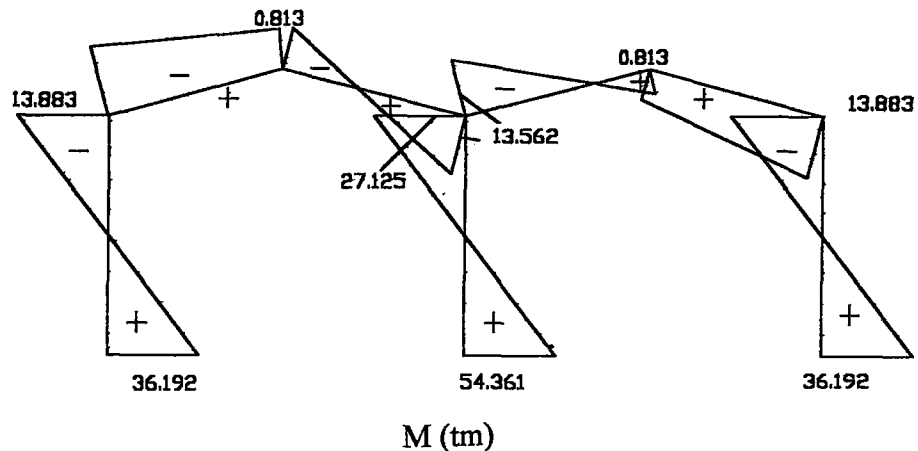
**Tablo 6.8 Çubukların  $S_{beta(m)}$ 'lerinin gösterilmesi**

**Tablo 6.9 Çubukların C $\beta$ a(m)'lerinin gösterilmesi**

1.YÜKLEMELİ DÜSEY YÜK


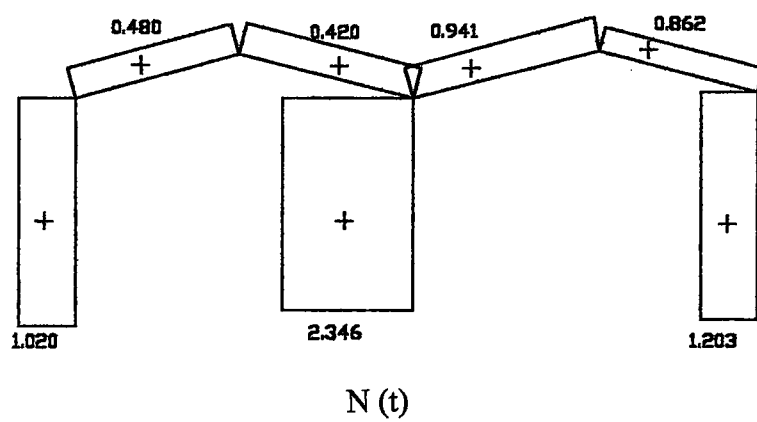
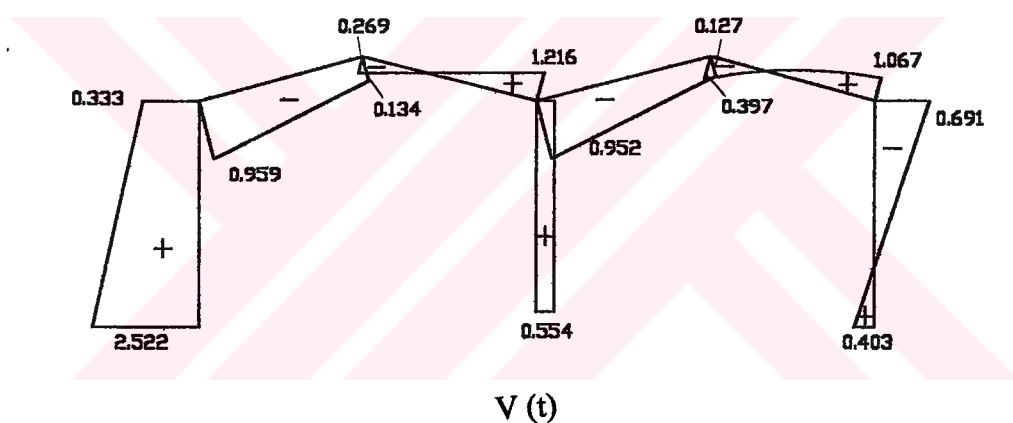
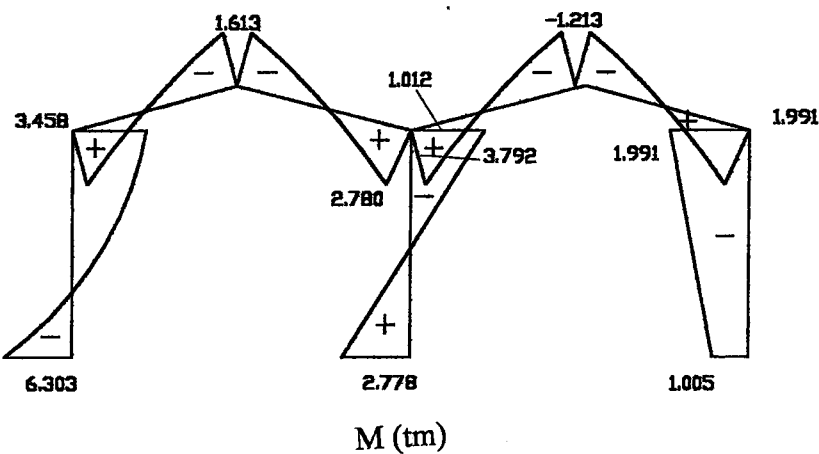
Şekil 6.13 Düşey yükler altında  $M$ ,  $V$ ,  $N$  diyagramları

2.YUKLEME(DEPREM SAGDAN)



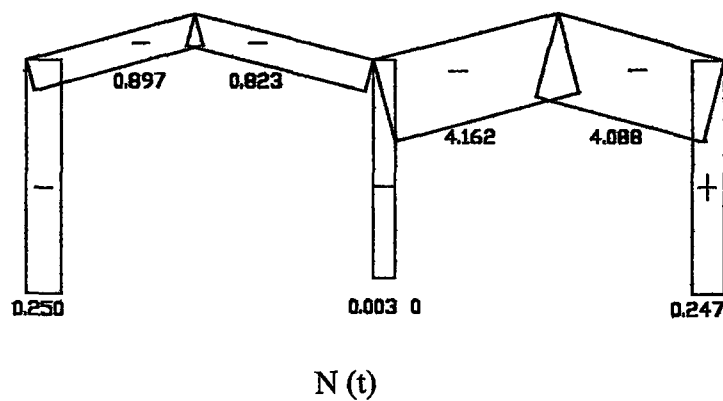
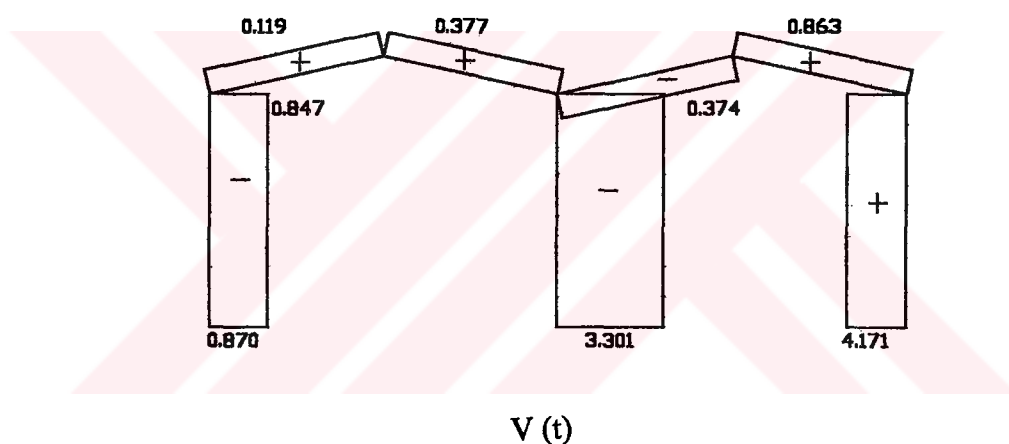
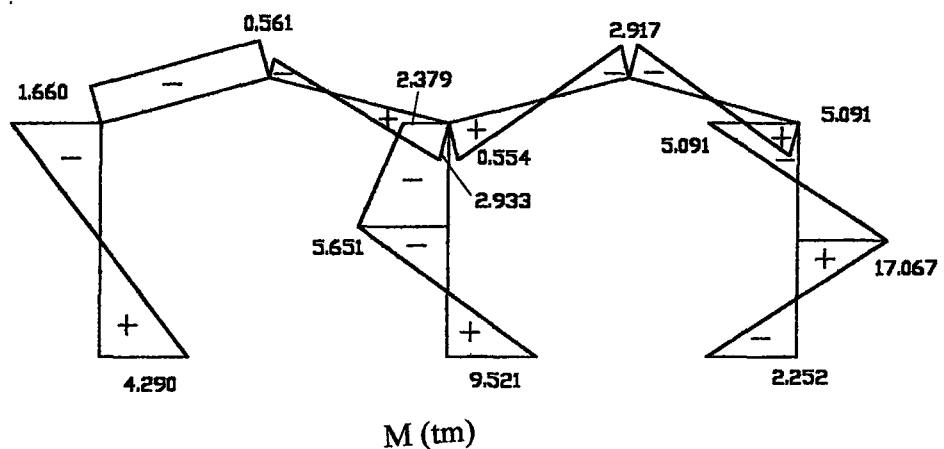
Şekil 6.14 Deprem yükleri altında M, V, N diyagramları

3.YÜKLEME(RUZGAR SÖLDAN)



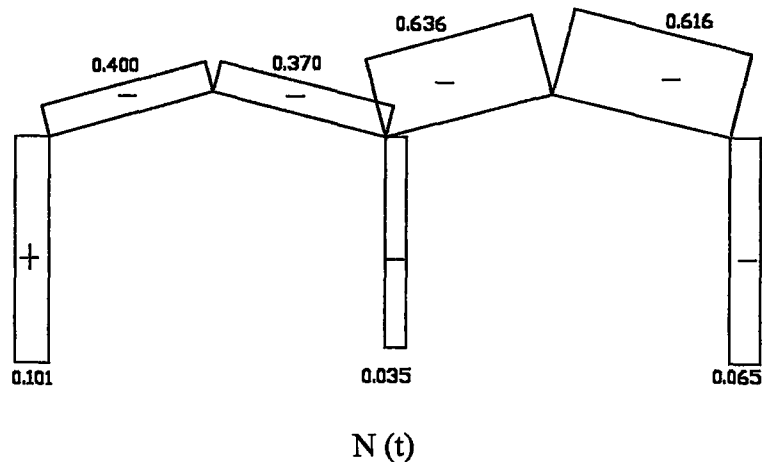
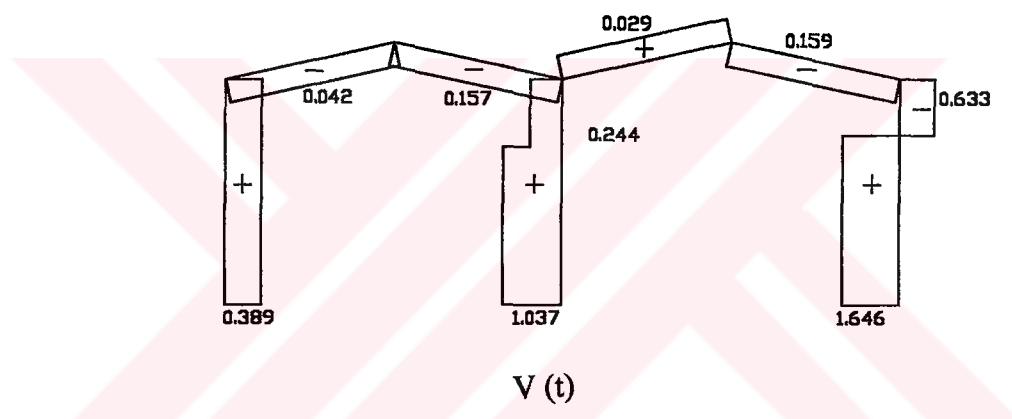
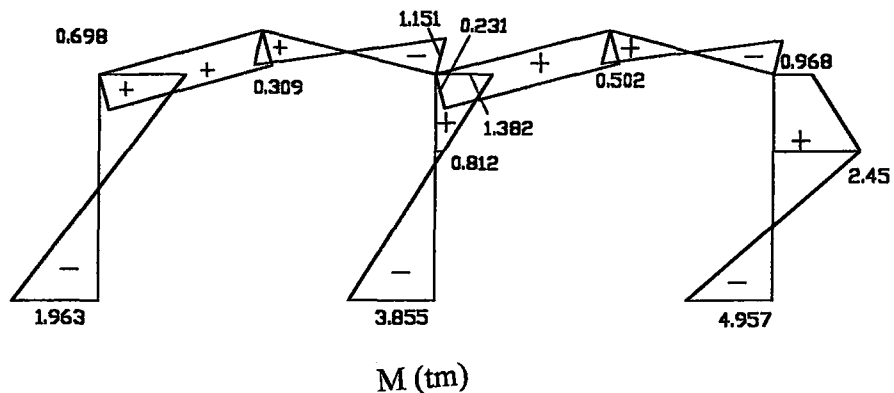
Şekil 6.15 Rüzgar yükleri altında  $M$ ,  $V$ ,  $N$  diyagramları

4.YUKLAME (KREN SAG ACIKLIKTA,SAGDA MOMENTLER)

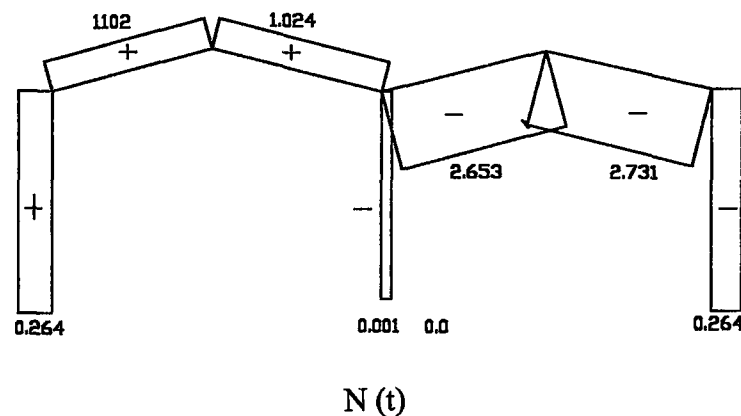
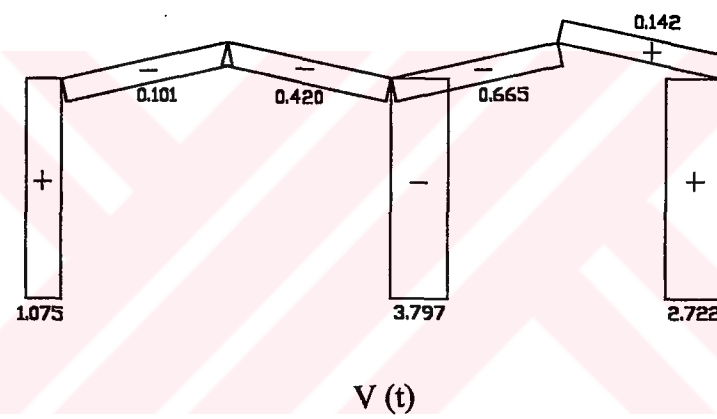
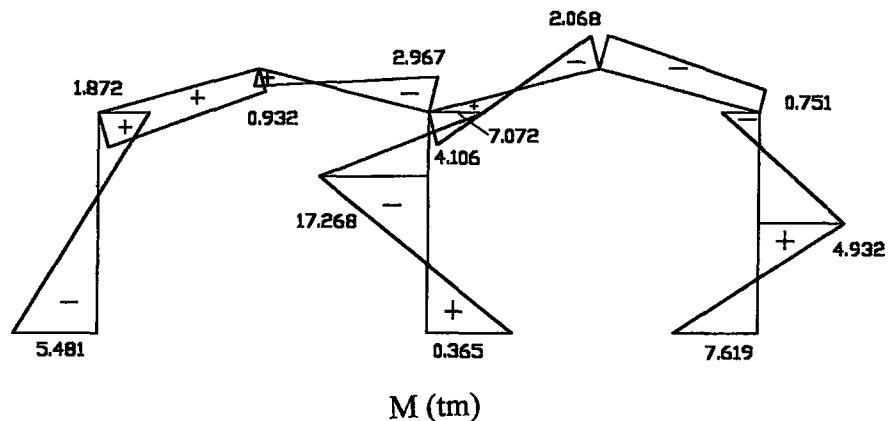


Şekil 6.16 Kren sağ açıklıkta sağda, momentler altında M, V, N diyagramları

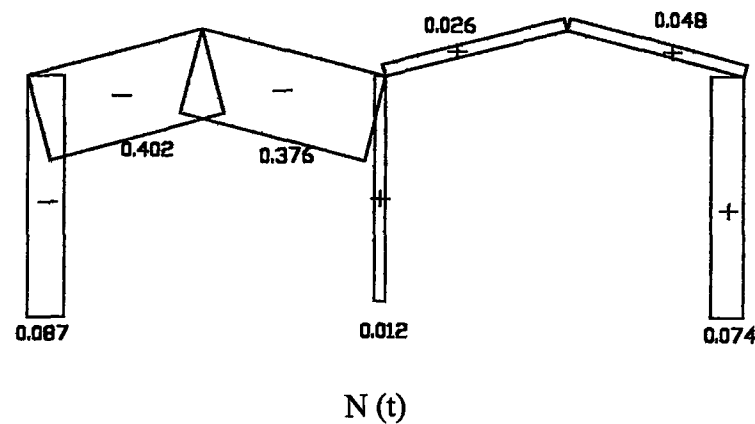
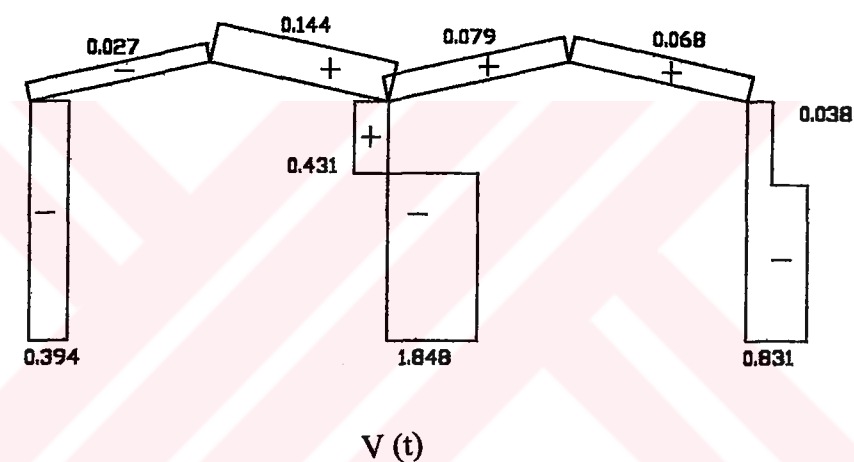
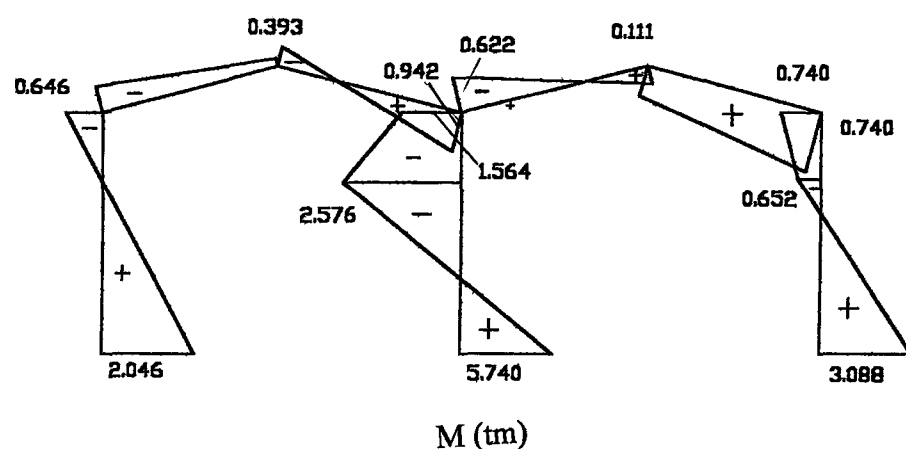
5.YUKLEME (KREN SAĞ AÇIKLIKTA,SAGDA YATAY KUV.)



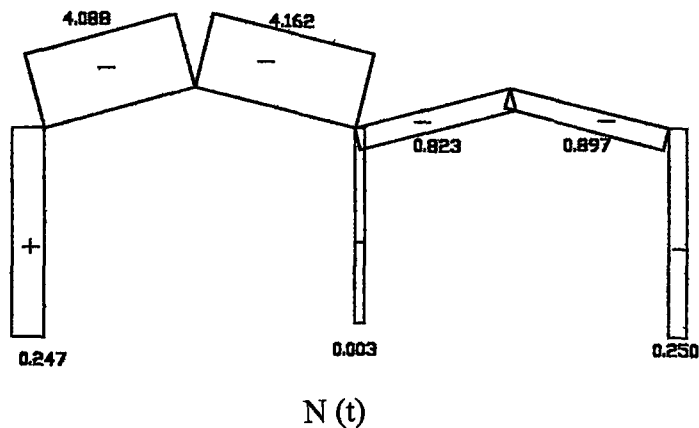
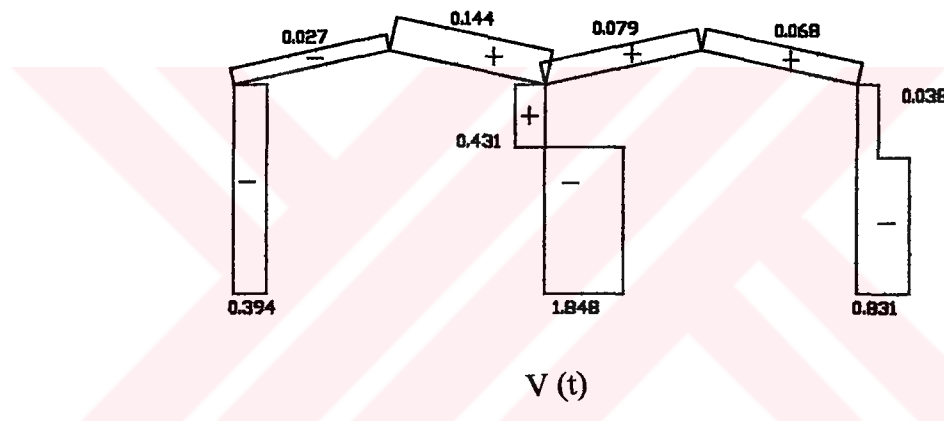
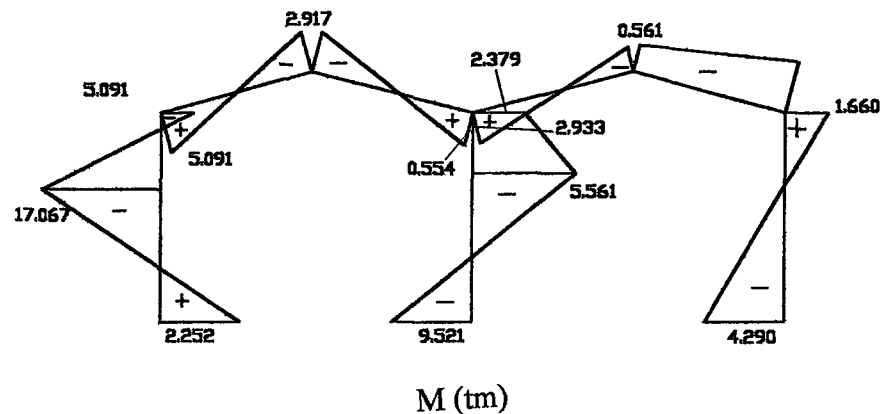
Şekil 6.17 Kren sağ açıklıkta sağda, yatay kuvvetler altında M, V, N diyagramları

6.YUKLEME (KREN SAĞ AÇIKLIKTA ,SOLDA MÖMENTLER)


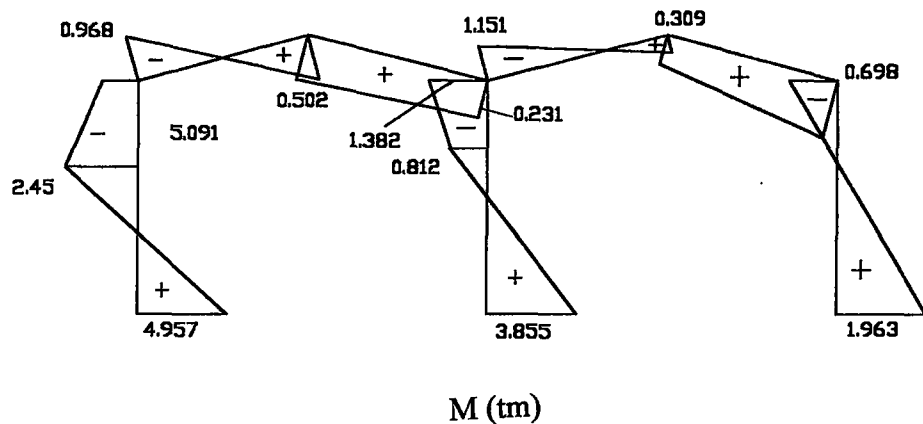
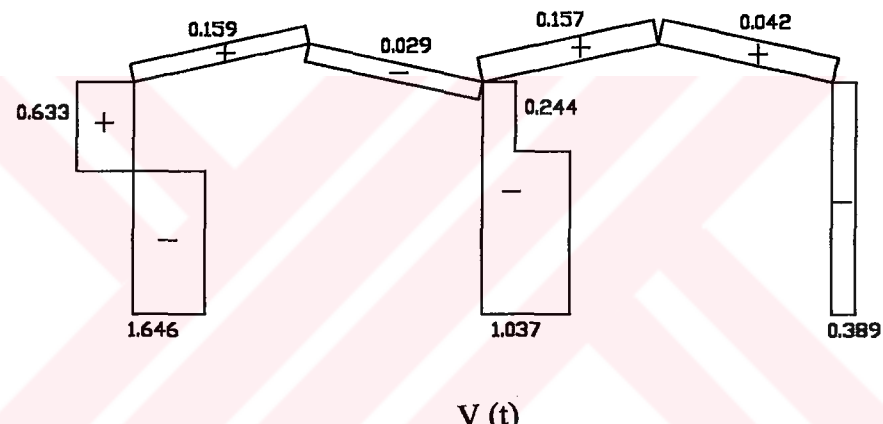
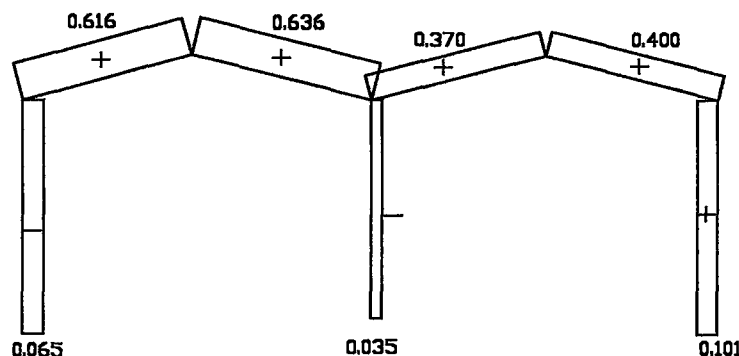
Şekil 6.18 Kren sağ açıklıkta solda,momentler altında M, V, N diyagramları

7.YUKLEME (KREN SAĞ AÇIKLIKTA ,SOLDA YATAY KUV.)

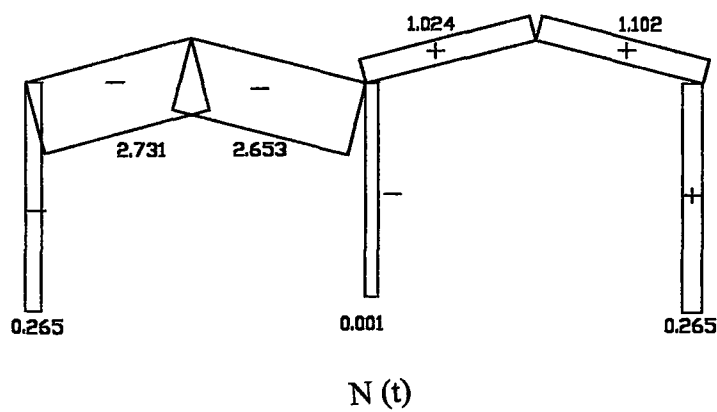
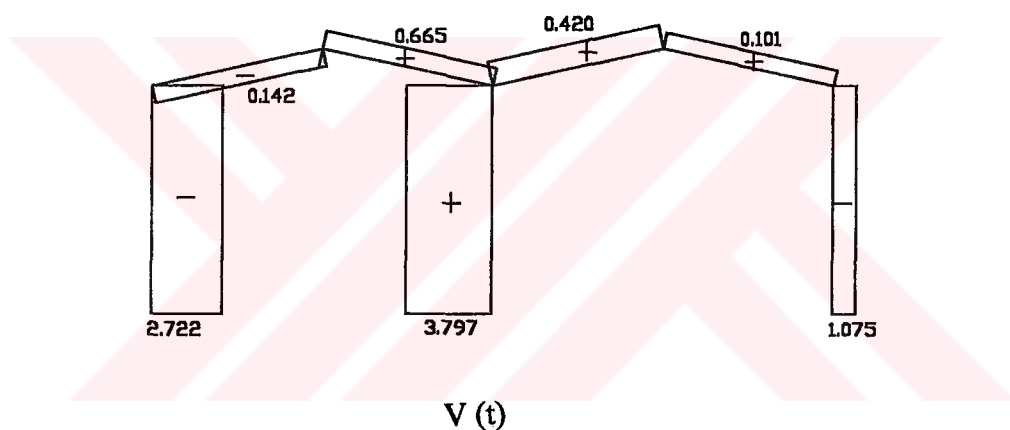
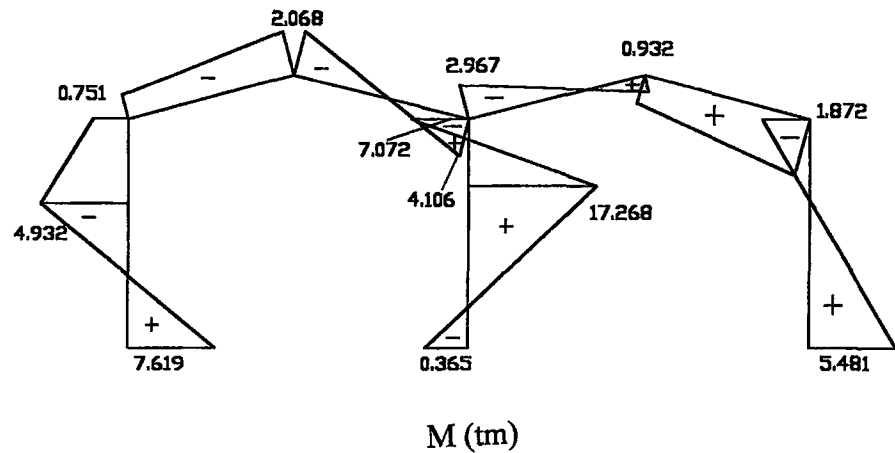
Şekil 6.19 Kren sağ açıklıkta solda,yatay kuvvetler altında M, V, N diyagramları

8.YÜKLEME (KREN SOL AÇIKLIKTA ,SOLDA MÖMENTLER ICİN)


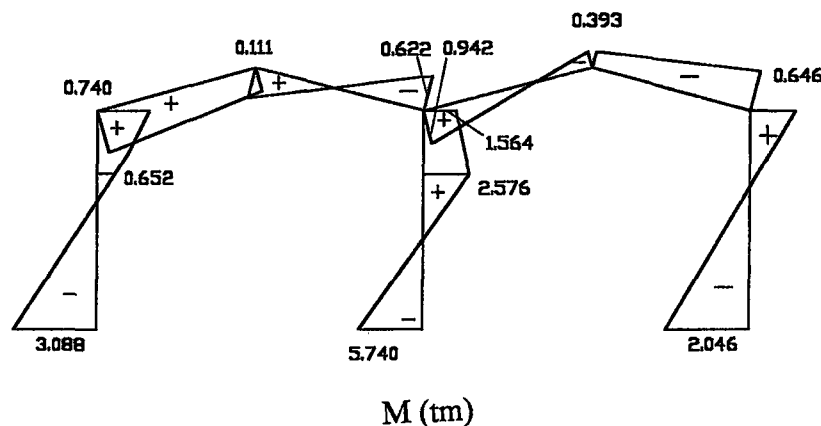
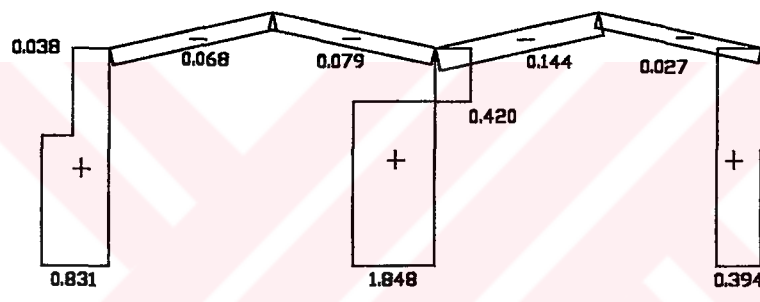
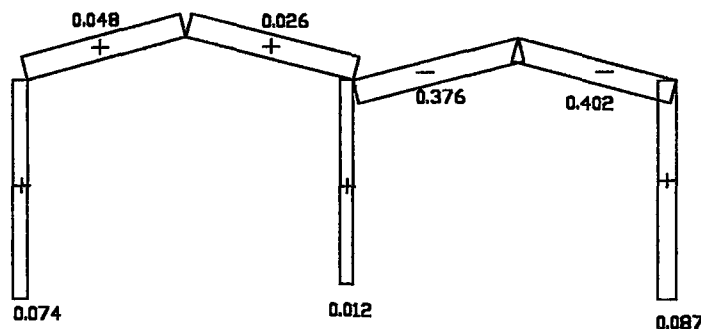
Şekil 6.20 Kren sol açıklıkta solda,momentler altında  $M$ ,  $V$ ,  $N$  diyagramları

9.YUKLEME (KREN SOL AÇIKLIKTA ,SOLDA YATAY KUV.)
 $M$  (tm) $V$  (t) $N$  (t)

Şekil 6.21 Kren sol açıklıkta solda, yatay kuvvetler altında  $M$ ,  $V$ ,  $N$  diyagramları

10.YUKLEME (KREN SOL AÇIKLIKTA SAGDA , MOMEMNT)


Şekil 6.22 Kren sol açılıkta sağda, momentler altında M, V, N diyagramları

11.YUKLEME (KREN SOL ACIKLIKTA SAGDA , YATAY KUV.)
 $M$  (tm) $V$  (t) $N$  (t)

Şekil 6.23 Kren sol açıklıkta sağda, yatay kuvvetler altında  $M$ ,  $V$ ,  $N$  diyagramları

Tablo 6.10 (1) No'lu çubuk için süperpozisyon tablosu

| ÇUBUK NO:1                              |        | i       |         |         | j        |         |         |
|---|--------|---------|---------|---------|----------|---------|---------|
| KESİT                                   |        | M(tm)   | N(t)    | V(tm)   | M(tm)    | N(t)    | V(tm)   |
| SABİT YÜK                               |        | 116,072 | -61,429 | -38,644 | -148,256 | -61,429 | -38,644 |
| SABİT YÜK/1,50                          |        | 77,381  | -40,953 | -25,763 | -98,837  | -40,953 | -25,763 |
| KREN SOL AÇIKLIKTÀ<br>SOLDÀ             | MOMENT | 2,252   | 0,247   | -4,171  | 5,091    | 0,247   | -4,171  |
| YATAY YÜK (+)                           |        | 4,957   | -0,065  | -1,646  | -0,968   | -0,065  | 0,633   |
| YATAY YÜK (-)                           |        | -4,957  | 0,065   | 1,646   | 0,968    | 0,065   | -0,633  |
| KREN SAG AÇIKLIKTÀ<br>SOLDÀ             | MOMENT | 7,619   | -0,265  | -2,722  | -0,751   | -0,265  | -2,722  |
| YATAY YÜK (+)                           |        | -3,088  | 0,074   | 0,831   | 0,740    | 0,074   | 0,038   |
| YATAY YÜK (-)                           |        | 3,088   | -0,074  | -0,831  | -0,740   | -0,074  | -0,038  |
| KREN SAG AÇIKLIKTÀ<br>SAĞDA             | MOMENT | -5,481  | 0,264   | 1,075   | 1,872    | 0,264   | 1,075   |
| YATAY YÜK (+)                           |        | 2,046   | -0,087  | -0,394  | -0,646   | -0,087  | -0,394  |
| YATAY YÜK (-)                           |        | -2,046  | 0,087   | 0,394   | 0,646    | 0,087   | 0,394   |
| KREN SAG AÇIKLIKTÀ<br>SAĞDA             | MOMENT | 4,290   | -0,250  | -0,870  | -1,660   | -0,250  | -0,870  |
| YATAY YÜK (+)                           |        | -1,963  | 0,101   | 0,389   | 0,698    | 0,101   | 0,389   |
| YATAY YÜK (-)                           |        | 1,963   | -0,101  | -0,389  | -0,698   | -0,101  | -0,389  |
| SABİT YÜK+KREN                          |        | 134,984 | -62,119 | -45,720 | -152,333 | -62,119 | -44,707 |
| SBT YÜK/1,50+KREN                       |        | 96,293  | -41,643 | -32,839 | -102,914 | -41,643 | -31,826 |
| DEPREM/RÜZGAR                           | SAĞDA  | 1,005   | 1,203   | -0,403  | 1,991    | 1,203   | 0,691   |
|   | SOLDÀ  | -6,303  | 1,020   | 2,522   | 3,458    | 1,020   | 0,333   |
|   | SAĞDA  | 36,192  | 1,496   | -8,214  | -13,883  | -1,496  | -5,604  |
|   | SOLDÀ  | -36,192 | -1,496  | 8,214   | 13,883   | 1,496   | 5,604   |
| SBT YÜK/1,5 +KREN +<br>DEPR. VEYA RÜZG. |        | 132,485 | -43,139 | -41,053 | -116,797 | -43,139 | -37,430 |
| SONUÇ                                   |        | 134,984 | -62,119 | -45,720 | -152,333 | -62,119 | -44,707 |

Tablo 6.11 (2) No'lu çubuk için süperpozisyon tablosu

| ÇUBUK NO:2                              |               | i       |          |         | j       |          |        |
|---|---------------|---------|----------|---------|---------|----------|--------|
| KESİT                                   |               | M(tm)   | N(t)     | V(tm)   | M(tm)   | N(t)     | V(tm)  |
| SABİT YÜK                               |               | 0,000   | -128,463 | 0,000   | 0,000   | -128,463 | 0,000  |
| SABİT YÜK/1,50                          |               | 0,000   | -85,642  | 0,000   | 0,000   | -85,642  | 0,000  |
| KREN SOL AÇIKLIKTA<br>SOLDA             | MOMENT        | -9,521  | 0,003    | 3,301   | 2,379   | 0,003    | 0,870  |
|   | YATAY YÜK (+) | 3,855   | -0,035   | -1,037  | -1,382  | -0,035   | -0,244 |
|   | YATAY YÜK (-) | -3,855  | 0,035    | 1,037   | 1,382   | 0,035    | 0,244  |
| KREN SAĞ AÇIKLIKTA<br>SOLDA             | MOMENT        | -0,365  | 0,001    | 3,797   | -7,072  | 0,001    | 3,797  |
|   | YATAY YÜK (+) | -5,740  | 0,012    | 1,848   | 1,564   | 0,012    | -0,431 |
|   | YATAY YÜK (-) | 5,740   | -0,012   | -1,848  | -1,564  | -0,012   | 0,431  |
| KREN SAĞ AÇIKLIKTA<br>SAĞDA             | MOMENT        | 0,365   | 0,001    | -3,797  | 7,072   | 0,001    | -3,797 |
|   | YATAY YÜK (+) | 5,740   | 0,012    | -1,848  | -1,564  | 0,012    | 0,431  |
|   | YATAY YÜK (-) | -5,740  | -0,012   | 1,848   | 1,564   | -0,012   | -0,431 |
| KREN SOL AÇIKLIKTA<br>SAĞDA             | MOMENT        | 9,521   | 0,003    | -3,301  | -2,379  | 0,003    | -3,301 |
|   | YATAY YÜK (+) | -3,855  | -0,035   | 1,037   | 1,382   | -0,035   | 0,244  |
|   | YATAY YÜK (-) | 3,855   | 0,035    | -1,037  | -1,382  | -0,101   | -0,244 |
| SABİT YÜK+KREN                          |               | -21,001 | -128,527 | 7,493   | -12,579 | -128,527 | 4,659  |
| SBT YÜK/1,50+KREN                       |               | -21,001 | -85,671  | 7,493   | -12,579 | -85,706  | 4,659  |
| DEPREM RÜZGAR                           | SAĞDA         | 2,778   | -2,346   | -0,554  | -1,012  | -0,554   | -2,346 |
|   | SOLDA         | -2,778  | 2,346    | 0,554   | 1,012   | 0,554    | 2,346  |
|   | SAĞDA         | 54,361  | 0,000    | -13,702 | -27,125 | 0,000    | -8,472 |
|   | SOLDA         | -54,361 | 0,000    | 13,702  | 27,125  | 0,000    | 8,472  |
| SBT YÜK/1,5 +KREN +<br>DEPR. VEYA RUZG. |               | -75,362 | -88,017  | 21,195  | -39,704 | -86,260  | 13,131 |
| SONUÇ                                   |               | -75,362 | -128,527 | 21,195  | -39,277 | -128,527 | 13,131 |

Tablo 6.12 (3) No'lu çubuk için süperpozisyon tablosu

| ÇUBUK NO:3                           |       | i        |         |        | j       |         |        |        |
|--------------------------------------|-------|----------|---------|--------|---------|---------|--------|--------|
| KESİT                                |       | M(tm)    | N(t)    | V(tm)  | M(tm)   | N(t)    | V(tm)  |        |
| SABİT YÜK                            |       | -116,072 | -61,429 | 38,644 | 148,256 | -61,429 | 38,644 |        |
| SABİT YÜK/1,50                       |       | -77,381  | -40,953 | 25,763 | 98,837  | -40,953 | 25,763 |        |
| KREN SOL AÇIKLIKTA                   | SOLDA | MOMENT   | -4,290  | -0,250 | 0,870   | 1,660   | -0,250 | 0,870  |
| YATAY YÜK (+)                        |       | 1,963    | 0,101   | -0,389 | -0,698  | 0,101   | -0,389 |        |
| YATAY YÜK (-)                        |       | -1,963   | -0,101  | 0,389  | 0,698   | -0,101  | 0,389  |        |
| KREN SAĞ AÇIKLIKTA                   | SOLDA | MOMENT   | 5,481   | 0,264  | -1,075  | -1,872  | 0,264  | -1,075 |
| YATAY YÜK (+)                        |       | -2,046   | -0,087  | 0,389  | 0,646   | -0,087  | 0,389  |        |
| YATAY YÜK (-)                        |       | 2,046    | 0,087   | -0,389 | -0,646  | 0,087   | -0,389 |        |
| KREN SAĞ AÇIKLIKTA                   | SAĞDA | MOMENT   | -7,619  | -0,265 | 2,722   | 0,751   | -0,265 | 2,722  |
| YATAY YÜK (+)                        |       | 3,088    | 0,074   | -0,831 | -0,740  | 0,074   | -0,038 |        |
| YATAY YÜK (-)                        |       | -3,088   | -0,074  | 0,831  | 0,740   | -0,074  | 0,038  |        |
| KREN SAĞ AÇIKLIKTA                   | SAĞDA | MOMENT   | -2,252  | 0,247  | 4,171   | -5,091  | 0,247  | 4,171  |
| YATAY YÜK (+)                        |       | -4,957   | -0,065  | 1,646  | 0,968   | -0,065  | -0,633 |        |
| YATAY YÜK (-)                        |       | 4,957    | 0,065   | -1,646 | -0,968  | 0,065   | 0,633  |        |
| SABİT YÜK+KREN                       |       | -134,984 | -62,119 | 45,720 | 152,333 | -62,119 | 44,707 |        |
| SBT YÜK/1,50+KREN                    |       | -96,293  | -41,643 | 32,839 | 102,914 | -41,643 | 31,826 |        |
| RÜZGAR                               | SAĞDA | 6,303    | 1,020   | -2,522 | -3,458  | 1,020   | -0,333 |        |
| DEPREM                               | SOLDA | -1,005   | 1,203   | 0,403  | -1,991  | 1,203   | -0,691 |        |
| RÜZGAR                               | SAĞDA | 36,192   | 1,496   | -8,214 | -13,883 | 1,496   | -5,604 |        |
| DEPREM                               | SOLDA | -36,192  | -1,496  | 8,214  | 13,883  | -1,496  | 5,604  |        |
| SBT YÜK/1,5 +KREN + DEPR. VEYA RÜZG. |       | -132,485 | -43,139 | 41,053 | 116,797 | -43,139 | 37,430 |        |
| SONUÇ                                |       | -134,984 | -62,119 | 45,720 | 152,333 | -62,119 | 44,707 |        |

Tablo 6.13 (4) No'lu çubuk için süperpozisyon tablosu

| ÇUBUK NO:4                              |               | i      |         |        | j        |         |         |
|---|---------------|--------|---------|--------|----------|---------|---------|
| KESİT                                   |               | M(tm)  | N(t)    | V(tm)  | M(tm)    | N(t)    | V(tm)   |
| SABİT YÜK                               |               | 73,947 | -38,010 | 7,117  | -148,256 | -47,328 | -55,018 |
| SABİT YÜK/1,50                          |               | 49,298 | -25,340 | 4,745  | -98,837  | -31,552 | -36,679 |
| KREN SOL AÇIKLIKTÀ<br>SOLDA             | MOMENT        | -0,561 | -0,897  | -0,119 | -1,660   | -0,897  | -0,119  |
|   | YATAY YÜK (+) | 0,309  | 0,400   | 0,042  | 0,698    | 0,400   | 0,042   |
|   | YATAY YÜK (-) | -0,309 | -0,400  | -0,042 | -0,698   | -0,400  | -0,042  |
| KREN SAĞ AÇIKLIKTÀ<br>SOLDA             | MOMENT        | 0,932  | 1,102   | 0,101  | 1,872    | 1,102   | 0,101   |
|   | YATAY YÜK (+) | -0,393 | -0,402  | -0,027 | -0,646   | -0,402  | -0,027  |
|   | YATAY YÜK (-) | 0,393  | 0,402   | 0,027  | 0,646    | 0,402   | 0,027   |
| KREN SAĞ AÇIKLIKTÀ<br>SAĞDA             | MOMENT        | -2,068 | -2,731  | 0,142  | -0,751   | -2,731  | 0,142   |
|   | YATAY YÜK (+) | 0,111  | 0,048   | 0,068  | 0,740    | 0,048   | 0,068   |
|   | YATAY YÜK (-) | -0,111 | -0,048  | -0,068 | -0,740   | -0,048  | -0,068  |
| DEPREM RÜZGAR<br>SAĞDA                  | MOMENT        | -2,917 | -4,088  | 0,863  | 5,091    | -4,088  | 0,863   |
|   | YATAY YÜK (+) | 0,502  | 0,616   | -0,159 | -0,968   | 0,616   | -0,159  |
|   | YATAY YÜK (-) | -0,502 | -0,616  | 0,159  | 0,968    | -0,616  | 0,159   |
| SABİT YÜK+KREN                          |               | 75,774 | -44,013 | 8,282  | -152,333 | -53,331 | -55,338 |
| SBT YÜK/1,50+KREN                       |               | 51,125 | -31,343 | 5,910  | -102,914 | -37,555 | -36,999 |
| DEPREM RÜZGAR<br>SAĞDA                  | Sağda         | -1,613 | 0,480   | 0,134  | 3,458    | 0,480   | 0,959   |
|   | Solda         | -1,213 | 0,862   | -0,397 | 1,991    | 0,862   | 1,087   |
|   | Sağda         | 0,813  | 0,690   | 1,409  | 13,883   | 0,690   | 1,409   |
|   | Solda         | -0,813 | -0,690  | -1,409 | -13,883  | -0,690  | -1,409  |
| SBT YÜK/1,5 +KREN +<br>DEPR. VEYA RUZG. |               | 51,938 | -32,033 | 7,319  | -116,797 | -38,245 | -38,408 |
| SONUÇ                                   |               | 75,774 | -44,013 | 8,282  | -152,333 | -53,431 | -55,338 |

Tablo 6.14 (5) No'lu çubuk için süperpozisyon tablosu

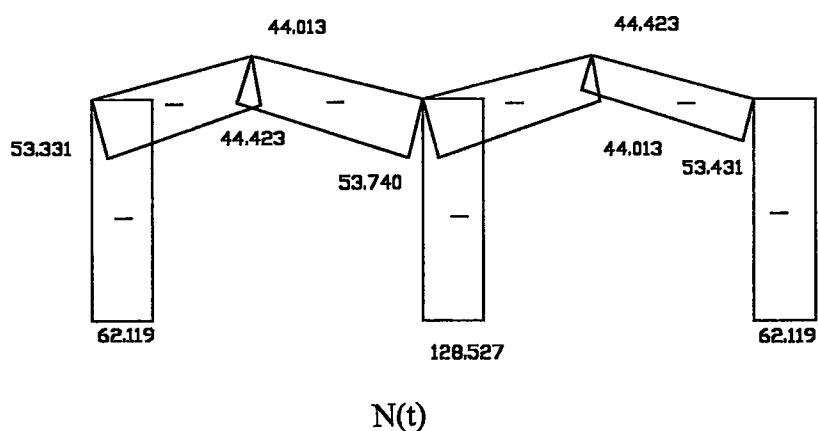
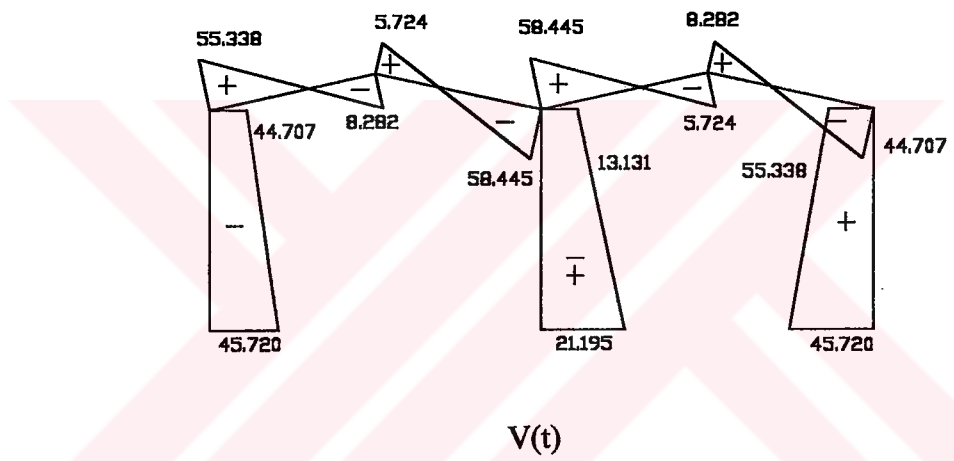
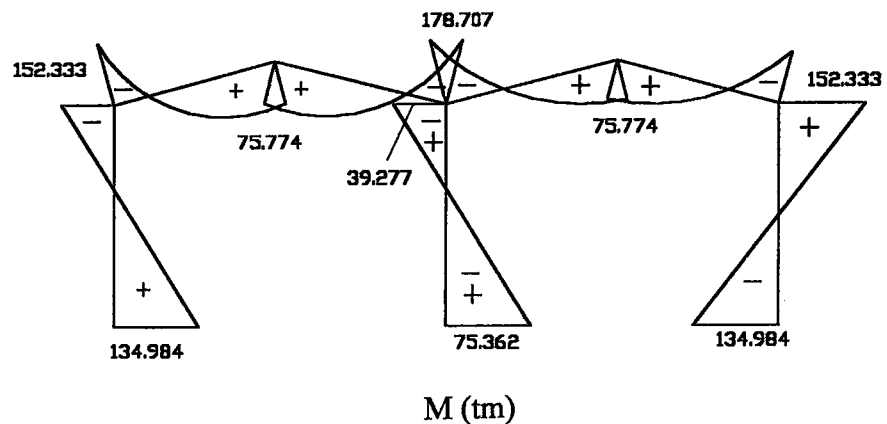
| ÇUBUK NO:5                              |               | i        |         |        | j      |         |        |
|---|---------------|----------|---------|--------|--------|---------|--------|
| KESİT                                   |               | M(tm)    | N(t)    | V(tm)  | M(tm)  | N(t)    | V(tm)  |
| SABİT YÜK                               |               | -173,967 | -47,743 | 57,789 | 73,947 | -38,426 | -4,346 |
| SABİT YÜK/1,50                          |               | -115,978 | -31,829 | 38,526 | 49,298 | -25,617 | -2,897 |
| KREN SOL AÇIKLIKTA<br>SOLDA             | MOMENT        | 2,933    | -0,823  | -0,377 | -0,561 | -0,823  | -0,377 |
|   | YATAY YÜK (+) | -1,151   | 0,370   | 0,157  | 0,309  | 0,370   | 0,157  |
|   | YATAY YÜK (-) | 1,151    | -0,370  | -0,157 | -0,309 | -0,370  | -0,157 |
|   | MOMENT        | -2,967   | 1,024   | 0,420  | 0,932  | 1,024   | 0,420  |
|   | YATAY YÜK (+) | 0,942    | -0,376  | -0,144 | -0,393 | -0,376  | -0,144 |
|   | YATAY YÜK (-) | -0,942   | 0,376   | 0,144  | 0,393  | 0,376   | 0,144  |
| KREN SAĞ AÇIKLIKTA<br>SOLDA             | MOMENT        | 4,106    | -2,653  | -0,665 | -2,068 | -2,653  | -0,665 |
|   | YATAY YÜK (+) | -0,622   | 0,026   | 0,079  | 0,111  | 0,026   | 0,079  |
|   | YATAY YÜK (-) | 0,622    | -0,026  | -0,079 | -0,111 | -0,026  | -0,079 |
|   | MOMENT        | 0,554    | -4,162  | -0,374 | -2,917 | -4,162  | -0,374 |
|   | YATAY YÜK (+) | 0,231    | 0,636   | 0,029  | 0,502  | 0,636   | 0,029  |
|   | YATAY YÜK (-) | -0,231   | -0,636  | -0,029 | -0,502 | -0,636  | -0,029 |
| SABİT YÜK+KREN                          |               | -178,707 | -53,740 | 58,445 | 75,774 | -44,423 | -5,624 |
| SBT YÜK/1,50+KREN                       |               | -120,718 | -37,826 | 39,182 | 51,125 | -31,608 | -4,175 |
| DEPREM RÜZGAR                           | SAĞDA         | 2,780    | 0,420   | -1,216 | -1,613 | 0,420   | 0,269  |
|   | SOLDA         | 3,792    | 0,941   | -0,952 | -1,213 | 0,941   | -0,127 |
|   | SAĞDA         | -13,562  | 0,247   | 1,549  | 0,813  | 0,247   | 1,549  |
|   | SOLDA         | 13,562   | -0,247  | -1,549 | -0,813 | -0,247  | -1,549 |
| SBT YÜK/1,5 +KREN +<br>DEPR. VEYA RUZG. |               | -134,280 | -38,073 | 40,731 | 51,938 | -31,855 | -5,724 |
| SONUÇ                                   |               | -178,707 | -53,740 | 58,445 | 75,774 | -44,423 | -5,724 |

Tablo 6.15 (6) No'lu çubuk için süperpozisyon tablosu

| ÇUBUK NO:6                             |        | i      |         |        | j        |         |         |
|--|--------|--------|---------|--------|----------|---------|---------|
| KESİT                                  |        | M(tm)  | N(t)    | V(tm)  | M(tm)    | N(t)    | V(tm)   |
| SABİT YÜK                              |        | 73,947 | -38,426 | 4,346  | -173,967 | -47,743 | -57,789 |
| SABİT YÜK/1,50                         |        | 49,298 | -25,617 | 2,897  | -115,978 | -31,829 | -38,526 |
| KREN SOL AÇIKLIKTA<br>SOLDA            | MOMENT | -2,917 | -4,162  | 0,374  | 0,554    | -4,162  | 0,374   |
| YATAY YÜK (+)                          | 0,502  | 0,636  | -0,029  | 0,231  | 0,636    | -0,029  |         |
| YATAY YÜK (-)                          | -0,502 | -0,636 | 0,029   | -0,231 | -0,636   | 0,029   |         |
| KREN SAĞ AÇIKLIKTA<br>SOLDA            | MOMENT | -2,068 | -2,653  | 0,665  | 4,106    | -2,653  | 0,665   |
| YATAY YÜK (+)                          | 0,111  | 0,026  | -0,079  | -0,622 | 0,026    | -0,079  |         |
| YATAY YÜK (-)                          | -0,111 | -0,026 | 0,079   | 0,622  | -0,026   | 0,079   |         |
| KREN SAĞ AÇIKLIKTA<br>SAĞDA            | MOMENT | 0,932  | 1,024   | -0,420 | -2,967   | 1,024   | -0,420  |
| YATAY YÜK (+)                          | -0,393 | -0,376 | 0,144   | 0,942  | -0,376   | 0,144   |         |
| YATAY YÜK (-)                          | 0,393  | 0,376  | -0,144  | -0,942 | 0,376    | -0,144  |         |
| KREN SOL AÇIKLIKTA<br>SAĞDA            | MOMENT | -0,561 | -0,823  | 0,377  | 2,933    | -0,823  | 0,377   |
| YATAY YÜK (+)                          | 0,309  | 0,370  | -0,157  | -1,151 | 0,370    | -0,157  |         |
| YATAY YÜK (-)                          | -0,309 | -0,370 | 0,157   | 1,151  | -0,370   | 0,157   |         |
| SABİT YÜK+KREN                         |        | 75,774 | -44,423 | 5,624  | -178,707 | -53,740 | -58,445 |
| SBT YÜK/1,50+KREN                      |        | 51,125 | -31,614 | 4,175  | -120,718 | -37,826 | -39,182 |
| DEPREM RÜZGAR                          | SAĞDA  | -1,213 | 0,941   | 0,127  | 3,792    | 0,941   | 0,952   |
|  | SOLDА  | -1,613 | 0,420   | -0,269 | 2,780    | 0,420   | 1,216   |
|  | SAĞDA  | -0,813 | -0,247  | 1,549  | 13,562   | -0,247  | 1,549   |
|  | SOLDА  | 0,813  | 0,247   | -1,549 | -13,562  | 0,247   | -1,549  |
| SBT YÜK/1,5 +KREN+<br>DEPR. VEYA RUZG. |        | 51,938 | -31,861 | 5,724  | -134,280 | -38,073 | -40,731 |
| SONUÇ                                  |        | 75,774 | -44,423 | 5,724  | -178,707 | -53,740 | -58,445 |

Tablo 6.16 (7) No'lulu çubuk için superpozisyon tablosu

| ÇUBUK NO:7                          |                 | i        |         |        | j      |         |        |
|-------------------------------------|-----------------|----------|---------|--------|--------|---------|--------|
| KESİT                               |                 | M(tm)    | N(t)    | V(tm)  | M(tm)  | N(t)    | V(tm)  |
| SABİT YÜK                           |                 | -148,256 | -47,328 | 55,018 | 73,947 | -38,010 | -7,117 |
| SABİT YÜK/1,50                      |                 | -98,837  | -31,552 | 36,679 | 49,298 | -25,340 | -4,745 |
| KREN SOL AÇIKLIKTA<br>SOLDA         | MOMENT          | 5,091    | -4,088  | -0,863 | -2,917 | -4,088  | -0,863 |
|                                     | YATAY YÜK ( + ) | -0,968   | 0,616   | 0,159  | 0,502  | 0,616   | 0,159  |
|                                     | YATAY YÜK ( - ) | 0,968    | -0,616  | -0,159 | -0,502 | -0,616  | -0,159 |
|                                     | MOMENT          | -0,751   | -2,731  | -0,142 | -2,068 | -2,731  | -0,142 |
|                                     | YATAY YÜK ( + ) | 0,740    | 0,048   | -0,068 | 0,111  | 0,048   | -0,068 |
|                                     | YATAY YÜK ( - ) | -0,740   | -0,048  | 0,068  | -0,111 | -0,048  | 0,068  |
| KREN SAĞ AÇIKLIKTA<br>SOLDA         | MOMENT          | 1,872    | 1,102   | -0,101 | 0,932  | 1,102   | -0,101 |
|                                     | YATAY YÜK ( + ) | -0,646   | -0,402  | 0,027  | -0,393 | -0,402  | 0,027  |
|                                     | YATAY YÜK ( - ) | 0,646    | 0,402   | -0,027 | 0,393  | 0,402   | -0,027 |
|                                     | MOMENT          | -1,660   | -0,897  | 0,119  | -0,561 | -0,897  | 0,119  |
|                                     | YATAY YÜK ( + ) | 0,698    | 0,400   | -0,042 | 0,309  | 0,400   | -0,042 |
|                                     | YATAY YÜK ( - ) | -0,698   | -0,400  | 0,042  | -0,309 | -0,400  | 0,042  |
| SABİT YÜK+KREN                      |                 | -152,333 | -53,331 | 55,338 | 75,774 | -44,013 | -8,282 |
| SBT YÜK/1,50+KREN                   |                 | -102,914 | -37,555 | 36,999 | 51,125 | -31,343 | -5,910 |
| DEPREM RÜZGARI                      | SAĞDA           | 1,991    | 0,862   | -1,087 | -1,213 | 0,862   | 0,397  |
|                                     | SOLDA           | 3,458    | 0,480   | -0,959 | -1,613 | 0,480   | -0,134 |
|                                     | SAĞDA           | -13,883  | -0,690  | 1,409  | -0,813 | -0,690  | 1,409  |
|                                     | SOLDA           | 13,883   | 0,690   | -1,409 | 0,813  | 0,690   | -1,409 |
| SBT YÜK/1,5 +KREN+ DEPR. VEYA RUZG. |                 | -116,797 | -38,245 | 38,408 | 51,938 | -32,033 | -7,319 |
| SONUÇ                               |                 | -152,333 | -53,331 | 55,338 | 75,774 | -44,013 | -8,282 |

SUPERPOZE DIYAGRAMLAR


Şekil 6.24 Süperpoze M, V, N diyagramları

### 6.3 ÇERÇEVENİN BETONARME HESABI

Yukarıda yapılan çerçeve statik hesabı sonucunda ortaya çıkan süperpoze M, N, T diyagramları kullanılarak çerçeveyi oluşturan elemanların ( kiriş, kolon) betonarme hesabı yapılmıştır.

#### 6.3.1 Kolonların Hesabı

Betonarme hesap yapılan çerçevede kenar kolonların ve orta kolonların ayrı ayrı hesabı yapılmıştır. Kolonlar, üzerlerine gelen normal kuvvet ve moment etkilerine göre hesaplanarak boyutlandırılmıştır. Moment etkisinin normal kuvvete göre daha etkili olduğu kolonlarda, örneğin kenar kolonlar, ekonomik bir boyutlandırma için donatı yüzdesinin 0.018 ile 0.024 arasında tutulması gerektiği saptanmıştır. Normal kuvvetin momente göre daha etkin olduğu kolonlarda ise, örneğin orta kolonlar, ekonomik bir boyutlandırma için donatı yüzdesinin 0.020 sınırını geçmemesi gerektiği saptanmıştır. Donatı olarak BÇ III kullanılmış ve donatı yerleştirilmesi yapılırken bulunan ana donatının 1/3'ü gövde donatısı olarak diğer yüzlere yerleştirilmiştir. Kolon hesapları yapılırken izlenen yol aşağıda adımlar halinde verilmiştir.

$$A_g = A_s / 3 \quad (6.40)$$

Şekil 6.25 Kolon donatları

1. Kolonların hesabı için ilk adımda kolonlarda narinlik kontrolü yapılmalıdır. Bunun için kolonlarda etkili boy katsayısının bulunması gereklidir. Bunun için kolonun bulunduğu çerçevenin yanal yerdeğiştirme durumuna ve kolonun üst ve alt düğüm noktasında birleşen kirişlerin rölatif eğilme rijitliğine bağlı olarak ,

$$\alpha = (\Sigma I / l)_{\text{kolon}} / (\Sigma I / l)_{\text{kiriş}} \quad (6.41)$$

sayıları hesaplanarak şartnamede verilen tablolardan k etkili boy katsayıları bulunur.  $\alpha$  katsayıları bulunurken kırışların çatlayabileceği düşünülmerek kırış atalet momentleri 0.5 ile çarpılarak azaltılmıştır. [4] Tablalı kırış atalet momentleri bulunurken gerekli grafiklerden yararlanılmıştır. [3,s 843] Yanal yerdeğiştirme önlenmemiş sistemlerde h kesit yüksekliği olmak üzere

$i$  : Hesap yapılan yöndeki atalet yarıçapı  $\approx 0.3 \times h$

alınarak

$$k \times l_{kolon} / i \leq 22 \quad (6.42)$$

olmalıdır. Eğer bu şart sağlanmıyorsa, kolon narin kolon olarak moment büyütme yöntemi uygulanarak hesaplanmalıdır.

2. Narin kolon hesabında moment değerleri bir  $\beta$  katsayı ile arttırılır.  $\beta$  katsayısının bulunması için,

$E_c$  : Beton kalitesine bağlı elastisite modülü ( $t/m^2$ ),

$I_c$  : Kolon atalet momenti ( $m$ ),

$$R_m = (M_g / (M_q + M_g)), \quad (6.43)$$

$$EI = 0.4 \times E_c \times I_c \times (1 / (1 + R_m)), \quad (6.44)$$

$$N_k = \pi^2 \times EI / (k \times l_{kolon})^2, \quad (6.45)$$

$$\beta = 1 / (1 - (\sum N_d / \sum N_k)) \quad (6.46)$$

formülleri kullanılır. Burada,

$\sum N_d$  : Sistemde bulunan kolonların normal kuvvetlerinin toplamı,

$\Sigma N_k$  : Sistemde bulunan kolonların burkulma yüklerinin toplamı olarak alınmıştır.

$$M_d = \beta \times M \quad (6.47)$$

yazılırak hesap moment değeri bulunur. Bulunan  $M_d$  ve kolon üzerine gelen normal kuvvet  $N_d$  bilindiğine göre kolon donatısı hesabı abaklar yardımıyla yapılır.

$$m_d = M_d / ( b \times h^2 \times f_{cd} ) \quad (6.48)$$

$$n_d = N_d / ( b \times h \times f_{cd} ) \quad (6.49)$$

bulunarak abaklardan  $w$  değeri okunur ve

$$A_s = w \times b \times h \times f_{cd} / f_{yd} \quad (6.50)$$

hesaplanarak gerekli donatı alanı bulunur. [7]

3. Bulunan  $A_s$  donatısı ve kolon kesiti aşağıdaki bağlantılar ile kontrol edilmelidir.

$$A_{smin} = 0.005 \times b \times h, \quad (6.51)$$

$$A_{smax} = 0.015 \times b \times h, \quad (6.52)$$

$$N_d \leq 0.9 \times f_{cd} \times b \times h \quad (6.53)$$

Kolonlarda boyuna donatı etriyeler ile sarılmalıdır. Böylece hem boyuna donatının burkulması önlenmiş hem de sarılan betonun dayanımı ve sünekliği arttırlılmış olur. Kolonlarda koyulacak olan etriye miktarı belli bir sınırdan az olmamalıdır. Bu nedenle  $\Phi_h$  etriye çapı ve  $s$  aralığı  $\Phi_l$  boyuna donatı çapına bağlı olarak,

$$\Phi h \geq \Phi l / 3 \quad (6.54)$$

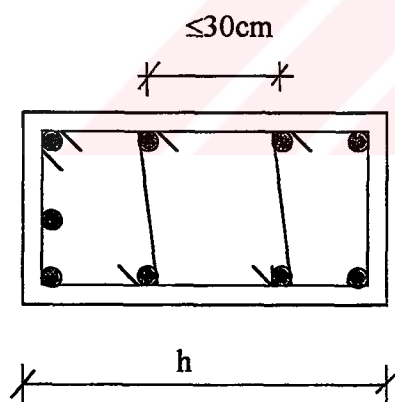
$$12 \times \Phi l \\ s \leq \\ 200 \text{mm.} \quad (6.55)$$

olmalıdır. Kolon ile kirişlerin birleştiği noktalarda etriye aralıkları azaltılmalı ve bu azaltma

$$l_c = l_n / 6 \quad (6.56)$$

bölgesinde yapılmalıdır. Burada  $l_n$  kolon serbest uzunluğudur.

Çalışmaya konu olan endüstri yapısında kolonun  $h$  genişliği büyük olduğundan etriyeler çiroz ile enine bağlanmıştır.



Şekil 6.26 Etriyelerde çiroz gösterimi

### 6.3.2 Çerçeve kirişlerinin betonarme hesabı

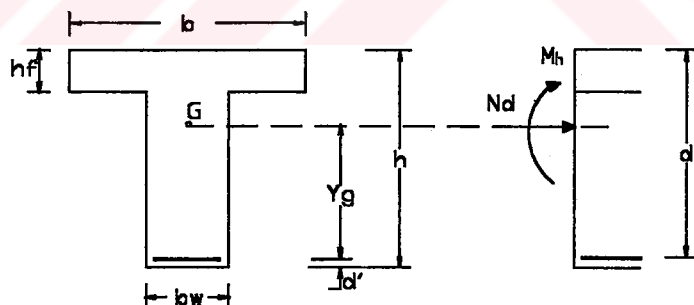
Statik hesaplar sonucunda bulunan süperpoze M, N, T diyagramları kullanılarak kirişlerin betonarme hesabı yapılmıştır.

#### 1. Eğilme Hesabı

Kirişlerde üzerlerine gelen moment ve normal kuvvetler kullanılarak eğilme hesabı yapılmış ve gerekli donatılar bulumuştur. Ekonomik bir boyutlandırma için kiriş kesitlerinin mümkün olduğu kadar küçük tutulup kullanılan beton miktarının azaltmasının gerekliliği saptanmıştır. Kirişlerde donatı olarak BÇ III kullanılmış ve donatı yerleştirilmesi yapılrken bulunan çekme donatısının 0.08'i gövde donatısı olarak yerleştirilmiştir. Mesnetlerde oluşan negatif momenti karşılamak üzere gerekirse ek donatılar koyulmuştur. Mesnet hesap momenti bulunurken

$$M_d = M - V \times a / 3 \quad a: \text{Kolon genişliği} \quad (6.57)$$

bağıntısı ile düzeltmeler yapılmıştır.



Şekil 6.27 Çerçeve kirişi

$$M_d = M_h + N_d \times Y_g \quad (6.58)$$

yazılıarak gerekli hesap momenti elde edilir ve betonarme hesap bu moment ve N<sub>d</sub> kullanılarak yapılır. Yapılan kiriş hesapları tablalı kesitlere ait bağıntılar yardımıyla

yapılmış, fakat BS 40 ve sonraki beton kalitelerinde tarafsız eksenin döşeme kalınlığından küçük olduğu görülmüş ve klasik dikdörtgen kesit hesabı yapılmıştır. Kirişlerde tabla genişliği,

$$b = b_w + 0.8 \times l_{kiriş} / 5 \quad (6.59)$$

yardımıyla hesaplanmıştır. Hesaplanan  $b$  değeri

$$b \leq b_w + 12 \times h_f \quad (6.60)$$

olarak sınırlandırılmıştır.

Tablalı kesitlerin hesabı için izlenecek yol aşağıda özetlenmiştir.

- Tablalı kesitlerin hesabı için

$$m_r = M_d / ( 0.85 \times f_{cd} \times b \times d^2 ) \quad (6.61)$$

bulunarak  $h_f / h$  ve  $b_w / b$  değerlerine bağlı olarak tablolardan  $w$  değerleri okunur.

$$A_s = w \times b \times d / [ f_yd / ( 0.85 \times f_{cd} ) ] \quad (6.62)$$

bağıntısı ile gerekli çekme donatısı alanı bulunur.

## 2. Kayma Hesabı

Kirişlerin kayma hesabı yapılırken yapının 1. Deprem bölgesinde bulunması sebebiyle betonun kayma hesabına etkisinin olmadığı düşünülmüştür. Kirişlere etkiyen kesme kuvveti, pilyeler ve etriyeler ile karşılanarak yeterli kayma güvenliğinin sağlanmasına çalışılmıştır. Yapılan kayma hesabının esasları aşağıda özetlenmiştir.

Kirişlerde hesap kesme kuvveti  $V_d$  olarak mesnet yüzünden  $d$  kadar mesafedeki kesme kuvveti değeri kullanılmıştır. Çünkü mesnete çok yakın kesme kuvvetleri beton basıncı

çubukları ile mesnete iletirler. Etriye ve pilyelerin taşıma kapasiteleri toplamı  $V_d$  hesap kesme kuvvetinden büyük olmalıdır.

$V_{ws}$ : Etriye tarafından karşılanan kesme kuvveti,

$V_{wb}$  : Pilyeler tarafından karşılanan kesme kuvveti

olmak üzere

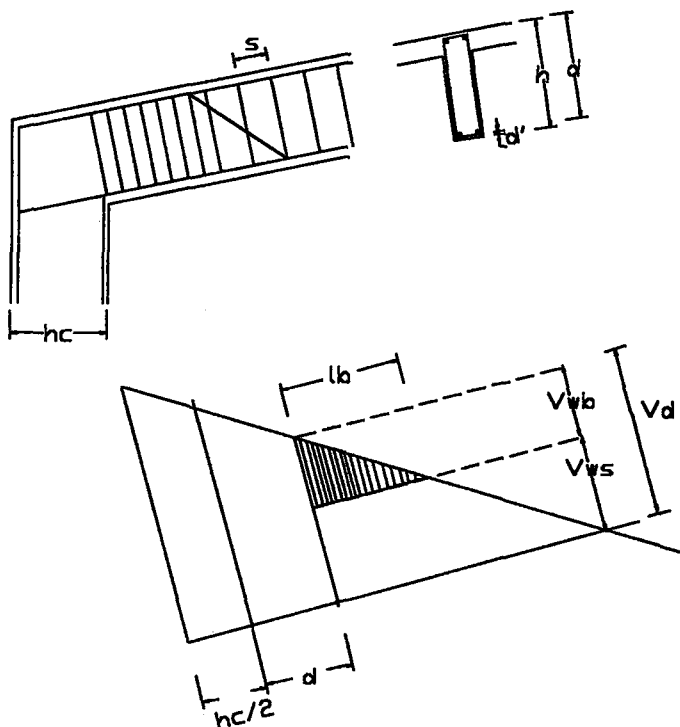
$$V_w = V_{ws} + V_{wb} \quad (6.63)$$

olmalıdır.

$$V_{ws} = d \times A_{ws} \times f_{ywd} / s, \quad A_{ws} = n \times A_o \quad (6.64)$$

Burada  $A_o$  etriyenin kesit alanını,  $s$  etriye aralığını ve  $n$  etriyenin eğik çekme gerilmelerini taşımadaki etkili kol sayısını göstermektedir.

Etriye tarafından taşıdığı kesme kuvvetinin dışında kalan kesme kuvvetini pilyelerin taşıdığı düşünülebilir.



Sekil 6.28 Kesme kuvvetinin karşılanması

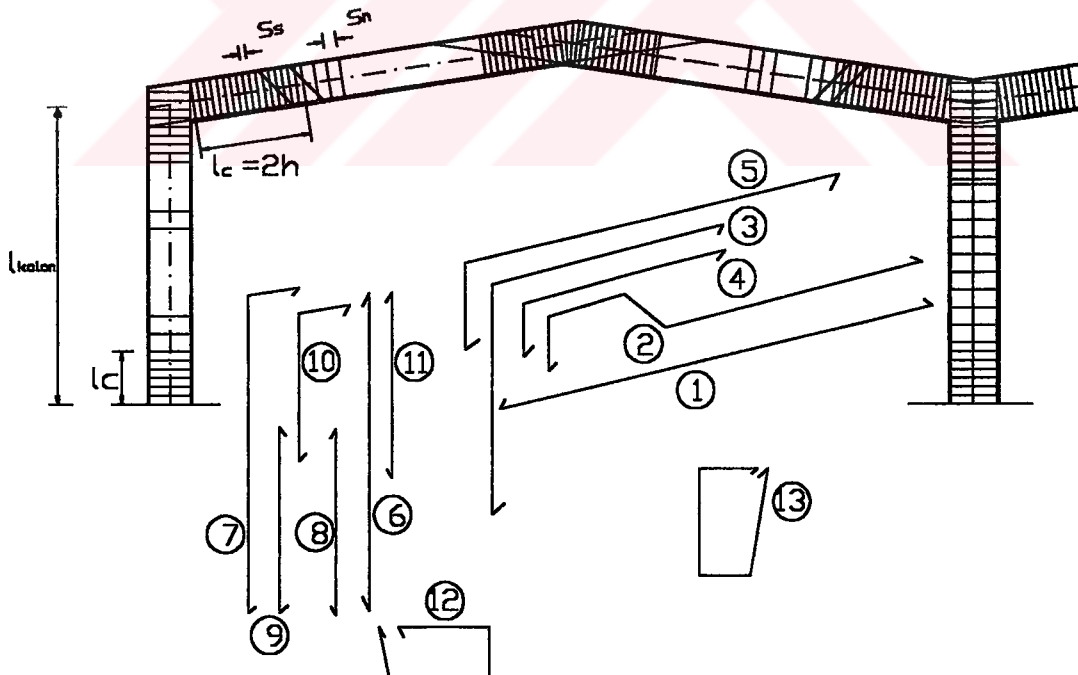
Şekil 6 . 28'da kesme kuvveti sözkonusu çalışmadaki gibi üçgen değişim gösteren bir kirişte kesme kuvvetinin paylaşılarak taşınması gösterilmiştir. Pilyeler tarafından karşılanması gereken kesme kuvveti

$$V_{wb} = A_{wb} \times f_{yd} \times d / (\beta \times l_b) \quad (6.65)$$

bağıntısı yardımıyla bulunur.  $A_{wb}$  pilyenin kesit alanını göstermektedir. Kesme kuvveti diyagramı Şekil 6.28'daki gibi üçgen değişim gösteriyorsa  $\beta = 0.5$  olarak alınmalıdır.

Kirişlerde  $b_w$  genişliği 40 cm.'den büyük ise dört kollu etriye kullanılması uygun görülmüştür.

Bu açıklamalar ışığında kiriş ve kolonlardaki donatı düzeni ve yapılması gereken kontroller aşağıda verilmiştir.



Şekil 6.29 Çerçeve standart donatı şeması

$$\min \rho = 12 / f_{yd} \leq \rho = A_s / (b_w \times d) \quad (6.66)$$

$$\min \rho_w = 0.30 \times f_{ctd} / f_{ywd} \leq \rho_w = A_{sw} / (b_w \times s) \quad (6.67)$$

$$V_{cr} = 0.65 \times f_{ctd} \times b_w \times d > V_d \text{ ise minimum etriye konur.} \quad (6.68)$$

$$V_{cr} = 0.65 \times f_{ctd} \times b_w \times d \leq V_d \text{ ise kayma hesabı yapılır.} \quad (6.69)$$

$$V_d \leq V_r = 0.25 \times f_{cd} \times b_w \times d \text{ olmalı.} \quad (6.70)$$

$$\begin{aligned} & d / 2 \\ s_n \leq & b_w \\ & 30 \text{ cm.} \end{aligned} \quad (6.71)$$

$$\begin{aligned} s_s \leq & h / 4 \\ & 15 \text{ cm.} \end{aligned} \quad (6.72)$$

$$\text{Kirişlerde sargı bölgesi } l_c = 2 \times h \quad (6.73)$$

alınmalıdır. Ayrıca kirişlerde maksimum donatının belirlenmesi bakımından aşağıda verilen donatı oranları dikkate alınmıştır.[8, s 127]

$\rho_b$  : Dengeli donatı oranı

$\rho_m$  : Sünek davranışın sağlanabilmesi için koyulan maksimum donatı oranı

$\rho_d$  : Deprem bölgelerinde gerekli süneklik için koyulan maksimum donatı oranı

$\rho_l$  : Sehim denetimi sınırı donatı oranı

Tablo 6.17 BS16, BC III için kolon hesabı

|            |                          |             |                          |
|------------|--------------------------|-------------|--------------------------|
| $f_{cd} =$ | 110 Kgf/cm <sup>2</sup>  | $f_{ywd} =$ | 3650 Kgf/cm <sup>2</sup> |
| $f_{yd} =$ | 3650 Kgf/cm <sup>2</sup> |             |                          |

| KENAR<br>KOLON | ORTA<br>KOLON | I kenar<br>(m <sup>4</sup> ) | I orta<br>(m <sup>4</sup> ) |
|----------------|---------------|------------------------------|-----------------------------|
| 45 / 100       | 40 / 70       | 0,0375                       | 0,0072                      |

| K4 VE K7<br>KIRİŞLERİ | K5 VE K6<br>KIRİŞLERİ | I 4,7<br>(m <sup>4</sup> ) | I 5,6<br>(m <sup>4</sup> ) |
|-----------------------|-----------------------|----------------------------|----------------------------|
| 50 / 110              | 50 / 120              | 0,0771                     | 0,0994                     |

**Kenar kolonda**

| $\alpha_a$ | $\alpha_b$ | $k_I(m)$ | $\lambda$ | $E_c(t/m^2)$ | $R_m$  | $E_I(tm^2)$ | $N_k(t)$ | $\beta$ | $M_h(tm)$ | $M_d(tm)$ | $N_d(t)$ | $m_d$ |
|------------|------------|----------|-----------|--------------|--------|-------------|----------|---------|-----------|-----------|----------|-------|
| 0          | 1,32       | 8,0712   | 26,904    | 2700000      | 0,9732 | 20525       | 3109,62  | 1,035   | 152,333   | 157,67    | 62,119   | 0,318 |

| $n_d$ | $w$  | $A_s(cm^2)$ | SEÇİLEN DONATI(cm <sup>2</sup> ) | $\rho$ | $\rho_{min}$ | $\rho_{max}$ | $A_g(cm^2)$         | SEÇİLEN ETRİYE                |
|-------|------|-------------|----------------------------------|--------|--------------|--------------|---------------------|-------------------------------|
| 0,125 | 0,29 | 39,33       | 9 $\Phi$ 24 (40,71)              | 0,0180 | 0,0100       | 0,0300       | 4 $\Phi$ 22 (15,21) | $\Phi$ 8 / 20 ; $\Phi$ 8 / 10 |

**Orta kolonda**

| $\alpha_a$ | $\alpha_b$ | $k_I(m)$ | $\lambda$ | $E_c(t/m^2)$ | $R_m$  | $E_I(tm^2)$ | $N_k(t)$ | $\beta$ | $M_h(tm)$ | $M_d(tm)$ | $N_d(t)$ | $m_d$ |
|------------|------------|----------|-----------|--------------|--------|-------------|----------|---------|-----------|-----------|----------|-------|
| 0          | 0,162      | 7,0452   | 33,55     | 2700000      | 0,9994 | 6158        | 1224,5   | 1,035   | 75,362    | 78,000    | 128,527  | 0,362 |

| $n_d$ | $w$  | $A_s(cm^2)$ | SEÇİLEN DONATI(cm <sup>2</sup> ) | $\rho$ | $\rho_{min}$ | $\rho_{max}$ | $A_g(cm^2)$         | SEÇİLEN ETRİYE                |
|-------|------|-------------|----------------------------------|--------|--------------|--------------|---------------------|-------------------------------|
| 0,417 | 0,32 | 27,00       | 6 $\Phi$ 24 (27,14)              | 0,0194 | 0,0100       | 0,0300       | 4 $\Phi$ 18 (10,18) | $\Phi$ 8 / 20 ; $\Phi$ 8 / 10 |

Tablo 6.18 BS20, BC III için kolon hesabı

|          |                          |           |                          |
|----------|--------------------------|-----------|--------------------------|
| $fcd =$  | 130 Kgf/cm <sup>2</sup>  | $f_ywd =$ | 3650 Kgf/cm <sup>2</sup> |
| $f_yd =$ | 3650 Kgf/cm <sup>2</sup> |           |                          |

| KENAR<br>KOLON | ORTA<br>KOLON | I kenar<br>(m <sup>4</sup> ) | I orta<br>(m <sup>4</sup> ) |
|----------------|---------------|------------------------------|-----------------------------|
| 45 / 100       | 40 / 70       | 0,0375                       | 0,0114                      |

| K4 VE K7<br>KIRİŞLERİ | K5 VE K6<br>KIRİŞLERİ | I 4,7<br>(m <sup>4</sup> ) | I 5,6<br>(m <sup>4</sup> ) |
|-----------------------|-----------------------|----------------------------|----------------------------|
| 40 / 110              | 40 / 120              | 0,0626                     | 0,0800                     |

**Kenar kolonda**

| $\alpha_a$ | $\alpha_b$ | $k_l$ (m) | $\lambda$ | $E_c(t/m^2)$ | $R_m$  | $E_l(t/m^2)$ | $N_{k(t)}$ | $\beta$ | $M_h(tm)$ | $M_d(tm)$ | $N_d(t)$ | $m_d$ |
|------------|------------|-----------|-----------|--------------|--------|--------------|------------|---------|-----------|-----------|----------|-------|
| 0          | 1,63       | 8,4132    | 28,044    | 2850000      | 0,9732 | 21665        | 3020,9     | 1,034   | 152,333   | 157,51    | 62,119   | 0,269 |

| $\eta_d$ | $w$  | $A_s(cm^2)$ | SEÇİLEN DONATI(cm <sup>2</sup> ) | $\rho$ | $\rho_{min}$ | $\rho_{max}$ | $A_g(cm^2)$         | SEÇİLEN ETRİYE                |
|----------|------|-------------|----------------------------------|--------|--------------|--------------|---------------------|-------------------------------|
| 0,106    | 0,23 | 38,86       | 9 $\Phi$ 24 (40,71)              | 0,0180 | 0,0100       | 0,0300       | 4 $\Phi$ 22 (15,21) | $\Phi$ 8 / 20 ; $\Phi$ 8 / 10 |

**Orta kolonda**

| $\alpha_a$ | $\alpha_b$ | $k_l$ (m) | $\lambda$ | $E_c(t/m^2)$ | $R_m$  | $E_l(t/m^2)$ | $N_{k(t)}$ | $\beta$ | $M_h(tm)$ | $M_d(tm)$ | $N_d(t)$ | $m_d$ |
|------------|------------|-----------|-----------|--------------|--------|--------------|------------|---------|-----------|-----------|----------|-------|
| 0          | 0,217      | 7,1136    | 33,87     | 2850000      | 0,9994 | 6500         | 1267,8     | 1,034   | 75,362    | 77,924    | 128,527  | 0,306 |

| $\eta_d$ | $w$  | $A_s(cm^2)$ | SEÇİLEN DONATI(cm <sup>2</sup> ) | $\rho$ | $\rho_{min}$ | $\rho_{max}$ | $A_g(cm^2)$         | SEÇİLEN ETRİYE                |
|----------|------|-------------|----------------------------------|--------|--------------|--------------|---------------------|-------------------------------|
| 0,353    | 0,25 | 24,93       | 8 $\Phi$ 20 (25,14)              | 0,0180 | 0,0100       | 0,0300       | 4 $\Phi$ 18 (10,18) | $\Phi$ 8 / 20 ; $\Phi$ 8 / 10 |

Tablo 6.19 BS25, BC III için kolon hesabı

|         |                          |          |                          |
|---------|--------------------------|----------|--------------------------|
| $fcd =$ | 170 Kgf/cm <sup>2</sup>  | $fywd =$ | 3650 Kgf/cm <sup>2</sup> |
| $fyd =$ | 3650 Kgf/cm <sup>2</sup> |          |                          |

| KENAR KOLON | ORTA KOLON | I kenar ( $m_4$ ) | I orta ( $m_4$ ) |
|-------------|------------|-------------------|------------------|
| 40 / 100    | 40 /70     | 0,0333            | 0,0114           |

| K4 VE K7 | K5 VE K6 KIRİŞLERİ | I <sub>4,7</sub> ( $m_4$ ) | I <sub>5,6</sub> ( $m_4$ ) |
|----------|--------------------|----------------------------|----------------------------|
| 35 /105  | 40 /110            | 0,0530                     | 0,0950                     |

**Kenar kolonda**

| $\alpha_a$ | $\alpha_b$ | $k_l(m)$ | $\lambda$ | $E_c(t/m^2)$ | $R_m$  | $E_l(t/m^2)$ | $N_k(t)$ | $\beta$ | $M_h(t/m)$ | $M_d(t/m)$ | $N_d(t)$ | $m_d$ |
|------------|------------|----------|-----------|--------------|--------|--------------|----------|---------|------------|------------|----------|-------|
| 0          | 1,705      | 8,345    | 27,816    | 3025000      | 0,9732 | 20420        | 2894,2   | 1,037   | 152,333    | 152,97     | 62,119   | 0,232 |

| $n_d$ | $w$  | $A_s(cm^2)$ | SEÇİLEN DONATIL(cm <sup>2</sup> ) | $\rho$ | $\rho_{min}$ | $\rho_{max}$ | $A_g(cm^2)$         | SEÇİLEN ETRİYE                |
|-------|------|-------------|-----------------------------------|--------|--------------|--------------|---------------------|-------------------------------|
| 0,09  | 0,21 | 39,12       | 9 $\Phi$ 24 (40,71)               | 0,0204 | 0,0100       | 0,0300       | 4 $\Phi$ 22 (15,21) | $\Phi$ 8 / 20 ; $\Phi$ 8 / 10 |

**Orta kolonda**

| $\alpha_a$ | $\alpha_b$ | $k_l(m)$ | $\lambda$ | $E_c(t/m^2)$ | $R_m$  | $E_l(t/m^2)$ | $N_k(t)$ | $\beta$ | $M_h(t/m)$ | $M_d(t/m)$ | $N_d(t)$ | $m_d$ |
|------------|------------|----------|-----------|--------------|--------|--------------|----------|---------|------------|------------|----------|-------|
| 0          | 0,262      | 7,182    | 34,2      | 3025000      | 0,9994 | 6899         | 1320,1   | 1,037   | 75,362     | 78,150     | 128,527  | 0,235 |

| $n_d$ | $w$   | $A_s(cm^2)$ | SEÇİLEN DONATIL(cm <sup>2</sup> ) | $\rho$ | $\rho_{min}$ | $\rho_{max}$ | $A_g(cm^2)$        | SEÇİLEN ETRİYE                |
|-------|-------|-------------|-----------------------------------|--------|--------------|--------------|--------------------|-------------------------------|
| 0,270 | 0,170 | 22,17       | 6 $\Phi$ 22 (22,81)               | 0,0163 | 0,0100       | 0,0300       | 4 $\Phi$ 16 (8,04) | $\Phi$ 8 / 20 ; $\Phi$ 8 / 10 |

Tablo 6.20 BS30, BC III için kolon hesabı

|            |                         |             |                          |
|------------|-------------------------|-------------|--------------------------|
| $f_{cd} =$ | 200 Kg/cm <sup>2</sup>  | $f_{yw}d =$ | 3650 Kgf/cm <sup>2</sup> |
| $f_{yd} =$ | 3650 Kg/cm <sup>2</sup> |             |                          |

| KENAR KOLON | ORTA KOLON | I kenar ( $m_4$ ) | I orta ( $m_4$ ) |
|-------------|------------|-------------------|------------------|
| 40 / 100    | 40 /65     | 0,0333            | 0,0092           |

| K4 VE K7  | K5 VE K6  | I 4,7     | I 5,6     |
|-----------|-----------|-----------|-----------|
| KIRİSLERİ | KIRİSLERİ | ( $m_4$ ) | ( $m_4$ ) |

|        |         |        |        |
|--------|---------|--------|--------|
| 35 /95 | 40 /105 | 0,0395 | 0,0606 |
|--------|---------|--------|--------|

**Kenar kolonda**

| $\alpha_a$ | $\alpha_b$ | $k_I(m)$ | $\lambda$ | $E_c(t/m^2)$ | $R_m$  | $E_l(t/m^2)$ | $N_k(t)$ | $\beta$ | $M_h(tm)$ | $M_d(tm)$ | $N_d(t)$ | $m_d$ |
|------------|------------|----------|-----------|--------------|--------|--------------|----------|---------|-----------|-----------|----------|-------|
| 0          | 2,288      | 8,892    | 29,64     | 3180000      | 0,9732 | 21466        | 2679,5   | 1,040   | 152,333   | 158,43    | 62,119   | 0,198 |

| $\eta_d$ | $w$   | $A_s(cm^2)$ | SEÇİLEN DONATI( $cm^2$ ) | $\rho$ | $\rho_{min}$ | $\rho_{max}$ | $A_g(cm^2)$   | SEÇİLEN ETRİYE      |
|----------|-------|-------------|--------------------------|--------|--------------|--------------|---------------|---------------------|
| 0,078    | 0,175 | 38,56       | 9Φ 24 (40,71)            | 0,0210 | 0,0100       | 0,0300       | 4Φ 22 (15,21) | Φ 8 / 20 ; Φ 8 / 10 |

**Orta kolonda**

| $\alpha_a$ | $\alpha_b$ | $k_I(m)$ | $\lambda$ | $E_c(t/m^2)$ | $R_m$  | $E_l(t/m^2)$ | $N_k(t)$ | $\beta$ | $M_h(tm)$ | $M_d(tm)$ | $N_d(t)$ | $m_d$ |
|------------|------------|----------|-----------|--------------|--------|--------------|----------|---------|-----------|-----------|----------|-------|
| 0          | 0,247      | 7,119    | 36,51     | 3180000      | 0,9994 | 5822         | 1133,8   | 1,040   | 75,362    | 78,376    | 128,527  | 0,232 |

| $\eta_d$ | $w$   | $A_s(cm^2)$ | SEÇİLEN DONATI( $cm^2$ ) | $\rho$ | $\rho_{min}$ | $\rho_{max}$ | $A_g(cm^2)$   | SEÇİLEN ETRİYE      |
|----------|-------|-------------|--------------------------|--------|--------------|--------------|---------------|---------------------|
| 0,247    | 0,175 | 24,93       | 8Φ 20 (25,14)            | 0,0193 | 0,0100       | 0,0300       | 4Φ 18 (10,18) | Φ 8 / 20 ; Φ 8 / 10 |

Tablo 6.21 BS35, BC III için kolon hesabı

|  |  |            |                         |             |                         |
|--|--|------------|-------------------------|-------------|-------------------------|
|  |  | $f_{cd} =$ | 230 Kg/cm <sup>2</sup>  | $f_{ywd} =$ | 3650 Kg/cm <sup>2</sup> |
|  |  | $f_{yd} =$ | 3650 Kg/cm <sup>2</sup> |             |                         |

| KENAR KOLON | ORTA KOLON | I kenar ( $m_4$ ) | I orta ( $m_4$ ) |
|-------------|------------|-------------------|------------------|
| 40 / 90     | 40 / 65    | 0,0243            | 0,0092           |

| K4 VE K7 KIRİŞLERİ | K5 VE K6 KIRİŞLERİ | I 4,7 ( $m_4$ ) | I 5,6 ( $m_4$ ) |
|--------------------|--------------------|-----------------|-----------------|
| 35 / 90            | 40 / 95            | 0,0336          | 0,0452          |

**Kenar kolonda**

| $\alpha_a$ | $\alpha_b$ | $kI(m)$ | $\lambda$ | $E_c(t/m^2)$ | $R_m$  | $E I(t/m^2)$ | $N_k(t)$ | $\beta$ | $M_h(tm)$ | $M_d(tm)$ | $N_d(t)$ | $m_d$ |
|------------|------------|---------|-----------|--------------|--------|--------------|----------|---------|-----------|-----------|----------|-------|
| 0          | 1,962      | 8,550   | 31,67     | 3320000      | 0,9732 | 16354        | 2208     | 1,048   | 152,333   | 159,65    | 62,119   | 0,214 |

| $n_d$ | $w$   | $A_s(cm^2)$ | SEÇİLEN DONATIL(cm <sup>2</sup> ) | $\rho$ | $\rho_{min}$ | $\rho_{max}$ | $A_g(cm^2)$         | SEÇİLEN ETRİYE                |
|-------|-------|-------------|-----------------------------------|--------|--------------|--------------|---------------------|-------------------------------|
| 0,075 | 0,190 | 43,10       | 10 $\Phi$ 24 (45,24)              | 0,0251 | 0,0100       | 0,0300       | 4 $\Phi$ 22 (15,21) | $\Phi$ 8 / 20 ; $\Phi$ 8 / 10 |

**Orta kolonda**

| $\alpha_a$ | $\alpha_b$ | $kI(m)$ | $\lambda$ | $E_c(t/m^2)$ | $R_m$  | $E I(t/m^2)$ | $N_k(t)$ | $\beta$ | $M_h(tm)$ | $M_d(tm)$ | $N_d(t)$ | $m_d$ |
|------------|------------|---------|-----------|--------------|--------|--------------|----------|---------|-----------|-----------|----------|-------|
| 0          | 0,311      | 7,250   | 37,18     | 3180000      | 0,9994 | 6077         | 1141     | 1,048   | 75,362    | 78,979    | 128,527  | 0,203 |

| $n_d$ | $w$   | $A_s(cm^2)$ | SEÇİLEN DONATIL(cm <sup>2</sup> ) | $\rho$ | $\rho_{min}$ | $\rho_{max}$ | $A_g(cm^2)$        | SEÇİLEN ETRİYE                |
|-------|-------|-------------|-----------------------------------|--------|--------------|--------------|--------------------|-------------------------------|
| 0,215 | 0,135 | 22,12       | 6 $\Phi$ 22 (22,81)               | 0,0175 | 0,0100       | 0,0300       | 4 $\Phi$ 16 (8,04) | $\Phi$ 8 / 20 ; $\Phi$ 8 / 10 |

Tablo 6.22 BS40, BC III için kolon hesabı

|            |                          |             |                          |
|------------|--------------------------|-------------|--------------------------|
| $f_{cd} =$ | 270 Kgf/cm <sup>2</sup>  | $f_{yw}d =$ | 3650 Kgf/cm <sup>2</sup> |
| $f_{yd} =$ | 3650 Kgf/cm <sup>2</sup> |             |                          |

| KENAR<br>KOLON | ORTA<br>KOLON | I kenar<br>(m <sup>4</sup> ) | I orta<br>(m <sup>4</sup> ) |
|----------------|---------------|------------------------------|-----------------------------|
| 40 / 90        | 40 / 65       | 0,0243                       | 0,0092                      |

| K4 VE K7<br>KIRIŞLERI | K5 VE K6<br>KIRIŞLERI | I 4,7<br>(m <sup>4</sup> ) | I 5,6<br>(m <sup>4</sup> ) |
|-----------------------|-----------------------|----------------------------|----------------------------|
| 35 / 85               | 40 / 90               | 0,0255                     | 0,0384                     |

**Kenar kolonda**

| $\alpha_a$ | $\alpha_b$ | $k_I(m)$ | $\lambda$ | $E_c(t/m^2)$ | $R_m$  | $E \cdot I(t/m^2)$ | $N_k(t)$ | $\beta$ | $M_h(t/m)$ | $M_d(t/m)$ | $N_d(t)$ | $m_d$ |
|------------|------------|----------|-----------|--------------|--------|--------------------|----------|---------|------------|------------|----------|-------|
| 0          | 2,586      | 8,824    | 32,68     | 3455000      | 0,9732 | 17019              | 2157     | 1,048   | 152,333    | 159,65     | 62,119   | 0,182 |

| $n_d$ | w     | $A_s(cm^2)$ | SEÇİLEN DONATI(cm <sup>2</sup> ) | $\rho$ | $\rho_{min}$ | $\rho_{max}$ | $A_g(cm^2)$         | SEÇİLEN ETRİYE                |
|-------|-------|-------------|----------------------------------|--------|--------------|--------------|---------------------|-------------------------------|
| 0,063 | 0,160 | 42,61       | 10 $\Phi$ 24 (45,24)             | 0,0251 | 0,0100       | 0,0300       | 4 $\Phi$ 22 (15,21) | $\Phi$ 8 / 20 ; $\Phi$ 8 / 10 |

**Orta kolonda**

| $\alpha_a$ | $\alpha_b$ | $k_I(m)$ | $\lambda$ | $E_c(t/m^2)$ | $R_m$  | $E \cdot I(t/m^2)$ | $N_k(t)$ | $\beta$ | $M_h(t/m)$ | $M_d(t/m)$ | $N_d(t)$ | $m_d$ |
|------------|------------|----------|-----------|--------------|--------|--------------------|----------|---------|------------|------------|----------|-------|
| 0          | 0,356      | 7,319    | 37,53     | 3455000      | 0,9994 | 6325               | 1165     | 1,048   | 75,632     | 78,979     | 128,527  | 0,173 |

| $n_d$ | w     | $A_s(cm^2)$ | SEÇİLEN DONATI(cm <sup>2</sup> ) | $\rho$ | $\rho_{min}$ | $\rho_{max}$ | $A_g(cm^2)$        | SEÇİLEN ETRİYE                |
|-------|-------|-------------|----------------------------------|--------|--------------|--------------|--------------------|-------------------------------|
| 0,182 | 0,120 | 19,66       | 8 $\Phi$ 18 (20,36)              | 0,0157 | 0,0100       | 0,0300       | 4 $\Phi$ 16 (8,04) | $\Phi$ 8 / 20 ; $\Phi$ 8 / 10 |

Tablo 6.23 BS45, BC III için kolon hesabı

|                       |                       |                              |                             |            |                          |             |                          |
|-----------------------|-----------------------|------------------------------|-----------------------------|------------|--------------------------|-------------|--------------------------|
|                       |                       |                              |                             | $f_{cd} =$ | 300 Kgf/cm <sup>2</sup>  | $f_{ywd} =$ | 3650 Kgf/cm <sup>2</sup> |
|                       |                       |                              |                             | $f_{yd} =$ | 3650 Kgf/cm <sup>2</sup> |             |                          |
| KENAR<br>KOLON        | ORTA<br>KOLON         | I kenar<br>(m <sup>4</sup> ) | I orta<br>(m <sup>4</sup> ) |            |                          |             |                          |
| 40 / 90               | 40 / 60               | 0,0243                       | 0,0072                      |            |                          |             |                          |
| K4 VE K7<br>KIRIŞLERİ | K5 VE K6<br>KIRIŞLERİ | I 4,7<br>(m <sup>4</sup> )   | I 5,6<br>(m <sup>4</sup> )  |            |                          |             |                          |
| 35 / 85               | 40 / 90               | 0,0255                       | 0,0384                      |            |                          |             |                          |

**Kenar kolonda**

| $\alpha_a$ | $\alpha_b$ | $k_I(m)$ | $\lambda$ | $E_c(t/m^2)$ | $R_m$  | $E_l(t/m^2)$ | $N_k(t)$ | $M_h(t/m)$ | $M_d(t/m)$ | $N_d(t)$ | $m_d$  |
|------------|------------|----------|-----------|--------------|--------|--------------|----------|------------|------------|----------|--------|
| 0          | 2,586      | 8,824    | 32,68     | 3580000      | 0,9732 | 17635        | 2236     | 1,049      | 152,333    | 159,80   | 62,119 |

| $n_d$ | $w$   | $A_s(cm^2)$ | SEÇİLEN DONATI(cm <sup>2</sup> ) | $\rho$ | $\rho_{min}$ | $\rho_{max}$ | $A_g(cm^2)$   | SEÇİLEN ETRİYE      |
|-------|-------|-------------|----------------------------------|--------|--------------|--------------|---------------|---------------------|
| 0,058 | 0,145 | 41,42       | 10Φ 24 (45,24)                   | 0,0251 | 0,0100       | 0,0300       | 4Φ 22 (15,21) | Φ 8 / 20 ; Φ 8 / 10 |

**Orta kolonda**

| $\alpha_a$ | $\alpha_b$ | $k_I(m)$ | $\lambda$ | $E_c(t/m^2)$ | $R_m$  | $E_l(t/m^2)$ | $N_k(t)$ | $M_h(t/m)$ | $M_d(t/m)$ | $N_d(t)$ | $m_d$   |
|------------|------------|----------|-----------|--------------|--------|--------------|----------|------------|------------|----------|---------|
| 0          | 0,280      | 7,250    | 40,28     | 3580000      | 0,9994 | 5157         | 968      | 1,049      | 75,362     | 79,055   | 128,527 |

| $n_d$ | $w$   | $A_s(cm^2)$ | SEÇİLEN DONATI(cm <sup>2</sup> ) | $\rho$ | $\rho_{min}$ | $\rho_{max}$ | $A_g(cm^2)$   | SEÇİLEN ETRİYE      |
|-------|-------|-------------|----------------------------------|--------|--------------|--------------|---------------|---------------------|
| 0,178 | 0,120 | 23,67       | 8Φ 20 (25,14)                    | 0,0210 | 0,0100       | 0,0300       | 4Φ 18 (10,18) | Φ 8 / 20 ; Φ 8 / 10 |

Tablo 6.24 BS50, BC III için kolon hesabı

|            |                          |             |                          |
|------------|--------------------------|-------------|--------------------------|
| $f_{cd} =$ | 330 Kgf/cm <sup>2</sup>  | $f_{ywq} =$ | 3650 Kgf/cm <sup>2</sup> |
| $f_{yd} =$ | 3650 Kgf/cm <sup>2</sup> |             |                          |

| KENAR<br>KOLON | ORTA<br>KOLON | I kenar<br>(m <sub>4</sub> ) | I orta<br>(m <sub>4</sub> ) |
|----------------|---------------|------------------------------|-----------------------------|
| 40 / 85        | 40 / 60       | 0,0241                       | 0,0072                      |

| K4 VE K7<br>KIRIŞLERİ | K5 VE K6<br>KIRIŞLERİ | I 4,7<br>(m <sub>4</sub> ) | I 5,6<br>(m <sub>4</sub> ) |
|-----------------------|-----------------------|----------------------------|----------------------------|
| 35 / 80               | 40 / 85               | 0,0249                     | 0,0323                     |

**Kenar kolonda**

| $\alpha_a$ | $\alpha_b$ | $k_I(m)$ | $\lambda$ | $E_c(t/m^2)$ | $R_m$  | $E \cdot I(tm^2)$ | $N_k(t)$ | $M_h(tm)$ | $M_d(tm)$ | $N_d(t)$ | $m_d$  |       |
|------------|------------|----------|-----------|--------------|--------|-------------------|----------|-----------|-----------|----------|--------|-------|
| 0          | 2,626      | 9,063    | 35,54     | 3695000      | 0,9732 | 18052             | 2169     | 1,048     | 152,333   | 159,65   | 62,119 | 0,167 |

| $n_d$ | $w$   | $A_s(cm^2)$ | SEÇİLEN DONATIL(cm <sup>2</sup> ) | $\rho$ | $\rho_{min}$ | $\rho_{max}$ | $A_g(cm^2)$    | SEÇİLEN ETRİYE      |
|-------|-------|-------------|-----------------------------------|--------|--------------|--------------|----------------|---------------------|
| 0,055 | 0,145 | 44,57       | 10 Φ 24 (45,24)                   | 0,0266 | 0,0100       | 0,0300       | 4 Φ 22 (15,21) | Φ 8 / 20 ; Φ 8 / 10 |

**Orta kolonda**

| $\alpha_a$ | $\alpha_b$ | $k_I(m)$ | $\lambda$ | $E_c(t/m^2)$ | $R_m$  | $E \cdot I(tm^2)$ | $N_k(t)$ | $M_h(tm)$ | $M_d(tm)$ | $N_d(t)$ | $m_d$   |       |
|------------|------------|----------|-----------|--------------|--------|-------------------|----------|-----------|-----------|----------|---------|-------|
| 0          | 0,330      | 7,250    | 40,28     | 3695000      | 0,9994 | 5322              | 999,3    | 1,048     | 75,362    | 78,979   | 128,527 | 0,166 |

| $n_d$ | $w$   | $A_s(cm^2)$ | SEÇİLEN DONATIL(cm <sup>2</sup> ) | $\rho$ | $\rho_{min}$ | $\rho_{max}$ | $A_g(cm^2)$   | SEÇİLEN ETRİYE      |
|-------|-------|-------------|-----------------------------------|--------|--------------|--------------|---------------|---------------------|
| 0,162 | 0,105 | 22,78       | 6 Φ 22 (22,81)                    | 0,0190 | 0,0100       | 0,0300       | 4 Φ 16 (8,04) | Φ 8 / 20 ; Φ 8 / 10 |

**Tablo 6.25 BS16, BÇ III için K4 ve K7 kirişleri hesabı**

| Acıklıkta hesap |            |       |       |                      |                    |       |         | $f_ywd =$      | 3650 Kgf/cm <sup>2</sup> |             |         |              |
|-----------------|------------|-------|-------|----------------------|--------------------|-------|---------|----------------|--------------------------|-------------|---------|--------------|
|                 |            |       |       |                      |                    |       |         | $fcd =$        | 110 Kgf/cm <sup>2</sup>  |             |         |              |
|                 |            |       |       |                      |                    |       |         | $f_yd =$       | 3650 Kgf/cm <sup>2</sup> |             |         |              |
| Kiriş NO        | $b_w$ (cm) | d(cm) | b(cm) | M <sub>d</sub> (tcm) | N <sub>d</sub> (t) | h/r   | $b_w/b$ | m <sub>r</sub> | w                        | $A_s(cm^2)$ | $\rho$  | $\rho_{min}$ |
| K4,K7           | 50         | 105   | 170   | 10678                | 44,39              | 0,091 | 0,294   | 0,061          | 0,064                    | 16,92       | 0,00322 | 0,00328      |

| SEÇİLEN DONATI(cm <sup>2</sup> ) | Ag(cm <sup>2</sup> ) |
|----------------------------------|----------------------|
| 4 Φ18düz+3Φ18pilye(17,81)        | 6 Φ 12(6,79)         |

Mesnette hesap

| MESNET NO | b <sub>w</sub> (cm) | d(cm) | b(cm) | M <sub>d</sub> (tcm) | N <sub>d</sub> (t) | K <sub>d</sub> | K <sub>s</sub> | x(cm)  | A <sub>s</sub> (cm <sup>2</sup> ) | MEVCUT DONATI(cm <sup>2</sup> ) | EK(cm <sup>2</sup> ) |
|-----------|---------------------|-------|-------|----------------------|--------------------|----------------|----------------|--------|-----------------------------------|---------------------------------|----------------------|
| M2,M7     | 50                  | 105   | 170   | 15589                | 53,60              | 1,8805         | 3,439          | 53,025 | 36,37                             | 4Φ12+3Φ18(12,15)                | 6Φ24(27,14)          |

Kayma hesabı

| $V_{cr(t)}$ | $V_d(t)$ | $V_r(t)$ | $l_c(cm)$ | $s_s(cm)$ | $s_n(cm)$ | $Etriy\epsilon$ | $V_{ws(t)}$ | $\rho$  | $\rho_{min}$ | $V_{wb(t)}$ | $V_w(t)$ |
|-------------|----------|----------|-----------|-----------|-----------|-----------------|-------------|---------|--------------|-------------|----------|
| 30,71       | 44,62    | 144,38   | 220       | 15        | 30        | $\Phi$ 10       | 40,37       | 0,00210 | 0,00074      | 157,87      | 198,24   |

Tablo 6.26 BS20, BC III için K4 ve K7 kırışları hesabı

$$\begin{aligned} f_{cd} &= 130 \text{ Kgf/cm}^2 \\ f_{yd} &= 3650 \text{ Kgf/cm}^2 \end{aligned}$$

**Açıklıkta hesap**

| KIR Ş NO | $b_w(\text{cm})$ | $d(\text{cm})$ | $b(\text{cm})$ | $M_d(\text{tcm})$ | $N_d(t)$ | $h/t/h$ | $b_w/b$ | $m_r$ | $w$   | $A_s(\text{cm}^2)$ | $\rho$  | $\rho_{\min}$ |
|----------|------------------|----------------|----------------|-------------------|----------|---------|---------|-------|-------|--------------------|---------|---------------|
| K4,K7    | 40               | 105            | 160            | 10756             | 44,39    | 0,091   | 0,250   | 0,055 | 0,058 | 17,08              | 0,00407 | 0,00328       |

| SEÇİLEN DONATI( $\text{cm}^2$ ) | $A_g(\text{cm}^2)$ |
|---------------------------------|--------------------|
| 4 Φ18düz+3Φ18pilye(17,81)       | 6 Φ 12(6,79)       |

**Mesnette hesap**

| MESNET NO | $b_w(\text{cm})$ | $d(\text{cm})$ | $b(\text{cm})$ | $M_d(\text{tcm})$ | $N_d(t)$ | $K_d$ | $K_s$ | $x(\text{cm})$ | $A_s(\text{cm}^2)$ | MEVCUT DONATI( $\text{cm}^2$ ) | EK( $\text{cm}^2$ ) |
|-----------|------------------|----------------|----------------|-------------------|----------|-------|-------|----------------|--------------------|--------------------------------|---------------------|
| M2,M7     | 40               | 105            | 160            | 15495             | 53,60    | 1,687 | 3,431 | 52,50          | 35,95              | 3Φ12+3Φ18(11,02)               | 6Φ24(27,14)         |

**Kayma hesabı**

| $V_{cr}(t)$ | $V_d(t)$ | $V_r(t)$ | $I_c(\text{cm})$ | $s_s(\text{cm})$ | $s_n(\text{cm})$ | $E_{trije}$ | $V_{ws}(t)$ | $\rho$  | $\rho_{\min}$ | $V_{wb}(t)$ | $V_w(t)$ |
|-------------|----------|----------|------------------|------------------|------------------|-------------|-------------|---------|---------------|-------------|----------|
| 27,30       | 44,62    | 136,5    | 220              | 15               | 24               | Φ 10        | 25,07       | 0,00160 | 0,00082       | 20,46       | 45,53    |

Tablo 6.27 BS25, BC III için K4 ve K7 kırışları hesabı

| Açıklıkta hesap                 |                    |                |                |                  |          |         | $f_{cd} = 170 \text{ Kg/cm}^2$ | $f_{yd} = 3650 \text{ Kg/cm}^2$ | $f_{yw}d = 3650 \text{ Kg/cm}^2$ |                                |                     |               |          |
|---------------------------------|--------------------|----------------|----------------|------------------|----------|---------|--------------------------------|---------------------------------|----------------------------------|--------------------------------|---------------------|---------------|----------|
| KIRIŞ NO                        | $b_w(\text{cm})$   | $d(\text{cm})$ | $b(\text{cm})$ | $M_d(\text{cm})$ | $N_d(t)$ | $h_f/h$ | $b_w/b$                        | $m_r$                           | $w$                              | $A_s(\text{cm}^2)$             | $\rho$              | $\rho_{\min}$ |          |
| K4,K7                           | 35                 | 100            | 155            | 10688            | 44,39    | 0,095   | 0,226                          | 0,048                           | 0,050                            | 18,21                          | 0,00520             | 0,00328       |          |
| SEÇilen DONATI( $\text{cm}^2$ ) | $A_g(\text{cm}^2)$ |                |                |                  |          |         |                                |                                 |                                  |                                |                     |               |          |
| 3Φ20düz+3Φ20pilye(18,84)        | 6 Φ 12(6,79)       |                |                |                  |          |         |                                |                                 |                                  |                                |                     |               |          |
| Mesnette hesap                  |                    |                |                |                  |          |         | $\rho_b$                       | $\rho_m$                        | $\rho_d$                         | $\rho_l$                       |                     |               |          |
| MESNET NO                       | $b_w(\text{cm})$   | $d(\text{cm})$ | $b(\text{cm})$ | $M_d(\text{cm})$ | $N_d(t)$ | $K_d$   | $k_s$                          | $x(\text{cm})$                  | $A_s(\text{cm}^2)$               | MEVCUT DONATI( $\text{cm}^2$ ) | EK( $\text{cm}^2$ ) |               |          |
| M2,M7                           | 35                 | 100            | 155            | 15308            | 53,60    | 1,5121  | 3,429                          | 49,79                           | 37,81                            | 3Φ12+3Φ20(12,81)               | 6Φ24(27,14)         |               |          |
| Kayma hesabi                    |                    |                |                |                  |          |         | $V_{cr}(t)$                    | $V_d(t)$                        | $V_r(t)$                         | $V_{ws}(t)$                    | $\rho$              | $\rho_{\min}$ |          |
| 26,16                           | 44,97              | 148,75         | 210            | 15               | 24       | Φ 10    | 23,88                          | 0,00190                         | 0,00095                          | 22,30                          | 46,18               | $V_{wb}(t)$   | $V_w(t)$ |

Tablo 6.28 BS30, BC III için K4 ve K7 kirişleri hesabi

|                                   |       | fcd= 200 Kg/cm <sup>2</sup>  | fywd= 3650 Kg/cm <sup>2</sup> |
|-----------------------------------|-------|------------------------------|-------------------------------|
|                                   |       | fcd= 3650 Kg/cm <sup>2</sup> | fyd= 3650 Kg/cm <sup>2</sup>  |
| <b>Açıklıkta hesap</b>            |       |                              |                               |
| KIRIŞ NO                          |       |                              |                               |
| b <sub>w</sub> (cm)               |       |                              |                               |
| d(cm)                             |       |                              |                               |
| b(cm)                             |       |                              |                               |
| M <sub>d</sub> (cm)               |       |                              |                               |
| N <sub>d(t)</sub>                 |       |                              |                               |
| h <sub>t/h</sub>                  |       |                              |                               |
| b <sub>w/b</sub>                  |       |                              |                               |
| m <sub>r</sub>                    |       |                              |                               |
| w                                 |       |                              |                               |
| A <sub>s</sub> (cm <sup>2</sup> ) |       |                              |                               |
| ρ                                 |       |                              |                               |
| ρ <sub>min</sub>                  |       |                              |                               |
| K4,K7                             |       |                              |                               |
| 35                                | 90    | 155                          | 10448                         |
|                                   |       |                              | 44,39                         |
|                                   |       |                              | 0,105                         |
|                                   |       |                              | 0,226                         |
|                                   |       |                              | 0,049                         |
|                                   |       |                              | 0,051                         |
|                                   |       |                              | 20,91                         |
|                                   |       |                              | 0,00664                       |
|                                   |       |                              | 0,00328                       |
| SEÇİLEN DONATI(cm <sup>2</sup> )  |       |                              |                               |
| A <sub>g</sub> (cm <sup>2</sup> ) |       |                              |                               |
| 3Φ22düz+3Φ22pilye(22,81)          |       |                              |                               |
| 6 Φ 12(6,79)                      |       |                              |                               |
| Mesnette hesap                    |       |                              |                               |
| MESNET NO                         |       |                              |                               |
| b <sub>w</sub> (cm)               |       |                              |                               |
| d(cm)                             |       |                              |                               |
| b(cm)                             |       |                              |                               |
| M <sub>d</sub> (cm)               |       |                              |                               |
| N <sub>d(t)</sub>                 |       |                              |                               |
| K <sub>d</sub>                    |       |                              |                               |
| K <sub>s</sub>                    |       |                              |                               |
| x(cm)                             |       |                              |                               |
| A <sub>s</sub> (cm <sup>2</sup> ) |       |                              |                               |
| MEVCUT DONATI(cm <sup>2</sup> )   |       |                              |                               |
| EK(cm <sup>2</sup> )              |       |                              |                               |
| M2,M7                             | 35    | 90                           | 155                           |
|                                   |       |                              | 15063                         |
|                                   |       |                              | 53,60                         |
|                                   |       |                              | 1,3719                        |
|                                   |       |                              | 3,445                         |
|                                   |       |                              | 45,72                         |
|                                   |       |                              | 42,97                         |
|                                   |       |                              | 3Φ12+3Φ22(18,60)              |
|                                   |       |                              | 6Φ26(31,86)                   |
| Kayma hesabi                      |       |                              |                               |
| V <sub>c(t)</sub>                 |       | V <sub>d(t)</sub>            |                               |
| V <sub>r(t)</sub>                 |       | V <sub>l(t)</sub>            |                               |
| I <sub>c</sub> (cm)               |       | s <sub>s</sub> (cm)          |                               |
| s <sub>n</sub> (cm)               |       | Etriyə                       |                               |
| V <sub>ws(t)</sub>                |       | V <sub>ws(t)</sub>           |                               |
| ρ                                 |       | ρ                            |                               |
| ρ <sub>min</sub>                  |       | V <sub>wb(t)</sub>           |                               |
| V <sub>w(t)</sub>                 |       | V <sub>w(t)</sub>            |                               |
| 25,59                             | 45,66 | 157,50                       | 190                           |
|                                   |       |                              | 15                            |
|                                   |       |                              | 30                            |
|                                   |       |                              | Φ 12                          |
|                                   |       |                              | 24,76                         |
|                                   |       |                              | 0,00210                       |
|                                   |       |                              | 0,00100                       |
|                                   |       |                              | 24,51                         |
|                                   |       |                              | 49,27                         |

Tablo 6.29 BS35, BC III için K4 ve K7 kirişleri hesabı

|            |                         |
|------------|-------------------------|
| $f_{cd} =$ | 230 Kg/cm <sup>2</sup>  |
| $f_{yd} =$ | 3650 Kg/cm <sup>2</sup> |

## Açıklıkta hesap

| KIRIŞ NO | $b_w$ (cm) | d(cm) | b(cm) | $M_d$ (tcm) | $N_d(t)$ | $h/h$ | $b_w/b$ | $m_r$ | w     | $A_s$ (cm <sup>2</sup> ) | $\rho$  | $\rho_{min}$ |
|----------|------------|-------|-------|-------------|----------|-------|---------|-------|-------|--------------------------|---------|--------------|
| K4,K7    | 35         | 85    | 155   | 10326       | 44,39    | 0,111 | 0,226   | 0,047 | 0,049 | 22,42                    | 0,00754 | 0,00328      |

| SEÇİLEN DONATI(cm <sup>2</sup> ) | $A_g$ (cm <sup>2</sup> ) |
|----------------------------------|--------------------------|
| 3O22düz+3O22pliye(22,81)         | 6 Φ 12(6,79)             |

## Mesnette hesap

| MESNET NO | $b_w$ (cm) | d(cm) | b(cm) | $M_d$ (tcm) | $N_d(t)$ | $K_d$ | $k_s$ | x(cm) | $A_s$ (cm <sup>2</sup> ) | MEVCUT DONATI(cm <sup>2</sup> ) | EK(cm <sup>2</sup> ) |
|-----------|------------|-------|-------|-------------|----------|-------|-------|-------|--------------------------|---------------------------------|----------------------|
| M2,M7     | 35         | 85    | 155   | 15126       | 53,60    | 1,293 | 3,396 | 40,58 | 45,75                    | 3Φ12+3Φ22(18,60)                | 6Φ26(31,86)          |

## Kayma hesabı

| $V_{cr}(t)$ | $V_{cl}(t)$ | $V_r(t)$ | $I_c(cm)$ | $s_s(cm)$ | $s_n(cm)$ | Etirye | $V_{ws}(t)$ | $\rho$  | $\rho_{min}$ | $V_{wb}(t)$ | $V_{w(t)}$ |
|-------------|-------------|----------|-----------|-----------|-----------|--------|-------------|---------|--------------|-------------|------------|
| 26,11       | 46,35       | 171,06   | 180       | 15        | 28        | Φ 12   | 25,05       | 0,00230 | 0,00110      | 22,72       | 47,77      |

Tablo 6.30 BS40, BC III için K4 ve K7 kırışları hesabı

$$\begin{aligned}
 f_{cd} &= 270 \text{ Kgf/cm}^2 \\
 f_{yd} &= 3650 \text{ Kgf/cm}^2 \\
 f_{yw} &= 3650 \text{ Kgf/cm}^2
 \end{aligned}$$

## Açıklıkta hesap

| KIRIŞ NO | $b_w(\text{cm})$ | $d(\text{cm})$ | $b(\text{cm})$ | $M_d(\text{tcm})$ | $N_d(t)$ | $K_d$ | $k_s$ | $x(\text{cm})$ | $A_s(\text{cm}^2)$ | $\rho$  | $\rho_{min}$ |
|----------|------------------|----------------|----------------|-------------------|----------|-------|-------|----------------|--------------------|---------|--------------|
| K4,K7    | 35               | 80             | 155            | 10204             | 44,39    | 3,118 | 2,866 | 9,544          | 24,40              | 0,00871 | 0,00328      |

| SEÇilen DONATI( $\text{cm}^2$ ) | $A_g(\text{cm}^2)$ | $\rho_b$ | $\rho_m$ | $\rho_d$ | $\rho_l$ |
|---------------------------------|--------------------|----------|----------|----------|----------|
| 4Φ22 düz+3Φ22 pilye(26,61)      | 6 Φ 12(6,79)       | 0,02970  | 0,02490  | 0,01780  | 0,01740  |

## Mesnette hesap

| MESNET NO | $b_w(\text{cm})$ | $d(\text{cm})$ | $b(\text{cm})$ | $M_d(\text{tcm})$ | $N_d(t)$ | $K_d$  | $k_s$ | $x(\text{cm})$ | $A_s(\text{cm}^2)$ | $M_{EV CUT DONATI}(\text{cm}^2)$ | $EK(\text{cm}^2)$ |
|-----------|------------------|----------------|----------------|-------------------|----------|--------|-------|----------------|--------------------|----------------------------------|-------------------|
| M2,M7     | 35               | 80             | 155            | 15006             | 53,60    | 1,2218 | 3,380 | 37,44          | 48,72              | 3Φ12+3Φ22(18,60)                 | 6Φ28(36,94)       |

## Kayma hesabı

| $V_{cr}(t)$ | $V_d(t)$ | $V_r(t)$ | $I_c(\text{cm})$ | $s_s(\text{cm})$ | $s_n(\text{cm})$ | $Etriyə$ | $V_{ws}(t)$ | $\rho$ | $\rho_{min}$ | $V_{wb}(t)$ | $V_w(t)$ |
|-------------|----------|----------|------------------|------------------|------------------|----------|-------------|--------|--------------|-------------|----------|
| 26,39       | 46,70    | 189,00   | 170              | 15               | 26               | Φ 12     | 25,39       | 0,0024 | 0,00120      | 21,37       | 46,76    |

Tablo 6.31 BS45, BC III için K4 ve K7 kirişleri hesabı

|            |                          |
|------------|--------------------------|
| $f_{cd} =$ | 300 Kgf/cm <sup>2</sup>  |
| $f_{yd} =$ | 3650 Kgf/cm <sup>2</sup> |

**Açıklıkta hesap**

| KİRİŞ NO | $b_w$ (cm) | d(cm) | b(cm) | $M_d$ (tcm) | $N_d(t)$ | $K_d$ | $k_s$ | x(cm) | $A_s$ (cm <sup>2</sup> ) | $\rho$  | $\rho_{min}$ |
|----------|------------|-------|-------|-------------|----------|-------|-------|-------|--------------------------|---------|--------------|
| K4,K7    | 35         | 80    | 155   | 10204       | 44,39    | 3,118 | 2,859 | 8,720 | 24,31                    | 0,00868 | 0,00328      |

| SEÇİLEN DONATI(cm <sup>2</sup> ) | $A_g$ (cm <sup>2</sup> ) |
|----------------------------------|--------------------------|
| 4Φ22 düz+3Φ22 pilye(26,61)       | 6 Φ 12(6,79)             |

**Mesnette hesap**

| MESNET NO | $b_w$ (cm) | d(cm) | b(cm) | $M_d$ (tcm) | $N_d(t)$ | $K_d$  | $k_s$ | x(cm) | $A_s$ (cm <sup>2</sup> ) | MEVCUT DONATI(cm <sup>2</sup> ) | EK(cm <sup>2</sup> ) |
|-----------|------------|-------|-------|-------------|----------|--------|-------|-------|--------------------------|---------------------------------|----------------------|
| M2,M7     | 35         | 80    | 155   | 15006       | 53,60    | 1,2218 | 3,276 | 32,4  | 46,7646                  | 3Φ12+3Φ22(18,60)                | 6Φ28(36,94)          |

**Kayma hesabı**

| $V_{cr}(t)$ | $V_d(t)$ | $V_r(t)$ | $I_c$ (cm) | $s_s$ (cm) | $s_n$ (cm) | Etriye | $V_{ws}(t)$ | $\rho$  | $\rho_{min}$ | $V_{wb}(t)$ | $V_w(t)$ |
|-------------|----------|----------|------------|------------|------------|--------|-------------|---------|--------------|-------------|----------|
| 28,21       | 46,70    | 210,00   | 170        | 15         | 26         | Φ 12   | 25,39       | 0,00240 | 0,00120      | 21,37       | 46,76    |

Tablo 6.32 BS50, BC III için K4 ve K7 kırışları hesabi

$$\begin{aligned} f_{cd} &= 330 \text{ Kgf/cm}^2 \\ f_{yd} &= 3650 \text{ Kgf/cm}^2 \end{aligned}$$

## Açıklıkta hesap

| KIR Ş NO | $b_w(\text{cm})$ | $d(\text{cm})$ | $b(\text{cm})$ | $M_d(\text{cm})$ | $N_d(t)$ | $K_d$ | $k_s$ | $x(\text{cm})$ | $A_s(\text{cm}^2)$ | $\rho$  | $\rho_{min}$ |
|----------|------------------|----------------|----------------|------------------|----------|-------|-------|----------------|--------------------|---------|--------------|
| K4,K7    | 35               | 75             | 155            | 10204            | 44,39    | 2,941 | 2,860 | 8,520          | 26,75              | 0,01019 | 0,00328      |

| SEÇİLEN DONATI( $\text{cm}^2$ ) | $A_g(\text{cm}^2)$ |
|---------------------------------|--------------------|
| 3Φ24diz+3Φ24pilye(27,14)        | 6 Φ 12(6,79)       |

| $\rho_b$ | $\rho_m$ | $\rho_d$ | $\rho_l$ |
|----------|----------|----------|----------|
| 0,03340  | 0,02830  | 0,02000  | 0,02120  |

## Mesnette hesap

| MESNET NO | $b_w(\text{cm})$ | $d(\text{cm})$ | $b(\text{cm})$ | $M_d(\text{cm})$ | $N_d(t)$ | $K_d$ | $k_s$ | $x(\text{cm})$ | $A_s(\text{cm}^2)$ | MEVCUT DONATI( $\text{cm}^2$ ) | EK( $\text{cm}^2$ ) |
|-----------|------------------|----------------|----------------|------------------|----------|-------|-------|----------------|--------------------|--------------------------------|---------------------|
| M2,M7     | 35               | 75             | 155            | 14887            | 53,60    | 1,150 | 3,278 | 30,94          | 50,38              | 3Φ12+3Φ24(16,96)               | 6Φ28(36,94)         |

## Kayma hesabi

| $V_{cr}(t)$ | $V_{dt}(t)$ | $V_t(t)$ | $I_c(\text{cm})$ | $s_s(\text{cm})$ | $s_n(\text{cm})$ | Etriyə | $V_{ws}(t)$ | $\rho$  | $\rho_{min}$ | $V_{wb}(t)$ | $V_w(t)$ |
|-------------|-------------|----------|------------------|------------------|------------------|--------|-------------|---------|--------------|-------------|----------|
| 28,15       | 47,04       | 216,56   | 150              | 15               | 25               | Φ 12   | 24,75       | 0,00260 | 0,00120      | 22,80       | 47,55    |

Tablo 6.33 BS16, BC III için K5 ve K6 kirişleri hesabı

| Açıklıkta hesap |        |       |       |        |       |       |
|-----------------|--------|-------|-------|--------|-------|-------|
| KIR Ş NO        | bw(cm) | d(cm) | b(cm) | Md(cm) | Nd(t) | hf/h  |
| K5,K6           | 50     | 115   | 170   | 10725  | 45,41 | 0,083 |

| SEÇİLEN DONATI(cm <sup>2</sup> ) | Ag(cm <sup>2</sup> ) |
|----------------------------------|----------------------|
| 3Φ20düz+3Φ20 pilye(18,84)        | 6 Φ 12(6,79)         |

| Mesnette hesap |        |       |       |        |        |        |
|----------------|--------|-------|-------|--------|--------|--------|
| MESNET NO      | bw(cm) | d(cm) | b(cm) | Md(cm) | Nd(t)  | Kd     |
| M4             | 50     | 115   | 170   | 19178  | 53,908 | 1,8569 |

| Kayma hesabı |       |        |        |        |        |            |
|--------------|-------|--------|--------|--------|--------|------------|
| Vcr(t)       | Vd(t) | Vf(t)  | lc(cm) | ss(cm) | sn(cm) | Etriyel    |
| 33,64        | 48,32 | 158,13 | 240    | 15     | 30     | Φ 10 43,93 |

| fcd= 110 Kg/cm <sup>2</sup> | fyd= 3650 Kg/cm <sup>2</sup> | fyyd= 3650 Kg/cm <sup>2</sup> |
|-----------------------------|------------------------------|-------------------------------|
| $\rho_b$                    | $\rho_m$                     | $\rho_d$                      |

Tablo 6.34 BS20, BC III için K5 ve K6 kırışları hesabi

|                                   |       |       |                     |                    |       |                   | $f_{cd} = 130 \text{ Kg/cm}^2$ | $f_{yd} = 3650 \text{ Kg/cm}^2$ | $f_{yw}d = 3650 \text{ Kg/cm}^2$  |
|-----------------------------------|-------|-------|---------------------|--------------------|-------|-------------------|--------------------------------|---------------------------------|-----------------------------------|
| <b>Açıklıkta hesap</b>            |       |       |                     |                    |       |                   |                                |                                 |                                   |
| KIRIŞ NO                          |       |       |                     |                    |       |                   |                                |                                 |                                   |
| K5,K6                             |       |       |                     |                    |       |                   |                                |                                 |                                   |
| b <sub>w</sub> (cm)               | d(cm) | b(cm) | M <sub>d</sub> (cm) | N <sub>d</sub> (t) | h/t/h | b <sub>w</sub> /b | m <sub>r</sub>                 | w                               | A <sub>s</sub> (cm <sup>2</sup> ) |
| 40                                | 115   | 160   | 10808               | 45,41              | 0,083 | 0,250             | 0,046                          | 0,048                           | 14,07                             |
| K5,K6                             |       |       |                     |                    |       |                   |                                |                                 | $\rho$                            |
|                                   |       |       |                     |                    |       |                   |                                |                                 | $\rho_{min}$                      |
| SEÇİLEN DONATI(cm <sup>2</sup> )  |       |       |                     |                    |       |                   |                                |                                 |                                   |
| A <sub>g</sub> (cm <sup>2</sup> ) |       |       |                     |                    |       |                   |                                |                                 |                                   |
| 3Φ18düz+3Φ18pilye(15,26)          |       |       |                     |                    |       |                   |                                |                                 |                                   |
| 6 Φ 12(6,79)                      |       |       |                     |                    |       |                   |                                |                                 |                                   |
| ρ <sub>b</sub>                    |       |       |                     |                    |       |                   |                                |                                 |                                   |
| 0,01600                           |       |       |                     |                    |       |                   |                                |                                 |                                   |
| ρ <sub>m</sub>                    |       |       |                     |                    |       |                   |                                |                                 |                                   |
| 0,01360                           |       |       |                     |                    |       |                   |                                |                                 |                                   |
| ρ <sub>d</sub>                    |       |       |                     |                    |       |                   |                                |                                 |                                   |
| 0,00960                           |       |       |                     |                    |       |                   |                                |                                 |                                   |
| ρ <sub>i</sub>                    |       |       |                     |                    |       |                   |                                |                                 |                                   |
| 0,00840                           |       |       |                     |                    |       |                   |                                |                                 |                                   |

|           |                     |       |       |                     |                    |                | $K_d$ | $k_s$ | $x(cm)$ | $A_s(cm^2)$      | $MEVCUT DONATI(cm^2)$ | $EK(cm^2)$ |
|-----------|---------------------|-------|-------|---------------------|--------------------|----------------|-------|-------|---------|------------------|-----------------------|------------|
| MESNET NO | b <sub>w</sub> (cm) | d(cm) | b(cm) | M <sub>d</sub> (cm) | N <sub>d</sub> (t) | K <sub>d</sub> |       |       |         |                  |                       |            |
| M4        | 40                  | 115   | 160   | 19176,7             | 53,91              | 1,6609         | 3,465 | 59,92 | 43,01   | 3Φ12+6Φ18(18,65) | 5Φ26(26,55)           |            |

**Mesnette hesap**

|             |          |          |           |           |           |        | $V_{ws}(t)$ | $\rho$  | $\rho_{min}$ | $V_{wb}(t)$ | $V_w(t)$ |
|-------------|----------|----------|-----------|-----------|-----------|--------|-------------|---------|--------------|-------------|----------|
| $V_{ct}(t)$ | $V_d(t)$ | $V_r(t)$ | $I_c(cm)$ | $s_s(cm)$ | $s_n(cm)$ | Etriye |             |         |              |             |          |
| 29,90       | 48,50    | 149,50   | 240       | 15        | 30        | Φ 12   | 31,63       | 0,00190 | 0,00082      | 26,23       | 57,86    |

**Tablo 6.35 BS25, BC III için K5 ve K6 kirişleri hesabı**

Açıklıkta hesap

| Kırış NO | $b_w$ (cm) | d(cm) | b(cm) | $M_d$ (t/cm) | $N_d(t)$ | $h/t_h$ | $b_w/b$ | $m_r$ | w     | $A_s(cm^2)$ | $\rho$  | $\beta_{min}$ |
|----------|------------|-------|-------|--------------|----------|---------|---------|-------|-------|-------------|---------|---------------|
| K5,K6    | 40         | 105   | 160   | 10570        | 45,41    | 0,091   | 0,250   | 0,041 | 0,043 | 16,36       | 0,00389 | 0,00328       |

| SEÇİLEN DONATI             | $\text{Ag}(\text{cm}^2)$ |
|----------------------------|--------------------------|
| 4Φ118düz+3Φ18 pilye(17,81) | 6 Φ 12(6,79)             |

Mesnette hesap

| MESNET NO | $b_w$ (cm) | d(cm) | b(cm) | $M_d$ (t/cm) | $N_d(t)$ | $K_d$  | $K_s$ | x(cm) | As(cm $^2$ ) | MEVCUT DONATI(cm $^2$ ) | EK(cm $^2$ ) |
|-----------|------------|-------|-------|--------------|----------|--------|-------|-------|--------------|-------------------------|--------------|
| M4        | 40         | 105   | 160   | 18922,6      | 53,91    | 1,5266 | 3,405 | 51,76 | 46,59        | 3Φ12+6Φ18(18,65)        | 5Φ28(30,79)  |

Kayma hesabi

| $V_{cr(t)}$ | $V_d(t)$ | $V_i(t)$ | $l_c(cm)$ | $s_s(cm)$ | $s_h(cm)$ | $Etrye$   | $V_{ws(t)}$ | $\rho$  | $\rho_{min}$ | $V_{wb(t)}$ | $V_w(t)$ |
|-------------|----------|----------|-----------|-----------|-----------|-----------|-------------|---------|--------------|-------------|----------|
| 31,40       | 49,20    | 178,50   | 220       | 15        | 25        | $\Phi$ 12 | 34,66       | 0,00230 | 0,00095      | 27,79       | 62,45    |

Tablo 6.36 BS30, BC III için K5 ve K6 kırışları hesabi

| Açıklıkta hesap                                |                     |       |       |                     |                   |                     |                   |  |  |
|--|---------------------|-------|-------|---------------------|-------------------|---------------------|-------------------|--|--|
| Kırış NO                                       | b <sub>w</sub> (cm) | d(cm) | b(cm) | M <sub>d</sub> (cm) | N <sub>d(t)</sub> | h/h                 | b <sub>w</sub> /b |  |  |
| K5,K6  | 40                  | 100   | 160   | 10450               | 45,41             | 0,095               | 0,250             |  |  |
| <b>SEÇİLEN DONATI</b>                          |                     |       |       |                     |                   |                     |                   |  |  |
| 4Φ18 düz+3Φ18 pilye(17,81)                     |                     |       |       |                     |                   | <b>6 Φ 12(6,79)</b> |                   |  |  |
| <b>f<sub>cd</sub>= 200 Kg/cm<sup>2</sup></b>   |                     |       |       |                     |                   |                     |                   |  |  |
| <b>f<sub>yd</sub>= 3650 Kg/cm<sup>2</sup></b>  |                     |       |       |                     |                   |                     |                   |  |  |
| <b>f<sub>ywd</sub>= 3650 Kg/cm<sup>2</sup></b> |                     |       |       |                     |                   |                     |                   |  |  |

## Mesnette hesap

| MESNET NO | b <sub>w</sub> (cm) | d(cm) | b(cm) | M <sub>d</sub> (cm) | N <sub>d(t)</sub> | K <sub>d</sub> | k <sub>s</sub> | x(cm) | A <sub>s</sub> (cm <sup>2</sup> ) | MEVCUT DONATI(cm <sup>2</sup> ) | EK(cm <sup>2</sup> ) |
|-----------|---------------------|-------|-------|---------------------|-------------------|----------------|----------------|-------|-----------------------------------|---------------------------------|----------------------|
| M4        | 40                  | 100   | 160   | 18894               | 53,91             | 1,455          | 3,321          | 43,30 | 47,98                             | 3Φ12+6Φ18(18,65)                | 5Φ28(30,79)          |

## Kayma hesabi

| V <sub>c(t)</sub> | V <sub>d(t)</sub> | V <sub>f(t)</sub> | I <sub>c</sub> (cm) | S <sub>s</sub> (cm) | S <sub>n</sub> (cm) | Etriye | V <sub>ws(t)</sub> | ρ       | ρ <sub>min</sub> | V <sub>wb(t)</sub> | V <sub>w(t)</sub> |
|-------------------|-------------------|-------------------|---------------------|---------------------|---------------------|--------|--------------------|---------|------------------|--------------------|-------------------|
| 31,40             | 49,20             | 200,00            | 210                 | 15                  | 25                  | Φ 12   | 33,00              | 0,00230 | 0,00100          | 23,02              | 56,02             |

Tablo 6.37 BS35, BC III için K5 ve K6 kırışları hesabi

**BS35,BC III**

|            |                         |
|------------|-------------------------|
| $f_{cd} =$ | 230 Kg/cm <sup>2</sup>  |
| $f_{yd} =$ | 3650 Kg/cm <sup>2</sup> |

**Açıklıkta hesap**

| KİRİŞ NO | $b_w$ (cm) | $d$ (cm) | $b$ (cm) | $M_d$ (cm) | $N_d(t)$ | $h/t/h$ | $b_w/b$ | $m_r$ | $w$   | $A_s(cm^2)$ | $\rho$  | $\rho_{min}$ |
|----------|------------|----------|----------|------------|----------|---------|---------|-------|-------|-------------|---------|--------------|
| K5,K6    | 40         | 90       | 160      | 10204      | 45.41    | 0,105   | 0,250   | 0,040 | 0,042 | 19,72       | 0,00548 | 0,00328      |

| SEÇİLEN DONATI            | $A_g(cm^2)$  |
|---------------------------|--------------|
| 3Φ20düz+3Φ20 pilye(18,84) | 6 Φ 12(6,79) |

**Mesnette hesap**

| MESNET NO | $b_w$ (cm) | $d$ (cm) | $b$ (cm) | $M_d$ (cm) | $N_d(t)$ | $K_d$  | $k_s$ | $x(cm)$ | $A_s(cm^2)$ | $MEVCUT DONATI(cm^2)$ | $EK(cm^2)$  |
|-----------|------------|----------|----------|------------|----------|--------|-------|---------|-------------|-----------------------|-------------|
| M4        | 40         | 90       | 160      | 18643      | 53,91    | 1,3183 | 3,360 | 41,01   | 54,83       | 3Φ12+6Φ20(22,23)      | 6Φ28(36,94) |

**Kayma hesabi**

| $V_{cr}(t)$ | $V_d(t)$ | $V_r(t)$ | $I_c(cm)$ | $s_s(cm)$ | $s_n(cm)$ | Eriye | $V_{ws}(t)$ | $\rho$  | $\rho_{min}$ | $V_{wb}(t)$ | $V_w(t)$ |
|-------------|----------|----------|-----------|-----------|-----------|-------|-------------|---------|--------------|-------------|----------|
| 31,59       | 47,80    | 207,00   | 190       | 15        | 25        | Φ 12  | 29,71       | 0,00230 | 0,00110      | 22,53       | 52,24    |

Tablo 6.38 BS40, BC III için K5 ve K6 kirişleri hesabi

$$\begin{aligned} f_{cd} &= 270 \text{ Kg/cm}^2 \\ f_{yd} &= 3650 \text{ Kg/cm}^2 \end{aligned}$$

**Açıklıkta hesap**

| KIRIŞ NO | $b_w(\text{cm})$ | $d(\text{cm})$ | $b(\text{cm})$ | $M_d(\text{cm})$ | $N_d(t)$ | $K_d$  | $k_s$ | $x(\text{cm})$ | $A_s(\text{cm}^2)$ | $\rho$  | $\rho_{\min}$ |
|----------|------------------|----------------|----------------|------------------|----------|--------|-------|----------------|--------------------|---------|---------------|
| K5,K6    | 40               | 85             | 160            | 10082            | 45,41    | 3,3862 | 2,856 | 9,35           | 21,43              | 0,00630 | 0,00328       |

| SEÇİLEN DONATI            | $A_g(\text{cm}^2)$ | $\rho_b$ | $\rho_m$ | $\rho_d$ | $\rho_l$ |
|---------------------------|--------------------|----------|----------|----------|----------|
| 4Φ20düz+3Φ20 pilye(21,99) | 6 Φ 12(6,79)       | 0,02970  | 0,02490  | 0,01780  | 0,01740  |

**Mesnette hesap**

| MESNET NO | $b_w(\text{cm})$ | $d(\text{cm})$ | $b(\text{cm})$ | $M_d(\text{cm})$ | $N_d(t)$ | $K_d$  | $k_s$ | $x(\text{cm})$ | $A_s(\text{cm}^2)$ | $MEVCUT DONATI(\text{cm})$ | $EK(\text{cm}^2)$ |
|-----------|------------------|----------------|----------------|------------------|----------|--------|-------|----------------|--------------------|----------------------------|-------------------|
| M4        | 40               | 85             | 160            | 18617            | 53,91    | 1,2459 | 3,340 | 38,38          | 58,38              | 3Φ12+6Φ20(22,23)           | 6Φ28(36,94)       |

**Kayma hesabi**

| $V_{cr}(t)$ | $V_d(t)$ | $V_r(t)$ | $I_c(\text{cm})$ | $s_s(\text{cm})$ | $s_n(\text{cm})$ | $Etriye$ | $V_{ws}(t)$ | $\rho$  | $\rho_{\min}$ | $V_{wb}(t)$ | $V_w(t)$ |
|-------------|----------|----------|------------------|------------------|------------------|----------|-------------|---------|---------------|-------------|----------|
| 32,05       | 48,13    | 229,50   | 180              | 15               | 24               | Φ 12     | 29,23       | 0,00240 | 0,00120       | 20,36       | 49,59    |

Tablo 6.39 BS45, BC III için K5 ve K6 kırışları hesabı

|            |                          |
|------------|--------------------------|
| $f_{cd} =$ | 300 Kgf/cm <sup>2</sup>  |
| $f_{yd} =$ | 3650 Kgf/cm <sup>2</sup> |

**Açıklıkta hesap**

| KIRIŞ NO | $b_w$ (cm) | $d$ (cm) | $b$ (cm) | $M_d$ (cm) | $N_d(t)$ | $K_d$  | $k_s$ | $x$ (cm) | $A_s$ (cm <sup>2</sup> ) | $\rho$  | $\rho_{min}$ |
|----------|------------|----------|----------|------------|----------|--------|-------|----------|--------------------------|---------|--------------|
| K5,K6    | 40         | 85       | 160      | 10082      | 45,41    | 3,3862 | 2,848 | 8,76     | 21,34                    | 0,00628 | 0,00328      |

| SEÇİLEN DONATI              | $A_g$ (cm <sup>2</sup> ) |
|-----------------------------|--------------------------|
| 4Φ20diliz+3Φ20 pilye(21,99) | 6 Φ 12(6,79)             |

**Mesnette hesap**

| MESNETT NO | $b_w$ (cm) | $d$ (cm) | $b$ (cm) | $M_d$ (cm) | $N_d(t)$ | $K_d$  | $k_s$ | $x$ (cm) | $A_s$ (cm <sup>2</sup> ) | $MEVCUT DONATI(cm2)$ | $EK(cm2)$   |
|------------|------------|----------|----------|------------|----------|--------|-------|----------|--------------------------|----------------------|-------------|
| M4         | 40         | 85       | 160      | 18617      | 53,91    | 1,2459 | 3,249 | 33,10    | 56,39                    | 3Φ12+6Φ20(22,23)     | 6Φ28(36,94) |

**Kayma hesabı**

| $V_{cr}(t)$ | $V_d(t)$ | $V_r(t)$ | $I_c(cm)$ | $s_s(cm)$ | $s_n(cm)$ | Etriyə | $V_{ws}(t)$ | $\rho$  | $\rho_{min}$ | $V_{wb}(t)$ | $V_w(t)$ |
|-------------|----------|----------|-----------|-----------|-----------|--------|-------------|---------|--------------|-------------|----------|
| 32,05       | 48,13    | 255,00   | 180       | 15        | 24        | Φ 12   | 29,22       | 0,00240 | 0,00130      | 20,18       | 49,40    |

Tablo 6.40 BS50, BC III için K5 ve K6 kırışları hesabi

$$\begin{aligned}
 f_{cd} &= 330 \text{ Kg/cm}^2 \\
 f_{yd} &= 3650 \text{ Kg/cm}^2 \\
 f_{yw d} &= 3650 \text{ Kg/cm}^2
 \end{aligned}$$

## Açıklıkta hesap

| KIRIŞ NO | $b_w(\text{cm})$ | $d(\text{cm})$ | $b(\text{cm})$ | $M_d(\text{tcm})$ | $N_d(t)$ | $K_d$  | $k_s$ | $x(\text{cm})$ | $A_s(\text{cm}^2)$ | $\rho$  | $\rho_{min}$ |
|----------|------------------|----------------|----------------|-------------------|----------|--------|-------|----------------|--------------------|---------|--------------|
| K5,K6    | 40               | 80             | 160            | 9958,2            | 45,41    | 3,2070 | 2,848 | 8,27           | 23,01              | 0,00719 | 0,00328      |

| SEÇİLEN DONATI            | $A_g(\text{cm}^2)$ |
|---------------------------|--------------------|
| 3Φ22düz+3Φ22 pilye(22,81) | 6 Φ 12(6,79)       |

| $\rho_b$ | $\rho_m$ | $\rho_d$ | $\rho_l$ |
|----------|----------|----------|----------|
| 0,03340  | 0,0283   | 0,0200   | 0,02120  |

## Mesnette hesap

| MESNET NO | $b_w(\text{cm})$ | $d(\text{cm})$ | $b(\text{cm})$ | $M_d(\text{tcm})$ | $N_d(t)$ | $K_d$  | $k_s$ | $x(\text{cm})$ | $A_s(\text{cm}^2)$ | $MEVCUT DONATI(\text{cm}^2)$ | $EK(\text{cm}^2)$ |
|-----------|------------------|----------------|----------------|-------------------|----------|--------|-------|----------------|--------------------|------------------------------|-------------------|
| M4        | 40               | 80             | 160            | 18396             | 53,91    | 1,1797 | 3,250 | 31,22          | 59,96              | 3Φ12+6Φ22(26,20)             | 6Φ28(36,94)       |

## Kayma hesabi

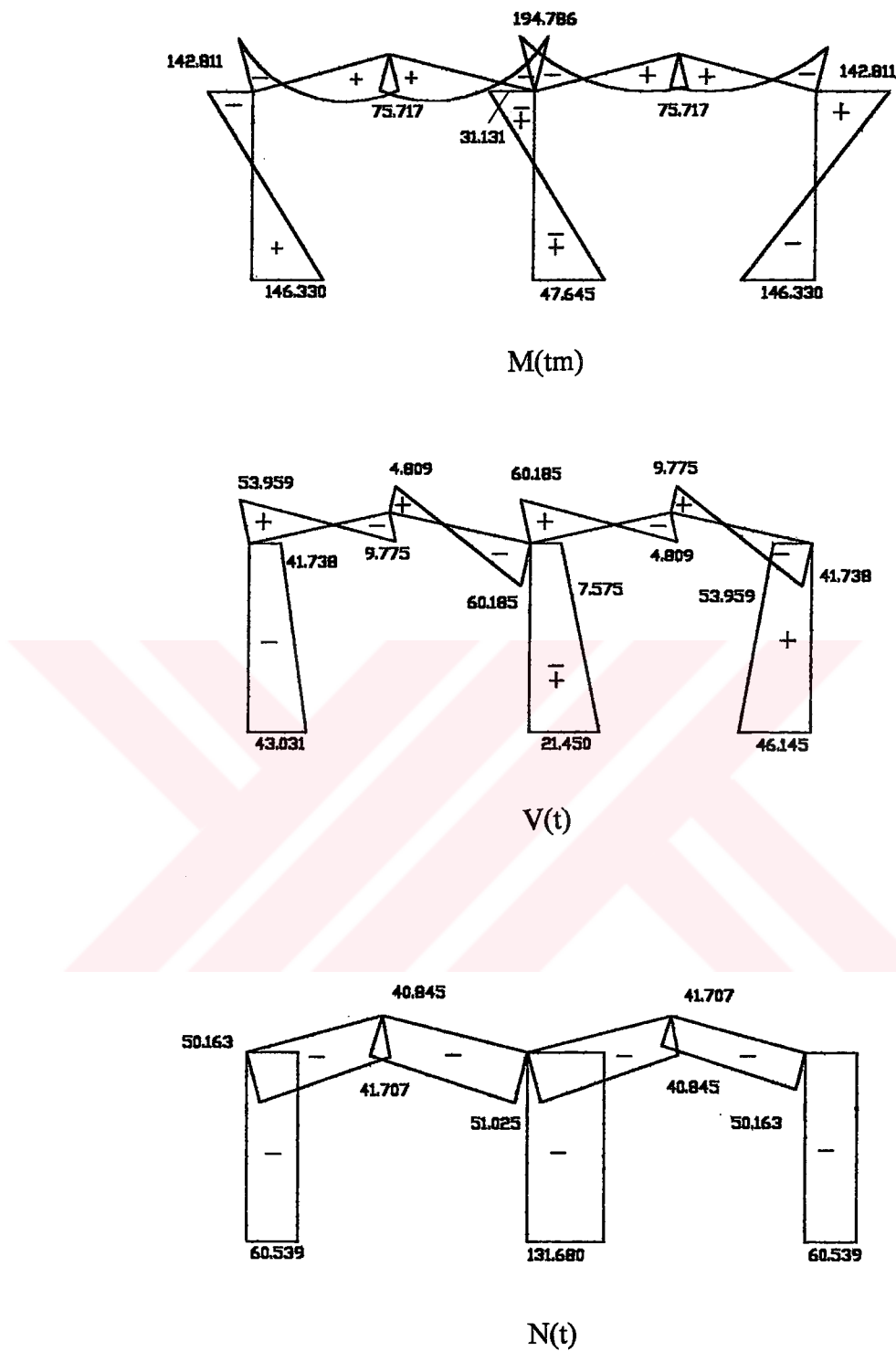
| $V_{cr}(t)$ | $V_d(t)$ | $V_r(t)$ | $I_c(\text{cm})$ | $s_s(\text{cm})$ | $s_n(\text{cm})$ | Etriye | $V_{ws}(t)$ | $\rho$  | $\rho_{min}$ | $V_{wb}(t)$ | $V_w(t)$ |
|-------------|----------|----------|------------------|------------------|------------------|--------|-------------|---------|--------------|-------------|----------|
| 34,32       | 48,63    | 264,00   | 170              | 15               | 23               | Φ 12   | 28,70       | 0,00250 | 0,00140      | 22,00       | 50,70    |

Yapılan betonarme hesaplar sonucunda her beton sınıfı için bulunan kiriş, kolon kesitleri ile gerekli donatılar hesaplanmıştır. Fakat değişen kesit boyutlarına göre çözüm yapıldığında statik kuvvetlerini değişimini incelemek üzere örneğin BS 30 kalitesinde beton kullanıldığında ortaya çıkan kesitlere göre statik hesap tekrarlanmış ve yapılan süperpozisyon neticesinde Şekil 6.30'daki sonuç diyagramları elde edilmiştir.

Göründüğü gibi BS 30 kalite beton kullanıldığında sadece orta kolonlarda oluşan momentlerde yarı yarıya varan azalmalar olmaktadır. Diğer çubuklarda meydana gelen değişimler hesaplarda büyük değişiklikler oluşturacak büyülüklükte degillerdir. O halde sadece orta kolonların hesabının yeniden gözden geçirilmesi gerekmektedir. Bu amaçla BS 30 kalite kullanıldığında ortaya çıkan kesit boyutlarına göre bulunan moment, normal kuvvet ve kesme kuvveti etkilerinden dolayı orta kolonlardaki kesit değişimini belirlemek üzere daha önce yapılmış olan orta kolon hesapları yeniden yapılarak yeni kesitler belirlenmelidir. Yapılan boyutlandırmaya benzer olarak yapılan hesaplar sonucunda ortaya çıkan kesitler ve donatılar aşağıda verilmiştir.

**Tablo 6.41 Orta kolonlardaki kesit değişimi**

| BETON KALİTESİ | İLK KESİT   | YENİ KESİT  | As(cm <sup>2</sup> ) | SEÇİLEN DONATI                 |
|----------------|-------------|-------------|----------------------|--------------------------------|
| BS 16, BC III  | 40cm / 70cm | 40cm / 60cm | 19,53                | 7 Φ 20 (21,99cm <sup>2</sup> ) |
| BS 20, BC III  | 40cm / 70cm | 40cm / 55cm | 20,37                | 7 Φ 20 (21,99cm <sup>2</sup> ) |
| BS 25, BC III  | 40cm / 70cm | 40cm / 55cm | 18,44                | 6 Φ 20 (18,84cm <sup>2</sup> ) |
| BS 30, BC III  | 40cm / 65cm | 40cm / 50cm | 20,27                | 7 Φ 20 (21,99cm <sup>2</sup> ) |
| BS 35, BC III  | 40cm / 65cm | 40cm / 50cm | 18,90                | 8 Φ 18 (20,36cm <sup>2</sup> ) |
| BS 40, BC III  | 40cm / 65cm | 40cm / 50cm | 18,49                | 6 Φ 20 (18,84cm <sup>2</sup> ) |
| BS 45, BC III  | 40cm / 60cm | 40cm / 45cm | 19,97                | 8 Φ 18 (20,36cm <sup>2</sup> ) |
| BS 50, BC III  | 40cm / 60cm | 40cm / 45cm | 19,52                | 8 Φ 18 (20,36cm <sup>2</sup> ) |



Şekil 6.30 Yeni kesitlere göre bulunan superpoze M, V, N diyagramları

## 6.4 ÇERÇEVE KİRİŞ VE KOLONLARININ FİYATLANDIRILMASI

Çalışmaya konu olan endüstri yapısında 9 adet çerçeve kirişi bulunmaktadır. Yukarıda açıklanmış gibi kenar çerçeveler için ayrı bir çözüm yapılmayıp orta çerçeve için yapılan hesapların tüm çerçevelerde geçerli olduğu düşünülmüştür. Yapı hesap yapılan doğrultuda simetri ekseni bulundurduğundan iki tip kiriş hesabı ve iki tip kolon hesabı yapılmıştır. Yani,

|                                 |         |
|---------------------------------|---------|
| K5 veya K6 Kirişlerinden toplam | 18 adet |
| K4 veya K7 Kirişlerinden toplam | 18 adet |
| Kenar kolonlardan toplam        | 18 adet |
| Orta kolondan toplam            | 9 adet  |

bulunmaktadır. Yapılan hesaplar bir çerçeveye ait olduğundan metraj yapılırken yukarıdaki adetler gözönüğe alınmalıdır.

Fiyatlandırma yapılırken 1997 yılı Bayındırlık Bakanlığı Birim Fiyatları kullanılmıştır.

### 6.4.1 ÇERÇEVE İMALAT ÇEŞİTLERİ

#### 6.4.1.1 DEMİR İMALATI

Çerçeve kiriş ve kolonlarında kullanılacak demir miktarı hesaplanırken Şekil 6.29'daki standart donatı şeması gözönünde tutularak bir metraj çıkarılmıştır. Çerçevenin daha önce analizi yapılan kren kirişleri ve aşık kirişlerine göre daha karmaşık ve donatı düzeninin onlar kadar basit saptanamayacağı düşünülerek donatı boyaları hesaplanırken ölçekli çizimler yapılip boyalar bu çizimler sonucu saptanmıştır. Bu boyalar hesaplanırken kanca boyaları, bindirme boyaları dikkate alınmıştır.

#### 6.4.1.2 KALIP İMALATI

Çerçeve kolon ve kirişleri yapılrken kullanılacak kalıp miktari  $m^2$  olarak

- Kenar kolon için,

$$TKA_1 (m^2) = 2 \times (d_{kolon} + h_{ekolon}) \times l_{kolon} \quad (6.74)$$

- Orta kolon için,

$$TKA_2 (m^2) = 2 \times (d_{kolon} + h_{ekolon}) \times l_{kolon} \quad (6.75)$$

- K4 ve K7 Kirişleri için,

$$TKA_3 (m^2) = l_{kiriş} \times (2 \times (h - h_f) + b_w) \quad (6.76)$$

- K5 ve K6 Kirişleri için,

$$TKA_4 (m^2) = l_{kiriş} \times (2 \times (h - h_f) + b_w) \quad (6.77)$$

olarak hesaplanmıştır. Toplam kalıp alanı bir çerçeve için  $m^2$  olarak

$$TKA (m^2) = 2 \times TKA_1 + TKA_2 + 2 \times TKA_3 + 2 \times TKA_4 \quad (6.78)$$

bağıntısı yardımıyla hesaplanır.

#### 6.4.1.3 BETON İMALATI

Çerçeve kolon ve kirişlerinin yapımı için kullanılacak beton miktarı  $m^3$  olarak,

- Kenar kolon için,

$$TBM_1(m^3) = l_{kolon} \times (d_{kolon} \times h_{ekolon}) \quad (6.79)$$

- Orta kolon için,

$$TBM_2(m^3) = l_{kolon} \times (d_{kolon} \times h_{ekolon}) \quad (6.80)$$

- K4 ve K7 Kirişleri için,

$$TBM_3(m^3) = l_{kiriş} \times ((h-h_f) \times b_w)) \quad (6.81)$$

- K5 ve K6 Kirişleri için,

$$TBM_4(m^3) = l_{kiriş} \times ((h-h_f) \times b_w)) \quad (6.82)$$

olarak hesaplanmıştır. Toplam beton miktarı bir çerçeve için  $m^3$  olarak,

$$TBM(m^3) = 2 \times TBM_1 + TBM_2 + 2 \times TBM_3 + 2 \times TBM_4 \quad (6.83)$$

bağıntısı yardımıyla hesaplanır.

#### 6.4.1.4 SIVA İMALATI

Çerçeve kolon ve kirişlerinde kullanılacak siva miktarı  $m^2$  olarak,

- Kenar kolon için,

$$TSA_1(m^2) = 2 \times (d_{kolon} + h_{ekolon}) \times l_{kolon} \quad (6.84)$$

- Orta kolon için,

$$TSA_2(m^2) = 2 \times (d_{kolon} + h_{ekolon}) \times l_{kolon} \quad (6.85)$$

- K4 ve K7 Kirişleri için,

$$TSA_3(m^2) = l_{kiriş} \times (2 \times (h - h_f) + b_w) \quad (6.86)$$

- K5 ve K6 Kirişleri için,

$$TSA_4(m^2) = l_{kiriş} \times (2 \times (h - h_f) + b_w) \quad (6.87)$$

olarak hesaplanmıştır. Toplam sıva alanı bir çerçeve için  $m^2$  olarak,

$$TSA(m^2) = 2 \times TSA_1 + TSA_2 + 2 \times TSA_3 + 2 \times TSA_4 \quad (6.89)$$

bağıntısı yardımıyla hesaplanır.

Bu bölümde ayrıca yapının yan cephelerinin, ön ve arka cephelerinin tuğla duvar yapılmak suretiyle kapatıldığı düşünülmüş ve ortaya çıkan tuğla duvar maliyeti göz önüne alınmıştır. Bunun için duvar yapılacak yüzey alanı ile duvar kalınlığı çarpılarak gerekli olan duvar hacmi bulunur. Söz konusu yapıda 19 cm genişliğinde yatay delikli tuğlalar kullanılmıştır. Duvar dış yüzeyine yapılacak olan sıva imalatı da yukarıda Bölüm 6.4.1.4'de açıklanan sıva alanına eklenerek toplam sıva maliyeti bulunmuştur. Yapının her türlü imalatının gerçekleştirilebilmesi için de iş iskelesi kurulmuş ve maliyeti hesaplanmıştır. Bunun için yapı ortalama yüksekliğinin 1.5m noksası ile yapının plandaki alanı çarpılmış ve iş iskelesi hacmi bulunmuştur. Bulunan hacim ile iş iskelesi birim fiyatı çarpılarak toplam iş iskelesi maliyeti bulunmuştur.

**Tablo 6.42 BS 16, BCIII için çerçeve maliyeti**

**Tablo 6.43 BS 20 , BCili için çerçeveye maliyeti**

| SIRA NO | POZ NO   | İMALATIN CİNSİ              | MİKTARI | ÖLÇÜ BİRİMİ    | 1997 YILI BİRİMİ FİYATI (TL) | TUTARI (TL)          |
|---------|----------|-----------------------------|---------|----------------|------------------------------|----------------------|
| 1       | 16.058/1 | BS 20 HAZIR BETONU          | 209.26  | M <sup>3</sup> | 6.975.523                    | 1.459.697.943        |
| 2       | 21.011   | DÜZ YÜZEYLİ BETONARME KALIP | 1309.21 | M <sup>2</sup> | 804.400                      | 1.053.128.524        |
| 3       | 23.001/1 | Φ8-Φ12 MM BETONARME DEMİRİ  | 9.72    | T              | 54.207.500                   | 526.896.900          |
| 4       | 23.002   | Φ14-Φ50 MM BETONARME DEMİRİ | 24.21   | T              | 48.523.100                   | 1.174.744.251        |
| 5       | 27.501   | SIVA YAPILMASI              | 2316.2  | M <sup>2</sup> | 427.702                      | 990.643.372          |
| 6       | 18.071/2 | TUĞLA DUVAR YAPILMASI       | 191.35  | M <sup>3</sup> | 3.337.311                    | 638.594.460          |
| 7       | 21.066   | Ş ISKELESİ                  | 9865    | M <sup>3</sup> | 139.096                      | 1.372.182.040        |
|         |          |                             |         |                |                              | <b>7.215.887.490</b> |

**Tablo 6.44. BS 25 , BCIII için çerçeve maliyeti**

| SIRA NO | POZ NO   | MALATİN CİNSİ               | MİKTARI | ÖLÇÜ BİRİMİ    | 1997 YILI BİRİM FİYATI (TL) | TUTARI (TL)          |
|---------|----------|-----------------------------|---------|----------------|-----------------------------|----------------------|
| 1       | 16.059   | BS 25 HAZIR BETONU          | 185.15  | M <sup>3</sup> | 7.269.373                   | 1.345.924.411        |
| 2       | 21.011   | DÜZ YÜZEYLİ BETONARME KALIP | 1238.44 | M <sup>2</sup> | 804.400                     | 996.201.136          |
| 3       | 23.001/1 | Φ8-Φ12 MM BETONARME DEMİRİ  | 9.72    | T              | 54.207.500                  | 526.896.900          |
| 4       | 23.002   | Φ14-Φ50 MM BETONARME DEMİRİ | 24.84   | T              | 48.523.100                  | 1.205.313.804        |
| 5       | 27.501   | SIVA YAPILMASI              | 2252.33 | M <sup>2</sup> | 427.702                     | 963.328.072          |
| 6       | 18.071/2 | TUĞLA DUVAR YAPILMASI       | 192.64  | M <sup>3</sup> | 3.337.311                   | 642.899.591          |
| 7       | 21.066   | İŞ ISKELESİ                 | 9865    | M <sup>3</sup> | 139.096                     | 1.372.182.040        |
|         |          |                             |         |                |                             | <b>7.052.745.954</b> |

Tablo 6.45 BS 30 , BCIII için çerçeve maliyeti

| SIRA NO | POZ NO   | MALATİN CİNSİ               | MİKTARI | ÖLÇÜ BİRİMİ    | 1997 YILI BİRİM FİYATI (TL) | TUTARI (TL)          |
|---------|----------|-----------------------------|---------|----------------|-----------------------------|----------------------|
| 1       | 16.059/1 | BS 30 HAZIR BETONU          | 174.73  | M <sup>3</sup> | 7.788.123                   | 1.360.818.732        |
| 2       | 21.011   | DÜZ YÜZEYLİ BETONARME KALIP | 1182.17 | M <sup>2</sup> | 804.400                     | 950.937.548          |
| 3       | 23.001/1 | Φ8-Φ12 MM BETONARME DEMİRİ  | 9.27    | T              | 54.207.500                  | 502.503.525          |
| 4       | 23.002   | Φ14-Φ50 MM BETONARME DEMİRİ | 25.18   | T              | 48.523.100                  | 1.221.811.658        |
| 5       | 27.501   | SIVA YAPILMASI              | 2198.11 | M <sup>2</sup> | 427.702                     | 940.136.043          |
| 6       | 18.071/2 | TUĞLA DUVAR YAPILMASI       | 193.03  | M <sup>3</sup> | 3.337.311                   | 644.201.142          |
| 7       | 21.066   | İŞ İSKELESİ                 | 9865    | M <sup>3</sup> | 139.096                     | 1.372.182.040        |
|         |          |                             |         |                |                             | <b>6.992.590.688</b> |

Tablo 6.46 BS 35 , BCIII için çerçeve maliyeti

| SIRA NO | POZ NO   | İMALATIN CİNSİ              | MİKTARI | ÖLÇÜ BİRİMİ    | 1997 YILI BİRİM FİYATI (TL) | TUTARI (TL)          |
|---------|----------|-----------------------------|---------|----------------|-----------------------------|----------------------|
| 1       | 16.059/2 | BS 35 HAZIR BETONU          | 160.20  | M <sup>3</sup> | 8.100.623                   | 1.297.719.805        |
| 2       | 21.011   | DÜZ YÜZEYLİ BETONARME KALIP | 1107.43 | M <sup>2</sup> | 804.400                     | 890.816.692          |
| 3       | 23.001/1 | Φ8-Φ12 MM BETONARME DEMİRİ  | 9.41    | T              | 54.207.500                  | 510.092.575          |
| 4       | 23.002   | Φ14-Φ50 MM BETONARME DEMİRİ | 27.14   | T              | 48.523.100                  | 1.316.916.935        |
| 5       | 27.501   | SIVA YAPILMASI              | 2126.15 | M <sup>2</sup> | 427.702                     | 909.358.607          |
| 6       | 18.071/2 | TUĞLA DUVAR YAPILMASI       | 193.56  | M <sup>3</sup> | 3.337.311                   | 645.969.917          |
| 7       | 21.066   | İŞ İSKELESİ                 | 9865    | M <sup>3</sup> | 139.096                     | 1.372.182.040        |
|         |          |                             |         |                |                             | <b>6.943.056.571</b> |

**Tablo 6.47 BS 40 , BCIII için çerçeve maliyeti**

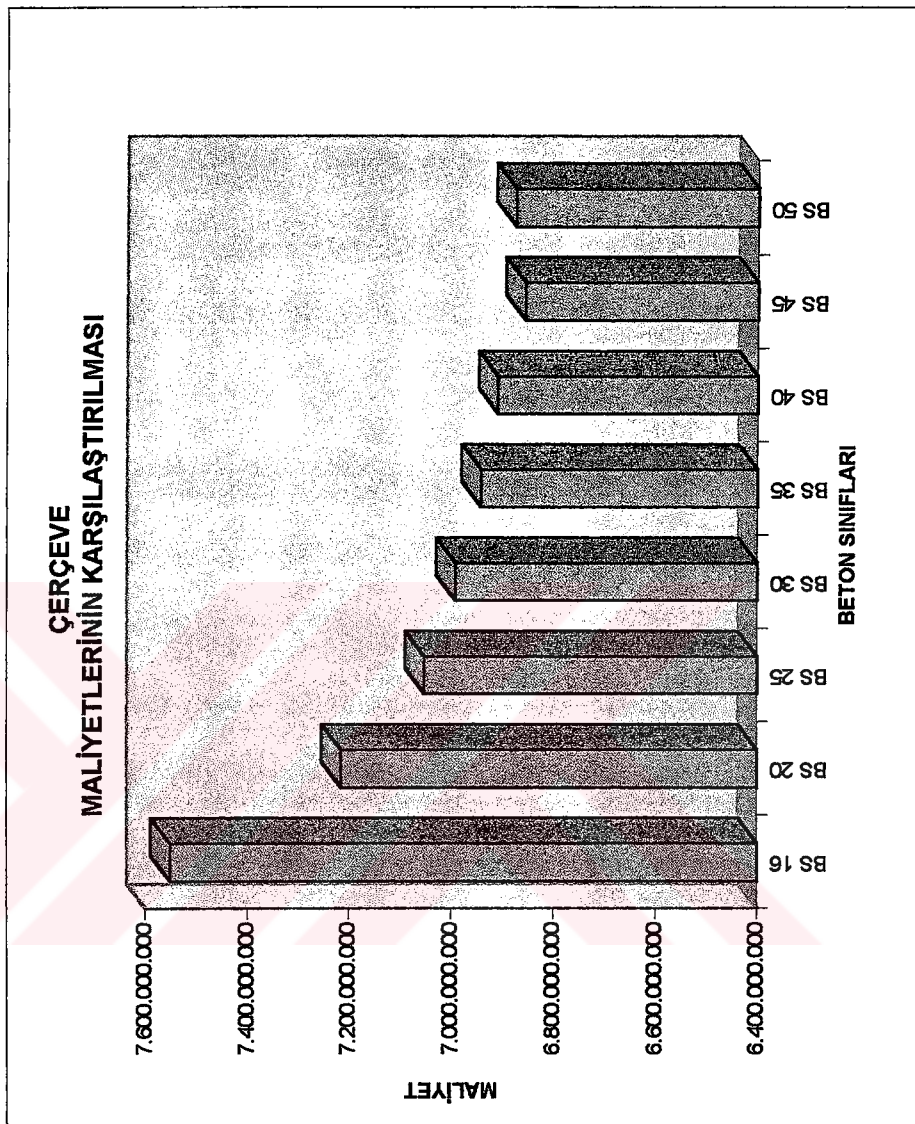
**Tablo 6.48 BS 45 , BCIII için çerçeve maliyeti**

| SIRA NO | POZ NO   | İMALATIN CİNSİ              | MİKTARI | ÖLÇÜ BİRİMİ    | 1997 YILI BİRİM FİYATI (TL) | TUTARI (TL)          |
|---------|----------|-----------------------------|---------|----------------|-----------------------------|----------------------|
| 1       | 16.059/4 | BS 45 HAZIR BETONU          | 146.44  | M <sup>3</sup> | 8.581.873                   | 1.256.729.482        |
| 2       | 21.011   | DÜZ YÜZEYLİ BETONARME KALIP | 1034.46 | M <sup>2</sup> | 804.400                     | 832.119.624          |
| 3       | 23.001/1 | Φ8-Φ12 MM BETONARME DEMİRİ  | 9.03    | T              | 54.207.500                  | 489.493.725          |
| 4       | 23.002   | Φ14-Φ50 MM BETONARME DEMİRİ | 28.45   | T              | 48.523.100                  | 1.380.482.195        |
| 5       | 27.501   | SIVA YAPILMASI              | 2054.79 | M <sup>2</sup> | 427.702                     | 878.837.793          |
| 6       | 18.071/2 | TÜĞLA DUVAR YAPILMASI       | 193.86  | M <sup>3</sup> | 3.337.311                   | 646.971.111          |
| 7       | 21.066   | İŞ ISKELESİ                 | 9865    | M <sup>3</sup> | 139.096                     | 1.372.182.040        |
|         |          |                             |         |                |                             | <b>6.856.815.970</b> |

Tablo 6.49 BS 50 , BCIII için çerçeve maliyeti

| SIRA NO | POZ NO    | İMALATIN CİNSİ              | MİKTARI | ÖLÇÜ BİRİMİ    | 1997 YILI BİRİM FİYATI (TL) | TUTARI (TL)          |
|---------|-----------|-----------------------------|---------|----------------|-----------------------------|----------------------|
| 1       | 16.059/5  | BS 50 HAZIR BETONU          | 143.98  | M <sup>3</sup> | 8.756.873                   | 1.260.814.575        |
| 2       | 21.011    | DÜZ YÜZEYLİ BETONARME KALIP | 1022.15 | M <sup>2</sup> | 804.400                     | 822.217.460          |
| 3       | 23.0011/1 | Φ8-Φ12 MM BETONARME DEMİRİ  | 8.81    | T              | 54.207.500                  | 477.568.075          |
| 4       | 23.002    | Φ14-Φ50 MM BETONARME DEMİRİ | 29.27   | T              | 48.523.100                  | 1.420.271.137        |
| 5       | 27.501    | SIVA YAPILMASI              | 2044.10 | M <sup>2</sup> | 427.702                     | 874.265.658          |
| 6       | 18.071/2  | TUĞLA DUVAR YAPILMASI       | 194.17  | M <sup>3</sup> | 3.337.311                   | 648.005.677          |
| 7       | 21.066    | İŞ İSKELESI                 | 9865    | M <sup>3</sup> | 139.096                     | 1.372.182.040        |
|         |           |                             |         |                |                             | <b>6.875.324.622</b> |

Tablo 6.50 Çerçeve maliyetlerinin karşılaştırılması

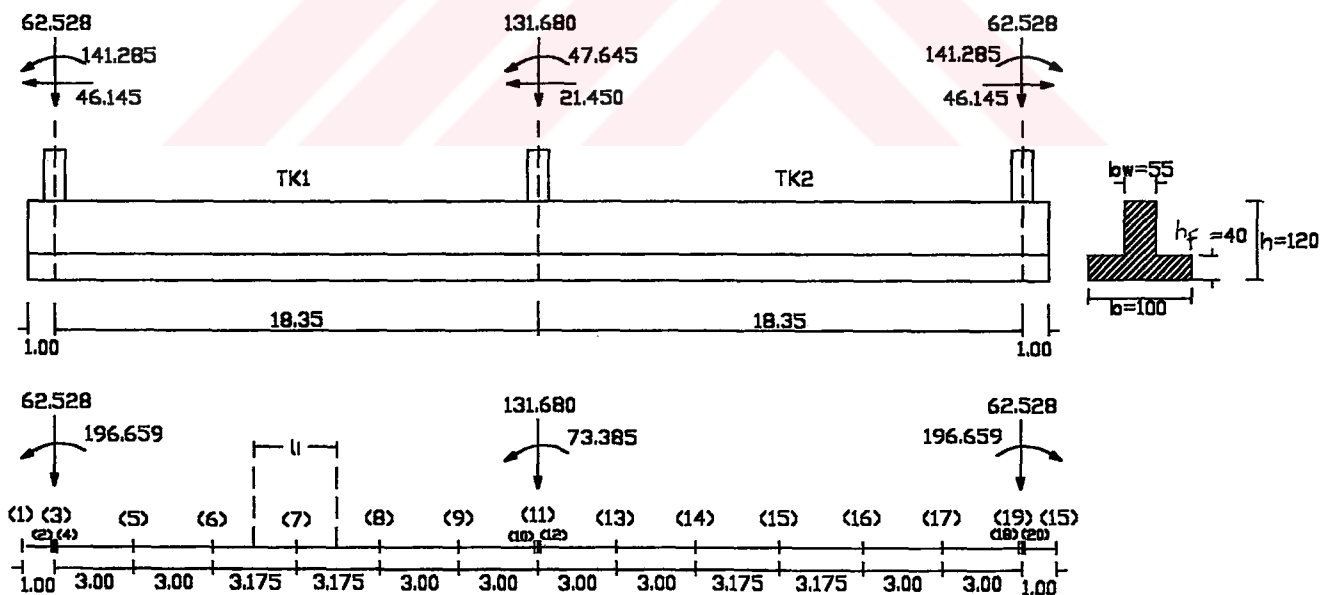


| BETON SINIFI | TOPLAM ÇERÇEVE MALİYETİ (TL) |
|--------------|------------------------------|
| BS 16        | 7.551.608.499                |
| BS 20        | 7.215.887.490                |
| BS 25        | 7.052.745.954                |
| BS 30        | 6.992.590.688                |
| BS 35        | 6.943.056.571                |
| BS 40        | 6.910.187.632                |
| BS 45        | 6.856.815.970                |
| BS 50        | 6.875.324.622                |

## BÖLÜM 7

### TEMEL HESABI

Çalışmaya konu olan endüstri yapısında Şekil 6.30'de verilmiş olan süperpoze diyagramlar kullanılarak sürekli temel hesapları yapılmıştır. Temel boyutlandırması yapılırken don derinliği de gözönünde tutularak temel yüksekliği  $h=1.20\text{m}$  olarak alınmış, temelin plandaki minimum  $b$  genişliği  $1.00\text{m}$  olarak seçilmiştir. Şekil 7.1'de temel boyutları ve yükler gösterilmiştir. Temeller eksenlerine dik doğrultuda bağ kirişleri ile birleştirilerek farklı yerdeğiştirmelerin olması engellenmiştir. Bağ kirişlerinin boyutları zemin türü ve deprem bölgesine bağlı olarak  $30\text{cm} \times 30\text{cm}$  olarak seçilmiş ve boyuna donatı olarak  $4\phi 14$  koyulmuştur.



Şekil 7.1 Temel boyutları ve yükler

## 7.1 TEMELİN STATİK HESABI

Şekil 6.30'de verilen statik etkiler altında sürekli temel, elestik temel kabulu ile çözülmüştür. Bunun için Şekil 7.1'de gösterilen sürekli temelde 21 adet kritik nokta seçilmiş ve bu noktalarda yay katsayısı tariflenmiştir. Böylece sistem yaylı mesnetlerden oluşan sürekli kiriş şekline dönüşmüştür. Çalışmaya konu olan endüstri yapısının oturduğu zeminde yatak katsayısı olarak  $K_0 = 2000 \text{ t/m}^3$  alınmıştır. Yay katsayılarının hesaplanabilmesi için

$$K = K_0 \times A_i \quad (7.1)$$

bağıntısı kullanılmalıdır. Burada  $A_i \text{ m}^2$  olarak her noktanın yük etki genişliği olarak tariflenir ve

$$A_i = b \times l_i \quad (7.2)$$

olarak yazılır. Burada  $b$  temelin genişliği,  $l_i$  hesabı yapılan noktanın sağ ve solundaki noktalar ile olan mesafelerinin ortalarından alınan uzaktıktır. Bu şekilde  $i$  noktasının  $A_i$  yük etki alanı bulunmuş olur.

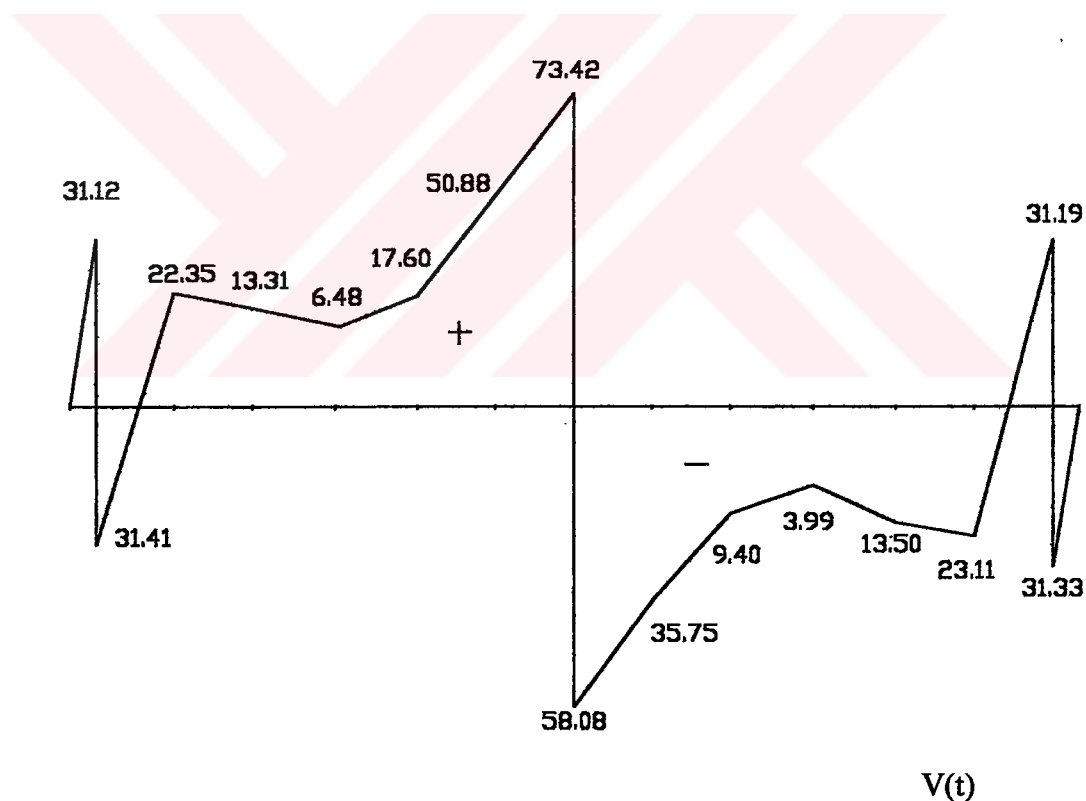
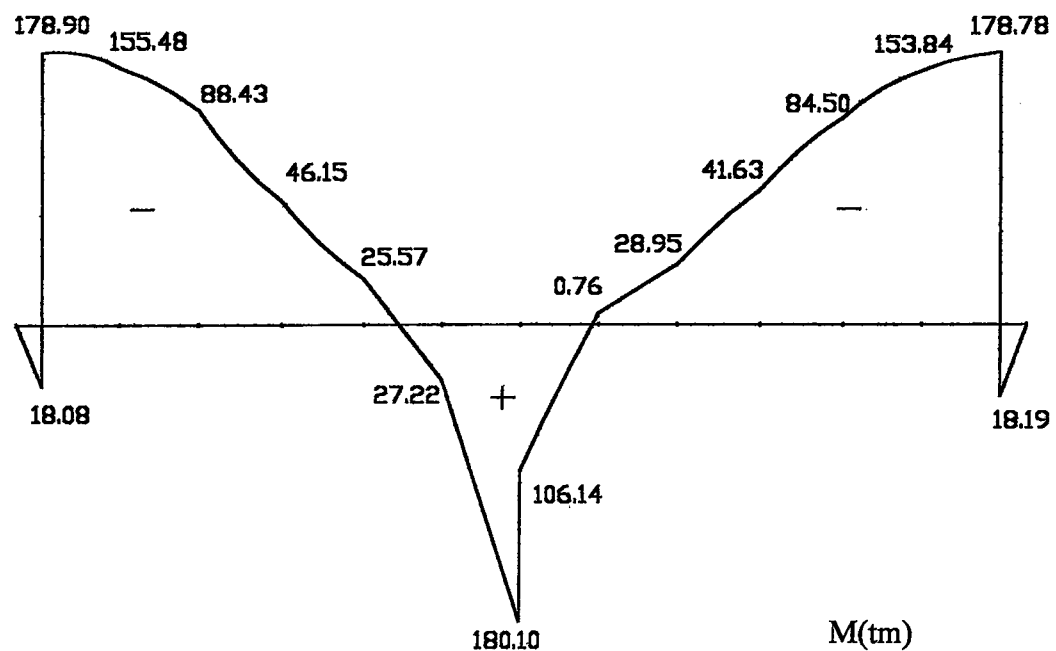
Hesaplanan yay katsayıları ve Şekil 7.1'deki yükler kullanılarak statik hesap yapılmış ve bulunan moment ve kesme kuvveti diyagramları Şekil 7.2'de gösterilmiştir.

## 7.2 TEMELLERİN BETONARME HESABI

Şekil 7.2'de verilmiş olan moment ve kesme kuvveti değerleri kullanılarak sürekli temelin betonarme hesabı yapılmıştır.

### 7.2.1 Eğilme Hesabı

Bulunan açıklık momentleri kullanılarak  $TK_1$  ve  $TK_2$  kirişlerinde eğilme hesabı daha önce aşık kirişlerinin hesabında olduğu gibi yapılmıştır. Hesapla bulunan donatıların yarısı pilye yapılip diğer yarısı düz olarak yerleştirilmiştir. Mesnet bölgelerinde pozitif



Sekil 7.2 Temeldeki moment ve kesme kuvveti diyagramları

momenti karşılamak üzere gerekiyorsa ek donatılar yerleştirilmiştir. Mesnet hesap momentleri, üzerlerindeki kolon genişliği  $a$  olmak üzere

$$M_d = M - V \times a / 3 \quad (7.3)$$

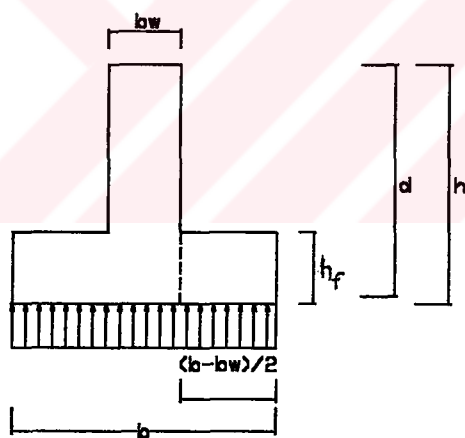
bağıntısı yardımıyla azaltılarak hesaplanmıştır.

Gövde donatısı olarak,

$$A_g = A_s \times 0.08 \quad (7.4)$$

bağıntısı ile bulunan donatı üç sıra olarak kiriş gövdesine yerleştirilmiştir.

Temelin enine doğrultusunda hesap yapılırken temel altında  $\sigma$  gerilmesine göre bulunan kritik moment dikkate alınarak birim genişlik için dikdörtgen kesit hesabı yapılmış ve bulunan donatılar  $\rho_{min} = 0.002$  olacak şekilde seçilerek yerleştirilmiştir. Kritik kesite göre momentin bulunması aşağıda özetlenmiştir.



Şekil 7.3 Temel altındaki gerilme yayılışı

Sürekli temelin yapılan yüklemeler sonucunda altıda oluşan gerilmeler ,

$$\sigma_i = K_0 \times \text{Düşey çökme} \quad (7.5)$$

olarak hesaplanabilir. Bu gerilmelerin temelin  $b$  genişliği boyunca düzgün yayılı olduğunu düşünerek kritik moment  $T_m / m$  olarak,

$$M_d = \sigma_i \times ((b - b_w) / 2)^2 / (2 \times b) \quad (7.6)$$

hesaplanır. Bulunan bu moment kullanılarak boyutları  $b=1.00m$  ve  $d_0$  olan dikdörtgen kesit hesabı yapılır. Bulunan donatıların minimum yüzdesi  $\rho_{min} = 0.002$  olarak kabul edilmiştir.

### 7.2.2 Kayma Hesabı

Sürekli temelin kayma hesabı yapılırken betonun kesme kuvveti olmadığı ve yapının 1. Deprem bölgesinde olduğu gözönüne alınarak minimum etriye çapının  $\phi 10$  olduğu düşünülmüştür. Kesme kuvvetinin etriyeler tarafından taşıdığı varsayımlı yapılarak daha önce aşık kirişlerinde ve kren kirişlerinde anlatılan esaslar doğrultusunda kayma hesabı yapılmıştır. Etriye olarak dört kollu etriye kullanılmıştır.

Temelin enine doğrultusunda kayma hesabı yapılırken

$$V_d = \sigma \times (b - b_w) / 2 \quad (7.7)$$

yazılarak kesme kuvveti değeri  $t / m$  olarak bulunur. Yapılan hesaplarda bulunan  $V_d$  değerlerinin eğik çatlamayı oluşturan  $V_{cr}$  kuvvetinden küçük olduğu görülmüş ve enine yönde etriye koyulmamıştır.

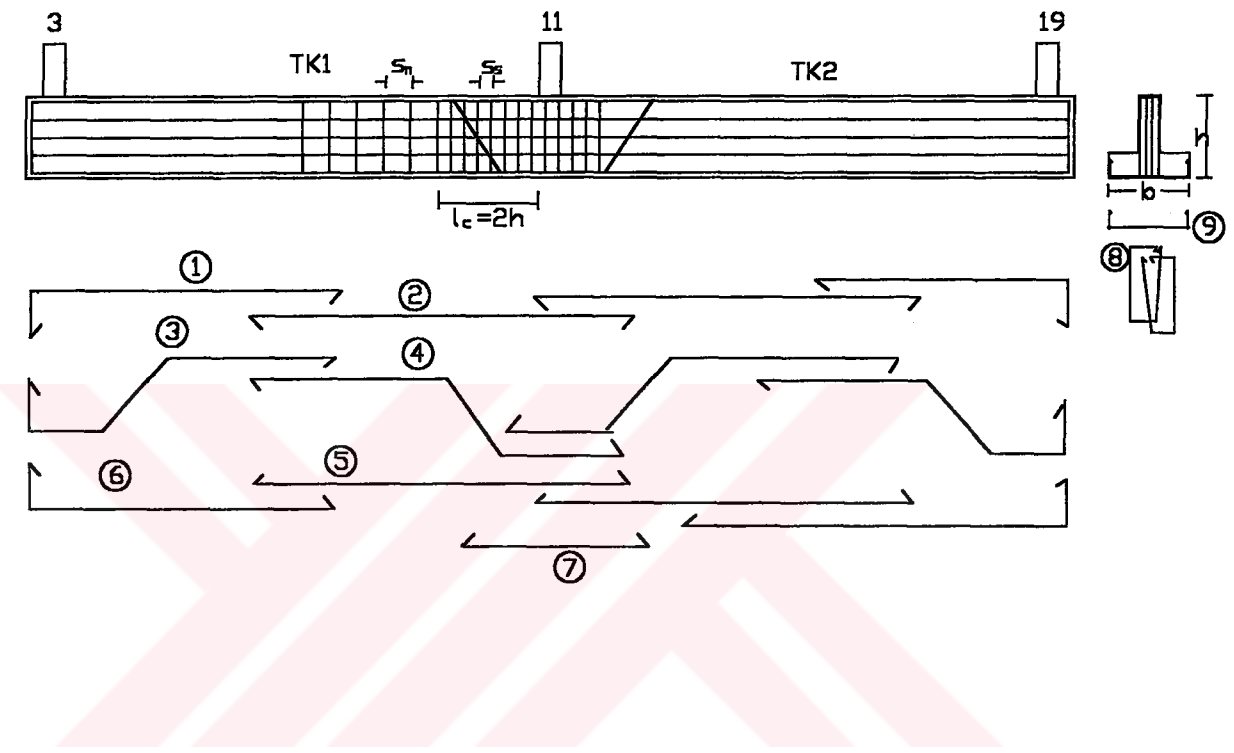
Temelin dış kenarlarına ana donatılara paralel olarak

$$A_q = A_s \times b / 5 \quad (7.8)$$

bağıntısı ile hesaplanan çember donatısı koyularak bu çubukların temelin güç tükemesine yakın durumdaki davranışını olumlu etkilediği düşünülmüştür. Burada  $A_s$  temelde enine doğrultuda koyulan donatı alanını göstermektedir. Yapılan

hesaplarda çember donatısının  $2\phi 10$  olarak yerleştirilmesinin uygun olduğu görülmüştür.

Sürekli temellerdeki donatı düzeni ve yapılacak kontrolller aşağıda özetlenmiştir.



Şekil 7.4 Temellerdeki donatı düzeni

$$\min \rho = 12 / f_{yd} \leq \rho = A_s / (b_w \times d) \quad (7.9)$$

$$\min \rho_w = 0.30 \times f_{ctd} / f_{ywd} \leq \rho_w = A_{sw} / (b_w \times s) \quad (7.10)$$

$$V_{cr} = 0.65 \times f_{ctd} \times b \times d > V_d \text{ ise minimum etriye konur.} \quad (7.11)$$

$$V_{cr} = 0.65 \times f_{ctd} \times b \times d \leq V_d \text{ ise kayma hesabı yapılır.} \quad (7.12)$$

$$V_d \leq V_r = 0.25 \times f_{cd} \times b \times d \text{ olmalı} \quad (7.13)$$

$$\begin{aligned} s_n &\leq \frac{d}{2} \\ b_w & \\ 30\text{cm.} & \end{aligned} \tag{7.14}$$

$$\begin{aligned} s_s &\leq \frac{h}{4} \\ 15\text{cm} & \end{aligned} \tag{7.15}$$

$$\text{Kirişlerde sargı bölgesi } l_c = 2 \times h \tag{7.16}$$

alınmalıdır.



Tablo 7.1 BS 16, BC III için temel hesabi

$$\begin{aligned} f_{cd} &= 110 \text{ Kgf/cm}^2 \\ f_{yd} &= 3650 \text{ Kgf/cm}^2 \end{aligned}$$

## Açıklıkta hesap

| KIRIŞ NO | $b_w$ (cm) | d(cm) | b(cm) | $M_d$ (tcm) | $K_d$  | $K_s$  | x(cm) | $A_s$ (cm $^2$ ) | $\rho$  | SEÇİLEN DONATI(cm $^2$ )   |
|----------|------------|-------|-------|-------------|--------|--------|-------|------------------|---------|----------------------------|
| TK1      | 60         | 115   | 100   | 17142       | 2,7776 | 2,9889 | 24,50 | 44,55            | 0,00646 | 8Φ20 düz+7Φ20 pilye(47,13) |
| TK2      | 60         | 115   | 100   | 17140       | 2,7777 | 2,9889 | 24,50 | 44,55            | 0,00646 | 8Φ20 düz+7Φ20 pilye(47,13) |

$$\begin{array}{|c|} \hline A_g(\text{cm}^2) \\ \hline 6 \Phi 12(6,79) \\ \hline \end{array}$$

| $\rho_{mln}$ | $\rho_b$ | $\rho_m$ | $\rho_d$ |
|--------------|----------|----------|----------|
| 0,00328      | 0,01350  | 0,01150  | 0,00810  |

## Mesnette Hesap

| MESNET NO | $b_w$ (cm) | d(cm) | b(cm) | $M_d$ (tcm) | $K_d$  | $K_s$ | x(cm) | $A_s$ (cm $^2$ ) | MEVCUT DONATI(cm $^2$ ) | EK(cm $^2$ ) |
|-----------|------------|-------|-------|-------------|--------|-------|-------|------------------|-------------------------|--------------|
| 3         | 60         | 115   | 100   | 1290        | 6,8199 | 2,820 | 9,02  | 3,16             | 4 Φ 14 (6,16)           | -            |
| 11        | 60         | 115   | 100   | 16587       | 1,9019 | 3,411 | 56,01 | 49,20            | 4 Φ 14+14 Φ 20(50,14)   | -            |
| 19        | 60         | 115   | 100   | 1296        | 6,8041 | 2,821 | 9,02  | 3,18             | 4 Φ 14 (6,16)           | -            |

### Kayma hesabı

| $V_{cr}(t)$ | $V_d(t)$ | $V_r(t)$ | $I_c(cm)$ | $s_s(cm)$ | $s_n(cm)$ | Etriye    | $V_{ws}(t)$ | $\rho$  | $\rho_{min}$ |
|-------------|----------|----------|-----------|-----------|-----------|-----------|-------------|---------|--------------|
| 40,37       | 62,53    | 189,75   | 240       | 15        | 30        | $\Phi 12$ | 63,24       | 0,00250 | 0,00074      |

### Temel enine donatısının hesabı

| $\sigma_{max}(t/m^2)$ | $M_d(tm/m)$ | $b(cm)$ | $d(cm)$ | $K_d$  | $k_s$ | $A_s(cm^2)$ | $\rho$  | $\rho_{min}$ | SEÇİLEN DONATI( $cm^2$ ) |
|-----------------------|-------------|---------|---------|--------|-------|-------------|---------|--------------|--------------------------|
| 24,08                 | 0,482       | 100     | 35      | 15,949 | 2,800 | 0,39        | 9,0E-05 | 0,002        | $\Phi 14 / 20(7,69)$     |

### Enine doğrultuda kayma kontrolü

| $\sigma_{max}(t/m^2)$ | $V_d(t/m)$ | $b(cm)$ | $d(cm)$ | $V_{cr}(t)$ |
|-----------------------|------------|---------|---------|-------------|
| 24,08                 | 4,82       | 100     | 35      | 20,48       |

Tablo 7.2 BS 20, BC III için temel hesabi

|            |                         |
|------------|-------------------------|
| $f_{cd} =$ | 130 Kg/cm <sup>2</sup>  |
| $f_{yd} =$ | 3650 Kg/cm <sup>2</sup> |

## Açıklıkta hesap

| KIRIŞ NO | $b_w(\text{cm})$ | $d(\text{cm})$ | $b(\text{cm})$ | $M_d(\text{tcm})$ | $k_d$  | $k_s$ | $x(\text{cm})$ | $A_s(\text{cm}^2)$ | $\rho$  | SEÇİLEN DONATI(cm <sup>2</sup> ) |
|----------|------------------|----------------|----------------|-------------------|--------|-------|----------------|--------------------|---------|----------------------------------|
| TK1      | 50               | 115            | 100            | 17142             | 2,7776 | 2,950 | 21,28          | 43,97              | 0,00765 | 8Φ20 düz+6Φ20 pilye(43,98)       |
| TK2      | 50               | 115            | 100            | 17140             | 2,7777 | 2,950 | 21,28          | 43,97              | 0,00765 | 8Φ20 düz+6Φ20 pilye(43,98)       |

| $A_g(\text{cm}^2)$ |
|--------------------|
| 6 Φ 12(6,79)       |

| $\rho_{mln}$ | $\rho_b$ | $\rho_m$ | $\rho_d$ |
|--------------|----------|----------|----------|
| 0,00328      | 0,01600  | 0,01360  | 0,00960  |

## Mesnette Hesap

| MESNET NO | $b_w(\text{cm})$ | $d(\text{cm})$ | $b(\text{cm})$ | $M_d(\text{tcm})$ | $k_d$  | $k_s$ | $x(\text{cm})$ | $A_s(\text{cm}^2)$ | MEVCUT DONATI(cm <sup>2</sup> ) | EK(cm <sup>2</sup> ) |
|-----------|------------------|----------------|----------------|-------------------|--------|-------|----------------|--------------------|---------------------------------|----------------------|
| 3         | 50               | 115            | 100            | 1290              | 6,2257 | 2,817 | 2,40           | 3,16               | 4 Φ 14 (6,16)                   | -                    |
| 11        | 50               | 115            | 100            | 16698             | 1,7304 | 3,377 | 53,64          | 49,03              | 4 Φ 14+12 Φ 20(43,84)           | 2Φ20(6,28)           |
| 19        | 50               | 115            | 100            | 1296              | 6,2113 | 2,817 | 2,40           | 3,17               | 4Φ 14 (6,16)                    | -                    |

### Kayma hesabı

| $V_{cr}(t)$ | $V_d(t)$ | $V_r(t)$ | $b(cm)$ | $s_s(cm)$ | $s_n(cm)$ | $E_{triy\epsilon}$ | $V_{ws}(t)$ | $\rho$  | $\rho_{min}$ |
|-------------|----------|----------|---------|-----------|-----------|--------------------|-------------|---------|--------------|
| 37,38       | 62,71    | 186,88   | 240     | 15        | 30        | $\Phi 12$          | 63,24       | 0,00300 | 0,00082      |

### Temel enine donatısının hesabı

| $\sigma_{max}(t/m^2)$ | $M_d(tm/m)$ | $b(cm)$ | $d(cm)$ | $K_d$   | $k_s$ | $A_s(cm^2)$ | $\rho$   | $\rho_{min}$ | SEÇİLEN DONATI( $cm^2$ ) |
|-----------------------|-------------|---------|---------|---------|-------|-------------|----------|--------------|--------------------------|
| 24,08                 | 0,753       | 100     | 35      | 12,7589 | 2,800 | 0,60        | 0,000172 | 0,002        | $\Phi 14 / 20(7,69)$     |

### Enine doğrultuda kayma kontrolü

| $\sigma_{max}(t/m^2)$ | $V_d(t/m)$ | $b(cm)$ | $d(cm)$ | $V_{cr}(t)$ |
|-----------------------|------------|---------|---------|-------------|
| 24,08                 | 6,020      | 100     | 35      | 22,75       |

Tablo 7.3 BS 25, BC III için temel hesabi

$$\begin{aligned} f_{cd} &= 170 \text{ Kgf/cm}^2 \\ f_{yd} &= 3650 \text{ Kg/cm}^2 \end{aligned}$$

## Açıklıkta hesap

| KIRİŞ NO | $b_w(\text{cm})$ | $d(\text{cm})$ | $b(\text{cm})$ | $M_d(\text{tcm})$ | $K_d$  | $k_s$ | $x(\text{cm})$ | $A_s(\text{cm}^2)$ | $\rho$  | SEÇİLEN DONATI( $\text{cm}^2$ ) |
|----------|------------------|----------------|----------------|-------------------|--------|-------|----------------|--------------------|---------|---------------------------------|
| TK1      | 45               | 115            | 100            | 17142             | 2,7776 | 2,905 | 17,71          | 43,30              | 0,00837 | 8Φ20 düz+6Φ20 pilye(43,98)      |
| TK2      | 45               | 115            | 100            | 17140             | 2,7777 | 2,905 | 17,71          | 43,30              | 0,00837 | 8Φ20 düz+6Φ20 pilye(43,98)      |

| $A_g(\text{cm}^2)$ |
|--------------------|
| 6 Φ 12(6,79)       |

## Mesnette Hesap

| MESNET NO | $b_w(\text{cm})$ | $d(\text{cm})$ | $b(\text{cm})$ | $M_d(\text{tcm})$ | $K_d$  | $k_s$ | $x(\text{cm})$ | $A_s(\text{cm}^2)$ | MEVCUT DONATI( $\text{cm}^2$ ) | MEVCUT DONATI( $\text{cm}^2$ ) | EK( $\text{cm}^2$ ) |
|-----------|------------------|----------------|----------------|-------------------|--------|-------|----------------|--------------------|--------------------------------|--------------------------------|---------------------|
| 3         | 45               | 115            | 100            | 1290              | 5,9062 | 2,807 | 7,60           | 3,15               | 4 Φ 14 (6,16)                  | -                              | -                   |
| 11        | 45               | 115            | 100            | 16698             | 1,6416 | 3,271 | 46,35          | 47,49              | 4 Φ 14+12 Φ 20(43,84)          | 1Φ18(2,54)                     | -                   |
| 19        | 45               | 115            | 100            | 1296              | 5,8926 | 2,807 | 7,60           | 3,16               | 4 Φ 14 (6,16)                  | -                              | -                   |

### Kayma hesabı

| $V_{cr}(t)$ | $V_d(t)$ | $V_r(t)$ | $l_c(cm)$ | $s_s(cm)$ | $s_h(cm)$ | Etriyə    | $V_{ws}(t)$ | $\rho$  | $\rho_{min}$ |
|-------------|----------|----------|-----------|-----------|-----------|-----------|-------------|---------|--------------|
| 38,68       | 62,71    | 219,94   | 240       | 15        | 30        | $\Phi 12$ | 63,24       | 0,00330 | 0,00100      |

### Temel enine donatısının hesabı

| $\sigma_{max}(t/m^2)$ | $M_d(tm/m)$ | $b(cm)$ | $d(cm)$ | $K_d$   | $K_s$ | $A_s(cm^2)$ | $\rho$  | $\rho_{min}$ | SEÇİLEN DONATI(cm <sup>2</sup> ) |
|-----------------------|-------------|---------|---------|---------|-------|-------------|---------|--------------|----------------------------------|
| 24,08                 | 0,911       | 100     | 35      | 11,5990 | 2,800 | 0,73        | 0,00021 | 0,00200      | $\Phi 14 / 20(7,69)$             |

### Enine doğrultuda kayma kontrolü

| $\sigma_{max}(t/m^2)$ | $V_d(t/m)$ | $b(cm)$ | $d(cm)$ | $V_{cr}(t)$ |
|-----------------------|------------|---------|---------|-------------|
| 24,08                 | 6,62       | 100     | 35      | 26,16       |

Tablo 7.4 BS 30, BC III için temel hesabi

$f_{cd} = 200 \text{ Kgf/cm}^2$   
 $f_{yd} = 3650 \text{ Kgf/cm}^2$   
**Açıklıkta hesap**

| KİRİŞ NO | $b_w(\text{cm})$ | $d(\text{cm})$ | $M_d(\text{tcm})$ | $k_d$ | $k_s$  | $x(\text{cm})$ | $A_s(\text{cm}^2)$ | $\rho$ | SEÇİLEN DONATI( $\text{cm}^2$ )    |
|----------|------------------|----------------|-------------------|-------|--------|----------------|--------------------|--------|------------------------------------|
| TK1      | 45               | 115            | 100               | 17142 | 2,7776 | 2,893          | 16,56              | 43,12  | 0,00833 8Φ20 düz+6Φ20 pilye(43,98) |
| TK2      | 45               | 115            | 100               | 17140 | 2,7777 | 2,893          | 16,56              | 43,12  | 0,00833 8Φ20 düz+6Φ20 pilye(43,98) |

| $A_g(\text{cm}^2)$ | $\rho_{min}$ | $\rho_b$ | $\rho_m$ | $\rho_d$ |
|--------------------|--------------|----------|----------|----------|
| 6 Φ 12(6,79)       | 0,00328      | 0,02370  | 0,02000  | 0,01420  |

### Mesnette Hesap

| MESNET NO | $b_w(\text{cm})$ | $d(\text{cm})$ | $M_d(\text{tcm})$ | $k_d$ | $k_s$  | $x(\text{cm})$ | $A_s(\text{cm}^2)$ | MEVCUT DONATI( $\text{cm}^2$ ) | EK( $\text{cm}^2$ )   |
|-----------|------------------|----------------|-------------------|-------|--------|----------------|--------------------|--------------------------------|-----------------------|
| 3         | 45               | 115            | 100               | 1290  | 5,9062 | 2,800          | 2,40               | 3,14                           | 4 Φ 14 (6,16)         |
| 11        | 45               | 115            | 100               | 16818 | 1,6358 | 3,156          | 34,50              | 46,15                          | 4 Φ 14+12 Φ 20(43,84) |
| 19        | 45               | 115            | 100               | 1296  | 5,8926 | 2,800          | 2,40               | 3,16                           | 4 Φ 14 (6,16)         |

### Kayma hesabı

| $V_{cr}(t)$ | $V_d(t)$ | $V_r(t)$ | $l_c(cm)$ | $s_s(cm)$ | $s_n(cm)$ | Etriye    | $V_{ws}(t)$ | $\rho$  | $\rho_{min}$ |
|-------------|----------|----------|-----------|-----------|-----------|-----------|-------------|---------|--------------|
| 42,05       | 62,90    | 258,75   | 240       | 15        | 30        | $\Phi 12$ | 63,24       | 0,00330 | 0,00100      |

### Temel enine donatısının hesabı

| $\sigma_{max}(t/m^2)$ | $M_d(tm/m)$ | $b(cm)$ | $d(cm)$ | $K_d$  | $k_s$ | $A_s(cm^2)$ | $\rho$  | $\rho_{min}$ | SEÇİLEN DONATI!(cm <sup>2</sup> ) |
|-----------------------|-------------|---------|---------|--------|-------|-------------|---------|--------------|-----------------------------------|
| 24,08                 | 0,91        | 100     | 35      | 11,599 | 2,800 | 0,73        | 0,00021 | 0,00200      | $\Phi 14 / 20(7,69)$              |

### Enine doğrultuda kayma kontrolü

| $\sigma_{max}(t/m^2)$ | $V_d(t/m)$ | $b(cm)$ | $d(cm)$ | $V_{cr}(t)$ |
|-----------------------|------------|---------|---------|-------------|
| 24,08                 | 6,62       | 100     | 35      | 28,44       |

Tablo 7.5 BS 35, BC III için temel hesabi

|                                  |                                 |                                   |
|----------------------------------|---------------------------------|-----------------------------------|
| <b>Açıklıkta hesap</b>           | $f_{cd} = 230 \text{ Kgf/cm}^2$ | $f_{yw}d = 3650 \text{ Kgf/cm}^2$ |
| $f_{yd} = 3650 \text{ Kgf/cm}^2$ |                                 |                                   |

| KIRİŞ NO | $b_w(\text{cm})$ | $d(\text{cm})$ | $b(\text{cm})$ | $M_d(\text{tcm})$ | $K_d$  | $k_s$ | $x(\text{cm})$ | $A_s(\text{cm}^2)$ | $\rho$  | SEÇİLEN DONATI( $\text{cm}^2$ ) |
|----------|------------------|----------------|----------------|-------------------|--------|-------|----------------|--------------------|---------|---------------------------------|
| TK1      | 45               | 115            | 100            | 17189             | 2,7738 | 2,886 | 15,76          | 43,14              | 0,00834 | 8Φ20 düz+6Φ20 pilye(43,98)      |
| TK2      | 45               | 115            | 100            | 17187             | 2,7739 | 2,886 | 15,76          | 43,13              | 0,00833 | 8Φ20 düz+6Φ20 pilye(43,98)      |

| $A_g(\text{cm}^2)$ |
|--------------------|
| 6 Φ 12(6,79)       |

| $\rho_{min}$ | $\rho_b$ | $\rho_m$ | $\rho_d$ |
|--------------|----------|----------|----------|
| 0,00328      | 0,02630  | 0,02220  | 0,01580  |

**Mesnette Hesap**

| MESNET NO | $b_w(\text{cm})$ | $d(\text{cm})$ | $b(\text{cm})$ | $M_d(\text{tcm})$ | $K_d$  | $k_s$ | $x(\text{cm})$ | $A_s(\text{cm}^2)$ | MEV/CUT DONATI( $\text{cm}^2$ ) | EIK( $\text{cm}^2$ ) |
|-----------|------------------|----------------|----------------|-------------------|--------|-------|----------------|--------------------|---------------------------------|----------------------|
| 3         | 45               | 115            | 100            | 1295              | 5,8948 | 2,800 | 2,40           | 3,15               | 4 Φ 14 (6,16)                   | -                    |
| 11        | 45               | 115            | 100            | 16818             | 1,6358 | 3,084 | 32,09          | 45,10              | 4 Φ 14+12 Φ 20(43,84)           | 1Φ14(1,54)           |
| 19        | 45               | 115            | 100            | 1303              | 5,8767 | 2,800 | 2,40           | 3,17               | 4 Φ 14 (6,16)                   | -                    |

### Kayma hesabı

| $V_{cr}(t)$ | $V_d(t)$ | $V_r(t)$ | $l_c(\text{cm})$ | $s_s(\text{cm})$ | $s_n(\text{cm})$ | Etriye    | $V_{ws}(t)$ | $\rho$  | $\rho_{\min}$ |
|-------------|----------|----------|------------------|------------------|------------------|-----------|-------------|---------|---------------|
| 45,41       | 62,90    | 297,56   | 240              | 15               | 30               | $\Phi 12$ | 63,24       | 0,00330 | 0,00110       |

### Temel enine donatısının hesabı

| $\sigma_{max}(\text{t/m}^2)$ | $M_d(\text{tm/m})$ | $b(\text{cm})$ | $d(\text{cm})$ | $K_d$  | $K_s$ | $A_s(\text{cm}^2)$ | $\rho$  | $\rho_{\min}$ | SEÇİLEN DONATI( $\text{cm}^2$ ) |
|------------------------------|--------------------|----------------|----------------|--------|-------|--------------------|---------|---------------|---------------------------------|
| 24,08                        | 0,91               | 100            | 35             | 11,599 | 2,800 | 0,73               | 0,00021 | 0,00200       | $\Phi 14 / 20(7,69)$            |

### Enine doğrultuda kayma kontrolü

| $\sigma_{max}(t/m^2)$ | $V_d(t/m)$ | $b(\text{cm})$ | $d(\text{cm})$ | $V_{cr}(t)$ |
|-----------------------|------------|----------------|----------------|-------------|
| 24,08                 | 6,62       | 100            | 35             | 30,71       |

Tablo 7.6 BS 40, BC III için temel hesabi

| Açıklıkta hesap |            |          |          |             |        |       |
|-----------------|------------|----------|----------|-------------|--------|-------|
| KIRİŞ NO        | $b_w$ (cm) | $d$ (cm) | $b$ (cm) | $M_d$ (tcm) | $K_d$  | $k_s$ |
| TK1             | 45         | 115      | 100      | 17189       | 2,7738 | 2,879 |
| TK2             | 45         | 115      | 100      | 17187       | 2,7739 | 2,879 |

| $A_g$ (cm <sup>2</sup> ) |
|--------------------------|
| 6 Φ 12(6,79)             |

$f_{cd} = 270 \text{ Kgf/cm}^2$   
 $f_{yd} = 3650 \text{ Kgf/cm}^2$   
 $f_{yw} = 3650 \text{ Kgf/cm}^2$

| KIRİŞ NO | $b_w$ (cm) | $d$ (cm) | $b$ (cm) | $M_d$ (tcm) | $K_d$  | $k_s$ | $x$ (cm) | $A_s$ (cm <sup>2</sup> ) | $\rho$  | SEÇİLEN DONATI(cm <sup>2</sup> ) |                |
|----------|------------|----------|----------|-------------|--------|-------|----------|--------------------------|---------|----------------------------------|----------------|
|          |            |          |          |             |        |       |          |                          |         | ρ <sub>m</sub>                   | ρ <sub>b</sub> |
| TK1      | 45         | 115      | 100      | 17189       | 2,7738 | 2,879 | 15,07    | 43,03                    | 0,00832 | 8Φ20 düz+6Φ20 pilye(43,98)       |                |
| TK2      | 45         | 115      | 100      | 17187       | 2,7739 | 2,879 | 15,07    | 43,03                    | 0,00831 | 8Φ20 düz+6Φ20 pilye(43,98)       |                |

### Mesnette Hesap

| MESNET NO | $b_w$ (cm) | $d$ (cm) | $b$ (cm) | $M_d$ (tcm) | $K_d$  | $k_s$ | $x$ (cm) | $A_s$ (cm <sup>2</sup> ) | $M_{EV CUT}$ DONATI(cm <sup>2</sup> ) | $M_E$ (cm <sup>2</sup> ) | $E_K$ (cm <sup>2</sup> ) |
|-----------|------------|----------|----------|-------------|--------|-------|----------|--------------------------|---------------------------------------|--------------------------|--------------------------|
| 3         | 45         | 115      | 100      | 1295        | 5,8948 | 2,800 | 2,40     | 3,15                     | 4 Φ 14 (6,16)                         | -                        | -                        |
| 11        | 45         | 115      | 100      | 16818       | 1,6358 | 3,031 | 27,76    | 44,33                    | 4 Φ 14+12 Φ 20(43,84)                 | 1Φ12(1,13)               |                          |
| 19        | 45         | 115      | 100      | 1303        | 5,8767 | 2,800 | 2,40     | 3,17                     | 4 Φ 14 (6,16)                         | -                        |                          |

### Kayma hesabı

| $V_{cr}(t)$ | $V_d(t)$ | $V_r(t)$ | $l_c(cm)$ | $s_s(cm)$ | $s_n(cm)$ | Eriye     | $V_{ws}(t)$ | $\rho$  | $\rho_{min}$ |
|-------------|----------|----------|-----------|-----------|-----------|-----------|-------------|---------|--------------|
| 48,77       | 62,90    | 349,31   | 240       | 15        | 30        | $\Phi 12$ | 63,24       | 0,00330 | 0,00120      |

### Temel enine donatısının hesabı

| $\sigma_{max}(t/m^2)$ | $M_d(tm/m)$ | $b(cm)$ | $d(cm)$ | $K_d$  | $k_s$ | $A_s(cm^2)$ | $\rho$  | $\rho_{min}$ | SEÇİLEN DONATI( $cm^2$ ) |
|-----------------------|-------------|---------|---------|--------|-------|-------------|---------|--------------|--------------------------|
| 24,08                 | 0,91        | 100     | 35      | 11,599 | 2,800 | 0,73        | 0,00021 | 0,00200      | $\Phi 14 / 20(7,69)$     |

### Enine doğrultuda kayma kontrolü

| $\sigma_{max}(t/m^2)$ | $V_d(t/m)$ | $b(cm)$ | $d(cm)$ | $V_{cr}(t)$ |
|-----------------------|------------|---------|---------|-------------|
| 24,08                 | 6,62       | 100     | 35      | 32,99       |

**Tablo 7.7 BS 45, BC III için temel hessabı**

fcd= 300 Kgf/cm<sup>2</sup>  
fyd= 3650 Kgf/cm<sup>2</sup>  
fywd= 3650 Kgf/cm<sup>2</sup>

Açıklıkta hesap

| KIRIŞ NO | $b_w$ (cm) | d(cm) | b(cm) | M <sub>d</sub> (cm) | K <sub>d</sub> | k <sub>s</sub> | x(cm) | A <sub>s</sub> (cm <sup>2</sup> ) | $\rho$  | SEÇİLEN DONATI(cm <sup>2</sup> ) |
|----------|------------|-------|-------|---------------------|----------------|----------------|-------|-----------------------------------|---------|----------------------------------|
| TK1      | 45         | 115   | 100   | 17189               | 2,7738         | 2,872          | 14,38 | 42,93                             | 0,00830 | 8Φ20 düz+6Φ20 pilye(43,98)       |
| TK2      | 45         | 115   | 100   | 17187               | 2,7739         | 2,872          | 14,38 | 42,92                             | 0,00829 | 8Φ20 düz+6Φ20 pilye(43,98)       |

| $\rho_{\text{min}}$ | $\rho_b$ | $\rho_m$ | $\rho_d$ |
|---------------------|----------|----------|----------|
| 0,00328             | 0,03170  | 0,02670  | 0,01900  |

Mesnette Hesap

| MESNET NO | b <sub>w</sub> (cm) | d(cm) | b(cm) | M <sub>d</sub> (cm) | K <sub>d</sub> | k <sub>s</sub> | x(cm) | A <sub>s</sub> (cm <sup>2</sup> ) | MEVCUT DONATI(cm <sup>2</sup> ) | EK(cm <sup>2</sup> ) |
|-----------|---------------------|-------|-------|---------------------|----------------|----------------|-------|-----------------------------------|---------------------------------|----------------------|
| 3         | 45                  | 115   | 100   | 1295                | 5,8948         | 2,800          | 2,40  | 3,15                              | 4 Φ 14 (6,16)                   | -                    |
| 11        | 45                  | 115   | 100   | 16934               | 1,6301         | 2,996          | 24,96 | 44,12                             | 4 Φ 14+12 Φ 20(43,84)           | 1Φ12(1,13)           |
| 19        | 45                  | 115   | 100   | 1303                | 5,8767         | 2,800          | 2,40  | 3,17                              | 4 Φ 14 (6,16)                   | -                    |

### Kayma hesabı

| $V_{cr}(t)$ | $V_d(t)$ | $V_r(t)$ | $l_c(cm)$ | $s_s(cm)$ | $s_n(cm)$ | Etriye    | $V_{ws}(t)$ | $\rho$  | $\rho_{min}$ |
|-------------|----------|----------|-----------|-----------|-----------|-----------|-------------|---------|--------------|
| 52,14       | 63,09    | 388,13   | 240       | 15        | 30        | $\Phi 12$ | 63,24       | 0,00330 | 0,00130      |

### Temel enine donatısının hesabı

| $\sigma_{max}(t/m^2)$ | $M_d(tm/m)$ | $b(cm)$ | $d(cm)$ | $K_d$  | $k_s$ | $A_s(cm^2)$ | $\rho$  | $\rho_{min}$ | SEÇİLEN DONATI( $cm^2$ ) |
|-----------------------|-------------|---------|---------|--------|-------|-------------|---------|--------------|--------------------------|
| 24,08                 | 0,91        | 100     | 35      | 11,599 | 2,800 | 0,73        | 0,00021 | 0,00200      | $\Phi 14 / 20(7,69)$     |

### Enine doğrultuda kayma kontrolü

| $\sigma_{max}(t/m^2)$ | $V_d(t/m)$ | $b(cm)$ | $d(cm)$ | $V_{cr}(t)$ |
|-----------------------|------------|---------|---------|-------------|
| 24,08                 | 6,62       | 100     | 35      | 35,26       |

Tablo 7.8 BS 50, BC III için temel hesabi

$$\begin{aligned} f_{cd} &= 330 \text{ Kgf/cm}^2 \\ f_{yd} &= 3650 \text{ Kgf/cm}^2 \end{aligned}$$

## Açıklıkta hesap

| KIRIŞ NO | $b_w$ (cm) | d(cm) | b(cm) | M <sub>d</sub> (tcm) | K <sub>d</sub> | k <sub>s</sub> | x(cm) | A <sub>s</sub> (cm <sup>2</sup> ) | ρ       | SEÇİLEN DONATI(cm <sup>2</sup> ) |
|----------|------------|-------|-------|----------------------|----------------|----------------|-------|-----------------------------------|---------|----------------------------------|
| TK1      | 45         | 115   | 100   | 17215                | 2,7717         | 2,867          | 13,80 | 42,92                             | 0,00829 | 8Φ20 düz+6Φ20 pilye(43,98)       |
| TK2      | 45         | 115   | 100   | 17204                | 2,7726         | 2,867          | 13,80 | 42,89                             | 0,00829 | 8Φ20 düz+6Φ20 pilye(43,98)       |

| Ag(cm <sup>2</sup> ) |
|----------------------|
| 6 Φ 12(6,79)         |

| ρ <sub>m̄n</sub> | ρ <sub>b</sub> | ρ <sub>m̄</sub> | ρ <sub>d</sub> |
|------------------|----------------|-----------------|----------------|
| 0,000328         | 0,03340        | 0,02830         | 0,02000        |

## Mesnette Hesap

| MESNET NO | $b_w$ (cm) | d(cm) | b(cm) | M <sub>d</sub> (tcm) | K <sub>d</sub> | k <sub>s</sub> | x(cm) | A <sub>s</sub> (cm <sup>2</sup> ) | MEVCUT DONATI(cm <sup>2</sup> ) | EK(cm <sup>2</sup> ) |
|-----------|------------|-------|-------|----------------------|----------------|----------------|-------|-----------------------------------|---------------------------------|----------------------|
| 3         | 45         | 115   | 100   | 1301                 | 5,8812         | 2,800          | 2,40  | 3,17                              | 4 Φ 14 (6,16)                   | -                    |
| 11        | 45         | 115   | 100   | 16934                | 1,6301         | 2,977          | 23,46 | 43,84                             | 4 Φ 14+12 Φ 20(43,84)           | -                    |
| 19        | 45         | 115   | 100   | 1308                 | 5,8655         | 2,800          | 2,40  | 3,18                              | 4 Φ 14 (6,16)                   | -                    |

### Kayma hesabı

| $V_{cr}(t)$ | $V_d(t)$ | $V_r(t)$ | $l_c(cm)$ | $s_s(cm)$ | $s_n(cm)$ | Etriye    | $V_{ws}(t)$ | $\rho$  | $\rho_{min}$ | $V_{vb}(t)$ | $V_{top}(t)$ |
|-------------|----------|----------|-----------|-----------|-----------|-----------|-------------|---------|--------------|-------------|--------------|
| 55,50       | 63,09    | 426,94   | 240       | 15        | 30        | $\Phi 12$ | 63,24       | 0,00330 | 0,00140      | 40,92       | 104,16       |

### Temel enine donatısının hesabı

| $\sigma_{max}(t/m^2)$ | $M_d(tm/m)$ | $b(cm)$ | $d(cm)$ | $K_d$  | $k_s$ | $A_s(cm^2)$ | $\rho$  | $\rho_{min}$ | SEÇİLEN DONATIL( $cm^2$ ) |
|-----------------------|-------------|---------|---------|--------|-------|-------------|---------|--------------|---------------------------|
| 24,08                 | 0,91        | 100     | 35      | 11,599 | 2,800 | 0,73        | 0,00021 | 0,00200      | $\Phi 14 / 20(7,69)$      |

### Enine doğrultuda kayma kontrolü

| $\sigma_{max}(t/m^2)$ | $V_d(t/m)$ | $b(cm)$ | $d(cm)$ | $V_{cr}(t)$ |
|-----------------------|------------|---------|---------|-------------|
| 24,08                 | 6,62       | 100     | 35      | 37,54       |

### 7.3 TEMELLERİN FİYATLANDIRILMASI

Çalışmaya konu olan endüstri yapısında 9 adet sürekli temel bulunmaktadır. Bu temeller enine doğrultuda bağ kırışları ile bağlanmıştır. Bağ kırışlarının sayısı yapıda 8 açıklık bulunduğuundan 24 adet olarak saptanmıştır. Daha önce yapılmış olan betonarme hesaplar bir adet sürekli temele ait olduğundan fiyatlandırma yapılarken temel adedi gözönünde bulundurulmalıdır.

#### 7.3.1 TEMEL İMALAT ÇEŞİTLERİ

##### 7.3.1.1 DEMİR İMALATI

Temellerde kullanılacak olan demir miktarı hesaplanırken Şekil 7.3'de verilen donatı şeması kullanılarak bir metraj çıkarılmıştır. Pilyeler moment diyagramı gözönünde tutularak sadece orta kolon altındaki bölgede kırılmış kenar kolonların altındaki bölgelerde ise düz olarak uzatılmıştır. Kullanılan demirlerin boyları kanca boyları, ankraj boyları ve bindirme boyları gözönünde tutularak ölçekli çizimler sonucu bulunmuştur. Bağ kırışlarında kullanılan donatlar düz olarak yerleştirilmiş ve temel içine kenetlenme boyu kadar uzatılmıştır.

##### 7.3.1.2 KALIP İMALATI

- Sürekli temel yapılarken kullanılacak olan kalıp miktarı  $m^2$  olarak,

$$TKA_1 (m^2) = 9 \times l_a \times (2 \times h) + 2 \times [b \times d_o + (h - d_o) \times b_w] \quad (7.17)$$

olarak hesaplanmıştır. Burada  $l_a$  temelin toplam uzunluğunu göstermektedir.

- Bağ kırışları yapılarken kullanılacak kalıp miktarı  $m^2$  olarak

$$TKA_2 (m^2) = 24 \times 2 \times b_d \times l_{bag} \quad (7.18)$$

olarak hesaplanmıştır. Burada  $b_d$  bağ kirişinin genişlik ve yüksekliğini,  $l_{bağ}$  ise iki sürekli temel arasındaki net mesafeyi göstermektedir.

- Temellerin ve bağ kirişlerinin altına dökülecek 10 cm kalınlığında ve 1.5m genişliğindeki (temel genişliğinin her iki tarafından 25cm taştığı düşünülmüştür.) grobeton kalıbı için gerekli kalıp miktarı  $m^2$  olarak,

$$TKA_3(m^2) = 18 \times l_a \times 0.10 + 18 \times 1.50 \times 0.10 + 48 \times (l_{bağ} - 0.5) \times 0.10 \quad (7.18)$$

olarak hesaplanmıştır.

#### 7.3.1.3 BETON İMALATI

- Sürekli temel yapıılırken kullanılacak olan beton miktarı  $m^3$  olarak,

$$TBM_1 (m^3) = 9 \times l_a \times [ b \times d_o + (h - d_o) \times b_w ] \quad (7.19)$$

olarak hesaplanmıştır.

- Bağ kirişlerinin yapımı için kullanılacak olan beton miktarı

$$TBM2 (m^2) = 24 \times b_d^2 \times l_{bağ} \quad (7.20)$$

olarak hesaplanmıştır.

#### 7.3.1.4 KAZI YAPILMASI

Temel alt seviyesi daha önce anlatıldığı üzere don derinliği olan  $h = 1.20m.$ 'ye gelecek şekilde yapılacaktır. Temellerin kalıplarının rahat bir şekilde takılıp sökülebilmesi için temel genişliğinden ve temel uzunluğundan her iki yöne 1'er metre gidilerek kazı

yapılması uygun görülmüştür. Bu durumda kazı yapılacak olan toprak hacmi  $m^3$  olarak,

$$TKH_1 (m^3) = 9 \times h \times (b + 2) \times (l_a + 2) \quad (7.21)$$

olarak hesaplanmıştır.

Bağ kirişlerinin yapılabilmesi için yapılacak olan kazı miktarı da aynı yol izlenerek

$$TKH_2 (m^3) = 24 \times h \times (l_{bag} - 2) \times (b_d + 2) \quad (7.22)$$

olarak hesaplanmıştır.

#### 7.3.1.5 KUM - ÇAKIL SERİLMESİ

Kazı yapılan bölgenin tabanına serilen 10 cm kalınlığındaki kum - çakıl serilmesi imalatı  $m^3$  olarak,

$$TCH(m^3) = 0.10 \times [(8 \times (l_a + 2) \times (b + 2)) + 24 \times (l_{bag} - 2) \times (b_d + 2)] \quad (7.23)$$

olarak hesaplanmıştır.

#### 7.3.1.6 GROBETON İMALATI

Kum-çakıl serilen alanın üzerine 10 cm kalınlığında grobeton dökülecektir. Grobeton genişliği temel altında 1.5 m, bağ kirişlerinin altında ise 0.70m olarak alınmış ve grobeton imalatı  $m^3$  olarak,

$$TGM(m^3) = 9 \times l_a \times 0.10 \times 1.5 + 24 \times (l_{bag} - 0.5) \times 0.10 \times 0.70 \quad (7.24)$$

olarak hesaplanmıştır.

**Tablo 7.9 BS16,BÇ III için temel maliyeti**

**Tablo 7.10 BS20,BÇ III için temel maliyeti**

| SIRA NO | POZ NO   | İMALATIN CİNSİ                      | MİKTARI | ÖLÇÜ BİRİMİ    | 1997 YILI BİRİM FİYATI (TL)   | TUTARI (TL)                            |
|---------|----------|-------------------------------------|---------|----------------|-------------------------------|--|
| 1       | 16.058/1 | BS 20 HAZIR BETONU                  | 287.28  | M <sup>3</sup> | 6.975.523                     | 2.003.928.247                          |
| 2       | 21.011   | DÜZ YÜZEYLİ BETONARME KALIP         | 997.08  | M <sup>2</sup> | 804.400                       | 802.051.152                            |
| 3       | 23.001/1 | Φ8-Φ12 MM BETONARME DEMİRİ          | 8.30    | T              | 54.207.500                    | 449.922.250                            |
| 4       | 23.002   | Φ14-Φ50 MM BETONARME DEMİRİ         | 20.24   | T              | 48.523.100                    | 982.107.544                            |
| 5       | 15.006/1 | KAZI YAPILMASI                      | 1451.16 | M <sup>3</sup> | 137.928                       | 200.155.597                            |
| 6       | 15.140/2 | KUM-ÇAKIL SERİLMESİ MALZEME NAKLİYE | 120.93  | M <sup>3</sup> | 564.375<br>602.000<br>268.750 | 68.249.867<br>72.799.860<br>32.499.938 |
| 7       | 16.003   | GROBETON DÖKÜLMESİ                  | 52.83   | M <sup>3</sup> | 4.021.320                     | 212.446.336                            |
|         |          |                                     |         |                |                               | <b>4.824.160.791</b>                   |

**Tablo 7.11 BS25,BÇ III için temel maliyeti**

| SIRA NO | POZ NO            | İMALATIN CİNSİ                      | MİKTARI | ÖLÇÜ BİRİMİ    | 1997 YILI BİRİM FİYATI (TL)   | TUTARI (TL)                            |
|---------|-------------------|-------------------------------------|---------|----------------|-------------------------------|--|
| 1       | 16.059            | BS 25 HAZIR BETONU                  | 273.35  | M <sup>3</sup> | 7.269.373                     | 1.987.083.110                          |
| 2       | 21.011            | DÜZ YÜZEYLİ BETONARME KALIP         | 996.36  | M <sup>2</sup> | 804.400                       | 801.471.984                            |
| 3       | 23.001/1          | Φ8-Φ12 MM BETONARME DEMİRİ          | 8.19    | T              | 54.207.500                    | 443.959.425                            |
| 4       | 23.002            | Φ14-Φ50 MM BETONARME DEMİRİ         | 19.86   | T              | 48.523.100                    | 963.668.766                            |
| 5       | 15.006/1          | KAZI YAPILMASI                      | 1451.16 | M <sup>3</sup> | 137.928                       | 200.155.597                            |
| 6       | 15.140/2          | KUM-ÇAKIL SERİLMESİ MALZEME NAKLİYE | 120.93  | M <sup>3</sup> | 564.375<br>602.000<br>268.750 | 68.249.867<br>72.799.860<br>32.499.938 |
| 7       | 4.003<br>09.003/1 | GROBETON DÖKÜLMESİ                  | 52.83   | M <sup>3</sup> | 4.021.320                     | 212.446.336                            |
|         |                   |                                     |         |                |                               | <b>4.782.334.883</b>                   |

**Tablo7.12 BS30,BÇ III için temel maliyeti**

**Tablo 7.13 BS35,BÇ III için temel maliyeti**

Tablo 7.14 BS40,BÇ III için temel maliyeti

| SIRA NO | POZ NO   | İMALATIN CİNSİ                      | MİKTARI | ÖLÇÜ BİRİMİ    | 1997 YILI BİRİM FİYATI (TL)   | TUTARI (TL)                            |
|---------|----------|-------------------------------------|---------|----------------|-------------------------------|--|
| 1       | 16.059/3 | BS 40 HAZIR BETONU                  | 273.35  | M <sup>3</sup> | 8.356.873                     | 2.284.351.235                          |
| 2       | 21.011   | DÜZ YÜZEYLİ BETONARME KALIP         | 996.36  | M <sup>2</sup> | 804.400                       | 801.471.984                            |
| 3       | 23.001/1 | Φ8-Φ12 MM BETONARME DEMİRİ          | 8.19    | T              | 54.207.500                    | 443.959.425                            |
| 4       | 23.002   | Φ14-Φ50 MM BETONARME DEMİRİ         | 19.63   | T              | 48.523.100                    | 952.508.453                            |
| 5       | 15.006/1 | KAZI YAPILMASI                      | 1451.16 | M <sup>3</sup> | 137.928                       | 200.155.597                            |
| 6       | 15.140/2 | KUM-ÇAKIL SERİLMESİ MALZEME NAKLİYE | 120.93  | M <sup>3</sup> | 564.375<br>602.000<br>268.750 | 68.249.867<br>72.799.860<br>32.499.938 |
| 7       | 16.003   | GROBETON DÖKÜLMESİ                  | 52.83   | M <sup>3</sup> | 4.021.320                     | 212.446.336                            |
|         |          |                                     |         |                |                               | <b>5.068.442.695</b>                   |

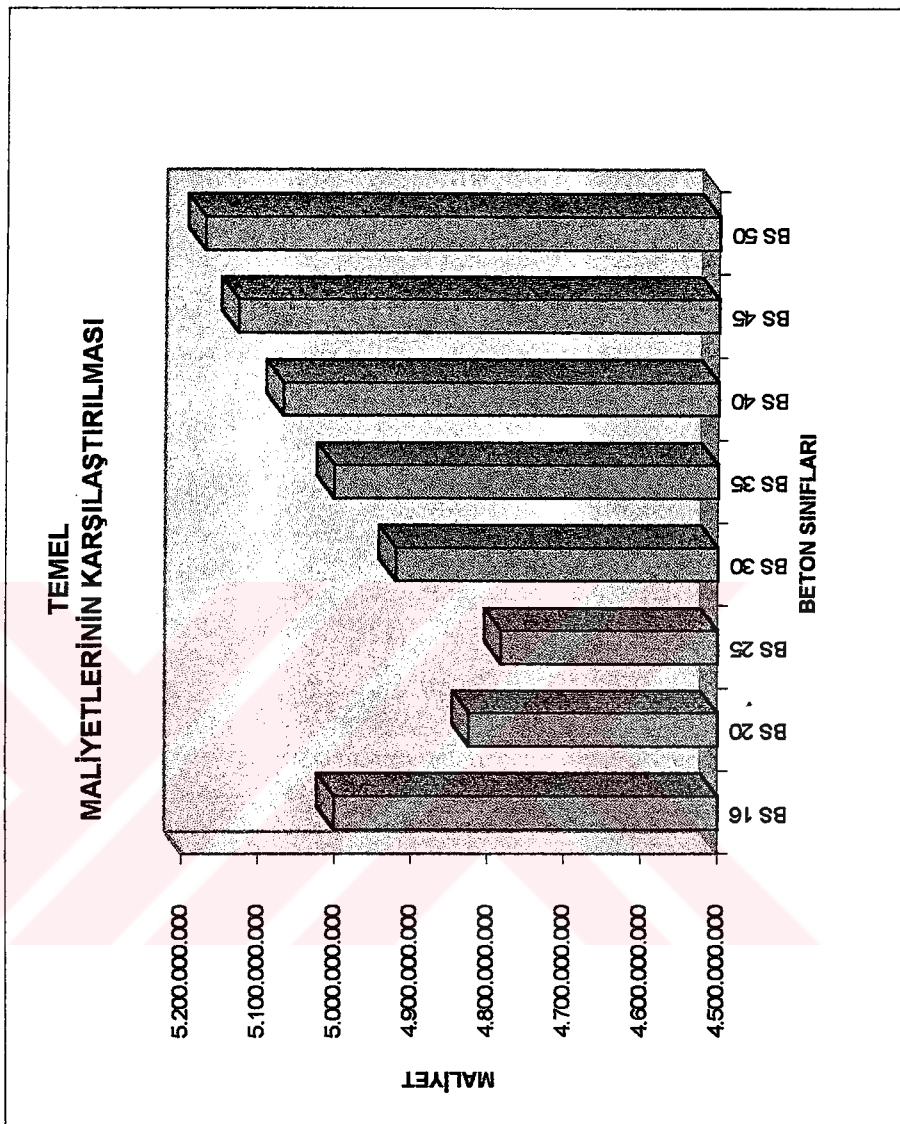
**Tablo 7.15 BS45,BÇ III için temel maliyeti**

| SIRA NO | POZ NO                        | İMALATIN CİNSİ                      | MİKTARI | ÖLÇÜ BİRİMİ    | 1997 YILI BİRİM FİYATI (TL)   | TUTARI (TL)                            |
|---------|-------------------------------|-------------------------------------|---------|----------------|-------------------------------|--|
| 1       | 16.059/4                      | BS 45 HAZIR BETONU                  | 273.35  | M <sup>3</sup> | 8.581.873                     | 2.345.854.985                          |
| 2       | 21.011                        | DÜZ YÜZEYLİ BETONARME KALIP         | 996.36  | M <sup>2</sup> | 804.400                       | 801.471.984                            |
| 3       | 23.001/1                      | Φ8-Φ12 MM BETONARME DEMİRİ          | 8.19    | T              | 54.207.500                    | 443.959.425                            |
| 4       | 23.002                        | Φ14-Φ50 MM BETONARME DEMİRİ         | 19.58   | T              | 48.523.100                    | 950.082.298                            |
| 5       | 15.006/1                      | KAZI YAPILMASI                      | 1451.16 | M <sup>3</sup> | 137.928                       | 200.155.597                            |
| 6       | 15.140/2<br>4.003<br>09.003/1 | KUM-ÇAKIL SERİLMESİ MALZEME NAKLİYE | 120.93  | M <sup>3</sup> | 564.375<br>602.000<br>268.750 | 68.249.867<br>72.799.860<br>32.499.938 |
| 7       | 16.003                        | GROBETON DÖKÜLMESİ                  | 52.83   | M <sup>3</sup> | 4.021.320                     | 212.446.336                            |
|         |                               |                                     |         |                |                               | <b>5.127.520.290</b>                   |

**Tablo 7.16 BS50,BÇ III için temel maliyeti**

Tablo 7.17 Temel maliyetlerinin karşılaştırılması

| BETON SINIFI | TOPLAM TEMEL MALIYETİ(TL) |
|--------------|---------------------------|
| BS 16        | 5.000.697.257             |
| BS 20        | 4.824.160.791             |
| BS 25        | 4.782.334.883             |
| BS 30        | 4.920.253.347             |
| BS 35        | 5.001.793.374             |
| BS 40        | 5.068.442.695             |
| BS 45        | 5.127.520.290             |
| BS 50        | 5.171.474.692             |



## BÖLÜM 8

### SİSTEMİN GENEL MALİYET ANALİZİ

#### 8.1 SİSTEM TOPLAM MALİYETLERİNİN BULUNMASI

Sözkonusu olan endüstri yapısında, yapıyı oluşturan alt sistemler ayrı ayrı incelenerek beton kalitesinin değişimine göre maliyetleri çıkarılmıştır. Her beton sınıfı için bulunan maliyetler toplanarak yapının toplam maliyetinin çıkarılmasına çalışılmıştır. Daha önceki bölümlerde belirtildiği gibi döşeme sistemi için diğer sistemlerde yapılan tarzda bir çalışma yapılmamış, dösemeler için malzeme olarak BS16, BÇ I malzemelerinin uygun olduğu düşünülerek döşeme maliyeti buna göre çıkarılmıştır. Bu sebeple değişik beton sınıfları için toplam maliyet bulunurken döşeme sistemi maliyetinin sabit kaldığı kabul edilmiştir. Bu açıklamalar ışığında her beton sınıfı için hesaplanan yapı toplam maliyetleri Tablo 8.1'de gösterilmiştir.

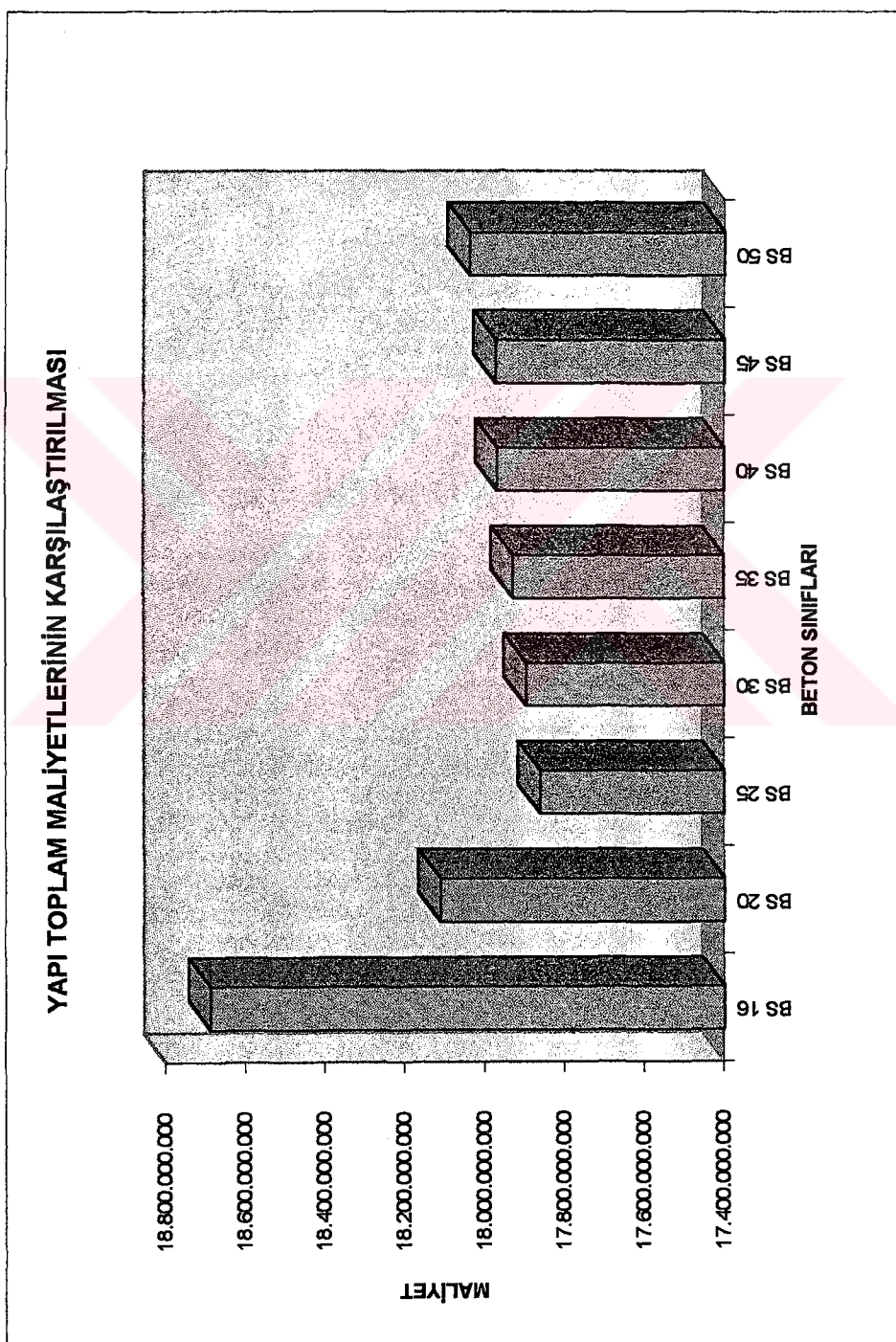
#### 8.2 MALİYETLERİN KARŞILAŞTIRILMASI

Her beton sınıfı için çıkarılan yapı toplam maliyetleri Şekil 8.1'de grafik olarak gösterilmiştir. Grafikten de görülebileceği gibi yapının tümünde aynı kalitede beton kullanılması halinde (dösemeler hariç) BS 25 betonu sözkonusu endüstri tipi yapılarda en düşük maliyeti veren beton kalitesi olmaktadır. Fakat yapının ekonomik olarak boyutlandırmasında tek tip beton kullanmak yerine her alt sistem için uygun olan beton kalitelerini kullanmanın en uygun sonucu vereceği açıktır.

Tablo 8.1 Toplam maliyetlerin karşılaştırılması

| BETON SINIFI | DÖŞEME MALİYETİ(TL) | AŞIK KIRIŞI MALİYETİ(TL) | KREN KIRIŞI MALİYETİ(TL) | KREN KONSOLU MALİYETİ(TL) | ÇERÇEVE MALİYETİ(TL) | TEMEL MALİYETİ(TL) |
|--------------|---------------------|--------------------------|--------------------------|---------------------------|----------------------|--------------------|
| BS 16        | 4.693.683.218       | 459.875.297              | 779.303.413              | 203.489.430               | 7.551.608.499        | 5.000.697.257      |
| BS 20        | 4.693.683.218       | 441.856.530              | 743.311.291              | 192.855.533               | 7.215.887.490        | 4.824.160.791      |
| BS 25        | 4.693.683.218       | 445.659.583              | 716.851.839              | 170.707.257               | 7.052.745.954        | 4.782.334.883      |
| BS 30        | 4.693.683.218       | 453.129.583              | 671.102.634              | 166.348.846               | 6.992.590.688        | 4.920.253.347      |
| BS 35        | 4.693.683.218       | 456.173.890              | 676.921.384              | 157.409.731               | 6.943.056.571        | 5.001.793.374      |
| BS 40        | 4.693.683.218       | 458.408.197              | 680.722.297              | 157.420.707               | 6.910.187.632        | 5.068.442.695      |
| BS 45        | 4.693.683.218       | 461.560.874              | 676.351.772              | 157.797.226               | 6.856.815.970        | 5.127.520.290      |
| BS 50        | 4.693.683.218       | 464.080.874              | 676.718.617              | 157.982.245               | 6.875.324.622        | 5.171.474.692      |

| BETON SINIFI | YAPI TOPLAM MALİYETİ(TL) |
|--------------|--------------------------|
| BS 16        | 18.688.657.114           |
| BS 20        | 18.111.754.853           |
| BS 25        | 17.861.982.734           |
| BS 30        | 17.897.108.316           |
| BS 35        | 17.929.038.168           |
| BS 40        | 17.968.864.746           |
| BS 45        | 17.973.729.350           |
| BS 50        | 18.039.264.268           |



Şekil 8.1 Maliyet grafiği

## SONUÇLAR VE ÖNERİLER

Bu çalışmada, tek katlı iki açıklıklı bir endüstri yapı sisteminin beton kalitesindeki değişimler baz alınarak optimum çözümü aranmıştır. Bu amaçla aşık kırı, kren kırı, kren konsolu, ana çerçeve ve temel sistemleri değişik beton kalitelerine göre hesaplanıp, maliyetleri çıkarılmak suretiyle ayrı ayrı incelenmiştir. Beton çeliği için beton sınıflarında yapılan tarzda bir inceleme yapılmamış, dösemeler dışındaki bütün sistemlerde BÇ III çeliğinin kullanılması uygun görülmüştür.

1. Döseme sistemlerinde beton kalitesinin değişimine göre bir araştırma yapılması daha önce yayımlanan literatürler de gözönünde bulundurularak gereksiz görülmüştür. Literatürlerde döseme sistemlerinde kullanılacak en uygun malzemeler BS16, BÇ I olarak verilmiştir. Bu sebeple incelenen yapı sisteminde dösemeler için daha kapsamlı bir araştırma yapılmasına gerek duyulmadan malzeme olarak BS16, BÇ I kullanılmasının uygun olacağı düşünülmüştür. Dösemeler bu malzemeler kullanılarak çözülmüş ve maliyetleri Tablo 3.5 'de verilmiştir.
2. Boylama aşık kırılarının statik hesabı, üzerlerine gelen yükler esas alınarak yapılmış ve elde edilen moment ve kesme kuvveti değerlerine göre de betonarme hesapları yapılmıştır. Aşık kırılarında minimum boyut olarak  $b/h = 20\text{cm} / 30\text{cm}$  alınmıştır. Boyutlandırma yapılırken, kenar aşıklar için her beton sınıfında minimum boyutları kullanmanın yeterli olduğu görülmüştür. İç ve mahya aşıklarında ise sadece BS16 betonu için  $20\text{cm} / 35\text{cm}$  boyutlarının kullanılması gerektiği, diğer beton sınıfları için minimum boyutları kullanmanın yeterli olduğu görülmüştür. Aşık kırılarının boyutlandırılması sırasında bütün beton kaliteleri için donatının minimum donatı civarında tutulması gerektiği görülmüştür. Donatilar pliye yapılmadan mesnetten mesnete kadar uzatılmış ve gerekli mesnet bölgelerinde ek donatilar koyulmuştur. Kayma donatısı olarak minimum etriye kullanılmasının yeterli olduğu ve etriyeler için BÇ I kullanılması gerektiği görülmüştür. Her beton sınıfına ait boylama aşık kırı maliyetleri Tablo 4.27 'de çıkarılarak, boylama aşık kırıları için en uygun beton sınıfının BS 20 olduğu görülmüştür.

3. Kren kırışlerinin statik hesabı üzerine gelen kren yükleri esas alınarak yapılmış ve elde edilen moment ve kesme kuvveti değerlerine göre betonarme hesapları yapılmıştır. Kren kırışları için yapılan betonarme hesaplarında, beton kesitlerin şartnamelerin elverdiği ölçüde küçültülverek beton maliyetinin minimuma indirilmesi gerekliliği görülmüştür. Beton imalat fiyatlarının betonarme demirine oranla çok fazla artış gösterdiği günümüzde, beton kesitlerinin mümkün olduğu kadar küçük tutulmasının yapı maliyetini etkileme bakımından oldukça önemli olduğu görülmüştür. Kren kırışlerindeki donatı düzeni tipki aşık kırışlerinde yapılan tarzda yapılmıştır. Kayma ve çekme donatıları BÇ III olarak seçilmiştir. Her beton sınıfına ait kren kırışı maliyetleri Tablo 5.26 'da çıkarılarak, kren kırışları için en uygun beton sınıfının BS 30 olduğu saptanmıştır.
  
4. Kren konsolu, üzerine gelen kren etkilerine göre hesaplanarak betonarme hesapları yapılmıştır. Her beton sınıfı için gerekli kesitler saptanmış ve gerekli donatılar bulunmuştur. Beton kesitlerin tayininde kesme kuvveti etkilerinin önemli olduğu görülmüştür. Kren konsolunda donatı olarak BÇ III demiri kullanılmıştır. Her beton sınıfı için kren konsolu maliyetleri Tablo 5.35 'de hesaplanarak en uygun beton sınıfının BS 35 olduğu görülmüştür.
  
5. Çerçeve sisteminin statik hesabı üzerine yükler esas alınarak yapılmış ve bu etkilerin süperpozisyonu sonucunda betonarme hesaplara esas olan statik değerler bulunmuştur. Çerçeve kolonları hesaplanırken narinlik kontrolü yapılarak moment büyütme yöntemi kullanılmıştır. Moment etkisinin orta kolonlara göre daha fazla olduğu kenar kolonlarda ekonomik boyutlandırma için donatı oranının 0.018 - 0.024 arasında tutulması gerektiği görülmüştür. Orta kolonlarda ise donatı oranının 0.020 değerini geçmeyecek şekilde sınırlandırılması ekonomik bir boyutlandırma için uygun görülmüştür. Çerçeve kırışlerinde tipki kren kırışlerinde olduğu gibi beton kesitlerinin mümkün olduğu kadar küçük tutulması ekonomik bakımından uygun sonuçlar vermiştir. Betonarme hesapla bulunan eğilme donatılarının bir kısmı düz yapılip, bir kısmı da pliye olarak yerleştirilmiştir. Kayma hesabında pliyelerin etkisi de gözönüne alınmıştır. Her beton sınıfı için çerçeve maliyetleri Tablo 6.50 'de hesaplanarak en uygun beton sınıfının BS 45 olduğu saptanmıştır.

6. Temel sistemi, temel üzerine gelen yükler gözönüne alınarak sürekli temel olarak seçilmiştir. Sürekli temelin statik hesabı, zemin tipine bağlı olarak elastik kırış teorisine göre yapılmıştır. Betonarme hesapla bulunan eğilme donatılarının bir kısmı düz yapılip, bir kısmı da pliye olarak yerleştirilmiştir. Kesme kuvvetleri sadece etriyeler ile karşılanmıştır. Temel boyutları belirli sınırlar çerçevesinde çok fazla değiştirilemediğinden, her beton sınıfı için Tablo 7.17 'de çıkarılan temel maliyetleri incelendiğinde en uygun beton sınıfının BS 25 olduğu görülmüştür.
  
7. Yapının genel olarak maliyet analizi yapıldığında, yapının tümünde (dösemeler dışında) aynı kalitede beton kullanılması halinde, Şekil 8.1'den de görüleceği gibi BS 25 betonu sözkonusu endüstri yapılarında en uygun beton olarak saptanmıştır. Fakat yapının ekonomik olarak boyutlandırılmasında tek tip beton kullanmak yerine, yapıyı oluşturan alt sistemler için ayrı ayrı bulunan beton sınıflarının kullanılması günümüz şartlarında daha uygun sonuca ulaşmamızı sağlayacaktır.

## KAYNAKLAR

- [ 1 ] **EREN, İ.** Rijitlik matrisi yöntemine dayanan bir bilgisayar programının geliştirilmesi, İTÜ İnşaat Fakültesi, İstanbul (1983)
- [ 2 ] **KESKİNEL, F., KUMBASAR, N.** Tek katlı betonarme yapı sistemlerinin optimizasyonu, TBTK-YAE-51 Kesin Rapor, Ankara (1974 )
- [ 3 ] **CELEP, Z., KUMBASAR, N.** Betonarme yapılar, Sema Matbaacılık, İstanbul (1996 )
- [ 4 ] **TS 500 ,** Betonarme yapıların yapım ve hesap kuralları, Türk Standartları Enstitüsü, Ankara 1985
- [ 5 ] **TS 498 ,** Yapı elemanlarının boyutlandırılmasında alınacak yüklerin hesap değerleri, Türk Standartları Enstitüsü, Ankara 1987
- [ 6 ] **ULUĞ, T. N.** Çelik yapılar, Teknik Kitaplar Yayınevi, İstanbul ( 1973 )
- [ 7 ] Betonarme Tablo ve Abaklar, İTÜ İnşaat Fakültesi Matbaası, İstanbul (1991)
- [ 8 ] **BERKTAY, İ.** Betonarme I, TMMOB İnşat Mühendisleri Odası İstanbul Şubesi, (1989)

## BILGISAYAR PROGRAMI

BU PROGRAM DOC.DR. ILHAN EREN TARAFINDAN HAZIRLANMISTIR  
 STIFNES YONTEMINE GORE CERCEVE COZUMU  
 ME=CUBUK SAYISI,N=IS=BILINMEYEN SAYISI,LS=YUKLEME SAYISI  
 NS=STIFNES MATRISI SATIR VE SUTUN SAYISI,SM=CUBUK STIFNES MAT  
 (SATIR ESASINA GORE),NKOT=KOT NO(SUTUN ESASINA GORE),FIX=UC  
 REAKSIYONLARI (SUTUN ESASINA GORE),CP=DUGUMLERDEKI DIS YUKLER  
 (SUTUN ESASINA GORE)  
 PU (YUKLEME NO,UC NO,CUBUK NO)  
 DIMENSION SM(15,6,6),NKOT(6,15),A(15,15),CC(15,11),CP(15,11),  
 1 FIX(11,6,15),C(15,11),X(15,11),D(11,6,15),PP(11,6,15),PU(11,6,15),  
 2 AL(15),XI(15),XYI(15),XYJ(15),XZI(15),XZJ(15),S(15),XL(15),  
 3 XD(15),XC(15),XA(15),XB(15),XN(15),XM(15),T(15,6,6),PUU(11,6,15),  
 4 TT(15,6,6),FIXX(11,6,15),B(15),Y(15),XP(11,15),YK(11,15),  
 5 XMO(11,15),AL1(11,15),AL2(11,15),SBETA(11,15),CBETA(11,15)  
 COMMON SM,NKOT,A,CC,CP, FIX,C,N,IS,LS,NS,ME,X  
 READ(5,100) ME,N,IS,LS,NS  
 100 FORMAT (5I5)  
 READ(5,105) (B(M),M=1,ME), (Y(M),M=1,ME)  
 105 FORMAT (8F10.0)  
 READ (5,106) (XYI(M),M=1,ME), (XYJ(M),M=1,ME), (XZI(M),M=1,ME),  
 1 (XZJ(M),M=1,ME)  
 106 FORMAT (8F10.0)  
 READ(5,107) ((SBETA(L,M),M=1,ME), L=1,LS)  
 107 FORMAT (8F10.0)  
 READ(5,108) ((CBETA(L,M),M=1,ME), L=1,LS)  
 108 FORMAT (8F10.0)  
 READ(5,131) ((XP(L,M),M=1,ME), L=1,LS)  
 131 FORMAT (8F10.0)  
 READ(5,132) ((YK(L,M),M=1,ME), L=1,LS)  
 132 FORMAT (8F10.0)  
 READ(5,133) ((AL1(L,M),M=1,ME), L=1,LS)  
 133 FORMAT (8F10.0)  
 READ(5,134) ((AL2(L,M),M=1,ME), L=1,LS)  
 134 FORMAT (8F10.0)  
 READ(5,135) ((XMO(L,M),M=1,ME), L=1,LS)  
 135 FORMAT (8F10.0)  
 READ(5,101) ((NKOT(K,M),K=1,NS), M=1,ME)  
 101 FORMAT (16I5)  
 READ(5,104) ((CP(I,L),I=1,N), L=1,LS)  
 104 FORMAT (8F10.0)  
 DO 61 M=1,ME  
 AL(M)=B(M)\*Y(M)  
 XI(M)=B(M)\*Y(M)\*Y(M)\*Y(M)/12.  
 61 CONTINUE  
 DO 12 M=1,ME  
 XL(M)=SQRT(((XYJ(M)-XYI(M))\*\*2)+((XZJ(M)-XZI(M))\*\*2))  
 S(M)=AL(M)/XL(M)  
 XD(M)=12.\*XI(M)/(XL(M)\*\*3)  
 XC(M)=6.\*XI(M)/(XL(M)\*XL(M))  
 XA(M)=4.\*XI(M)/XL(M)  
 XB(M)=2.\*XI(M)/XL(M)  
 XN(M)=(XZJ(M)-XZI(M))/XL(M)  
 XM(M)=(XYJ(M)-XYI(M))/XL(M)  
 SM(M,1,1)=XD(M)\*XN(M)\*XN(M)+S(M)\*XM(M)\*XM(M)

```

SM(M, 1, 2)=XM(M)*XN(M)*(S(M)-XD(M))
SM(M, 1, 3)=-XC(M)*XN(M) SM(M, 1, 4)=-XD(M)*XN(M)*XN(M)-
S(M)*XM(M)*XM(M) SM(M, 1, 5)=XM(M)*XN(M)*(XD(M)-S(M))
SM(M, 1, 6)=-XC(M)*XN(M)
SM(M, 2, 1)=XM(M)*XN(M)*(S(M)-XD(M))
SM(M, 2, 2)=XD(M)*XM(M)*XM(M)+S(M)*XN(M)*XN(M)
SM(M, 2, 3)=XC(M)*XM(M)
SM(M, 2, 4)=XM(M)*XN(M)*(XD(M)-S(M)) SM(M, 2, 5)=-XD(M)*XM(M)*XM(M)-
S(M)*XN(M)*XN(M) SM(M, 2, 6)=XC(M)*XM(M)
SM(M, 3, 1)=-XC(M)*XN(M)
SM(M, 3, 2)=XC(M)*XM(M)
SM(M, 3, 3)=XA(M)
SM(M, 3, 4)=XC(M)*XN(M)
SM(M, 3, 5)=-XC(M)*XM(M)
SM(M, 3, 6)=XB(M)
SM(M, 4, 1)=-XD(M)*XN(M)*XN(M)-S(M)*XM(M)*XM(M)
SM(M, 4, 2)=XM(M)*XN(M)*(XD(M)-S(M))
SM(M, 4, 3)=XC(M)*XN(M)
SM(M, 4, 4)=XD(M)*XN(M)*XN(M)+S(M)*XM(M)*XM(M)
SM(M, 4, 5)=XM(M)*XN(M)*(S(M)-XD(M))
SM(M, 4, 6)=XC(M)*XN(M)
SM(M, 5, 1)=XM(M)*XN(M)*(XD(M)-S(M)) SM(M, 5, 2)=-XD(M)*XM(M)*XM(M)-
S(M)*XN(M)*XN(M) SM(M, 5, 3)=-XC(M)*XM(M)
SM(M, 5, 4)=XM(M)*XN(M)*(S(M)-XD(M))
SM(M, 5, 5)=XD(M)*XM(M)*XM(M)+S(M)*XN(M)*XN(M) SM(M, 5, 6)=-XC(M)*XM(M)
SM(M, 6, 1)=-XC(M)*XN(M)
SM(M, 6, 2)=XC(M)*XM(M)
SM(M, 6, 3)=XB(M)
SM(M, 6, 4)=XC(M)*XN(M)
SM(M, 6, 5)=-XC(M)*XM(M)
SM(M, 6, 6)=XA(M)

12 CONTINUE
DO 69 L=1, LS
DO 69 M=1, ME
  FIXX(L, 1, M)=XP(L, M)*(XL(M)*CBETA(L, M))*SBETA(L, M)/2.
  FIXX(L, 2, M)=XP(L, M)*(XL(M)*CBETA(L, M)**2)/2.+YK(L, M)*AL2(L, M)/
1(XL(M)*CBETA(L, M))+YK(L, M)*AL1(L, M)*AL2(L, M)*(AL2(L, M)-AL1(L, M))/
2(XL(M)*CBETA(L, M))**3+XMO(L, M)/(XL(M)*CBETA(L, M))-XMO(L, M)*
3(AL1(L, M)**2+AL2(L, M)**2-4*AL1(L, M)*AL2(L, M))/(XL(M)*
4CBETA(L, M))**3
  FIXX(L, 3, M)=XP(L, M)*(XL(M)*CBETA(L, M))**2/12.+YK(L, M)*
1AL1(L, M)*AL2(L, M)**2/(XL(M)*CBETA(L, M))**2+XMO(L, M)*AL2(L, M)*
2(AL1(L, M)**2-AL2(L, M))/(XL(M)*CBETA(L, M))**2
  FIXX(L, 4, M)=XP(L, M)*(XL(M)*CBETA(L, M))*SBETA(L, M)/2.
  FIXX(L, 5, M)=XP(L, M)*(XL(M)*CBETA(L, M)**2)/2.+YK(L, M)*AL1(L, M)/
1(XL(M)*CBETA(L, M))-YK(L, M)*AL1(L, M)*AL2(L, M)*(AL2(L, M)-AL1(L, M))/
2(XL(M)*CBETA(L, M))**3-XMO(L, M)/(XL(M)*CBETA(L, M))+XMO(L, M)*
3(AL1(L, M)**2+AL2(L, M)**2-4*AL1(L, M)*AL2(L, M))/(XL(M)*
4CBETA(L, M))**3 FIXX(L, 6, M)=-XP(L, M)*(XL(M)*CBETA(L, M))**2/12.-
YK(L, M)*1AL2(L, M)*AL1(L, M)**2/(XL(M)*CBETA(L, M))**2-
XMO(L, M)*AL1(L, M)*2(AL1(L, M)-2*AL2(L, M))/(XL(M)*CBETA(L, M))**2
69 CONTINUE
WRITE(6, *) ' '
WRITE(6, *) ' B=GENISLIK (M) '
WRITE(6, 194) (M, B(M), M=1, ME)
194 FORMAT (3(/3H B(, I2, 2H)=, F8.5, 2X))

```

```

      WRITE(6,*)
      WRITE(6,*)
      WRITE(6,195) (M,Y(M),M=1,ME)
195 FORMAT (3(/3H Y(,I2,2H)=,F8.5,2X))
      WRITE(6,*)
      WRITE(6,*)
      WRITE(6,199) (M,XL(M),M=1,ME)
199 FORMAT (3(/4H XL(,I2,2H)=,F8.5,2X))
      WRITE(6,200) ((L,M,SBETA(L,M),M=1,ME),L=1,LS)
200 FORMAT (3(/7H SBETA(,I2,1H,I2,2H)=,F8.5,2X))
      WRITE(6,201) ((L,M,CBETA(L,M),M=1,ME),L=1,LS)
201 FORMAT (3(/7H CBETA(,I2,1H,I2,2H)=,F8.5,2X))
      WRITE(6,*)
      WRITE(6,*)
      XP=YAYILI YUKLER (T/M)
      WRITE(6,295) ((L,M,XP(L,M),M=1,ME),L=1,LS)
295 FORMAT (3(/4H XP(,I2,1H,I2,2H)=,F8.5,2X))
      WRITE(6,*)
      WRITE(6,*)
      YK=TEKIL YUKLER (T)
      WRITE(6,296) ((L,M,YK(L,M),M=1,ME),L=1,LS)
296 FORMAT (3(/5H YK(,I2,1H,I2,2H)=,F8.5,2X))
      WRITE(6,*)
      WRITE(6,*)
      AL1 = a (M) AL2 = b (M)
      WRITE(6,297) ((L,M,AL1(L,M),M=1,ME),L=1,LS)
297 FORMAT (3(/5H AL1(,I2,1H,I2,2H)=,F8.5,2X))
      WRITE(6,298) ((L,M,AL2(L,M),M=1,ME),L=1,LS)
298 FORMAT (3(/5H AL2(,I2,1H,I2,2H)=,F8.5,2X))
      WRITE(6,299) ((L,M,XMO(L,M),M=1,ME),L=1,LS)
299 FORMAT (3(/5H XMO(,I2,1H,I2,2H)=,F8.5,2X))
      WRITE(6,*)
      NKOT=CUBUK KOT NUMARALARI
      WRITE(6,*)
      NKOT(K=CUBUK UC NUMARALARI,M=ELEMEN NO)
      WRITE(6,*)
      WRITE(6,250) ((K,M,NKOT(K,M),K=1,NS),M=1,ME)
250 FORMAT (/3(6H NKOT(,I1,1H,I2,2H)=,I3,1X))
      WRITE(6,*)
      WRITE(6,*)
      CUBUK ANKASTRELIK REAKSIYONLARI(CUBUK EKSENINDE)
      WRITE(6,*)
      FIXX(YUKLEME NO,UC NO,ELEMAN NO)
      WRITE(6,251) (((I,K,M,FIXX(I,K,M),K=1,NS),M=1,ME),I=1,LS)
251 FORMAT (/3(6H FIXX(,I2,1H,I1,1H,I2,2H)=,F8.5))
      WRITE(6,*)
      CP=DUGUM NOKTALARINA ETKIYEN DIS YUKLER
      WRITE(6,*)
      CP(BILINMEEYEN NO,YUKLEME NO)
      WRITE(6,252) ((I,L,CP(I,L),I=1,N),L=1,LS)
252 FORMAT (/3(4H CP(,I2,1H,I2,2H)=,F8.5,1X))
DO 1 M=1,ME
TT(M,1,1)=XM(M)
TT(M,1,2)=-XN(M)
TT(M,1,3)=0.
TT(M,1,4)=0.
TT(M,1,5)=0.
TT(M,1,6)=0.
TT(M,2,1)=XN(M)
TT(M,2,2)=XM(M)
TT(M,2,3)=0.
TT(M,2,4)=0.
TT(M,2,5)=0.

```

```

TT(M, 2, 6)=0.
TT(M, 3, 1)=0.
TT(M, 3, 2)=0.
TT(M, 3, 3)=1.
TT(M, 3, 4)=0.
TT(M, 3, 5)=0.
TT(M, 3, 6)=0.
TT(M, 4, 1)=0.
TT(M, 4, 2)=0.
TT(M, 4, 3)=0.
TT(M, 4, 4)=XM(M)
TT(M, 4, 5)=-XN(M)
TT(M, 4, 6)=0.
TT(M, 5, 1)=0.
TT(M, 5, 2)=0.
TT(M, 5, 3)=0.
TT(M, 5, 4)=XN(M)
TT(M, 5, 5)=XM(M)
TT(M, 5, 6)=0.
TT(M, 6, 1)=0.
TT(M, 6, 2)=0.
TT(M, 6, 3)=0.
TT(M, 6, 4)=0.
TT(M, 6, 5)=0.
TT(M, 6, 6)=1.
1 CONTINUE
DO 2 L=1, LS
DO 2 M=1, ME
DO 2 K=1, NS
FIX(L, K, M)=0.
DO 2 J=1, NS
2 FIX(L, K, M)=FIX(L, K, M)+TT(M, K, J)*FIXX(L, J, M)
CALL STIFF

CALL PEYK

CALL ROKET

CALL FUZE
DO 20 L=1, LS
DO 20 M=1, ME
DO 20 K=1, NS
D(L, K, M)=0.
DO 20 I=1, N
IF(NKOT(K, M).NE.I) GOTO 20
D(L, K, M)=D(L, K, M)+X(I, L)
20 CONTINUE
DO 30 L=1, LS
DO 30 M=1, ME
DO 30 K=1, NS
PP(L, K, M)=0.
DO 30 J=1, NS
30 PP(L, K, M)=PP(L, K, M)+SM(M, K, J)*D(L, J, M)
DO 40 L=1, LS
DO 40 M=1, ME
DO 40 K=1, NS

```

```

PU(L,K,M)=PP(L,K,M)+FIX(L,K,M)
40 CONTINUE
WRITE(6,*)   '
WRITE(6,*)   '
WRITE(6,*)   ' PU= CUBUK UC KUVVETLERİ (ORTAK EKSENE GORE)   '
WRITE(6,*)   ' PU (YUKLEME NO,UC NO,CUBUK NO   '
WRITE(6,*)   '
WRITE(6,207) (((L,K,M,PU(L,K,M),K=1,NS),M=1,ME),L=1,LS)
207 FORMAT(//3(4H PU(,I2,1H,I1,1H,I2,2H)=,F8.2,1X))
DO 41 M=1,ME
T(M,1,1)=XM(M)
T(M,1,2)=XN(M)
T(M,1,3)=0.
T(M,1,4)=0.
T(M,1,5)=0.
T(M,1,6)=0.
T(M,2,1)=-XN(M)
T(M,2,2)=XM(M)
T(M,2,3)=0.
T(M,2,4)=0.
T(M,2,5)=0.
T(M,2,6)=0.
T(M,3,1)=0.
T(M,3,2)=0.
T(M,3,3)=1.
T(M,3,4)=0.
T(M,3,5)=0.
T(M,3,6)=0.
T(M,4,1)=0.
T(M,4,2)=0.
T(M,4,3)=0.
T(M,4,4)=XM(M)
T(M,4,5)=XN(M)
T(M,4,6)=0.
T(M,5,1)=0.
T(M,5,2)=0.
T(M,5,3)=0.
T(M,5,4)=-XN(M)
T(M,5,5)=XM(M)
T(M,5,6)=0.
T(M,6,1)=0.
T(M,6,2)=0.
T(M,6,3)=0.
T(M,6,4)=0.
T(M,6,5)=0.
T(M,6,6)=1.
41 CONTINUE
DO 42 L=1,LS
DO 42 M=1,ME
DO 42 K=1,NS
PUU(L,K,M)=0.
DO 42 J=1,NS
42 PUU(L,K,M)=PUU(L,K,M)+T(M,K,J)*PU(L,J,M)
WRITE(6,*)   '
WRITE(6,*)   '
WRITE(6,*)   ' PUU=CUBUK UC KUVVETLERİ (CUBUK EKSENINE GORE)   '

```

```

      WRITE(6,*)' PUU(YUKLEME NO,UC NO,CUBUK NO) '
      WRITE(6,*)' '
      WRITE(6,208)' (((L,K,M,PUU(L,K,M),K=1,NS),M=1,ME),L=1,LS)
208 FORMAT(/3(5H PUU(,I2,1H,I1,1H,I2,2H)=,F8.3))
      CUBUK UC KUVVETLERININ STATIK KUVVETLERE TRANSFORMASYONU
      DO 52 L=1,LS
      DO 52 M=1,ME
      DO 52 K=1,NS
      IF(K.EQ.1.OR.K.EQ.3.OR.K.EQ.5) GOTO 397
      A1=1.
      GOTO 399
397 A1=-1.
399 PUU(L,K,M)=PUU(L,K,M)*A1
      52 CONTINUE
      WRITE(6,*)' '
      WRITE(6,*)' '
      WRITE(6,*)' CUBUK STATIK KUVVETLERİ (CUBUK EKSENİNDE) '
      WRITE(6,*)' '
      DO 62 L=1,LS
      WRITE(6,300)' L
      WRITE(6,*)' '
300 FORMAT(1H ,35X,I2,24H.INCI YUKLEME SONUCLARI )
      WRITE(6,*)' '
      DO 62 M=1,ME
      WRITE(6,400)' M
400 FORMAT(1H ,I2,7H.ELEMAN)
      WRITE(6,500)' PUU(L,1 ,M),PUU(L,2,M),PUU(L,3,M),PUU(L,4,M),
      D PUU(L,5,M),PUU(L,6,M)
500 FORMAT(4HNij=,F8.3,1X,3H(t),2X,4HTij=F8.3,1X,3H(t),2X,4HMij=,F8.3,
      D 1X,4H(tm),2X/4HNji=F8.3,1X,3H(t),2X,4HTji=,F8.3,1X,3H(t),2X,
      D 4HMji=,F8.3,1X,4H(tm))
      62 CONTINUE
600 STOP
      END
      ALT PROGRAM
      SUBROUTINE STIFF
      DIMENSION SM(15,6,6),NKOT(6,15),A(15,15),CC(15,11),CP(15,11),
1FIX(11,6,15),C(15,11)
      COMMON SM,NKOT,A,CC,CP, FIX,C,N,IS,LS,NS,ME
      DO 5 I=1,N
      DO 5 J=1,N
5 A(I,J)=0.
      DO 6 M=1 ,ME
      DO 7 K=1,NS
      SIGN1=1.
      I=NKOT(K,M)
      IF(I) 11,7,22
11 SIGN1=-1.
      I=-I
22 DO 8 L=1,NS
      J=NKOT(L,M)
      SIGN2=1.
      IF(J) 12,8,32
12 SIGN2=-1.
      J=-J
32 A(I,J)=A(I,J)+SM(M,K,L)*SIGN1*SIGN2

```

```

8 CONTINUE
7 CONTINUE
6 CONTINUE
RETURN
END

```

```

ALT PROGRAM
SUBROUTINE PEYK
DIMENSION SM(15,6,6),NKOT(6,15),A(15,15),CC(15,11),CP(15,11)
1     ,FIX(11,6,15),C(15,11)
COMMON SM,NKOT,A,CC,CP,FIX,C,N,IS,LS,NS,ME
DO 9 I=1,N
DO 9 L=1,LS
9 CC(I,L)=0.
DO 10 L=1,LS
DO 10 M=1,ME
DO 10 I=1,N
DO 10 K=1,NS
IF(NKOT(K,M).NE.I) GOTO 10
CC(I,L)=CC(I,L)-FIX(L,K,M)
10 CONTINUE
DO 11 I=1,N
DO 11 L=1,LS
11 C(I,L)=CC(I,L)+CP(I,L)
RETURN
END

```

ALT PROGRAM

```

SUBROUTINE ROKET
DIMENSION SM(15,6,6),NKOT(6,15),A(15,15),CC(15,11),CP(15,11),
1     FIX(11,6,15),C(15,11)
COMMON SM,NKOT,A,CC,CP,FIX,C,N,IS,LS
KS=N-1
DO 70 K=1,KS
IT=K+1
DO 70 I=IT,N
IF(A(I,K).EQ.0.) GOTO 70
D=A(I,K)/A(K,K)
DO 50 L=1,LS
50 C(I,L)=C(I,L)-C(K,L)*D
IS=IS+1
IF(IS.GT.N) IS=N
DO 60 J=K,IS
A(I,J)=A(I,J)-A(K,J)*D
60 CONTINUE
70 CONTINUE
RETURN
END

```

ALT PROGRAM

SUBROUTINE FUZE

```
DIMENSION SM(15,6,6),NKOT(6,15),A(15,15),CC(15,11),CP(15,11),
1 FIX(11,6,15),C(15,11),X(15,11)
COMMON SM,NKOT,A,CC,CP, FIX,C,N,IS,LS,NS,ME,X
DO 80 L=1,LS
80 X(N,L)=C(N,L)/A(N,N)
DO 120 I=1,N
IT=N-I
IF(IT.EQ.0.) GOTO 120
K=N-I+1
DO 90 L=1,LS
SUM=0.
DO 95 J=K,N
95 SUM=A(IT,J)*X(J,L)+SUM
90 X(IT,L)=(C(IT,L)-SUM)/A(IT,IT)
120 CONTINUE
RETURN
END
```

## BILGISAYAR CIKTI DEGERLERİ

## CUBUK STATIK KUVVETLERİ (CUBUK EKSENİNDE)

## 1. INCI YUKLEME SONUCLARI ( DUSEY YUK )

## 1.ELEMAN

$N_{ij} = -61.429$  (t)  $T_{ij} = -38.644$  (t)  $M_{ij} = 116.072$  (tm)  
 $N_{ji} = -61.429$  (t)  $T_{ji} = -38.644$  (t)  $M_{ji} = -148.256$  (tm)

## 2.ELEMAN

$N_{ij} = -128.463$  (t)  $T_{ij} = .000$  (t)  $M_{ij} = .000$  (tm)  
 $N_{ji} = -128.463$  (t)  $T_{ji} = .000$  (t)  $M_{ji} = .000$  (tm)

## 3.ELEMAN

$N_{ij} = -61.429$  (t)  $T_{ij} = 38.644$  (t)  $M_{ij} = -116.072$  (tm)  
 $N_{ji} = -61.429$  (t)  $T_{ji} = 38.644$  (t)  $M_{ji} = 148.256$  (tm)

## 4.ELEMAN

$N_{ij} = -38.010$  (t)  $T_{ij} = 7.117$  (t)  $M_{ij} = 73.947$  (tm)  
 $N_{ji} = -47.328$  (t)  $T_{ji} = -55.018$  (t)  $M_{ji} = -148.256$  (tm)

## 5.ELEMAN

$N_{ij} = -47.743$  (t)  $T_{ij} = 57.789$  (t)  $M_{ij} = -173.967$  (tm)  
 $N_{ji} = -38.426$  (t)  $T_{ji} = -4.346$  (t)  $M_{ji} = 73.947$  (tm)

## 6.ELEMAN

$N_{ij} = -38.426$  (t)  $T_{ij} = 4.346$  (t)  $M_{ij} = 73.947$  (tm)  
 $N_{ji} = -47.744$  (t)  $T_{ji} = -57.789$  (t)  $M_{ji} = -173.967$  (tm)

## 7.ELEMAN

$N_{ij} = -47.328$  (t)  $T_{ij} = 55.018$  (t)  $M_{ij} = -148.256$  (tm)  
 $N_{ji} = -38.010$  (t)  $T_{ji} = -7.117$  (t)  $M_{ji} = 73.947$  (tm)

## 2. INCI YUKLEME SONUCLARI ( DEPREM SAGDAN )

## 1.ELEMAN

$N_{ij} = -1.496$  (t)  $T_{ij} = -8.214$  (t)  $M_{ij} = 36.192$  (tm)  
 $N_{ji} = -1.496$  (t)  $T_{ji} = -5.604$  (t)  $M_{ji} = -13.883$  (tm)

## 2.ELEMAN

$N_{ij} = .000$  (t)  $T_{ij} = -13.702$  (t)  $M_{ij} = 54.361$  (tm)  
 $N_{ji} = .000$  (t)  $T_{ji} = -8.472$  (t)  $M_{ji} = -27.125$  (tm)

## 3.ELEMAN

$N_{ij} = 1.496$  (t)  $T_{ij} = -8.214$  (t)  $M_{ij} = 36.192$  (tm)  
 $N_{ji} = 1.496$  (t)  $T_{ji} = -5.604$  (t)  $M_{ji} = -13.883$  (tm)

## 4.ELEMAN

$N_{ij} = .690$  (t)  $T_{ij} = 1.409$  (t)  $M_{ij} = .813$  (tm)  
 $N_{ji} = .690$  (t)  $T_{ji} = 1.409$  (t)  $M_{ji} = 13.883$  (tm)

## 5.ELEMAN

$N_{ij} = .247$  (t)  $T_{ij} = 1.549$  (t)  $M_{ij} = -13.562$  (tm)  
 $N_{ji} = .247$  (t)  $T_{ji} = 1.549$  (t)  $M_{ji} = .813$  (tm)

## 6.ELEMAN

$N_{ij} = -.247$  (t)  $T_{ij} = 1.549$  (t)  $M_{ij} = -.813$  (tm)  
 $N_{ji} = -.247$  (t)  $T_{ji} = 1.549$  (t)  $M_{ji} = 13.562$  (tm)

## 7.ELEMAN

$N_{ij} = -.690$  (t)  $T_{ij} = 1.409$  (t)  $M_{ij} = -13.883$  (tm)  
 $N_{ji} = -.690$  (t)  $T_{ji} = 1.409$  (t)  $M_{ji} = -.813$  (tm)

## 3. INCI YUKLEME SONUCLARI (RUZGAR SOLDAN )

## 1.ELEMAN

N<sub>ij</sub>= 1.020 (t) T<sub>ij</sub>= 2.522 (t) M<sub>ij</sub>= -6.303 (tm)

N<sub>ji</sub>= 1.020 (t) T<sub>ji</sub>= .333 (t) M<sub>ji</sub>= 3.458 (tm)

## 2.ELEMAN

N<sub>ij</sub>= 2.346 (t) T<sub>ij</sub>= .554 (t) M<sub>ij</sub>= -2.778 (tm)

N<sub>ji</sub>= 2.346 (t) T<sub>ji</sub>= .554 (t) M<sub>ji</sub>= 1.012 (tm)

## 3.ELEMAN

N<sub>ij</sub>= 1.203 (t) T<sub>ij</sub>= .403 (t) M<sub>ij</sub>= -1.005 (tm)

N<sub>ji</sub>= 1.203 (t) T<sub>ji</sub>= -.691 (t) M<sub>ji</sub>= -1.991 (tm)

## 4.ELEMAN

N<sub>ij</sub>= .862 (t) T<sub>ij</sub>= -.397 (t) M<sub>ij</sub>= -1.213 (tm)

N<sub>ji</sub>= .862 (t) T<sub>ji</sub>= 1.087 (t) M<sub>ji</sub>= 1.991 (tm)

## 5.ELEMAN

N<sub>ij</sub>= .941 (t) T<sub>ij</sub>= -.952 (t) M<sub>ij</sub>= 3.792 (tm)

N<sub>ji</sub>= .941 (t) T<sub>ji</sub>= -.127 (t) M<sub>ji</sub>= -1.213 (tm)

## 6.ELEMAN

N<sub>ij</sub>= .420 (t) T<sub>ij</sub>= -.269 (t) M<sub>ij</sub>= -1.613 (tm)

N<sub>ji</sub>= .420 (t) T<sub>ji</sub>= 1.216 (t) M<sub>ji</sub>= 2.780 (tm)

## 7.ELEMAN

N<sub>ij</sub>= .480 (t) T<sub>ij</sub>= -.959 (t) M<sub>ij</sub>= 3.458 (tm)

N<sub>ji</sub>= .480 (t) T<sub>ji</sub>= -.134 (t) M<sub>ji</sub>= -1.613 (tm)

## 4. INCI YUKLEME SONUCLARI (KREN SAG ACIKLIKTA SAGDA, MOMENTLER )

## 1.ELEMAN

N<sub>ij</sub>= -.250 (t) T<sub>ij</sub>= -.870 (t) M<sub>ij</sub>= 4.290 (tm)

N<sub>ji</sub>= -.250 (t) T<sub>ji</sub>= -.870 (t) M<sub>ji</sub>= -1.660 (tm)

## 2.ELEMAN

N<sub>ij</sub>= .003 (t) T<sub>ij</sub>= -3.301 (t) M<sub>ij</sub>= 9.521 (tm)

N<sub>ji</sub>= .003 (t) T<sub>ji</sub>= -3.301 (t) M<sub>ji</sub>= -2.379 (tm)

## 3.ELEMAN

N<sub>ij</sub>= .247 (t) T<sub>ij</sub>= 4.171 (t) M<sub>ij</sub>= -2.252 (tm)

N<sub>ji</sub>= .247 (t) T<sub>ji</sub>= 4.171 (t) M<sub>ji</sub>= -5.091 (tm)

## 4.ELEMAN

N<sub>ij</sub>= -4.088 (t) T<sub>ij</sub>= .863 (t) M<sub>ij</sub>= -2.917 (tm)

N<sub>ji</sub>= -4.088 (t) T<sub>ji</sub>= .863 (t) M<sub>ji</sub>= 5.091 (tm)

## 5.ELEMAN

N<sub>ij</sub>= -4.162 (t) T<sub>ij</sub>= -.374 (t) M<sub>ij</sub>= .554 (tm)

N<sub>ji</sub>= -4.162 (t) T<sub>ji</sub>= -.374 (t) M<sub>ji</sub>= -2.917 (tm)

## 6.ELEMAN

N<sub>ij</sub>= -.823 (t) T<sub>ij</sub>= .377 (t) M<sub>ij</sub>= -.561 (tm)

N<sub>ji</sub>= -.823 (t) T<sub>ji</sub>= .377 (t) M<sub>ji</sub>= 2.933 (tm)

## 7.ELEMAN

N<sub>ij</sub>= -.897 (t) T<sub>ij</sub>= .119 (t) M<sub>ij</sub>= -1.660 (tm)

N<sub>ji</sub>= -.897 (t) T<sub>ji</sub>= .119 (t) M<sub>ji</sub>= -.561 (tm)

## 5. INCI YUKLEME SONUCLARI (KREN SAG ACIKLIKTA SAGDA, YATAY KUV. )

## 1.ELEMAN

N<sub>ij</sub>= .101 (t) T<sub>ij</sub>= .389 (t) M<sub>ij</sub>= -1.963 (tm)

N<sub>ji</sub>= .101 (t) T<sub>ji</sub>= .389 (t) M<sub>ji</sub>= .698 (tm)

**2.ELEMAN**  
 Nij= -.035 (t) Tij= 1.037 (t) Mij= -3.855 (tm)  
 Nji= -.035 (t) Tji= .244 (t) Mji= 1.382 (tm)  
**3.ELEMAN**  
 Nij= -.065 (t) Tij= 1.646 (t) Mij= -4.957 (tm)  
 Nji= -.065 (t) Tji= -.633 (t) Mji= .968 (tm)  
**4.ELEMAN**  
 Nij= .616 (t) Tij= -.159 (t) Mij= .502 (tm)  
 Nji= .616 (t) Tji= -.159 (t) Mji= -.968 (tm)  
**5.ELEMAN**  
 Nij= .636 (t) Tij= .029 (t) Mij= .231 (tm)  
 Nji= .636 (t) Tji= .029 (t) Mji= .502 (tm)  
**6.ELEMAN**  
 Nij= .370 (t) Tij= -.157 (t) Mij= .309 (tm)  
 Nji= .370 (t) Tji= -.157 (t) Mji= -1.151 (tm)  
**7.ELEMAN**  
 Nij= .400 (t) Tij= -.042 (t) Mij= .698 (tm)  
 Nji= .400 (t) Tji= -.042 (t) Mji= .309 (tm)

## 6. INCI YUKLEME SONUCLARI (KREN SAG ACIKLIKTA SOLDA, MOMENTLER )

**1.ELEMAN**  
 Nij= .264 (t) Tij= 1.075 (t) Mij= -5.481 (tm)  
 Nji= .264 (t) Tji= 1.075 (t) Mji= 1.872 (tm)  
**2.ELEMAN**  
 Nij= .001 (t) Tij= -3.797 (t) Mij= .365 (tm)  
 Nji= .001 (t) Tji= -3.797 (t) Mji= 7.072 (tm)  
**3.ELEMAN**  
 Nij= -.265 (t) Tij= 2.722 (t) Mij= -7.619 (tm)  
 Nji= -.265 (t) Tji= 2.722 (t) Mji= .751 (tm)  
**4.ELEMAN**  
 Nij= -2.731 (t) Tij= .142 (t) Mij= -2.068 (tm)  
 Nji= -2.731 (t) Tji= .142 (t) Mji= -.751 (tm)  
**5.ELEMAN**  
 Nij= -2.653 (t) Tij= -.665 (t) Mij= 4.106 (tm)  
 Nji= -2.653 (t) Tji= -.665 (t) Mji= -2.068 (tm)  
**6.ELEMAN**  
 Nij= 1.024 (t) Tij= -.420 (t) Mij= .932 (tm)  
 Nji= 1.024 (t) Tji= -.420 (t) Mji= -2.967 (tm)  
**7.ELEMAN**  
 Nij= 1.102 (t) Tij= -.101 (t) Mij= 1.872 (tm)  
 Nji= 1.102 (t) Tji= -.101 (t) Mji= .932 (tm)

## 7. INCI YUKLEME SONUCLARI (KREN SAG ACIKLIKTA SOLDA, YATAY KUV. )

**1.ELEMAN**  
 Nij= -.087 (t) Tij= -.394 (t) Mij= 2.046 (tm)  
 Nji= -.087 (t) Tji= -.394 (t) Mji= -.646 (tm)  
**2.ELEMAN**  
 Nij= .012 (t) Tij= -1.848 (t) Mij= 5.740 (tm)  
 Nji= .012 (t) Tji= .431 (t) Mji= -1.564 (tm)  
**3.ELEMAN**  
 Nij= .074 (t) Tij= -.831 (t) Mij= 3.088 (tm)  
 Nji= .074 (t) Tji= -.038 (t) Mji= -.740 (tm)

**4.ELEMAN**  
 Nij= .048 (t) Tij= .068 (t) Mij= .111 (tm)  
 Nji= .048 (t) Tji= .068 (t) Mji= .740 (tm)  
**5.ELEMAN**  
 Nij= .026 (t) Tij= .079 (t) Mij= -.622 (tm)  
 Nji= .026 (t) Tji= .079 (t) Mji= .111 (tm)  
**6.ELEMAN**  
 Nij= -.376 (t) Tij= .144 (t) Mij= -.393 (tm)  
 Nji= -.376 (t) Tji= .144 (t) Mji= .942 (tm)  
**7.ELEMAN**  
 Nij= -.402 (t) Tij= .027 (t) Mij= -.646 (tm)  
 Nji= -.402 (t) Tji= .027 (t) Mji= -.393 (tm)

## 8. INCI YUKLEME SONUCLARI (KREN SOL ACIKLIKTA SOLDA, MOMENTLER )

**1.ELEMAN**  
 Nij= .247 (t) Tij= -4.171 (t) Mij= 2.252 (tm)  
 Nji= .247 (t) Tji= -4.171 (t) Mji= 5.091 (tm)  
**2.ELEMAN**  
 Nij= .003 (t) Tij= 3.301 (t) Mij= -9.521 (tm)  
 Nji= .003 (t) Tji= 3.301 (t) Mji= 2.379 (tm)  
**3.ELEMAN**  
 Nij= -.250 (t) Tij= .870 (t) Mij= -4.290 (tm)  
 Nji= -.250 (t) Tji= .870 (t) Mji= 1.660 (tm)  
**4.ELEMAN**  
 Nij= -.897 (t) Tij= -.119 (t) Mij= -.561 (tm)  
 Nji= -.897 (t) Tji= -.119 (t) Mji= -1.660 (tm)  
**5.ELEMAN**  
 Nij= -.823 (t) Tij= -.377 (t) Mij= 2.933 (tm)  
 Nji= -.823 (t) Tji= -.377 (t) Mji= -.561 (tm)  
**6.ELEMAN**  
 Nij= -4.162 (t) Tij= .374 (t) Mij= -2.917 (tm)  
 Nji= -4.162 (t) Tji= .374 (t) Mji= .554 (tm)  
**7.ELEMAN**  
 Nij= -4.088 (t) Tij= -.863 (t) Mij= 5.091 (tm)  
 Nji= -4.088 (t) Tji= -.863 (t) Mji= -2.917 (tm)

## 9. INCI YUKLEME SONUCLARI (KREN SOL ACIKLIKTA SOLDA, YATAY KUV. )

**1.ELEMAN**  
 Nij= -.065 (t) Tij= -1.646 (t) Mij= 4.957 (tm)  
 Nji= -.065 (t) Tji= .633 (t) Mji= -.968 (tm)  
**2.ELEMAN**  
 Nij= -.035 (t) Tij= -1.037 (t) Mij= 3.855 (tm)  
 Nji= -.035 (t) Tji= -.244 (t) Mji= -1.382 (tm)  
**3.ELEMAN**  
 Nij= .101 (t) Tij= -.389 (t) Mij= 1.963 (tm)  
 Nji= .101 (t) Tji= -.389 (t) Mji= -.698 (tm)  
**4.ELEMAN**  
 Nij= .400 (t) Tij= .042 (t) Mij= .309 (tm)  
 Nji= .400 (t) Tji= .042 (t) Mji= .698 (tm)  
**5.ELEMAN**  
 Nij= .370 (t) Tij= .157 (t) Mij= -1.151 (tm)  
 Nji= .370 (t) Tji= .157 (t) Mji= .309 (tm)

6.ELEMAN  
 $N_{ij} = .636 \text{ (t)}$   $T_{ij} = -.029 \text{ (t)}$   $M_{ij} = .502 \text{ (tm)}$   
 $N_{ji} = .636 \text{ (t)}$   $T_{ji} = -.029 \text{ (t)}$   $M_{ji} = .231 \text{ (tm)}$

7.ELEMAN  
 $N_{ij} = .616 \text{ (t)}$   $T_{ij} = .159 \text{ (t)}$   $M_{ij} = -.968 \text{ (tm)}$   
 $N_{ji} = .616 \text{ (t)}$   $T_{ji} = .159 \text{ (t)}$   $M_{ji} = .502 \text{ (tm)}$

## 10. INCI YUKLEME SONUCLARI (KREN SOL ACIKLIKTA SAGDA, MOMENTLER )

1.ELEMAN  
 $N_{ij} = -.265 \text{ (t)}$   $T_{ij} = -2.722 \text{ (t)}$   $M_{ij} = 7.619 \text{ (tm)}$   
 $N_{ji} = -.265 \text{ (t)}$   $T_{ji} = -2.722 \text{ (t)}$   $M_{ji} = -.751 \text{ (tm)}$

2.ELEMAN  
 $N_{ij} = .001 \text{ (t)}$   $T_{ij} = 3.797 \text{ (t)}$   $M_{ij} = -.365 \text{ (tm)}$   
 $N_{ji} = .001 \text{ (t)}$   $T_{ji} = 3.797 \text{ (t)}$   $M_{ji} = -7.072 \text{ (tm)}$

3.ELEMAN  
 $N_{ij} = .264 \text{ (t)}$   $T_{ij} = -1.075 \text{ (t)}$   $M_{ij} = 5.481 \text{ (tm)}$   
 $N_{ji} = .264 \text{ (t)}$   $T_{ji} = -1.075 \text{ (t)}$   $M_{ji} = -1.872 \text{ (tm)}$

4.ELEMAN  
 $N_{ij} = 1.102 \text{ (t)}$   $T_{ij} = .101 \text{ (t)}$   $M_{ij} = .932 \text{ (tm)}$   
 $N_{ji} = 1.102 \text{ (t)}$   $T_{ji} = .101 \text{ (t)}$   $M_{ji} = 1.872 \text{ (tm)}$

5.ELEMAN  
 $N_{ij} = 1.024 \text{ (t)}$   $T_{ij} = .420 \text{ (t)}$   $M_{ij} = -2.967 \text{ (tm)}$   
 $N_{ji} = 1.024 \text{ (t)}$   $T_{ji} = .420 \text{ (t)}$   $M_{ji} = .932 \text{ (tm)}$

6.ELEMAN  
 $N_{ij} = -2.653 \text{ (t)}$   $T_{ij} = .665 \text{ (t)}$   $M_{ij} = -2.068 \text{ (tm)}$   
 $N_{ji} = -2.653 \text{ (t)}$   $T_{ji} = .665 \text{ (t)}$   $M_{ji} = 4.106 \text{ (tm)}$

7.ELEMAN  
 $N_{ij} = -2.731 \text{ (t)}$   $T_{ij} = -.142 \text{ (t)}$   $M_{ij} = -.751 \text{ (tm)}$   
 $N_{ji} = -2.731 \text{ (t)}$   $T_{ji} = -.142 \text{ (t)}$   $M_{ji} = -2.068 \text{ (tm)}$

## 11. INCI YUKLEME SONUCLARI (KREN SOL ACIKLIKTA SAGDA, YATAY KUV. )

1.ELEMAN  
 $N_{ij} = .074 \text{ (t)}$   $T_{ij} = .831 \text{ (t)}$   $M_{ij} = -3.088 \text{ (tm)}$   
 $N_{ji} = .074 \text{ (t)}$   $T_{ji} = .038 \text{ (t)}$   $M_{ji} = .740 \text{ (tm)}$

2.ELEMAN  
 $N_{ij} = .012 \text{ (t)}$   $T_{ij} = 1.848 \text{ (t)}$   $M_{ij} = -5.740 \text{ (tm)}$   
 $N_{ji} = .012 \text{ (t)}$   $T_{ji} = -.431 \text{ (t)}$   $M_{ji} = 1.564 \text{ (tm)}$

3.ELEMAN  
 $N_{ij} = -.087 \text{ (t)}$   $T_{ij} = .394 \text{ (t)}$   $M_{ij} = -2.046 \text{ (tm)}$   
 $N_{ji} = -.087 \text{ (t)}$   $T_{ji} = .394 \text{ (t)}$   $M_{ji} = .646 \text{ (tm)}$

4.ELEMAN  
 $N_{ij} = -.402 \text{ (t)}$   $T_{ij} = -.027 \text{ (t)}$   $M_{ij} = -.393 \text{ (tm)}$   
 $N_{ji} = -.402 \text{ (t)}$   $T_{ji} = -.027 \text{ (t)}$   $M_{ji} = -.646 \text{ (tm)}$

5.ELEMAN  
 $N_{ij} = -.376 \text{ (t)}$   $T_{ij} = -.144 \text{ (t)}$   $M_{ij} = .942 \text{ (tm)}$   
 $N_{ji} = -.376 \text{ (t)}$   $T_{ji} = -.144 \text{ (t)}$   $M_{ji} = -.393 \text{ (tm)}$

6.ELEMAN  
 $N_{ij} = .026 \text{ (t)}$   $T_{ij} = -.079 \text{ (t)}$   $M_{ij} = .111 \text{ (tm)}$   
 $N_{ji} = .026 \text{ (t)}$   $T_{ji} = -.079 \text{ (t)}$   $M_{ji} = -.622 \text{ (tm)}$

7.ELEMAN  
 $N_{ij} = .048 \text{ (t)}$   $T_{ij} = -.068 \text{ (t)}$   $M_{ij} = .740 \text{ (tm)}$   
 $N_{ji} = .048 \text{ (t)}$   $T_{ji} = -.068 \text{ (t)}$   $M_{ji} = .111 \text{ (tm)}$

## SUREKLI TEMEL BILGISAYAR CIKTILARI

## F R A M E    E L E M E N T    F O R C E S

| ELT LOAD<br>ID COND | AXIAL DIST<br>FORCE ENDI | 1-2 PLANE |         |
|---------------------|--------------------------|-----------|---------|
|                     |                          | SHEAR     | MOMENT  |
| 1                   | .00                      |           |         |
|                     | .0                       | 17.94     | .00     |
|                     | 1.0                      | 17.94     | 17.76   |
| 2                   | -----                    |           |         |
| 1                   | .00                      |           |         |
|                     | .0                       | 31.12     | 17.76   |
|                     | .0                       | 31.12     | 18.08   |
| 3                   | -----                    |           |         |
| 1                   | .00                      |           |         |
|                     | .0                       | -31.41    | -178.58 |
|                     | .0                       | -31.41    | -178.90 |
| 4                   | -----                    |           |         |
| 1                   | .00                      |           |         |
|                     | .0                       | 7.83      | -178.90 |
|                     | 3.0                      | 7.83      | -155.48 |
| 5                   | -----                    |           |         |
| 1                   | .00                      |           |         |
|                     | .0                       | 22.35     | -155.48 |
|                     | 3.0                      | 22.35     | -88.43  |
| 6                   | -----                    |           |         |
| 1                   | .00                      |           |         |
|                     | .0                       | 13.31     | -88.43  |
|                     | 3.2                      | 13.31     | -46.15  |
| 7                   | -----                    |           |         |
| 1                   | .00                      |           |         |
|                     | .0                       | 6.48      | -46.15  |
|                     | 3.2                      | 6.48      | -25.57  |
| 8                   | -----                    |           |         |
| 1                   | .00                      |           |         |
|                     | .0                       | 17.60     | -25.57  |
|                     | 3.0                      | 17.60     | 27.22   |
| 9                   | -----                    |           |         |
| 1                   | .00                      |           |         |
|                     | .0                       | 50.88     | 27.22   |
|                     | 3.0                      | 50.88     | 179.37  |
| 10                  | -----                    |           |         |
| 1                   | .00                      |           |         |
|                     | .0                       | 73.42     | 179.37  |
|                     | .0                       | 73.42     | 180.10  |
| 11                  | -----                    |           |         |
| 1                   | .00                      |           |         |
|                     | .0                       | -58.26    | 106.72  |
|                     | .0                       | -58.26    | 106.14  |
| 12                  | -----                    |           |         |
| 1                   | .00                      |           |         |
|                     | .0                       | -35.75    | 106.14  |
|                     | 3.0                      | -35.75    | -.76    |

## F R A M E   E L E M E N T   F O R C E S

| ELT LOAD<br>ID COND | AXIAL DIST<br>FORCE ENDI | 1-2 PLANE<br>SHEAR | MOMENT             |
|---------------------|--------------------------|--------------------|--------------------|
| 13 -----<br>1       | .00<br>.0<br>3.0         | -9.40<br>-9.40     | -.76<br>-28.95     |
| 14 -----<br>1       | .00<br>.0<br>3.2         | -3.99<br>-3.99     | -28.95<br>-41.63   |
| 15 -----<br>1       | .00<br>.0<br>3.2         | -13.50<br>-13.50   | -41.63<br>-84.50   |
| 16 -----<br>1       | .00<br>.0<br>3.0         | -23.11<br>-23.11   | -84.50<br>-153.84  |
| 17 -----<br>1       | .00<br>.0<br>3.0         | -8.34<br>-8.34     | -153.84<br>-178.78 |
| 18 -----<br>1       | .00<br>.0<br>.0          | 31.19<br>31.19     | -178.78<br>-178.47 |
| 19 -----<br>1       | .00<br>.0<br>.0          | -31.33<br>-31.33   | 18.19<br>17.88     |
| 20 -----<br>1       | .00<br>.0<br>1.0         | -18.06<br>-18.06   | 17.88<br>.00       |

## JOINT DISPLACEMENTS

LOAD CONDITION 1 - DISPLACEMENTS "U" AND ROTATIONS "R"

| JOINT | U(Z)       | R(X)       |
|-------|------------|------------|
| 1     | -.011963   | .003225    |
| 2     | -.008785   | .003254    |
| 3     | -.008753   | .003255    |
| 4     | -.008720   | .003249    |
| 5     | -.001613   | .001566    |
| 6     | .9755E-03  | .3343E-03  |
| 7     | .7172E-03  | -.3849E-03 |
| 8     | -.001200   | -.000768   |
| 9     | -.003698   | -.000760   |
| 10    | -.005008   | .000280    |
| 11    | -.005006   | .000286    |
| 12    | -.005002   | .000290    |
| 13    | -.002928   | .000820    |
| 14    | -.5833E-03 | .6699E-03  |
| 15    | .9981E-03  | .2926E-03  |
| 16    | .001038    | -.000381   |
| 17    | -.001641   | -.001585   |
| 18    | -.008786   | -.003259   |
| 19    | -.008819   | -.003265   |
| 20    | -.008851   | -.003264   |
| 21    | -.012038   | -.003235   |

## REACTIONS AND APPLIED FORCES

LOAD CONDITION 1 - FORCES "F" AND MOMENTS "M"

| JOINT | F(Z)      | M(X)      |
|-------|-----------|-----------|
| 1     | 17.9438   | .0000     |
| 2     | 13.1775   | .0000     |
| 3     | -62.5280  | 196.6590  |
| 4     | 39.2397   | .0000     |
| 5     | 14.5170   | .0000     |
| 6     | -9.0357   | .0000     |
| 7     | -6.8314   | .0000     |
| 8     | 11.1157   | .0000     |
| 9     | 33.2856   | .0000     |
| 10    | 22.5353   | .0000     |
| 11    | -131.6800 | 73.3850   |
| 12    | 22.5106   | .0000     |
| 13    | 26.3521   | .0000     |
| 14    | 5.4030    | .0000     |
| 15    | -9.5066   | .0000     |
| 16    | -9.6110   | .0000     |
| 17    | 14.7702   | .0000     |
| 18    | 39.5360   | .0000     |
| 19    | -62.5280  | -196.6590 |
| 20    | 13.2766   | .0000     |
| 21    | 18.0576   | .0000     |
| TOTAL | .9313E-09 | .7339E+02 |

## ÖZGEÇMİŞ

Cumhur Korkmaz, 1973 yılında Erzurum'da doğdu. Ortaöğretimimini Isparta Eğirdir Lisesi'nde tamamladı. 1994 yılında İstanbul Teknik Üniversitesi, İnşaat Fakültesi, İnşaat Mühendisliği bölümünü bitirdi. Aynı yıl, İstanbul Teknik Üniversitesi, İnşaat Fakültesi, Yapı Mühendisliği bölümünde yüksek lisans programına başladı. Yüksek lisans eğitimini ve çalışma hayatını birlikte yürüten Cumhur Korkmaz, 11 aydır Uskon A.Ş.'de statik proje bölümünde statiker olarak çalışmaktadır.

